

T. C.
İNÖNÜ ÜNİVERSİTESİ
FEN BİLİMLERİ ENSTİTÜSÜ

**Bi-BAZLI HT_c SÜPERİLETKENLERDE FİZİKSEL ÖZELLİKLER
İLE BİRLİKTE TERMΟELEKTRİK GÜC VE TERMAL İLETKENLİK
KARAKTERİSTİKLERİNİN İNCELENMESİ**

131191

MEHMET ALİ AKSAN

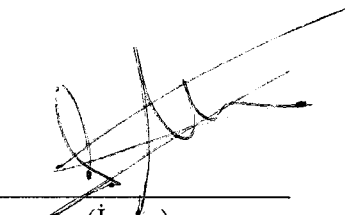
DOKTORA TEZİ
FİZİK ANABİLİM DALI

MALATYA
Haziran 2003

131191
İNÖNÜ ÜNİVERSİTESİ
FEN BİLİMLERİ ENSTİTÜSÜ

Fen Bilimleri Enstitüsü Müdürlüğü'ne,

Bu çalışma jürimiz tarafından Fizik Anabilim dalında DOKTORA TEZİ olarak kabul edilmiştir.



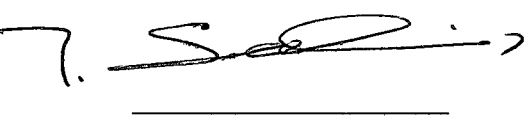
(İmza)

Prof. Dr. Selçuk ATALAY



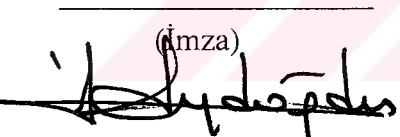
(İmza)

Prof. Dr. M. Eyyüphan YAKINCI



(İmza)

Prof. Dr. Turgay SEÇKİN



(İmza)

Doç. Dr. Yıldırım AYDOĞDU



(İmza)

Doç. Dr. Ali BAYRI

Onay

Yukarıdaki imzaların adı geçen öğretim üyelerine ait olduğunu onaylarım.

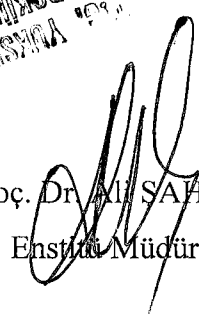
22.7.2003



ANKARA ÜNİVERSİTESİ
FEN BİLİMLERİ ENSTİTÜSÜ MÜDÜRLÜĞÜ

Doç. Dr. ALİ SAHİN

Enstitü Müdürü



ÖZET

Doktora Tezi

Bi-BAZLI HT_c SÜPERİLETKENLERDE FİZİKSEL ÖZELLİKLER ILE BİRLİKTE TERMOELEKTRİK GÜC VE TERMAL İLETKENLİK KARAKTERİSTİKLERİİN İNCELENMESİ

Mehmet Ali AKSAN

İnönü Üniversitesi
Fen Bilimleri Enstitüsü
Fizik Anabilim Dalı

161 + xviii sayfa

2003

Danışman: Prof. Dr. M. Eyyüphane YAKINCI

Bu çalışmada Bi₂Sr₂Ca₂Cu_{3-x}L_xO_{10+δ} (L=Mo ($0.5 \leq x \leq 2.0$), Er ($x=0.5 \leq x \leq 1.0$) ve Pr ($x=0.5$)) nominal kompozisyonlu sistemler cam-seramik yöntemiyle hazırlanmıştır. Elde edilen amorf örnekler farklı periyotlarda ve sıcaklıklarda ısıl işleme tabi tutulmuştur. Örneklerin termal, yapısal ve elektriksel özellikleri DTA, XRD, SEM, R-T, S(T) ve $\kappa(T)$ ölçümleri ile incelenmiştir. Kristalleşme için aktivasyon enerjileri Augis-Bennett ve Kissinger Metotları kullanılarak hesaplanmıştır. Sonuçlar Mo-katkılı örneklerde aktivasyon enerjisinin azaldığını ve Er ve Pr-katkılı sistemlerde ise arttığını ortaya koymaktadır. Avrami Parametresi, n , Ozawa denklemi kullanılarak hesaplanmıştır. Elde edilen n değerleri Mo ve Er-katkılı sistemde düşük katkılama seviyelerinde çekirdeklenmenin ve 3-boyutta parabolik büyümeyenin aynı anda olduğunu ve yüksek katkılama seviyelerinde ise sadece 3-boyutta parabolik büyümeyen olduğunu göstermektedir. Pr-katkılaması yapıldığında ise numunede sadece 3-boyutta parabolik büyümeyen olmaktadır.

Mo-katkılı sistemde katkılama seviyesi arttıkça camlaşma azalmıştır. Bununla birlikte, Er ve Pr-katkılı sistemlerde tamamen cam örnekler elde edilebilmiştir. XRD sonuçlarından Mo ve Er-katkılaması sonucu yapıda ana faz Bi-2212 olmuş ve Pr-katkılaması durumunda ise ana faz Bi-2201 olarak elde edilmiştir. Aynı zamanda, örneklerde safsızlık fazlarının olduğu çok fazlı bir yapı meydana gelmiştir.

SEM fotoğraflarından Mo-katkılı sisteme iğne şeklinde bir kristalleşmenin olduğu görülmüştür. Er-katkılı sistemde rasgele yönelmiş yapraksi bir kristalleşme meydana gelirken Pr-katkılı sistemde ise rasgele yönelmiş tanecikli bir yapı oluşmuştur.

R-T sonuçlarına göre sistemdeki katkı miktarı arttıkça T_c 'de azalma olduğu gözlenmiştir. Özellikle Pr-katkılaması durumunda oldukça düşük bir T_c değeri elde edilmiştir. Presland Metodu kullanılarak hesaplanan Cu-O düzlemi başına hole konsantrasyonu sonuçları Mo ve Er-katkılı örneklerin Bi-2212 sisteminin hole konsantrasyonu bölgesinde ve Pr-katkılı örneğin ise Bi-2201 sisteminin hole konsantrasyonu bölgesinde olduğunu göstermiştir.

Mo ve Pr-katkılaması sonucu negatif termoelektrik güç, S(T), değeri elde edilmiştir. Bununla birlikte, Er-katkılaması sonucu ise pozitif S(T) değeri elde

edilmiştir. Elde edilen S(T) verileri Lineer terimli çift band modeli ve Xin' in çift band modeli kullanılarak analiz edilmiştir.

$\kappa(T)$ ölçümleri sonucu T_c 'nin hemen altında termal iletkenlikte ani bir artma olduğu bulunmuştur. Fonon ortalama serbest yolundaki artmayı gösteren bu maksimum pikin büyüklüğü katkılama seviyesi arttıkça düşmüştür.

Anahtar kelimeler: Cam-seramikler, hole konsantrasyonu, termoelektrik güç, termal iletkenlik, kristalleşme için aktivasyon enerjisi, Avrami parametresi

ABSTRACT

Ph.D. Thesis

INVESTIGATION OF THE THERMOELECTRIC POWER AND THERMAL CONDUCTIVITY PROPERTIES TOGETHER WITH THE PHYSICAL PROPERTIES IN Bi-BASED HT_c SUPERCONDUCTORS

Mehmet Ali AKSAN

İnönü University
Graduate School of Natural and Applied Sciences
Department of Physics

161 + xviii pages

2003

Superviser: Prof. Dr. M. Eyyüphan YAKINCI

In this study, the systems with nominal compositions $\text{Bi}_2\text{Sr}_2\text{Ca}_2\text{Cu}_{3-x}\text{L}_x\text{O}_{10+\delta}$ ($\text{L}=\text{Mo}$ ($0.5 \leq x \leq 2.0$)), Er ($x=0.5 \leq x \leq 1.0$) and Pr ($x=0.5$)) were prepared by glass-ceramic method. The samples obtained were heat treated at different periods and temperatures. The thermal, structural and electrical properties of the samples were investigated by means of DTA, XRD, SEM, R-T, S(T) and $\kappa(T)$. The crystallization activation energies of the samples were computed by using Augis-Bennett and Kissinger Methods. The results obtained showed that the activation energy decreased in the Mo-substituted samples and increased in the Er and Pr-substituted samples. The Avrami parameter, n , were computed by using Ozawa's equation. The obtained n values suggested that in the lower substitution levels for the Mo and Er-substituted systems, nucleation and three-dimensional parabolic growth occurred simultaneously and in the higher substitution levels, only three-dimensional parabolic growth occurred. When Pr was substituted, only three-dimensional parabolic growth was occurred on the sample.

For the Mo-substituted system, when the Mo concentration increased the glassification in the samples decreased. However, fully glass samples were obtained in the Er and Pr-substituted samples. From the XRD results, for the Mo and Er-substitutions the main phase in the structure was found to be Bi-2212 ($n=2$). In the case of the Pr-substitution, the main phase was obtained to be Bi-2201 ($n=1$) phase. In addition, for all the samples prepared, the multiphase formations including impurities has been obtained.

The SEM micrographs showed that the needle-like grains have grown in the Mo-substituted samples. In the Er-substituted samples, randomly oriented flake like grains were formed on the sample surfaces. But, randomly oriented granular formation was obtained in the Pr-substituted sample.

The R-T results obtained indicated that T_c decreases with the increase of the substitutions. Especially, in the case of the Pr substitution, the lower T_c value was obtained comparing to the Mo and Er-substituted systems. The hole concentration results per Cu-O planes, computed by using Presland' s formula, showed that the Mo and Er-substituted systems were found to be in the hole concentration region of Bi-2212

and the Pr-substituted system was found to be in the hole concentration region of Bi-2201.

The negative thermoelectric power, $S(T)$, was obtained with the substitution of Mo and Pr. However, the positive $S(T)$ value was obtained for the Er substitution. The $S(T)$ data obtained were analyzed by using the two band model with the linear T term and Xin's two band model.

The $\kappa(T)$ measurements showed that a sharp rise was obtained just below T_c . The magnitude of this peak in κ below T_c , which is associated with the increase in the phonon mean free path decreased with the substitutions.

Keywords: Glass-ceramics, hole concentration, thermoelectric power, thermal conductivity, activation energy for crystallization, Avrami parameter

TEŞEKKÜR

Deneyselim, deney sonuçlarının değerlendirilmesi ve tezim süresince benden her türlü desteğini ve yardımlarını esirgemeyen danışman hocam Prof. Dr. M. Eyyüphan YAKINCI' ya

Deney sonuçlarının değerlendirilmesi sırasında bana yardımlarda bulunan ve bilgisel yönde destekte bulunan sayın Yrd. Doç. Dr. Yakup BALCI' ya,

Sayın bölüm başkanımız Prof. Dr. Selçuk ATALAY' a,

X-ışını ölçümleri sırasında bana yardım eden Uzman Kadir TOY' a

Elektron mikroskopu ölçümleri sırasında bana çok değerli vakitlerini ayıran Anadolu Üniversitesi, Seramik Mühendisliğinden Öğretim Görevlisi Erman UZGUR' a,

DTA ölçümlerim için bana yardımcı olan Fen-Edebiyat Fakültesi, Kimya Bölümünden Arş. Grv. Galip İÇDÜYGU ve Arş. Grv. Süleyman KÖYTEPE' ye,

Bilgisayarındaki softwareleri açarak kullanmamı sağlayan Fizik Bölümünden Arş. Grv. Olgun Adem KAYA' ya

Doktora süresince bana her türlü desteği veren Eşim E. Nesligül AKSAN ve oğlum M. Meriç AKSAN' a sonsuz

teşekkür ederim.

İÇİNDEKİLER

ÖZET.....	i
ABSTRACT.....	iii
TEŞEKKÜR.....	v
İÇİNDEKİLER.....	vi
ŞEKİLLER DİZİNİ.....	x
ÇİZELGELER DİZİNİ.....	xiv
SİMGELER ve KISALTMALAR.....	xvi
1. GİRİŞ.....	1
2. KURAMSAL TEMELLER.....	4
2.1. Elektron-Elektron Çiftlenmesi ve Cooper Çiftleri (BCS Teorisi).....	4
2.2. Rezonans Valans Band (RVB) Teorisi; Anderson Teorisi (Yaklaşımı).....	7
2.3. Diğer Teorik Yaklaşımlar.....	8
2.4. Süperiletkenlerde Fizikselli Özellikler.....	9
2.5. Süperiletkenlerde Termal İletim Özellikleri.....	13
2.5.1. Metallerde Termoelektrik Güç.....	13
2.5.1.1. Difüzyon Termoelektrik Gücü.....	14
2.5.1.2. Fonon-Çekim (Fonon-Drag) Termoelektrik Gücü.....	16
2.5.2. Yüksek Sıcaklık Süperiletkenlerde Termoelektrik Güç.....	18
2.5.2.1. Lineer Terimli Çift Band Modeli.....	21
2.5.2.2. Nagosa-Lee Modeli.....	21
2.5.2.3. Phenomenological Dar Band Modeli.....	22
2.5.2.4. Xin' in Çift Band Modeli.....	23
2.6. Termal İletkenlik.....	24
2.6.1. İletim Mekanizması.....	24
2.6.2. Metallerin Isı İletkenliği.....	27
2.6.3. Wiedemann-Franz Yasası.....	27
2.6.4. Fourier Yasası.....	28
2.6.5. Termal İletkenliği Etkileyen Faktörler.....	30
2.6.5.1. Umklapp Etkisi.....	30
2.6.5.2. Örgü Kusurları.....	33
2.6.6. Yüksek Sıcaklık Süperiletkenlerde Termal İletkenlik.....	34

3. HT _c SÜPERİLETKEN AİLELERİ.....	36
3.1. BSCCO Süperiletken Ailesi ve Genel Faz Oluşumu.....	37
3.1.1. Bi ₂ Sr ₂ CuO _{6+δ} (n=1) Fazı.....	37
3.1.2. Bi ₂ Sr ₂ CaCu ₂ O _{8+δ} (n=2) Sistemi.....	38
3.1.3. Bi ₂ Sr ₂ Ca ₂ Cu ₃ O _{10+δ} (n=3) Sistemi.....	39
3.1.4. BSCCO Fazlarının Reaksiyon Mekanizması.....	41
3.2. BSCCO Sisteminde CuO Düzlemlerinin Önemi.....	44
3.3. BSCCO Sistemine Yapılan Katkılamalar.....	46
3.3.1. Bi, Sr ve Ca yerine yapılan Katkılamalar.....	46
3.3.2. Cu Yerine Yapılan Katkılamalar.....	47
3.4. Yüksek Sıcaklık Süperiletkenlerinin Hazırlama Yöntemleri.....	50
3.4.1. Katıhal Reaksiyon Yöntemi.....	51
3.4.2. Sol-Jel Yöntemi.....	51
3.4.3. Cam-Seramik Yöntemi.....	52
3.5. Genel Cam Seramik Oluşumu.....	52
3.5.1. HT _c Cam-Seramik Süperiletkenler.....	54
4. MATERİYAL VE YÖNTEM.....	58
4.1. Örneklerin Hazırlanması.....	58
4.2. Isıl İşlemler.....	58
4.3. Diferansiyel Termal Analiz (DTA).....	59
4.4. X-Işını Kırınımı Analizi (XRD).....	60
4.5. Taramalı Elektron Mikroskopu Analizi (SEM).....	60
4.6. Direnç Ölçümleri (R-T).....	61
4.7. Termoelektrik Güç S(T) Ölçümleri.....	61
4.8. Termal İletkenlik κ(T) Ölçümleri.....	62
5. ARAŞTIRMA BULGULARI.....	63
5.1. Bi ₂ Sr ₂ Ca ₂ Cu _{2.5} Mo _{0.5} O _{10+δ} Sistemi.....	63
5.1.1. DTA Sonuçları.....	63
5.1.2. X-Işını (XRD) Sonuçları.....	66
5.1.3. Direnç Ölçüm (R-T) Sonuçları.....	68
5.1.4. Hole Konsantrasyonu.....	69
5.2. Bi ₂ Sr ₂ Ca ₂ Cu ₂ MoO _{10+δ} Sistemi.....	70
5.2.1. DTA Sonuçları.....	70

5.2.2. X-Işını (XRD) Sonuçları.....	73
5.2.3. Direnç Ölçüm (R-T) Sonuçları.....	74
5.2.4. Hole Konsantrasyonu.....	76
5.3. $\text{Bi}_2\text{Sr}_2\text{Ca}_2\text{Cu}_{1.5}\text{Mo}_{1.5}\text{O}_{10+\delta}$ Sistemi.....	76
5.3.1. DTA Sonuçları.....	76
5.3.2. X-Işını (XRD) Sonuçları.....	78
5.3.3. Direnç Ölçüm (R-T) Sonuçları.....	80
5.3.4. Hole Konsantrasyonu.....	81
5.4. $\text{Bi}_2\text{Sr}_2\text{Ca}_2\text{CuMo}_2\text{O}_{10+\delta}$ Sistemi.....	82
5.4.1. DTA Sonuçları.....	82
5.5. $\text{Bi}_2\text{Sr}_2\text{Ca}_2(\text{Cu}_{3-x}\text{Mo}_x)\text{O}_{10+\delta}$ ($0.5 \leq x \leq 1.5$) Sistemine Ait SEM Sonuçları.....	84
5.6. $\text{Bi}_2\text{Sr}_2\text{Ca}_2\text{Cu}_{3-x}\text{Mo}_x\text{O}_{10+\delta}$ ($0.5 \leq x \leq 1.5$) Sistemine Ait Termoelektrik Güç S(T) Sonuçları.....	86
5.7. $\text{Bi}_2\text{Sr}_2\text{Ca}_2\text{Cu}_{3-x}\text{Mo}_x\text{O}_{10+\delta}$ ($0.5 \leq x \leq 1.5$) Sistemine Ait Termal İletkenlik $\kappa(T)$ Sonuçları.....	88
5.8. $\text{Bi}_2\text{Sr}_2\text{Ca}_2\text{Cu}_{2.5}\text{Er}_{0.5}\text{O}_{10+\delta}$ Sistemi.....	89
5.8.1. DTA Sonuçları.....	89
5.8.2. X-Işını (XRD) Sonuçları.....	92
5.8.3. Direnç Ölçüm (R-T) Sonuçları.....	94
5.8.4. Hole Konsantrasyonu.....	95
5.9. $\text{Bi}_2\text{Sr}_2\text{Ca}_2\text{Cu}_2\text{ErO}_{10+\delta}$ Sistemi.....	96
5.9.1. DTA Sonuçları.....	96
5.9.2. X-Işını (XRD) Sonuçları.....	98
5.9.3. Direnç Ölçüm (R-T) Sonuçları.....	99
5.9.4. Hole Konsantrasyonu.....	101
5.10. SEM Sonuçları.....	101
5.11. $\text{Bi}_2\text{Sr}_2\text{Ca}_2\text{Cu}_{3-x}\text{Er}_x\text{O}_{10+\delta}$ ($0.5 \leq x \leq 1.0$) Sistemine Ait Termoelektrik Güç S(T) Sonuçları.....	103
5.12. $\text{Bi}_2\text{Sr}_2\text{Ca}_2\text{Cu}_{3-x}\text{Er}_x\text{O}_{10+\delta}$ ($0.5 \leq x \leq 1.0$) Sistemine Ait Termal İletkenlik $\kappa(T)$ Sonuçları.....	104
5.13. $\text{Bi}_2\text{Sr}_2\text{Ca}_2\text{Cu}_{2.5}\text{Pr}_{0.5}\text{O}_{10+\delta}$ Sistemi.....	105
5.13.1. DTA Sonuçları.....	105

5.13.2. X-Işını (XRD) Sonuçları.....	108
5.13.3. Direnç Ölçüm (R-T) Sonuçları.....	109
5.13.4. Hole Konsantrasyonu.....	110
5.14. $\text{Bi}_2\text{Sr}_2\text{Ca}_2(\text{Cu}_{3-x}\text{Pr}_x)\text{O}_{10+\delta}$ ($x=0.5$) Sistemine Ait SEM Sonuçları.....	111
5.15. $\text{Bi}_2\text{Sr}_2\text{Ca}_2\text{Cu}_{2.5}\text{Pr}_{0.5}\text{O}_{10+\delta}$ Sistemine Ait Termoelektrik Güç $S(T)$ Sonuçları.....	111
5.16. $\text{Bi}_2\text{Sr}_2\text{Ca}_2\text{Cu}_{2.5}\text{Pr}_{0.5}\text{O}_{10+\delta}$ Sistemine Ait Termal İletkenlik $\kappa(T)$ Sonuçları.....	113
6. TARTIŞMA VE SONUÇ.....	114
6.1. Katkılamların Termal Özelliklere Olan Etkisi.....	114
6.2. Katkılamların Cam Oluşumuna Olan Etkisi.....	119
6.3. Katkılamların Yapısal Özelliklere Olan Etkisi.....	121
6.4. Katkılamların mikroyapısal özelliklere olan etkisi.....	124
6.5. Katkılamların Elektriksel Özelliklere Olan Etkisi.....	124
6.6. Katkılamların Termoelektrik Güce ($S(T)$) Olan Etkisi.....	126
6.7. Katkılamların Termal İletkenlik $\kappa(T)$ Özelliklerine Olan Etkisi.....	135
6.8. Genel Sonuç.....	137
6.9. İleri Çalışmalar.....	142
7. KAYNAKLAR.....	143
Özgeçmiş.....	157

ŞEKİLLER DİZİNİ

Şekil 2.1.	BCS teorisinin şematik gösterimi.....	4
Şekil 2.2.	İki elektron E_f ' nin üzerinde $\hbar w_q$ kalınlığında bir tabakada bulunduğu zaman etkileşen iki elektronun \vec{k} -dalga vektörlerinin gösterilmesi.....	5
Şekil 2.3.	Bir süperiletken malzemede saçılma prosesi.....	6
Şekil 2.4.	(a) I. tip süperiletkenlik ve (b) II. tip süperiletkenliğin uygulanan alana karşı diamanyetizma etkisi.....	10
Şekil 2.5.	Karışık durumda bir II. tip süperiletkende transport akım yoğunluğu \vec{J} , manyetik akı \vec{B} ve Lorentz kuvveti \vec{F}_L arasındaki etkileşme.....	12
Şekil 2.6.	Bakır' in S(T) grafiği.....	15
Şekil 2.7.	İki ucu T_1 ve T_2 sıcaklıklarında 2 rezervuar ile termal kontak halindeki katı bir sistem.....	25
Şekil 2.8.	İki boyutlu kare örgüde $\vec{q}_1 + \vec{q}_2 = \vec{q}_3 + \vec{G}$ Umklapp fonon saçılması.....	31
Şekil 2.9.	Umklapp etkisi ile meydana gelen elektron-fonon saçılması.....	32
Şekil 3.1.	$\text{Bi}_2\text{Sr}_2\text{CuO}_{6+\delta}$ sisteminin kristal yapısı.....	38
Şekil 3.2.	$\text{Bi}_2\text{Sr}_2\text{CaCu}_2\text{O}_{8+\delta}$ sisteminin kristal yapısı.....	39
Şekil 3.3.	$\text{Bi}_2\text{Sr}_2\text{Ca}_2\text{Cu}_3\text{O}_{10+\delta}$ sisteminin kristal yapısı.....	40
Şekil 3.4.	Bi-bazlı süperiletken sistemi için faz diyagram eğrisi.....	44
Şekil 3.5.	Bakır ve bizmut düzlemleri arasındaki yük transferi.....	45
Şekil 3.6.	M_2O_3 şeklindeki bir iyonun iki boyutta temsil edilmesi a) kristal formda ve b) cam formda.....	53
Şekil 4.1.	Termoelektrik güç ölçümleri için şematik diyagram.....	62
Şekil 5.1.	$x=0.5$ -Mo katkılı Bi-2223 sistemine ait DTA grafikleri. Isıtma hızları: a) $\alpha=5^{\circ}\text{C}/\text{dk}$, b) $\alpha=10^{\circ}\text{C}/\text{dk}$, c) $\alpha=20^{\circ}\text{C}/\text{dk}$ ve d) $\alpha=30^{\circ}\text{C}/\text{dk}$	63
Şekil 5.2.	$x=0.5$ -Mo katkılı numunede kristalleşme aktivasyon enerjisi için Augis-Bennett ve Kissinger Modelleri kullanılarak elde edilen grafikler.....	66
Şekil 5.3.	$\text{Bi}_2\text{Sr}_2\text{Ca}_2\text{Cu}_{2.5}\text{Mo}_{0.5}\text{O}_{10+\delta}$ numunesine ait XRD grafikleri; a) Cam, b) 855°C de 60 saat ısıl işlem görmüş, c) 855°C de 120 saat ısıl işlem görmüş ve d) 855°C de 240 saat ısıl işlem görmüş örnekler.....	67
Şekil 5.4.	a) 855°C de 60 saat, b) 855°C de 120 saat ve c) 855°C de 240 saat ısıl işlem görmüş $\text{Bi}_2\text{Sr}_2\text{Ca}_2\text{Cu}_{2.5}\text{Mo}_{0.5}\text{O}_{10+\delta}$ numunesine ait direnç-sıcaklık (R-T) grafikleri.....	69
Şekil 5.5.	$x=1.0$ -Mo katkılı Bi-2223 sistemine ait DTA grafikleri. Isıtma hızları: a) $\alpha=5^{\circ}\text{C}/\text{dk}$, b) $\alpha=10^{\circ}\text{C}/\text{dk}$, c) $\alpha=20^{\circ}\text{C}/\text{dk}$ ve d) $\alpha=30^{\circ}\text{C}/\text{dk}$	71
Şekil 5.6.	$x=1.0$ -Mo katkılı numunede kristalleşme aktivasyon enerjisi için Augis-Bennett ve Kissinger Modelleri kullanılarak elde edilen grafikler.....	72
Şekil 5.7.	$\text{Bi}_2\text{Sr}_2\text{Ca}_2\text{Cu}_2\text{MoO}_{10+\delta}$ numunesine ait XRD grafikleri; a) Cam, b) 840°C de 60 saat ısıl işlem görmüş, c) 840°C de 120 saat ısıl	

Şekil 5.8.	işlem görmüş ve d) 840^0C ' de 240 saat ıslı işlem görmüş örnekler a) 840^0C ' de 60 saat, b) 840^0C ' de 120 saat ve c) 840^0C ' de 240 saat ıslı işlem görmüş $\text{Bi}_2\text{Sr}_2\text{Ca}_2\text{Cu}_2\text{MoO}_{10+\delta}$ numunesine ait direnç-sıcaklık (R-T) grafikleri.....	74
Şekil 5.9.	$x=1.5$ -Mo katkılı Bi-2223 sistemine ait DTA grafikleri. Isıtma hızları: a) $\alpha=5^0\text{C}/\text{dk}$, b) $\alpha=10^0\text{C}/\text{dk}$, c) $\alpha=20^0\text{C}/\text{dk}$ ve d) $\alpha=30^0\text{C}/\text{dk}$	75
Şekil 5.10.	$x=1.5$ -Mo katkılı numunede kristalleşme aktivasyon enerjisi için Augis-Bennett ve Kissinger Modelleri kullanılarak elde edilen grafikler.....	77
Şekil 5.11.	$\text{Bi}_2\text{Sr}_2\text{Ca}_2\text{Cu}_{1.5}\text{Mo}_{1.5}\text{O}_{10+\delta}$ numunesine ait XRD grafikleri; a) eritilip hızlı soğutulduktan sonra, b) 830^0C ' de 60 saat ıslı işlem görmüş, c) 830^0C ' de 120 saat ıslı işlem görmüş ve d) 830^0C ' de 120 saat ıslı işlem görmüş örnekler.....	78
Şekil 5.12.	a) 830^0C ' de 60 saat, b) 830^0C ' de 120 saat ve c) 830^0C ' de 240 saat ıslı işlem görmüş $\text{Bi}_2\text{Sr}_2\text{Ca}_2\text{Cu}_{1.5}\text{Mo}_{1.5}\text{O}_{10+\delta}$ numunesine ait direnç-sıcaklık (R-T) grafikleri.....	79
Şekil 5.13.	$x=2.0$ Mo katkılı Bi-2223 sistemine ait DTA grafikleri. Isıtma hızları: a) $\alpha=5^0\text{C}/\text{dk}$, b) $\alpha=10^0\text{C}/\text{dk}$, c) $\alpha=20^0\text{C}/\text{dk}$ ve d) $\alpha=30^0\text{C}/\text{dk}$	80
Şekil 5.14.	$x=2.0$ -Mo katkılı numunede kristalleşme aktivasyon enerjisi için Augis-Bennett ve Kissinger Modelleri kullanılarak elde edilen grafikler.....	82
Şekil 5.15.	$x=0.5$ Mo-katkılı numunenin (a) 400 büyütme ve (b) 1000 büyütme ile alınmış elektron mikroskopu fotoğrafları.....	83
Şekil 5.16.	$x=1.0$ Mo-katkılı numunenin (a) 400 büyütme ve (b) 1000 büyütme ile alınmış elektron mikroskopu fotoğrafları.....	85
Şekil 5.17.	$x=1.5$ Mo-katkılı numunenin (a) 400 büyütme ve (b) 1000 büyütme ile alınmış elektron mikroskopu fotoğrafları.....	85
Şekil 5.18.	(◊) 855^0C ' de 60 saat ıslı işlem görmüş $x=0.5$ -Mo katkılı, (□) 840^0C ' de 120 saat ıslı işlem görmüş $x=1.0$ -Mo katkılı ve (●) 830^0C ' de 120 saat ıslı işlem görmüş $x=1.5$ -Mo katkılı numunelerin (S-T) grafikleri.....	86
Şekil 5.19.	(◆) 855^0C ' de 60 saat ıslı işlem görmüş $x=0.5$ -Mo katkılı, (□) 840^0C ' de 120 saat ıslı işlem görmüş $x=1.0$ -Mo katkılı ve (▲) 830^0C ' de 120 saat ıslı işlem görmüş $x=1.5$ -Mo katkılı numunelerin (κ-T) grafikleri.....	87
Şekil 5.20.	$x=0.5$ -Er katkılı Bi-2223 sistemine ait DTA grafikleri. Isıtma hızları: a) $\alpha=5^0\text{C}/\text{dk}$, b) $\alpha=10^0\text{C}/\text{dk}$, c) $\alpha=20^0\text{C}/\text{dk}$ ve d) $\alpha=30^0\text{C}/\text{dk}$	89
Şekil 5.21.	$x=0.5$ -Er katkılı numunede kristalleşme aktivasyon enerjisi için Augis-Bennett ve Kissinger Modelleri kullanılarak elde edilen grafikler.....	90
Şekil 5.22.	$\text{Bi}_2\text{Sr}_2\text{Ca}_2\text{Cu}_{2.5}\text{Er}_{0.5}\text{O}_{10+\delta}$ numunesine ait XRD grafikleri; a) Cam, b) 890^0C ' de 60 saat ıslı işlem görmüş, c) 890^0C ' de 120 saat ıslı işlem görmüş ve d) 890^0C ' de 240 saat ıslı işlem görmüş örnekler	91
Şekil 5.23.	a) 890^0C ' de 60 saat, b) 890^0C ' de 120 saat ve c) 890^0C ' de 240 saat ıslı işlem görmüş $\text{Bi}_2\text{Sr}_2\text{Ca}_2\text{Cu}_{2.5}\text{Er}_{0.5}\text{O}_{10+\delta}$ numunesine ait direnç-sıcaklık (R-T) grafikleri.....	92

Şekil 5.24.	$x=1.0$ -Er katkılı Bi-2223 sistemine ait DTA grafikleri. Isıtma hızları: a) $\alpha=5^{\circ}\text{C}/\text{dk}$, b) $\alpha=10^{\circ}\text{C}/\text{dk}$, c) $\alpha=20^{\circ}\text{C}/\text{dk}$ ve d) $\alpha=30^{\circ}\text{C}/\text{dk}$	96
Şekil 5.25.	$x=1.0$ -Er katkılı numunede kristalleşme aktivasyon enerjisi için Augis-Bennett ve Kissinger Modelleri kullanılarak elde edilen grafikler.....	97
Şekil 5.26.	$\text{Bi}_2\text{Sr}_2\text{Ca}_2\text{Cu}_2\text{ErO}_{10+\delta}$ numunesine ait XRD grafikleri; a) Cam, b) 900°C ' de 60 saat ısıl işlem görmüş, c) 900°C ' de 120 saat ısıl işlem görmüş ve d) 900°C ' de 240 saat ısıl işlem görmüş örnekler	99
Şekil 5.27.	a) 900°C ' de 60 saat, b) 900°C ' de 120 saat ve c) 900°C ' de 240 saat ısıl işlem görmüş $\text{Bi}_2\text{Sr}_2\text{Ca}_2\text{Cu}_2\text{ErO}_{10+\delta}$ numunesine ait direnç-sıcaklık (R-T) grafikleri.....	100
Şekil 5.28.	a) $x=0.5$ Er-katkılı numunenin 400 büyütme ile alınmış elektron mikroskopu fotoğrafı, b) numunenin kesitten alınan görüntüsü ve yüzeyinde oluşan wishkerler.....	102
Şekil 5.29.	a) $x=1.0$ Er-katkılı numunenin 400 büyütme ile alınmış elektron mikroskopu fotoğrafı, b) numunenin kesitten alınan görüntüsü ve yüzeyinde oluşan wishkerler.....	102
Şekil 5.30.	(◊) 890°C ' de 240 saat ısıl işlem görmüş $x=0.5$ -Er katkılı, (Δ) 900°C ' de 240 saat ısıl işlem görmüş $x=1.0$ -Er katkılı numunelerin (S-T) grafikleri.....	103
Şekil 5.31.	(□) 890°C ' de 240 saat ısıl işlem görmüş $x=0.5$ -Er katkılı, (♦) 900°C ' de 240 saat ısıl işlem görmüş $x=1.0$ -Er katkılı numunelerin (κ-T) grafikleri.....	105
Şekil 5.32.	$x=0.5$ -Pr katkılı Bi-2223 sistemine ait DTA grafikleri. Isıtma hızları: a) $\alpha=5^{\circ}\text{C}/\text{dk}$, b) $\alpha=10^{\circ}\text{C}/\text{dk}$, c) $\alpha=20^{\circ}\text{C}/\text{dk}$ ve d) $\alpha=30^{\circ}\text{C}/\text{dk}$	106
Şekil 5.33.	$x=0.5$ -Pr katkılı numunede kristalleşme aktivasyon enerjisi için Augis-Bennett ve Kissinger Modelleri kullanılarak elde edilen grafikler.....	107
Şekil 5.34.	$\text{Bi}_2\text{Sr}_2\text{Ca}_2\text{Cu}_{2.5}\text{Pr}_{0.5}\text{O}_{10+\delta}$ numunesine ait XRD grafikleri; a) Cam, b) 850°C ' de 40 saat ısıl işlem görmüş, c) 850°C ' de 60 saat ısıl işlem görmüş ve d) 850°C ' de 120 saat ısıl işlem görmüş örnekler	108
Şekil 5.35.	a) 850°C ' de 40 saat, b) 850°C ' de 60 saat ve c) 850°C ' de 120 saat ısıl işlem görmüş $\text{Bi}_2\text{Sr}_2\text{Ca}_2\text{Cu}_{2.5}\text{Pr}_{0.5}\text{O}_{10+\delta}$ numunesine ait direnç-sıcaklık (R-T) grafikleri.....	110
Şekil 5.36.	$x=0.5$ Pr-katkılı numunenin 2500 büyütme ile alınmış taramalı elektron mikroskopu fotoğrafı.....	111
Şekil 5.37.	(♦) 850°C ' de 60 saat ısıl işlem görmüş $x=0.5$ -Pr katkılı numunenin (S-T) grafiği.....	112
Şekil 5.38.	850°C ' de 240 saat ısıl işlem görmüş $x=0.5$ -Pr katkılı numunenin (κ-T) grafiği.....	113
Şekil 6.1.	Mo ve Er ve Pr-katkılı sistemlerde E_a 'nın katkı miktarına (x) göre değişimi.....	116
Şekil 6.2.	$\text{Bi}_2\text{Sr}_2\text{Ca}_2\text{Cu}_{3-x}\text{Mo}_x\text{O}_{10+\delta}$ sisteminde $\ln\alpha'$ ya karşı $\ln(-\ln(1-\phi))$ grafiği; a) $x=0.5$, b) $x=1.0$, c) $x=1.5$ ve d) $x=2.0$ numuneleri.....	117
Şekil 6.3.	$\text{Bi}_2\text{Sr}_2\text{Ca}_2(\text{Cu}_{3-x}\text{Er}_x)\text{O}_{10+\delta}$ ve $\text{Bi}_2\text{Sr}_2\text{Ca}_2(\text{Cu}_{3-x}\text{Pr}_x)\text{O}_{10+\delta}$ sisteminde $\ln\alpha'$ ya karşı $\ln(-\ln(1-\phi))$ grafiği; a) $x=0.5$ -Er, b) $x=1.0$ -Er ve c) $x=0.5$ -Pr numuneleri.....	118

Şekil 6.4.	Mo katkılaması ile elde edilen camların XRD grafikleri; a) $x=0.5$ numunesi, b) $x=1.0$ numunesi, c) $x=1.5$ numunesi ve d) $x=2.0$ numunesi.....	120
Şekil 6.5.	Er ve Pr-katkılamaları ile elde edilen camların XRD grafikleri; a) $x=0.5-Er$, b) $x=1.0-Er$ ve c) $x=0.5-Pr$ numunesi.....	121
Şekil 6.6.	Hazırlanan örneklerde katkılama ile T_c' nin değişimi.....	126
Şekil 6.7.	(a) Er-katkılı ve (b) Mo ve Pr-katkılı sistemlerin $(S/T-T^2)$ grafikleri.....	129
Şekil 6.8.	Mo-katkılı sistemde Lineer terimli çift band modeline göre elde edilen grafikler.....	130
Şekil 6.9.	Er-katkılı sistemde Lineer terimli çift band modeline göre elde edilen grafikler.....	131
Şekil 6.10.	Pr-katkılı sistemde Lineer terimli çift band modeline göre elde edilen grafikler.....	132
Şekil 6.11.	Mo-katkılı sistemde Xin' in çift band modeline göre elde edilen grafikler.....	133
Şekil 6.12.	Er-katkılı sistemde Xin' in çift band modeline göre elde edilen grafikler.....	134
Şekil 6.13.	Pr-katkılı sistemde Xin' in çift band modeline göre elde edilen grafikler.....	135

ÇİZELGELER DİZİNİ

Çizelge 3.1.	Bi-2201 fazına ait bağ uzunlukları ve her bir düzlemede bulunan en yakın oksijen atomlarının sayısı.....	37
Çizelge 3.2.	Bi-2212 fazına ait bağ uzunlukları ve her bir düzlemede bulunan en yakın oksijen atomlarının sayısı.....	39
Çizelge 3.3.	Bi-2223 fazına ait bağ uzunlukları ve her bir düzlemede bulunan en yakın oksijen atomlarının sayısı.....	40
Çizelge 3.4.	Farklı mekanizmalarda Avrami katsayısının olası değerleri.....	42
Çizelge 3.5.	Bazı BSCCO cam-seramik süperiletken sistemler için kristalleşme aktivasyon enerjisi.....	56
Çizelge 5.1.	$x=0.5$ Mo katkılaması ile elde edilen DTA verileri.....	64
Çizelge 5.2.	Katkısız ve $x=0.5$ oranında Mo-katkılı Bi-2223 sistemi için hesaplanan kristalleşme aktivasyon enerjileri.....	65
Çizelge 5.3.	$x=0.5$ Mo katkılı numunenin kristalografik özellikleri.....	68
Çizelge 5.4.	$\text{Bi}_2\text{Sr}_2\text{Ca}_2\text{Cu}_{2.5}\text{Mo}_{0.5}\text{O}_{10+\delta}$ sistemine ait elektriksel ölçüm ve hole konsantrasyonu sonuçları.....	70
Çizelge 5.5.	$x=1.0$ Mo katkılaması ile elde edilen DTA verileri.....	72
Çizelge 5.6.	$x=1.0$ oranında Mo-katkılı Bi-2223 sistemi için hesaplanan aktivasyon enerjisi ve diğer katkılama seviyeleri ile karşılaştırılması.....	72
Çizelge 5.7.	$x=1.0$ Mo katkılı numunenin kristalografik özellikleri.....	74
Çizelge 5.8.	$\text{Bi}_2\text{Sr}_2\text{Ca}_2\text{Cu}_2\text{MoO}_{10+\delta}$ sistemine ait elektriksel ölçüm ve hole konsantrasyonu sonuçları.....	76
Çizelge 5.9.	$x=1.5$ Mo katkılaması ile elde edilen DTA verileri.....	77
Çizelge 5.10.	$x=1.5$ oranında Mo-katkılı Bi-2223 sistemi için hesaplanan aktivasyon enerjisi ve diğer katkılama seviyeleri ile karşılaştırılması.....	78
Çizelge 5.11.	$x=1.5$ Mo katkılı numunenin kristalografik özellikleri.....	80
Çizelge 5.12.	$\text{Bi}_2\text{Sr}_2\text{Ca}_2\text{Cu}_{1.5}\text{Mo}_{1.5}\text{O}_{10+\delta}$ sistemine ait elektriksel ölçüm ve hole konsantrasyonu sonuçları.....	81
Çizelge 5.13.	$x=2.0$ Mo katkılaması ile elde edilen DTA verileri.....	83
Çizelge 5.14.	$x=2.0$ oranında Mo-katkılı Bi-2223 sistemi için hesaplanan aktivasyon enerjisi ve diğer katkılama seviyeleri ile karşılaştırılması.....	84
Çizelge 5.15.	Mo-katkılı sistemde elde edilen T_{pik} değerleri.....	87
Çizelge 5.16.	$x=0.5$ Er katkılaması ile elde edilen DTA verileri.....	90
Çizelge 5.17.	Katkısız ve $x=0.5$ oranında Er katkılı Bi-2223 sistemi için hesaplanan aktivasyon enerjileri.....	91
Çizelge 5.18.	$x=0.5$ Er katkılı numunenin kristalografik özellikleri.....	93
Çizelge 5.19.	$\text{Bi}_2\text{Sr}_2\text{Ca}_2\text{Cu}_{2.5}\text{Er}_{0.5}\text{O}_{10+\delta}$ sistemine ait elektriksel ölçüm ve hole konsantrasyonu sonuçları.....	95
Çizelge 5.20.	$x=1.0$ Er katkılaması ile elde edilen DTA verileri.....	97
Çizelge 5.21.	$x=1.0$ oranında Er-katkılı Bi-2223 sistemi için hesaplanan aktivasyon enerjisi ve diğer katkılama seviyeleri ile karşılaştırılması.....	98
Çizelge 5.22.	$x=1.0$ Er katkılı numunenin kristalografik özellikleri.....	99
Çizelge 5.23.	$\text{Bi}_2\text{Sr}_2\text{Ca}_2\text{Cu}_2\text{ErO}_{10+\delta}$ sistemine ait elektriksel ölçüm ve hole konsantrasyonu sonuçları.....	101

Çizelge 5.24.	Er-katkılı sistemde elde edilen T_{pik} değerleri.....	104
Çizelge 5.25.	$x=0.5$ Pr katkılaması ile elde edilen DTA verileri.....	106
Çizelge 5.26.	Katkısız ve $x=0.5$ oranında Pr katkılı Bi-2223 sistemi için hesaplanan aktivasyon enerjileri.....	107
Çizelge 5.27.	$x=0.5$ Pr katkılı numunenin kristalografik özelliklerı.....	109
Çizelge 5.28.	$\text{Bi}_2\text{Sr}_2\text{Ca}_2\text{Cu}_{2.5}\text{Pr}_{0.5}\text{O}_{10+\delta}$ sistemine ait elektriksel ölçüm ve hole konsantrasyonu sonuçları.....	111
Çizelge 5.29.	Pr-katkılı sistemde elde edilen T_{pik} değeri.....	112
Çizelge 6.1.	Mo, Er ve Pr-katkılı Bi-2223 sistemi için hesaplanan aktivasyon enerjileri.....	115
Çizelge 6.2.	Cu-yerine katkı yapılmış Bi-2223 sistemde Avrami parametresi, n	118
Çizelge 6.3.	Cu yerine Mo katkılı Bi-2223 sisteminde kristal hücre parametrelerinin değişimi.....	122
Çizelge 6.4.	Cu yerine Er katkılı Bi-2223 sisteminde kristal hücre parametrelerinin değişimi.....	123
Çizelge 6.5.	Cu yerine Pr katkılı Bi-2223 sisteminde kristal hücre parametrelerinin değişimi.....	123
Çizelge 6.6.	Katkılama ile fonon-çekim sıcaklığının değişimi.....	128
Çizelge 6.7.	Mo katkılı sistemde Lineer terimli çift band modeli kullanılarak elde edilen katsayılar.....	130
Çizelge 6.8.	Er katkılı sistemde Lineer terimli çift band modeli kullanılarak elde edilen katsayılar.....	131
Çizelge 6.9.	Pr katkılı sistemde Lineer terimli çift band modeli kullanılarak elde edilen katsayılar.....	132
Çizelge 6.10.	Mo katkılı sistemde Xin' in çift band modeli kullanılarak elde edilen katsayılar.....	133
Çizelge 6.11.	Er katkılı sistemde Xin' in çift band modeli kullanılarak elde edilen katsayılar.....	133
Çizelge 6.12.	Pr katkılı sistemde Xin' in çift band modeli kullanılarak elde edilen katsayılar.....	134
Çizelge 6.13.	Cu yerine yapılan katkılamar ile bu çalışmada hazırlanan sistemlerin T_c sıcaklıklarının karşılaştırılması.....	138

SİMGELER VE KISALTMALAR

HT_c	Yüksek sıcaklık süperiletkenliği
LT_c	Düşük sıcaklık süperiletkenliği
T_c	Kritik sıcaklık
T_0	Sıfır direnç sıcaklığı
ΔT	$T_c - T_0$
\vec{k}	Elektron dalga vektörü
\vec{q}	Fonon dalga vektörü
\vec{k}_f	Fermi uzayındaki dalga vektörü
E_f	Fermi enerjisi
ΔE	Etkileşme enerjisi
$g(E_f)$	Durum yoğunluğu
V	Etkileşme potansiyeli
Δ	Bir süperiletken sisteme taban ve uyarılmış durumlar bir enerji aralığı
J_c	Kritik akım yoğunluğu
H_c	Kritik manyetik alan
I_c	Kritik akım
A	Numunenin kesit alanı
ΔM	$M_+ - M_-$ (M_+ pozitif manyetizasyon ve M_- negatif manyetizasyonu gösterir)
λ	Sızma derinliği
ξ	Uyum uzunluğu (coherence lenght)
κ	Ginzburg-Landau parametresi
m	Elektronun kütlesi
e	Elektronun yükü
c	Işık hızı
n_s	Süperiletimi meydana getiren elektronların yoğunluğu
\tilde{F}_L	Lorentz kuvveti
\bar{J}	II. tip süperiletkende transport akım yoğunluğu
\vec{B}	manyetik akı
S	Termoelektrik güç
\vec{E}	Elektrostatik potasiyelin yarattığı elektrik alan
$\bar{\nabla}T$	Düşük ve yüksek sıcaklık bölgeleri arasındaki sıcaklık gradiyenti
l	Ortalama serbest yol
S_d	Difüzyon termoelektrik gücü
$\sigma(\varepsilon)$	ε enerjili taşıyıcıların iletkenliği
k	Boltzmann sabiti
θ_D	Debye sıcaklığı
ε_k	\vec{k} dalga vektörünün enerjisi
S_g	Fonon-çekim (fonon-drag) termoelektrik gücü
U	Akustik enerji
P_x	U akustik enerjisinin konuma bağlı olarak azalmasına karşılık gelen yayılma basıncı
F_x	Yük dengesizliğine eşlik eden elektrostatik orjinli zıt yönde oluşacak kuvvet
n_0	Yük yoğunluğu

F_x	Yük dengesizliğine eşlik eden elektrostatik orjinli zıt yönde oluşacak kuvvet
n_0	Yük yoğunluğu
E_x	x-yönünde oluşan elektrik alan
C_g	Fononik ısı sığası
E_0	Lineer terimli çift band modeline göre Fermi seviyesi civarındaki Lorenzian rezonansının merkezi
γ	Rezonansın genişliği
α	Lineerlik katsayısı
S_F	Nagosa-Lee modeline göre Fermi durumundaki termoelektrik güç
S_B	Nagosa-Lee modeline göre Maxwellian durumundaki termoelektrik güç
p	Cu-O düzlemi başına hole konsantrasyonu
μ	Kimyasal potansiyel
σ^+	Hollerden gelen elektriksel iletkenlik
σ^-	Elektronlardan gelen elektriksel iletkenlik
E_c	Band aralığının merkezinden iletim bandının altına kadar ölçülen enerjid
A	Xin' in çift band modeline göre Cu-O düzlemlerindeki hareketli hole katkısını gösterir
λ	Tabakalar için band yapısındaki enerji aralığını bulmak için kullanılmaktadır ($\lambda = E_c/k$ ve $E_c = E_g/2$)
E_g	Enerji band aralığı
\vec{J}_U	Sistem boyunca taşınan akı
κ	Termal iletkenlik katsayısı
κ_e	Elektronik termal iletkenlik
κ_L	Örgü termal iletkenliği
κ_{xy}	Enine termal iletkenlik (Rughi-Leduc etkisi)
ρ_U	Enerji yoğunluğu
$\overline{c_z}$	Moleküler hızın z-yönündeki bileşeninin mutlak değer ortalaması
$\rho_U(2)\overline{c_z}$	T_2 sıcaklığındaki sistemin bir ucunun enerji karakteristik akısı
$\rho_U(1)\overline{c_z}$	T_1 sıcaklığındaki sistemin bir ucunun enerji karakteristik akısı
\hat{C}_V	Sabit hacimde ısı sığasıdır
L	Lorentz sabiti
τ_{el}	Elektronlar için gevşeme zamanı
\hbar	Planck sabiti
q_x	Isı transfer hızı
ρ	Özdirenç
\vec{G}	Ters örgü vektörü
D	Kristal boyutu
f	Çekirdeklenme-büyüme için dönüşme kesri
u	Küresel şekilde dönüşüm ugramış bölgelerin ara yüzeyinin birim alanı başına izotropik büyümeye hızı
I_v	Çekirdeklenme hızı
τ	Çekirdeklenme zamanı
K	Zamana bağlı reaksiyon hız sabiti
n	Avrami parametresi
T_{endo}	1. endotermik aktivitenin görüldüğü sıcaklık
T_{KM}	2. endotermik aktivitenin görüldüğü kısmi erime sıcaklığı
α	DTA'da kullanılan ısıtma hızı

R	Gaz sabiti ($R=8.314 \text{ J/molK}$)
E_a	Kristalleşme için aktivasyon enerjisi
T_0	Mutlak sıcaklık (273 K)
L	Scherrer Modeline göre hesaplanan kristal büyüklüğü
t	x-ışını desenlerinde piklerin yarı genişliği (Full Width Half Maximum, FWHM)
θ	X-ışını pik açısı
λ	X-ışını dalga boyu
T_{pik}	S(T) ölçümelerinde termoelektrik gücün pik verdiği sıcaklık
ϕ	Bir T sıcaklığında kristalleşme pikinin kısmi alanının kristalleşme ekzotermının toplam alanına oranı
T_g	Fonon-çekim termoelektrik gücünün başladığı sıcaklık

1. GİRİŞ

Süperiletkenlik çalışmaları 20 yy başlarında ve o dönemin teorik fizikçilerinin de ilgisini çeken beklenmedik deneysel buluşlarla başlamıştır. Bu buluşlardan en önemlisi; 1908' de Hollanda' nın Lieden Üniversitesinde Kamerling Onnes' in Helyumu sıvılaştırması ve 1911' de metalik civanın mutlak sıfırda elektriksel direncinin kaybolduğunu bulmasıdır. Daha sonra, 1933' de Berlin' de Walter Meissner ve Robert Ochsenfeld' in süperiletken maddelerin manyetik alanı dışladığını bulmaları ile süperiletkenlik konusunda çalışmalar hızlanmıştır. 1986 yılında ise Johanne George Bednorz ve Karl Alexander Müller' in ilk oksitli yüksek sıcaklık (HT_c) süperiletkeni bulmaları ile tüm dünyada hızlı bir gelişim göstermiştir [1].

Tarihsel olarak ilk süperiletkenlik deneyi 1911' de Onnes' in Civa ile yaptığı deney ile başlar [2]. Onnes metallerde elektriksel direncin niçin sıcaklığa bağlı olduğunu açıklarken Einstein' in kuantum osilatörler teorisinin etkisinde kalmıştı. Buna göre, eğer moleküllerin termal titreşimleri akımın akmasına engel olur ve bu titreşimler düşük sıcaklıklarda çok küçük olursa o zaman Einstein' in osilatörleri düşük sıcaklıklarda metallerdeki direnç düşmesini açılayabilirdi. Bu durumda mutlak sıfıra yaklaşıldıkça saf metalin öz direnci sonsuza gitmek yerine sıfıra doğru azalacaktı. Bu sanıyi ispatlamak için Onnes yaptığı deneyde civanın özdirencinin 4.2 K' de sıfıra düştüğünü gözledi [3]. Bu sıcaklıktaki direnç düşmesinin çok ani olması ancak Einstein modeli ile açıklanabilmekteydi. Bu bağlamda devam eden deneyler sonucunda 1914' de Kurşunun 7.2 K' de ve Niobiumun 9.2 K' de süperiletken hale geçtiği belirlendi [4,5].

1933' de Meissner ve Ochsenfeld kritik sıcaklıkta bulunan bir süperiletke dışarıdan manyetik alan uygulandığında süperiletken malzemenin bu manyetik alanı dışarıladığını gördüler [6]. Böylece süperiletkenlerin sadece mükemmel bir iletken değil aynı zamanda mükemmel bir diamagnet oldukları da keşfedilmiş oldu. Bu durum Fizikte Meissner etkisi olarak adlandırıldı ve süperiletkenlik için önemli bir dönüm noktası oldu. Fakat o yıllarda hala süperiletkenlik için bir kuantum mekaniksel temel oluşturulamamıştı. 1935' de Heinz ve Fritz London sızma derinliğini "dışarıdan uygulanan statik manyetik akı bir süperiletken malzemeye sızabilir" şeklinde açıkladılar [7]. 1950' ye kadar hala bir mikroskopik teori oturtulamamıştı ama bulmacanın parçaları yavaş yavaş bir araya geliyordu. 1950 yılında Vitaly Ginzburg ve Lev Landau, Landau' nun ikinci dereceden faz analizleri ile süperiletkenlerin elektrodinamik denklemlerini ilişkilendirmeyi başardılar [8]. Sonuçta Schrödinger denklemine benzer

bir kısmi diferensiyel denklem kullanarak kompleks düzlen parametresi ile süperiletken durumu açıkladılar. 1950'lerin başında Herbert Fröhlich altın ve gümüş gibi iyi iletkenlerin süperiletken olmadığını gördü. Yine Fröhlich süperiletken geçiş sıcaklığının saf metaller için örgüdeki iyonların kütlelerinin karekökü ile ters orantılı olduğunu da buldu [1].

1957' de Moskova' da Alexei Abrikosov II. tip süperiletkenler olarak isimlendirilen yeni tip süperiletken sınıfını buldu [9]. Bu tip süperiletkenler bir manyetik alanda negatif bir yüzey enerjisine sahip oldukları için kararsızdır. Böylece, süperiletken durumda belli bir manyetik alan değerine kadar manyetik alan numuneye siziyordu. Bu değer geçildiğinde numune hala süperiletken olmasına rağmen manyetik alan süperiletken malzemeye kısmen siziyor ve numune içinde karışık durumu (mixed state) oluşturuyordu.

1957' de John Bardeen, Leon Cooper ve J. Robert Schrieffer BCS teorisi olarak bilinen ilk mikroskopik teoriyi ortaya koymayı başardılar [10]. Bu teoriye göre mutlak sıfırda bir elektron-fonon-elektron etkileşmesi olmakta ve süperiletimi Cooper çiftleri olarak ta adlandırılan elektron çiftleri oluşturmaktaydı.

1971' de Nb_3Ga ($T_c=21$ K) [11], 1973' de Nb_3Ge ($T_c=23.2$ K) [5] süperiletken metal alaşımıları keşfedildi. Ancak 1911' den 1986 yılına kadar 300' den fazla metal ve alaşımın düşük sıcaklıklarda (<20 K) süperiletken olduğu gözlenmiştir.

1986' da J. G. Bednorz ve K. A. Müller 35 K' lik geçiş sıcaklığına sahip ve CuO tabakalarından oluşan oksit bazlı La-Ba-Cu-O yüksek sıcaklık süperiletken ailesini keşfettiler. Bu oksitli bileşiklerde elde edilen en yüksek geçiş sıcaklığı olarak kabul edildi [12].

1987' de C. W. Mitchell vd. ~ 20 K geçiş sıcaklığına sahip Bi-Sr-Cu-O süperiletken sistemini buldular [13]. Yine aynı yıl içinde M. K. Wu vd. LaBaCuO sisteminde Lantanyum yerine Yitriyum koyarak Y-Ba-Cu-O süperiletken sistemini keşfettiler [14]. Bu sistemin süperiletkenliğe geçiş sıcaklığı ~ 92 K olarak bulundu.

1988' de H. Maeda vd. Bi-Sr-Cu-O sistemine Ca ekleyerek geçiş sıcaklığını 80 K' ne yükseltti [15]. Daha sonra bu sistemde Ca ve Cu tabakalarının sayısının artırıldığında geçiş sıcaklığının 110 K kadar yükseldiği görüldü [16,17]. Böylece, Bi-bazlı süperiletken sisteminde $Bi_2Sr_2Ca_{n-1}Cu_nO_{2n+4+\delta}$ denklemine ve $n=1, 2$ ve 3^+ e bağlı olarak üç farklı faz olduğu bulundu.

1989' un başlarında 120 K' nin üstünde geçiş sıcaklığına sahip Tl-Ba-Cu-O süperiletken ailesi keşfedildi [18,19].

1993' de Hg-Ba-Cu-O sistemi bulundu [20]. Bu sistemin geçiş sıcaklığının normal şartlarda 133 K ve yüksek basınç altında 164 K olduğu görüldü [21]. Ancak hem TlBaCaCuO ve hem de HgBaCuO sistemlerinin BiSrCaCuO sistemininkine benzer denklemlerle farklı fazları olduğu gözlenmiştir.

Son olarak 2001 yılında dünyadaki bütün araştırma gruplarını heyecanlandıran MgB₂ metal-alaşım süperiletkeni keşfedildi [22]. Bu sistemin geçiş sıcaklığı 39 K olarak bulundu. Sistem BCS teorisine uyduğu için de hem teorisyenlerin hem de deneysel çalışan grupların büyük ilgisini çekmiştir.

Günümüzde HT_c süperiletken sistemleri üzerine yoğun çalışmalar halen devam etmektedir. Özellikle, teknolojik uygulama alanlarında önemli mesafeler alınmış bulunmaktadır. Hazırlanan numuneler tel, şerit, film veya çeşitli geometrik şekiller haline getirilerek tren raylarında, uzay çalışmalarında, SQUID' larda, yüksek manyetik alan yaratan magnetlerde, süper bilgisayarlarda, tipta ve daha bir çok noktada teknolojiye uygulanabilmektedir.

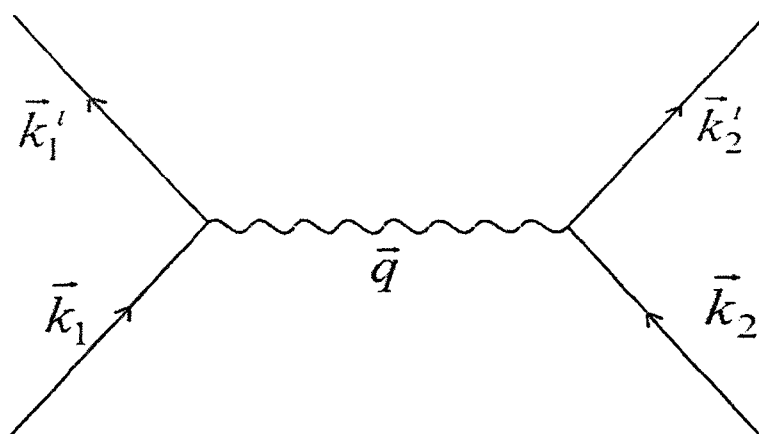
Bu çalışmada Bi-Sr-Ca-Cu-O süperiletken ailesi baz alınarak nominal kompozisyonu Bi₂Sr₂Ca₂Cu_{3-x}L_xO_{10+δ} (L=Mo, Er ve Pr, 0.5≤x≤2.0) olan sistemler cam-seramik yöntemiyle hazırlandı. Kristalleşme için gerekli ıslı işlemlerden sonra sistemde yapılan katkılamaların fizikal ve termal özelliklerde ortaya çıkardığı değişimler başta kristal yapı değişimleri, sıcaklığa karşı elektriksel direnç değişimi, hole yoğunluğu, termoelektrik güç, termal iletkenlik ve kristalleşme aktivasyon enerjileri kapsamında detaylı olarak ele alınmıştır. Ortaya çıkan yeni alt sistemlerin teknolojiye getirişi de ayrıca tartışılmıştır.

2. KURAMSAL TEMELLER

Yaklaşık 90 yıllık çalışmalar sonucunda yüzlerce ve hatta binlerce metal, metal-alaşımlar, seramikler, değişik polimerik yapılar ve diğer organik bileşiklerin incelenmesi sonucunda sadece saf metaller ve saf (tek fazlı) metal-alaşımlar için bir teori geliştirilebilmiştir (BCS, 1957). Ancak, bunların dışındaki malzemeler için henüz tam ve kesin bir teori ortaya konamamıştır. Kullanılan malzemelerin yapılarındaki ve/veya doğasındaki karmaşıklık ortaya konan teorilerin kısa ömürlü olmasını sağlayıp teoriden ziyade teorik yaklaşımalar olarak literatürde yer alması gerektiğini ortaya koymaktadır. Yüksek geçiş sıcaklığına sahip oksitli bileşiklerin 1987' de bulunmasından 1995 yılına kadar 200 civarında teorinin ortaya atılmış olması ancak günümüzde bunların tamamının birer yaklaşım olarak kaldığı bu durumun en güzel delili olarak görülmektedir.

2.1. Elektron-Elektron Çiftlenmesi ve Cooper Çiftleri (BCS Teorisi)

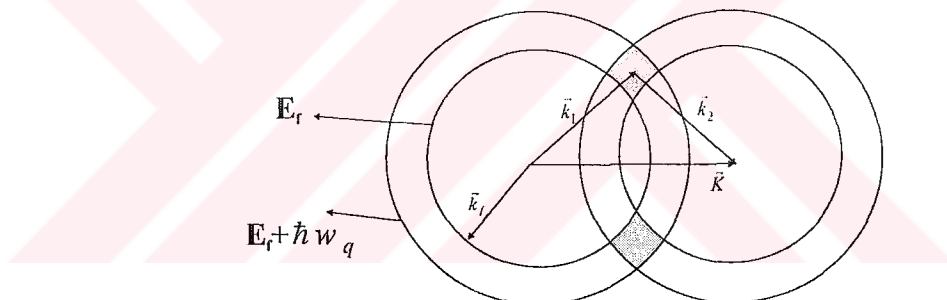
J. Bardeen, L. Cooper ve J. R. Schrieffer' in soyadlarının baş harflerini alan BCS teorisi mutlak sıfır civarında Fermi yüzeyine yakın, dar bir enerji aralığında bulunan elektronların net çekim etkileşimi üzerine kurulmuştur, Şekil 2.1 [23]. Bir kristal orgüden elektronlar geçirildiğinde örgü fononlar yayarak elektronlara doğru deform olur.



Şekil 2.1. BCS teorisinin şematik gösterimi. İki elektron arasındaki çekici etkileşim bir fonon yardımıyla olmaktadır \vec{k} elektron dalga vektörü ve \bar{q} fonon dalga vektörünü göstermektedir.

Böylece, elektron çevresinde pozitif yük yoğunluğu (polarizasyon) meydana gelir. Eğer bu polarizasyon bulutu civarında ikinci bir elektron varsa ikinci elektron bu deformasyonu görür. İkinci elektron polarizasyondan etkilenir ve yayılan fonomu absorblayarak daha düşük enerji durumuna geçer. Böylece, iki elektron arasında fonon yardımıyla bir çekici etkileşme meydana gelir (Coulomb etkileşmesi).

Elektronlar arasındaki çekici etkileşme taban durum enerjisinde bir azalmaya neden olur. Esas olarak düzenlenme zıt spinli ve zıt dalga vektörlü elektronlar arasında çiftlenme ile olmaktadır. Daha açık olarak ideal durumu göz önüne alalım: Fermi uzayında elektron gazının bir Fermi küresini doldurduğunu düşünelim. \vec{k}_f 'nin (Fermi uzayındaki dalga vektörü) altındaki bütün durumlar E_f enerji düzeyinde iken \vec{k}_f 'nin üstündekiler boştudur. Bu sistemde $[\vec{k}_1, E(\vec{k}_1)]$ ve $[\vec{k}_2, E(\vec{k}_2)]$ olmak üzere iki elektron durumu olsun. Fonon alış-verişini içeren etkileşme sadece $|E(\vec{k} + \vec{q}) - E(\vec{k})| \leq \hbar w_q$ için meydana gelecektir ve $\vec{K} = \vec{k}_1 + \vec{k}_2$ sbt olmak üzere yeni bir durum meydana gelir.



Şekil 2.2. İki elektron E_f nin üzerinde $\hbar w_q$ kalınlığında bir tabakada bulunduğu zaman etkileşen iki elektronun \vec{k} -dalga vektörlerinin gösterilmesi.

Elektron çiftinin enerjisi elektronların tek tek enerjilerinin toplamıdır ve etkileşme enerjisi ΔE dir. Sistemin ψ_{12} dalga fonksiyonuna katkıda bulunan terimlerin sayısı büyündükçe ΔE de büyümektedir. $\vec{K}=0$ durumunda ΔE en büyük değerine ulaşacaktır. Bu durum E_f nin hemen üstünde iki elektron olarak görülebilir. Etkileşme, elektronlar sadece $E(\vec{k}_i) \leq E_f + \hbar w_q$ enerjileri ile Fermi küresinin dışında ise meydana gelir, Şekil 2.2.

İki elektronun spinleri Pauli dışarılanma ilkesine göre antiparaleldir. Sistemin toplam enerjisi hesaplandığında,

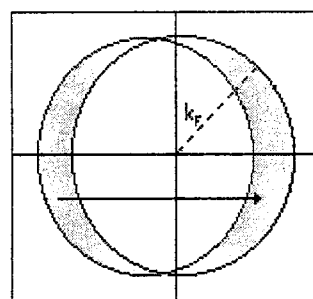
$$E = 2E_f - 2hw_q \exp[-2/g(E_f)V] \quad (2.1)$$

olarak elde edilmektedir. Burada, $g(E_f)$; durum yoğunluğu ve V ; etkileşme potansiyelidir. Denklem (2.1)' den elektron çiftinin minimum enerjisi etkileşme olmadığından $2E_f$ ' den daha küçüktür. Bu durumda, elektron çiftinin en düşük enerji durumu band enerjisidir. Burada Fermi yüzeyinin altındaki durumlardan üstündeki durumlara elektron çiftinin uyarılması düşük enerji durumuna götürür. O zaman dolu Fermi külesi kararsızdır. Böylece, elektron çiftlerini (Copper çiftlerini) oluşturarak sistem bir enerji kazancı sağlar. Bir çiftteki elektronlar aynı enerji durumundalarda zıt dalga vektörüne ve zıt spine sahiptirler.

Elektronlar arasındaki çekim etkileşmesi taban durumunu üst uyarılmış durumdan ayırrır. Bir süperiletkende uyarılmış durum

$$\bar{\epsilon}(k) = \sqrt{\epsilon^2 - \Delta^2} \quad (2.2)$$

olarak verilmektedir. Taban ve uyarılmış durumlar bir enerji aralığı (Δ) ile ayrılmaktadır. Üstelik bir saçılma işleminde (elektron sisteme enerji transferi) bir parçacık asla tek yaratılmaz, her zaman çiftler halinde yaratılırlar ve etkileşmeyen elektron gazının elektron-hole çiftine karşılık gelirler. Bu nedenle, taban durumunun dışındaki uyardıma için eşik enerjisi $2\Delta'$ dir. Mutlak sıfır civarında elektronların enerjisi yasak enerji aralığını atlayacak kadar büyük değildir ve böylece Cooper çiftleri bozulamayacağından enerjilerini örgüyü aktaramazlar. Çiftler birbirinden ayrılamayacağına göre sonsuza kadar hareket ederler.



Şekil 2.3. Bir elektrik alanda Fermi külesi içindeki bütün elektronlar \vec{k} -uzayında yer değiştirirler. Elektrik alan kaldırıldığında Fermi küresinin içindeki ve dışındaki iki taraklı bölge arasındaki geçiş ile denge yeniden sağlanır. Bir süperiletken elektron gazında yasak enerji aralığı da yer değiştirecektir. Böylece, saçılma prosesi sadece $2\Delta'$ lik enerji elde edilirse meydana gelecektir.

Bu sonuç elektron gazının süperiletken özelliklerinin yorumlanmasına izin verir. Şekil 2.3' de anlatıldığı gibi, elektron gazının akım-taşıma durumu bir elektrik alan uygulandığında \vec{k} -uzayında Fermi küresinin yer değiştirmesiyle de oluşacağı bilinmektedir. Alan kaldırıldığında fononların absorbsiyonu veya yayılması ile elektron orjinal Fermi küresine yeniden saçılır, böylece bir saçılma işlemi ile denge sağlanmış olur. Bu işlem etkileşmeyen elektron gazında meydana gelir. Fermi küresinin yer değiştirmesi çok küçük ise, yani Şekil 2.3' ün sol tarafındaki taralı bölgede elektronların hiç biri $2\Delta'$ dan daha yüksek enerjiye sahip değil ise akım-taşıma durumunda bir gevşeme meydana gelmez. Böylece akım dirensiz akar.

Saçılma sırasında 2Δ minimum enerjisini elde etmek için gerekli olan durum bizi Cooper çiftlerinin ve single-quasi-parçacıklarının uyartılmış durumda birlikte olduğu gerçeğine götürür. Cooper çiftleri dirensiz akarken, bireysel parçacıklar saçılırlar [24].

Bütün bu sonuçlar kullanılarak BCS teorisi şu şekilde özetlenebilir:

- 1- Ortamın serbest elektron gazı olması gereklidir ki bağlı boson durumuna ulaşılabilir.
- 2- Cooper çiftleri arasındaki uzaklık yaklaşık olarak 10 nm. boyutunda olmalıdır (Uyum uzunluğu)
- 3- İletim elektron yoğunluğunun fazla olması gereklidir. Aksi takdirde çekici Coulomb etkileşmeleri elektron-fonon-elektron etkileşmesini perdeleyebilir.

2.2. Rezonans Valans Band (RVB) Teorisi; Anderson Teorisi (Yaklaşımı)

Bu yaklaşım aslında BSC teorisinin genel sonuçlarına daha farklı bir boyut kazandırmaktadır. Ancak modellemenin bazı bölümlerindeki matematiğin yetersiz kalmasından dolayı son yıllarda geniş kitleler tarafından kabul görmemektedir.

Bu modelde tek elektron spinleri örgü noktalarında lokalize olurlar ve diğer örgü noktalarındaki elektronlarla etkileşirler. Böylece yapıda bir antiferromanyetik düzenlemeye olur. Böylece, bosonik bir şekillenme meydana gelir. Atomlar arası yer değiştirme, ara yere girme ve yük perdelemesi gibi durumlarda zıt spinli komşu elektronlar arasında bir çekici etkileşme olur. Bu örgüye bir alıcı iyon yerleştirilirse lokalize elektron çiftleri arasında holler ortaya çıkar. Etkileşme örgü noktalarına yerleşmiş Cooper çiftleri ile olur ve bu çiftler termodinamik olarak kararlıdırlar. Bu kararlılık süperiletim durumunu ortaya çıkarır [25-27].

2.3. Diğer Teorik Yaklaşımlar

Varma tarafından geliştirilen bir teoride, sistemde bir Landau-Fermi sıvısı oluşmaktadır [28]. Paramanyetizmadan antiferromanyetizmaya geçişte olduğu gibi symmetry-breaking geçisi sırasında bir kırılma meydana gelir. Ağır fermiyonik metallerde bu türden bir geçiş yüksek basınçta bir süperiletkenliğe götürür. Yani süperiletkenliğin başladığı nokta symmetry-breaking geçisinin olduğu noktadır. Bu teori bir çok metalik süperiletkenler için iyi sonuçlar vermiştir. Bununla birlikte, HT_c ' ler asla bir Landau-Fermi sıvısı oluşturmazlar ve HT_c ' lerde Landau-Fermi teorisi süperiletken geçiş sıcaklığı civarında etkisiz kalmaktadır.

Süperiletkenler için bir başka teorik yaklaşım Ogg-Schafroth tarafından ortaya konulan yaklaşımındır (Crossover geçiş teorisi) [29]. Değişik süperiletken materyallerin süperiletken davranışını ele alan bu yaklaşım yüksek yoğunluklu, zayıf bağlı, metalik elektronların oluşturduğu Cooper çiftlerinin BCS teorisi ile düşük yoğunluklu, sıkı bağlı, izole bipolaronların Bose-Einstein yoğunlaşması arasındaki BCS-Bose-Einstein geçisi üzerine kurulmuştur. Sistemde crossover geçişine yaklaşılıkça HT_c süperiletkenliği, hem Fermi tarafında hem de Mott-Yalıtkan geçisinin Bose-Einstein tarafında eş zamanlı olarak ortaya çıkar. Bu da kütle, yük ve spin dalgalanma bölgesinde elektronik Bose-Einstein yoğunlaşmasına benzemektedir. Sonuçta bu teori HT_c ' ler için kesin bir tanımlama yapamamaktadır.

Blackstead-Dow yaklaşımında ise geleneksel modellerdekinden farklı olarak seramiklerin kristal yapılarının farklı kısımlarındaki iletim özellikleri ele alınmaktadır [30]. Burada tartışılan en önemli eleman “zincir düzlem” olarak bilinen kristalin bir bölgesinde yerleşmiş oksijenlerdir. Daha önceki tartışmalarda “cuprate düzlem” olarak bilinen zincir düzleme komşu bölgenin süperiletkenlikten sorumlu olduğu kabul edilmektedir. Çünkü, burası seramikte süperiletkenlikten sorumlu metalik kısmı oluşturmaktadır. Ama, Blackstead ve Dow bu düzlemin gerçekten oksijen atomlarını metalik süperiletken duruma sıkıştıran bir örs “anvil” olarak hareket ettiğini söylediler. Diğer araştırmacıların gözden kaçıldıkları şeyin oksijenin olması gerektiğinden daha düşük değerlik durumunda olduğunu öne sürdüler. Ayrıca, cuprate düzlemine yakın bir kristal yapıda bulunan bir manyetik iyon süperiletkenliği etkilemez iken, zincir düzlemde bulunan manyetik iyon geçiş sıcaklığını hızlı bir şekilde düşürmeye ve süperiletkenliği yok etmektedir. Bu nedenle, süperiletkenliğin cuprate düzleminde değil

zincir düzleminde olması gerektiğini önerdiler. Bununla birlikte, bu teoriyi destekleyen herhangi bir deneysel veriye henüz literatürde rastlanmamıştır.

2.4. Süperiletkenlerde Fiziksel Özellikler

Bir örnekte genel olarak süperiletkenlik üç fiziksel temelle tanımlanabilmektedir; kritik geçiş sıcaklığı, T_c , kritik akım yoğunluğu, J_c ve kritik manyetik alan, H_c . Ancak, bu üç özelliği tamamlayıcı unsurlar olarak Meissner etkisi, Uyum uzunluğu (coharence lenght) ve manyetizasyon (diamanyetizma) gibi fiziksel özellikler de karakterizasyonda göz önüne alınabilmektedir.

Kritik geçiş sıcaklığı, T_c , örneğin metalik özelliklerinin değişimeye başladığı sıcaklık olarak tanımlanmaktadır. Direnç-sıcaklık (R-T) eğrisinde materyalin süperiletken olmaya başladığı başlangıç ve bitiş noktası arasındaki fark, ΔT , süperiletken malzemenin kalitesini göstermektedir. Aralığın dar olması örneklerin daha kaliteli, saf ve homojen yapıda olduğunu, aralığın geniş olması malzemenin çok fazlı ve homojen yapıda olmadığı ve dolayısıyla fiziksel özellikler açısından düşük kalitede olduğunu gösterir [31].

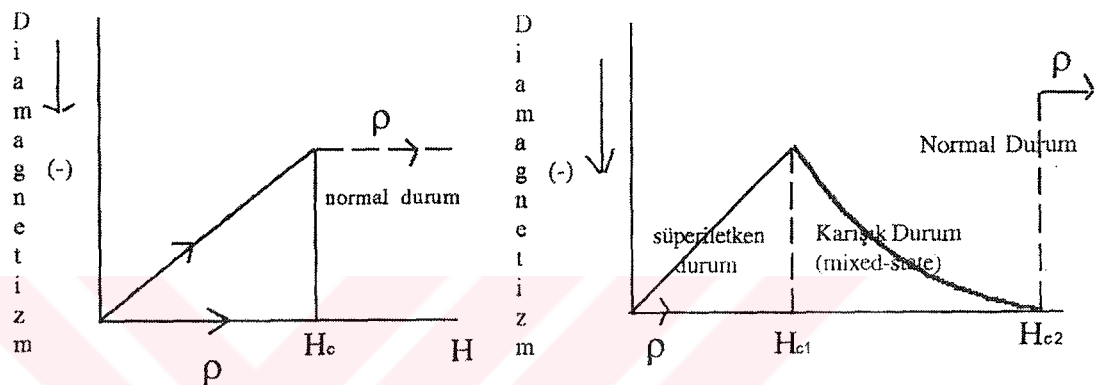
Bir süperiletken numunenin kritik akım yoğunluğu J_c ($J_c=I_c/A$, burada I_c ; kritik akım ve A; numunenin kesit alanı) hem iç (intrinsic) hem de dış (extrinsic) faktörler ile sınırlanır. Bir iletkenin iç J_c sınırlaması akı tuzaklamasının gücü ile belirlenmektedir. Filament özellikler, gözeneklilik, mikro-çatlaklar, yapı kusurları ve diğer safsızlıklar gibi dış sınırlamalar I_c ' yi azaltabilir ve bu da iletkenin J_c kritik akım yoğunlığında azalma olması anlamına gelir. Yapıda farklı yönelmeye sahip taneciklerin oluşturduğu kusurlardan, ikincil faz safsızlıklarından, gözeneklilik ve mikro-çatlaklardan kaçınmak genellikle imkansız olduğu için çoğu kez HT_c numunelerde bu faktörler iç sınırlamalar olarak ta kabul edilmektedir.

Kritik akım yoğunluğu transport ve manyetik olmak üzere iki farklı yöntemle bulunmaktadır. Transport akım yoğunluğu deneysel bir yöntem olup direk (I-V, akım-gerilim) karakteristiginden bulunmaktadır. Manyetik akım yoğunluğu ise Bean formülü ile yarı deneysel olarak hesaplanmaktadır [32]:

$$J_m = \frac{20(\Delta M)}{a\left(1 - \frac{a}{3b}\right)} \quad \text{Acm}^{-2} \quad (2.3)$$

burada $\Delta M = M_+ - M_-$ (M_+ pozitif manyetizasyon ve M_- negatif manyetizasyonu gösterir), a ve b dikdörtgen olarak alınan numunenin boyutlarıdır.

Genel olarak süperiletkenler I. tip ve II. tip olarak bilinen iki temel sınıftan oluşmaktadır. I. tip süperiletkenler (saf metaller ve tek fazlı alaşımalar) kritik alan değeri H_c ' ye kadar uygulanan manyetik alanı dışlarlar ve sadece yüzeylerindeki ince bir tabaka içinde süper akım taşırlar. Ancak H_c alanı geçildiğinde malzeme keskin bir şekilde normal hale geçer [33], Şekil 2.1.(a).



Şekil 2.4. (a) I. tip süperiletkenlik ve (b) II. tip süperiletkenliğin uygulanan alana karşı diamanyetizma etkisi

II. tip süperiletkenlerde (saf olmayan alaşımalar, oksitli bileşikler) uygulanan manyetik alan H_{c1} değerine gelinceye kadar manyetik alan çizgileri dışlanır. H_{c1} değeri geçildiğinde manyetik alan çizgileri kısmen dışlanır ama numune hala süperiletkektir. H_{c1} ' in üstünde materyal hala süperiletken olmasına rağmen, manyetik alan materyale nüfuz edebilmektedir. Burada manyetik alan Abrikosov Vortex formunda bulunmaktadır ve deneyel olaraq alanın akı kuantası şeklinde nüfuz ettiği bulunmuştur [34-36]. H_{c2} değerine gelindiğinde manyetik alan çizgileri tamamen numuneye girer ve süperiletkenlik yok olur. H_{c1} ile H_{c2} arasındaki bölgede süperiletken içerisinde öbekler halinde manyetik akı oluşur ve bu bölge karışık durum (mixed-state) olarak isimlendirilir, Şekil 2.1.(b). Bu öbekler halindeki manyetik akı (magnetic flux) fluxon olarak bilinen kuantumlardan ibaret fluxoidler olarak II. tip süperiletkenlere sızarlar. II. tip süperiletkenler I. tip süperiletkenlerden teknolojik olarak daha kullanışlıdır.

Normal durumda bir HT_c süperiletken numune manyetik bir materyal değildir. Bu nedenle, malzeme normal durumda bir manyetik alana konulduğunda manyetik alan çizgileri malzemeden geçer. Eğer örnek kritik sıcaklığının, T_c , altına soğutulursa örnek

yüzeyinde uygulanan manyetik alana zıt, girdap (vortex) şeklinde bir manyetik alan oluşur ve bu durumda dış manyetik alan çizgileri dışlanır. Bu olaya Meissner etkisi denilmektedir [11]. Meissner etkisi seramik bir malzemenin metalik özellik göstermesinin en büyük kanıtıdır.

Homojen bir süperiletken malzeme ince bir yalıtkan ile ikiye ayrıldığında ve hiçbir uyarılma olmadığında Cooper çiftleri birinci süperiletkenin Fermi yüzeyinden ikinci süperiletkenin Fermi Yüzeyine geçemez. Numunenin herhangi bir tarafına çok küçük bir gerilim uygulandığında gerilim uygulanan kısmın elektron konsantrasyonunda artma olur. Fazla elektronlar diğer tarafa doğru akma eğilimi gösterirler. Bir taraftan diğerine taşınma işlemi iki süperiletkeni ayıran bariyerden ancak kuantum mekaniksel olarak tünelleme ile olmaktadır. Bu durum Josephson Etkisi olarak tanımlanmaktadır [37]. Tünelleme 3 şekilde meydana gelir:

- 1.) DC-Josephson Etkisi; numuneye bir DC voltaj uygulandığında eklem boyunca DC akımının akmasıdır.
- 2.) AC-Josephson Etkisi; uygulanan bir DC voltaj ile eklem boyunca sinüzoidal akımının akmasıdır.
- 3.) Örneğe manyetik alan uygulayarak bir osilasyon yaratılması sonucu meydana getirilen Josephson etkisidir.

Bir süperiletken numunenin diamanyetik özelliği numunenin içinden akım geçmesini engeller. Dış bir manyetik alan numune içinde bir anda sıfıra düşmez, düşüş üsteldir. Dış manyetik alana karşı oluşan perdeleme akımı içinden aktığı tabakanın kalınlığına eşit bir uzaklığa kadar azalır ve sonra da sıfıra düşer. Bu uzaklığa sızma derinliği (λ) denir [38]. Sızma derinliği teorik olarak

$$\lambda = \left(\frac{mc^2}{4\pi n_s e^2} \right)^{1/2} \text{ Å} \quad (2.4)$$

ile verilir. Burada, m ; elektronun kütlesi, c ; ışık hızı, n_s ; süperiletimi meydana getiren elektronların yoğunluğu ve e ; elektronun yüküdür. Sızma derinliği sabit değildir ve sıcaklıkla değişir. Bununla birlikte, düşük sıcaklıklarda hemen hemen sıcaklıktan bağımsızdır ve karakteristik λ_0 değerine eşittir. Yüksek sıcaklık süperiletkenleri için sızma derinliği yaklaşık 1200-4000 Å arasındadır.

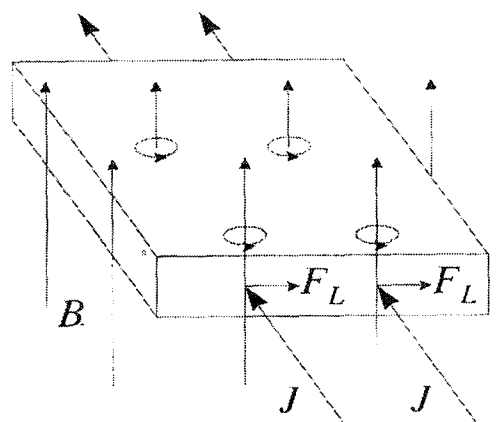
Uyum uzunluğu (coherence length) süperiletken içinde konuma bağlı manyetik alan olduğunda elektron yoğunluğunun sabit kaldığı uzunluktur, yani elektron çiftlerin bozulmadan bir arada bulunabileceği mesafedir. Uyum uzunluğu, konuma bağlı manyetik alanda önemli ölçüde değişimeyen enerji band aralığının da bir ölçüsüdür. Bu durum, uyum uzunluğunun normal ve süperiletken fazlar arasındaki ara seviyenin minimum ölçüsü olduğunu da göstermektedir [37].

Uyum uzunluğu II. tip süperiletkenlerin belirlenmesinde önemli bir rol oynar. II. tip süperiletkenlerin uyum uzunluğu I. tip süperiletkenlerin uyum uzunluğundan daha kısadır. II. tip süperiletkenlerde uyum uzunluğunun kısa olmasının nedeni elektron saçılmasıdır. Bu durumda uyum uzunluğu ortalama serbest yola da bağlı olur [26].

Ginzburg-Landau parametresi, κ , sızma derinliğinin uyum uzunluğuna oranıdır ($\kappa = \lambda/\xi$). κ 'nın $1/\sqrt{2}$ 'den büyük veya küçük olmasına göre süperiletkenler I. tip veya II. tip süperiletkenler olarak sınıflandırılırlar. Eğer $\kappa < 1/\sqrt{2}$ ise örnek I. tip, $\kappa > 1/\sqrt{2}$ ise örnek II. tip süperiletkendir.

Karışık durumda II. tip iletkenin bir transport akım yoğunluğu, J , geçirildiğinde akım taşıyan elektronlar ve fluxoidler arasında bir elektromanyetik etkileşme oluşur. \vec{F}_L Lorentz kuvveti her bir fluxoid üzerine hem akı hemde taşıyıcı (transport) akım yönüne dik açılarda etki eder [39], Şekil 2.5.

$$\vec{F}_L = \vec{J} \times \vec{B} \quad (2.5)$$



Şekil 2.5. Karışık durumda bir II. tip süperiletkende transport akım yoğunluğu \vec{J} , manyetik akı \vec{B} ve Lorentz kuvveti \vec{F}_L arasındaki etkileşme.

Tuzaklama kuvveti (pinning-force) fluxoidleri hareket ettirmeye çalışan \vec{F}_L Lorentz kuvvetine eşit olduğu sürece fluxoidler hareket etmeden kalır ve numunenin sıfır direnci devam eder. Burada fluxoidler süperiletken olmayan (safsızlık) bölgelerde bulunurlar. Süperiletken olmayan fazlar, yapı kusurları veya katkılamlar (inclusions) tuzaklama merkezleri (pinning-centers) olarak davranışırlar. Bir fluxoid bir başka fluxoidi ittiği için de her bir fluxoid tuzaklanmış olur.

Sürücü kuvvet olarak hareket eden \vec{F}_L Lorentz kuvvetinin artması ile de akı çizgileri hareket etmeye başlar ve yapı içerisinde bir enerji saçılması meydana gelir. Bu durum II. tip süperiletkenlerde kuantumsal boyutta elektriksel direnç oluşturmaktadır.

2.5. Süperiletkenlerde Termal İletim Özellikleri

Termoelektrik güç (thermoelectric power) ve termal iletkenlik (thermal conductivity) ölçümleri katılarda elektriksel iletimden sorumlu taşıyıcıların tabiatını anlamak için yapılan iletim (transport) çalışmaları arasında oldukça önemli bir yer tutmaktadır. Ayrıca, iletim özellikleri üzerinde önemli bir etkiye sahip band aralığı (energy band gap) hakkında da ciddi ipuçları vermektedir. Örneğin termoelektrik gücün işaretini elektriksel iletimde baskın olan yük taşıyıcılarının işaretini belirlemektedir. Ancak, bu mekanizmaları anlayabilmek için öncelikle metallerde durumun incelenmesi süperiletkenlik ile ilgili çalışma yapan gruplar içerisinde bir gelenek haline gelmiştir. Çünkü, elektriksel iletim detaylandırıldığından HT_c oksit süperiletkenlerin oldukça iyi metalik özellik gösterdikleri 1986' dan beri bilinmektedir.

2.5.1. Metallerde Termoelektrik Güç

Bir metale hiçbir akım uygulanmadan metalin iki ucu arasında bir sıcaklık farkı oluşturulduğunda düşük ve yüksek sıcaklık bölgeleri arasında kararlı bir elektrostatik potansiyel farkı oluşur. Bu durumda sıcaklık gradyenti ile mutlak termoelektrik güç, S ,

$$S = \frac{\vec{E}}{\vec{\nabla}T} \quad (2.6)$$

ile tanımlanmaktadır [40]. Burada \vec{E} ; elektrostatik potasiyelin yarattığı elektrik alan ve $\vec{\nabla}T$; düşük ve yüksek sıcaklık bölgeleri arasındaki sıcaklık gradyentidir. Bir ucundan ısıtılmış bir materyalin iki ucu arasındaki voltaj farkının işaretini materyalde n-tipi mi yoksa p-tipi mi iletkenlik olduğu hakkında önemli bilgiler vermektedir.

Termoelektrik parametrelerin işaret ve büyülüüğünü belirlemeye serbest elektron gazı teorisi yetersiz kalmaktadır. Çünkü sıcaklık gradyenti ile hareket eden elektronların uğradığı saçılma etkileri bu teoride göz önüne alınmamaktadır [41]. Çeşitli etkileşmeler sonucu oluşan saçılma metalde bir direnç oluşmasına neden olmaktadır. O zaman termoelektrik özellikler incelenirken ortalama serbest yol, l , önemli olmaktadır. Sıcaklık gradyenti yönünde hareket eden elektronların ortalama serbest yolu ile gradyente ters yönde hareket eden elektronların ortalama serbest yolu aynı ise saçılmanın termoelektrik güç üzerinde etkili olmaması beklenir. Ama, eğer ortalama serbest yol enerjiden bağımsız ise soğuk uca doğru hareket eden yüksek enerjili elektronlar sıcak uca doğru hareket eden elektronlardan daha az saçılmasına uğrayacaklardır. Başka bir deyişle, daha enerjik elektronlar daha küçük açıyla saçılacaktır. Böylece, artan yönde negatif bir termoelektrik güç oluşacaktır. Fakat, sıcaklık gradyenti yönünde hareket eden daha yavaş elektronlar daha çok saçılmasına uğrarlar. Bu da azalan önde termoelektrik güç neden olur. Bir müddet sonra da termoelektrik güç işaret değiştirir ve pozitif olur.

Termoelektrik güç difüzyon ve fonon-çekim (fonon-drag) olmak üzere iki katıldan oluşmaktadır.

2.5.1.1. Difüzyon Termoelektrik Gücü

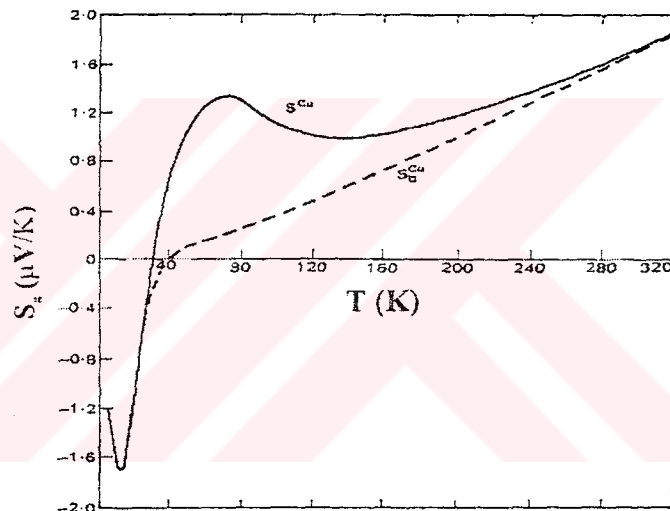
Difüzyon termoelektrik gücü lokal bir T sıcaklığında termal dengede olduğu varsayılan rasgele dağılmış saçılma merkezleri ile etkileşen elektron sisteminin termoelektrik güçe olan katkısıdır. Metallerde difüzyon termoelektrik gücü için en genel ifade Mott tarafından çıkartılmış olan

$$S_d = -\frac{\pi^2 k^2 T}{3e} \left\{ \frac{d \ln \sigma(\varepsilon)}{dE} \right\}_{E_f} \quad (2.7)$$

denklemi ile verilmektedir [42]. Burada, $\sigma(\varepsilon)$; ε enerjili taşıyıcıların iletkenliği, k ; Boltzmann sabiti, e ; elektron yükü ve E_F ; Fermi enerjisidir. Bu denklem;

- i) Sıcaklık gradyenti ve elektrik alandaki saçılma için gevşeme zamanı
- ii) $T > \theta_D$ sıcaklığındaki elastik saçılma ve
- iii) $E_F \gg kT$ ' yi sağlayan Fermi yüzeyinin şekli üzerinde hiçbir sınırlama olmadığı kabul edilerek çıkartılmıştır [43].

Denklem (2.7)' deki $\sigma(\varepsilon)$ sabit bir enerji yüzeyi üzerinden bir ortalamadır. Ama, yüzeyin farklı kısımları $\sigma(\varepsilon)$ ' ye farklı katkılarda bulunurlar. Anizotropi, elektron-fonon veya elektron-safsızlık saçılması gibi saçılma etkilerinin kaynağına bağlıdır. Anizotropide meydana gelecek farklılıklar iletim özelliklerinin değişmesinde önemlidir.



Şekil 2.6. Bakır'ın termoelektrik güç sıcaklığı (S-T) grafiği. Kesikli çizgi difüzyon termoelektrik gücü, düz çizgi gerçek termoelektrik gücü göstermektedir. Yaklaşık 70 K'de gözlenen pik fonon-çekim (fonon-drag) termoelektrik gücünü göstermektedir.

Herhangi bir \vec{k} dalga vektörlü bir parçacığın enerjisi (ε_k), Fermi enerjisini (ε_F) geçtiğinde sistemin entropisi işaret değiştirir. Böylece, etkin termal kuvvet bu Fermi enerjisinde işaret değiştirmektedir. Elektron dağılımının tümü için net difüzyon hareketinin yönü Fermi enerjisinin altında veya üstünde taşıyıcılar arasındaki dengenin bir sonucudur. Termoelektrik güç düşük sıcaklıklarda T^3 ile yüksek sıcaklıklarda T^{-1} ile değişen $0.4\theta_D$ 'nin komşuluğunda bir maksimuma ulaşarak sıcaklığa bağlılık gösterir. Deneysel çalışmalar denklem (2.7) ile belirtilen termoelektrik gücün sıcaklıkla lineer olarak değişmesinden sapmalar olabileceğini ortaya koymustur. Bu sapmaların fonon

çekiminden dolayı olduğu bilinmektedir. Şekil 2.6.' da bu durum Cu için gösterilmiştir [41].

2.5.1.2. Fonon-Çekim (Fonon-Drag) Termoelektrik Gücü

Kristalleşmiş bir katıda termal gradyent örgü titreşimleri yoluyla bir ısı iletimi indükler. Bu şartlar altında sadece elektron değil fonon dağılımı da dengeden ayrılacaktır ve sıcaklık gradyenti ile numunenin sıcak kısmından soğuk kısmına doğru net bir fonon akısı meydana gelecektir.

Sıcaklık gradyenti ile oluşan fonon akımının bir sonucu olarak metal içindeki bir elektronun $-\vec{\nabla}T$ yönünde hareket eden bir fononu absorblaması zıt yönde hareket eden fononu absorblamasından daha fazla olasılığa sahiptir. Bu nedenle, elektron dağılımı $-\vec{\nabla}T$ boyunca fononları absorblayacak şekilde yönelecek ve fonon akımı boyunca bir çekme (dragging) olacaktır. Böylece, elektronlar numunenin soğuk ucunda birikmeye başlayacaktır. Bu yük dengesizliği akan elektronlar üzerinde geciktirici bir kuvvet oluşturur ve bir iç elektrik alan meydana gelir. Bir süre sonra dengeye ulaşılır ve son derece kararlı bir durum oluşur. Bu durumda toplam elektrik akımı sıfır olur. Açıkçası fononik saçılma merkezlerinin lokal T sıcaklığında termal dengede olduğu düşünülürse fonon-çekimi termoelektrik alana ek bir katkı meydana getirir.

S_g ile gösterilen bu fonon-çekim termoelektrik gücünün büyüklüğü ve sıcaklığa bağlılığı şu şekilde kurulabilir: Yüklü ve ses absorblayabilen parçacıklardan oluşmuş izotropik bir ortamda x-yönünde yayılan akustik bir dalga göz önüne alalım. U akustik enerjisinin konuma bağlı olarak azalmasına karşılık gelen yayılma basıncı

$$P_x = -\left(\frac{dU}{dx}\right) \quad (2.8)$$

dir. Kararlı durumda birim alan başına bu kuvvet yukarıda bahsedilen yük dengesizliğine eşlik eden elektrostatik orjinli zıt yönde oluşacak F_x kuvveti ile karşılaşır:

$$F_x = -n_0 e E_x \quad (2.9)$$

Burada n_0 ; yük yoğunluğu, e ; elektron yükü ve E_x ; x-yönünde oluşan elektrik alandır. Bu durum fononik bir yapıya uygulanırsa termal fononların enerji yoğunluğu değişimi

$$\frac{dU}{dx} = \left(\frac{C_g}{3} \right) \left(\frac{dT}{dx} \right) \quad (2.10)$$

olur. Burada C_g ; fononik ısı sıgası, dT/dx ; sıcaklık gradyentidir. Bu nedenle sıfır akımı sağlayacak elektrostatik alan

$$E_x = \left(\frac{C_g}{3n_0e} \right) \left(\frac{dT}{dx} \right) \quad (2.11)$$

olur ve termoelektrik güç

$$S_g = \frac{C_g}{3n_0e} \quad (2.12)$$

dir. Oda sıcaklığına yakın sıcaklıklarda bir metalin hemen hemen bütün ısı sıgasının fononların uyarılmasından dolayı olduğu hatırlanırsa S_g 'nin düşük sıcaklıklar haricinde ($T \leq 2-5K$) S_d 'den (S_d difüzyon termoelektrik gücü) daha büyük olması beklenmektedir. Yaklaşık mutlak sıfırdan herhangi bir sıcaklığa çıkıldığında toplam termoelektrik güç

$$S = S_d + S_g = a_e C_e + a_g C_g = A T + B T^3 \quad (2.13)$$

olur.

Yüksek sıcaklıklara doğru gidildikçe örgünün titreşim genliği arttığı için örgü potansiyeli içindeki harmonik olmayan terimlerden dolayı fonon-fonon saçılması önem kazanır. S_g 'nin büyülüğu sadece fonon spektrumunun dengeden ayrılmasına değil aynı zamanda fonon dağılımı tekrar oluşurken fonon-elektron saçılmasına da bağlıdır. $T \gg \theta_D$ durumunda C_g sabittir.

Düşük sıcaklık bölgesinde bir metalde fonon titreşimi azalacağından baskın fonon saçılma mekanizması elektron-fonon saçılması olacaktır. Deneyel olarak düşük sıcaklıklarda denklem (2.13)'den sapmalar olduğu görülmüştür. Ayrıca, düşük sıcaklıklarda denklem (2.13) Debye modeline göre de iyi bir yaklaşımdır. Bununla

birlikte, gerçekte Debye sıcaklığı T^3 ün uyduğu sıcaklık bölgesinde dalgalanmalar meydana gelebilmektedir.

2.5.2. Yüksek Sıcaklık Süperiletkenlerde Termoelektrik Güç

Yüksek sıcaklık (HT_c) süperiletkenlerinin keşfedilmesinden sonra bu materyallerin termoelektrik gücü ile ilgili önemli çalışmalar yapılmıştır. Süperiletkenlikte önemli problemlerden birisi yük taşıyıcılarının (elektronik yapı) doğasıdır [44,45]. Termoelektrik güç tamamen elektronik orijinli olduğundan ve materyalin uçları arasındaki sıcaklık farkının yük taşıyıcılarının enerjisinde değişme yaratacağından malzemenin elektronik yapısı hakkında önemli bilgiler verebilmektedir [46,47].

HT_c süperiletkenlerde termoelektrik gücün pozitif olması iletimin hole tipi (p-tipi), negatif olması ise iletimin elektron tipi (n-tipi) olduğunu göstermektedir. HT_c süperiletkenlerde termoelektrik güç pozitif işaretli olmasına rağmen termoelektrik gücün sıcaklıkla değişimi negatif eğilimli olabilmektedir. Bu durum sıcaklık azaldıkça sistemdeki hole konsantrasyonunun artmasına bağlanmaktadır. Gözlenen bir diğer fizikalî özellik ise T_c 'nin hemen üstündeki sıcaklıklarda termoelektrik gücün geniş maksimum bir pik vermesidir. T_c 'ye yakın sıcaklıklarda gözlenen bu pikin fonon-çekiminden (fonon-drag) dolayı olabileceği düşünülmekle birlikte, süperiletken durumda enerji aralığında (energy gap) meydana gelen açılmadan dolayı da olabileceği tartışılmaktadır [48-53].

Süperiletken malzemelere yapılan taşıyıcı konsantrasyonu katkılaması (değişik oksijen konsantrasyonu) ile termoelektrik gücün nasıl değiştiği de önemli bir sorudur. Hemen hemen bütün HT_c süperiletken ailelerinde taşıyıcı konsantrasyonu katkılaması ile aynı türden davranış gözlenmiştir. Yüksek konsantrasyonda katkılanma yapılmış sistem için termoelektrik güç negatif, küçük ve sıcaklıkla da yaklaşık olarak lineer değişmektedir. Düşük konsantrasyonda katkılanma yapılmış sistemlerde termoelektrik güç pozitif, büyük değerde ve yüksek sıcaklıklarda sıcaklıktan da bağımsızdır. Optimum taşıyıcı konsantrasyonu içeren sistemlerde termoelektrik güç 800 K' den oda sıcaklığına azaltıldığında yaklaşık lineer olarak azalmakta ve daha düşük sıcaklıklara inildikçe de bir maksimum gösterdikten sonra sıfıra düşmektedir [54,55].

Belli oksijen konsantrasyonundaki La-bazlı süperiletken seramiklerde T_c 'ye kadar termoelektrik güç sıcaklıkla lineer olarak değişmektedir. Ancak, faz geçişinden

hemen önce yine maksimum pik gözlenir. Sonuç olarak La-bazlı süperiletkenlerde termoelektrik gücün sıcaklıkla lineer değiştiği ve sistemde elektron-fonon çiftleniminde bir artış meydana geldiği gözlenmiştir [56]. Bununla birlikte, $\text{La}_{2-x}\text{Sr}_x\text{CuO}_4$ sisteminde iki tür taşıyıcının olabileceği de bazı bilim adamları tarafından ortaya atılmış olsa da bu durum deneysel olarak gözlenmemiştir [57].

Y-bazlı süperiletken sisteminde termoelektrik gücün değeri küçüktür. Belli oksijen konsantrasyonuna sahip sistemde T_c ' ye kadar termoelektrik güç sıcaklıkla lineer olarak değişir. Ancak, faz geçişinden hemen önce bir maksimum pik gözlenmektedir [58,59]. Y-bazlı seramiklerinde termoelektrik gücün değeri tamamen oksijen içeriğine bağlı olup oksijen içeriği $\delta=6.52'$ den $6.94'$ e artarken termoelektrik gücün değeri azalmakta ve $6.98'$ te ise pozitiften negatife işaret değiştirmektedir [60]. T_c ' nin hemen üstünde süperiletken dalgalanmalardan dolayı fonon akımındaki artma ve taşıyıcı yoğunluğundaki azalma fonon-drag termoelektrik gücünde artısa neden olur [61]. Bununla birlikte, 100 K civarında pikin keskinliğine katkıda bulunan mekanizmayı anlamak zordur. Çünkü, süperiletken çiftler difüzyon kadar fonon-dragdan meydana gelen termoelektrik voltajı da kesmeye çalışırlar. Böylece, süperiletken durumda termoelektrik güçte beklenen etki sıfırı doğru bir azalmadır. Eğer hole çiftlerinin karşılıklı etkileşmesi fononlarla olan etkileşmelerini azaltırsa fonon-drag etkisi ana etki olacaktır.

Ancak, bu pikin çıkışı hakkında farklı düşünceler de vardır. Örneğin, Radhakrishan ve arkadaşları T_c civarındaki pikin fonon-dragdan dolayı olmadığını öne sürdüler [62]. Termoelektrik güçteki artışın elektron-fonon etkileşmesi ile yavaş yavaş değiştiği ve bu nedenle de pikin elektron-fonon etkileşmesinden başka bir şey olduğunu düşünmüştür. Kaiser ise, T_c yapıdaki bozulmanın artması ile azalıyorsa elektron-fonon etkileşmesinin fonon-dragdan ayrılabileceğini önermiştir [63].

Bununla birlikte, Y-123 sisteminde bazı durumlarda T_c civarında maksimum bir pik gözlenmeden hemen önce termoelektrik güçte bir minimum gözlenebilmektedir. Bu minimum termoelektrik gücün (S_{\min}) gözlendiği sıcaklığın altında CuO_2 düzlemlerinden iletkenliğe katkı, bu sıcaklığın üstünde ise CuO zincirlerinden iletkenliğe katkı geldiğini göstermektedir. Düzlemlerin termoelektrik güçe katkısı negatif eğime sahip iken zincirlerin katkısı pozitif eğimli olduğu gözlenmiştir. Bununla birlikte, termoelektrik güçte görülecek lineer artış CuO zincirlerinden önemli bir katkı geldiğini göstermektedir [64-70].

$HgBa_2Ca_{n-1}Cu_nO_{2n+2+\delta}$ sisteminde $n=3$ fazı için termoelektrik çok küçük ve sıcaklıkla yaklaşık lineer olarak değişmektedir [71]. $n=2$ sistemi üzerinde yapılan deneylerde tavlama ile azalan büyük bir termoelektrik güç göstermektedir [72]. $n=1$ sisteminde ise yapıdaki oksijen miktarı arttıkça termoelektrik gücün azaldığı ve negatif bir eğimle pozitiften negatife işaret değiştiği gözlenmiştir [73].

Bi-bazlı süperiletken seramiklerde termoelektrik güç (S) sıcaklığa daha ilginç bir bağılılık göstermiştir. Bu süperiletken ailesinde T_c civarında termoelektrik güçte (S) önce bir maksimum gözlenir ve daha sonra termoelektrik güç aniden sıfıra düşer. Bu düşme tamamen hole çiftlenmesinden dolayıdır [74]. Bununla birlikte, elektronik iletimde her ne kadar holler baskın olsa da HT_c süperiletkenlerde normal durum iletkenliğine elektronlarında katkıda bulunabileceği bilinmektedir.

Bi-bazlı HT_c cam-seramik süperiletkenler üzerine az sayıda yapılmış olan çalışmalar (katkılama/doping) ile termoelektrik gücün oldukça farklı şekilde değiştiğini göstermektedir. Örneğin, Bi-4334 cam-seramik sisteminde termoelektrik gücün lineer olmayan davranış gösterdiği bulunmuştur [75]. Böyle bir lineer olmayan davranış fonon-çekim (fonon-drag) etkisine bağlanmaktadır. Sistemde negatif termoelektrik güç elde edilmiştir. S-T grafiğinde 110 K civarında negatif bir pik meydana geldikten sonra 80 K'de termoelektrik güç sıfır olmaktadır.

Cu yerine Fe katkılanmış Bi-4334 sisteminde de benzer termoelektrik güç özellikleri elde edildi. Sistemde yine lineer olmayan bir davranış olduğu görülmüştür. Yapıda oluşan Cu-O-Fe, Fe-O-Fe gibi safsızlık fazlarının oluşumunun bu lineer olmayan davranıştan sorumlu olduğu düşünülmektedir. Diğer yandan, Bi yerine Pb katkılanmış Bi-4334 cam seramik sisteminde de pozitif termoelektrik güç elde edilmiştir [77]. Oda sıcaklığından T_c 'ye kadar termoelektrik güçte bir artma olduğu görülmüştür. T_c civarında geniş bir pik elde edildikten sonra termoelektrik güç sıfıra düştü. 290 K'nin altında termoelektrik güçte gözlenen negatiften pozitife geçiş bu süperiletken sisteminde elektronik iletimde hem elektronların hemde hollerin aynı anda yer aldığı göstermektedir.

Bi-2212 cam seramik sistemi ile Al_2O_3 ve $BaZrO_3$ tutucular üzerinde yapılan ince filmlerde manyetik alanın termoelektrik gücü etkisi incelenmiştir [78]. Manyetik alanın yüksek sıcaklıklarda termoelektrik güç özellikleri üzerinde etkili olmadığı görülmüştür. Bununla birlikte, T_c civarında termoelektrik güçteki düşme manyetik alan ile keskin olmaktadır. 85 K civarında ise termoelektrik gücün işaretini pozitiften negatife

değişmektedir. Bu durumun düşük sıcaklıklarda manyetik alan ile çiftlerin bozulmasından dolayı meydana gelebileceği öne sürülmektedir.

Termoelektrik güç çalışmaları sonucu elde edilen veriler değişik modellere göre analiz edilebilmektedir. Ancak bu modeller kolay açıklanabilen ifadelere sahip oldukları kadar bir çoğu tamamen varsayımlara dayanmaktadır. Bir çok model ortaya atılmasına rağmen en çok kabul edilen ve kullanılan modeller “Lineer terimli çift band modeli” [79,80], “Nagosa-Lee modeli” [81], “Phenomenological dar band modeli” [82,83] ve “Xin’ in çift band modeli” [84] olarak sıralanabilirler.

2.5.2.1. Lineer terimli çift band modeli

Yüksek sıcaklık süperiletkenlerinin S-T davranışı karışık valanslı ağır fermion sistemlerinin davranışına benzemektedir [79]. Forro ve arkadaşları yüksek sıcaklık süperiletkenleri için Fermi seviyesi civarındaki Lorenzian rezonansını alarak aşağıdaki denklemi çıkardılar [80];

$$S = \frac{AT}{B^2 + T^2} + \alpha T \quad (2.14)$$

burada

$$A = 2 \frac{E_0 - E_F}{e} \quad \text{ve} \quad B^2 = 3 \frac{(E_0 - E_F)^2 + \gamma^2}{\pi^2 k_B^2} \quad (2.15)$$

dir. E_0 , γ ve α sırasıyla rezonansın merkezi, genişliği ve lineerlik katsayısıdır. Bu modele göre hole konsantrasyonunun artması ile Fermi seviyesinin bandın altına doğru kayması beklenir. Bu da $(E_0 - E_F)$ 'nin azalması anlamına gelmektedir.

Her ne kadar bu model bütün HT_c sistemlerine uygulanabilir değilse de bazı HT_c sistemlerinde başarılı sonuçlar vermiştir.

2.5.2.2.Nagosa-Lee modeli

Rezonans valans band teorisini kullanarak Nagosa-Lee süperiletken materyaller için termoelektrik gücü

$$S = S_F + S_B \quad (2.16)$$

olarak ifade ettiler [81]. Burada Fermi ve Maxwellian durumları kullanılarak bulunan S_F ve S_B ;

$$S_B = \frac{k_B}{e} \left[1 - \ln \frac{2\pi p}{mk_B T} \right] \quad (2.17)$$

ve

$$S_F = - \left[\frac{k_B}{e} \right] \frac{k_B T}{E_F} \quad (2.18)$$

olarak yazılır. p ; Cu-O düzlemi başına hole konsantrasyonu ve m ; Bosonik taşıyıcıların kütlesi dir. Ikegawa denklem (2.17)' ye bir F parametresi (fitting parametresi) ekleyerek ifadeyi daha kullanışlı duruma getirmiştir [82].

$$S = \frac{k_B}{e} \left[1 - F \ln \left(\frac{2\pi p G}{T} \right) - \frac{T}{H} \right] \quad (2.19)$$

Burada, G ($\approx m^{-1}$) ve H ($\approx E_F$) exchange enerjisi J ($\approx 1000K$) boyutundadır. Bu model HT_c sistemlerinde pek başarılı sonuçlar vermemiştir.

2.5.2.3. Phenomenological dar band modeli

Gasumyants $\rho(T)$, $S(T)$ ve $R_H(T)$ özelliklerini açıklamak için Y123 sisteminde oksijen içeriğinin ve farklı katyon katkılamasının bir fonksiyonu olarak Fermi seviyesine yakın bir bölgede elektron durum yoğunluğunda dar bir pikin olduğunu kabul eden band spektrum modelini kullanmıştır [83]. E_F Fermi seviyesi bu dar bandda bulunursa pikin dar olması transport özelliklerini belirler. Bu model üç parametre içerir; Birincisi, F elektronların bandı doldurma derecesidir, elektronların sayısının banddaki toplam durumların sayısına oranı ile verilir. TEP' in işaretini ve değeri bu parametreye

bağlıdır. İkinci parametre W_D etkin band genişliği ve üçüncü parametre W_σ elektronlar için enerji aralığının genişliğidir. Bu yaklaşımıma göre TEP;

$$S = -\frac{k_B}{e} \left\{ \frac{W_\sigma^*}{\text{Sinh} W_\sigma^*} [e^{-\mu^*} + \text{Cosh} W_\sigma^*] - \frac{1}{W_\sigma^*} (\text{Cosh} \mu^* + \text{Cosh} W_\sigma^*) \right. \\ \left. x \ln \frac{e^{\mu^*} + e^{W_\sigma^*}}{e^{\mu^*} + e^{-W_\sigma^*}} \right] - \mu^* \quad (2.20)$$

$$\mu^* = \mu / k_B T = \ln \frac{\text{Sinh}(FW_D^*)}{\text{Sinh}[(1-F)W_D^*]} \quad (2.21)$$

olarak yazılabilir. Burada, μ kimyasal potansiyel ve $W_D^* = W_D / 2k_B T$ ve $W_\sigma^* = W_\sigma / 2k_B T$ dir. Yapılan çalışmalar bu modelin özellikle Y-bazlı süperiletkenler için tutarlı sonuçlar verdiği göstermiştir [84].

2.5.2.4. Xin' in çift band modeli

HT_c süperiletkenlerde hole ve elektron türü taşıyıcılar olmak üzere iki tür taşıyıcı vardır. BSCCO sisteminde hole tipi iletkenlik Cu-O düzleminde bulunurken, Bi-O düzlemlerinin elektron tipi iletme katkıda bulunduğu bilinmektedir. Bu maksatla Xin ve arkadaşları deneyel datalara uygun “Çift band modeli” ni ortaya koydular [85]. Bu modelde termoelektrik güç (S)

$$S = (S^+ \sigma^+ + S^- \sigma^-) / \sigma \quad (2.22)$$

dır. Burada, $\sigma = \sigma^+ + \sigma^-$ valans ve iletim bandlarından gelen katkıların toplamıdır. Yarı klasik modelde hollerden gelen katkı

$$S^+ = -\frac{\pi^2}{3} \frac{k_B}{e} \left[\frac{k_B T}{E_F} \right] \left[\frac{d \ln \sigma^+(E)}{d \ln E} \right] \quad (2.23)$$

ile verilmektedir. σ^+ hollerden gelen elektriksel iletkenliktir. Bununla birlikte, dejenerere Cu-O düzlemleri göz önüne alındığında denklem (2.23)' e dejenerelik faktörü g eklenir.

$$S^+ = -g \frac{\pi^2}{3} \frac{k_B}{e} \left[\frac{k_B T}{E_F} \right] \left[\frac{d \ln \sigma^+(E)}{d \ln E} \right] \quad (2.24)$$

İletim band elektronlarından gelen katkı aşağıdaki bağıntı ile verilir:

$$S^- = + \frac{k_B}{e} \left[\frac{E_c}{kT} + \frac{d \ln \tau(E)}{d \ln E} \right] \quad (2.25)$$

Burada, E_c ; band aralığının merkezinden iletim bandının altına kadar ölçülen enerjidir. $\sigma^+ \propto 1/T$ dir, çünkü Cu-O düzlemleri metaliktir. Buna karşılık $\sigma^- \propto \exp(-E_c/kT)$ ' dir. $\sigma^+ \gg \sigma^-$ olduğu farz edilerek

$$S = AT + (B\lambda + CT)\exp(-\lambda/T) \quad (2.26)$$

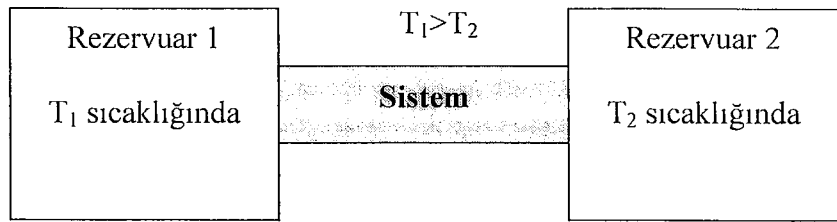
ifadesi elde edilmiştir. İfade de A, B, C ve λ sabit parametrelerdir. Burada önemli olan bu parametreleri bulmaktır. A, Cu-O düzlemlerindeki hareketli hole katkısını göstermektedir. $\lambda = E_c/k$ ve $E_c = E_g/2$ olduğundan λ , tabakalar için band yapısındaki enerji aralığını bulmak için kullanılmaktadır. E_c band aralığının merkezinden iletim bandının altına kadar ölçülen enerji ve E_g enerji band aralığıdır. Yapılan çalışmalar bu model yardımıyla hesaplanan band aralığının deneysel verilerle uyuşum içinde olduğunu göstermektedir [86,87].

Bi-bazlı süperiletkenlerin termoelektrik gücünü analiz etmek için başka modellerde geliştirilmiştir. Ancak, bunlar çalışma grupları tarafından çeşitli noksanlıklar veya uyuşum eksikliklerinden dolayı kabul görmemiştir [88,89].

2.6. Termal İletkenlik

2.6.1. İletim Mekanizması

Şekil 2.7' de görüldüğü gibi termal dengede olmayan katı bir sistem ele alalım.



Şekil 2.7. İki ucu T_1 ve T_2 sıcaklıklarında 2 rezervuar ile termal kontak halindeki katı bir sistem.

$T_1 > T_2$ olduğundan 1. rezervuardan 2. rezervuar'a enerji akışı olacaktır. Böyle bir enerji akışı sistemin toplam entropisini artıracaktır [90]. Bu durumda sistem boyunca taşınan akı¹

$$\vec{J}_U = -\kappa \vec{\nabla} T \quad (2.27)$$

olur, burada κ ; termal iletkenlik katsayısı ve $\vec{\nabla}T$; sıcaklık gradyentidir. Enerji akısı bir parçacığın hızı ile enerji yoğunluğunun çarpımı olarak yazılabilir. Buna göre ρ_U enerji yoğunluğu ve \bar{c}_z moleküller hızın z-yönündeki bileşeninin mutlak değer ortalaması olmak üzere z-yönündeki net enerji akısı

$$J_U = [\rho_U(2) - \rho_U(1)] \bar{c}_z = \hat{C}_V(T_2 - T_1) \bar{c}_z \quad (2.28)$$

eşitliği ile ifade edilip edilemeyeceği sorusunu cevaplamak gerekmektedir. $\rho_U(2) \bar{c}_z$, T_2 sıcaklığındaki sistemin bir ucunun enerji karakteristik akısı ve $\rho_U(1) \bar{c}_z$, T_1 sıcaklığındaki sistemin diğer ucunun karakteristik enerji akısıdır. İki akı arasındaki fark net akıyı vermektedir. Moleküller sistemin bir ucundan diğerine çarpışmadan hareket ederse denklem (2.28) doğru olacaktır. Ancak, bütün transport problemlerinde çarpışmalar enerji iletim hızını büyük ölçüde azaltmaktadır. Bu durumda, denklem (2.28) yeniden düzenlenmelidir ve aşağıdaki varsayımlar göz önüne alınmalıdır:

¹ Enerji iletim hızı sıcaklık gradyenti ile orantılıdır. Bu durumda akı

$$\text{akı} = (\text{katsayı}) \times (\text{sürücü kuvvet})$$

ile verilmektedir. Herhangi bir A vektörünün akısı birim zamanda birim yüzeyden geçen A'ının net miktarıdır ve j_A ile gösterilir.

Moleküller ancak ortalama serbest yol (l) mesafesinde çarpışmadan hareket edebilirler. Herhangi bir z -noktasında olan bir çarpışmada moleküller $T(z)$ lokal sıcaklığında ve $\rho_U(z)$ lokal enerji yoğunluğunda bulunurlar. Böylece $+z$ noktasında bulunan bir düzlemede z -yönünde $\frac{1}{2} \rho_U(z-l) \bar{c}_z$, ye eşit ve $-z$ noktasında bulunan bir düzlemede z -yönünde $\frac{1}{2} \rho_U(z+l) \bar{c}_z$, ye eşit bir enerji akısı vardır. Bu durumda net akı

$$\begin{aligned} J_U &= \frac{1}{2} [\rho_U(z-l) - \rho_U(z+l)] \bar{c}_z = -l \frac{\partial \rho_U}{\partial z} \bar{c}_z = -l \frac{\partial \rho_U}{\partial T} \frac{\partial T}{\partial z} \bar{c}_z \\ &= -l \hat{C}_V \bar{c}_z \frac{\partial T}{\partial z} \end{aligned} \quad (2.29)$$

ile ifade edilir. Burada

$$\hat{C}_V = \frac{\partial \rho_U}{\partial T} \quad (2.30)$$

sabit hacimde ısı sıgasıdır.

Denklem (2.29)' deki l , z -ekseni üzerinde l_z olmalıdır ve $l_z \bar{c}_z$ 'nin ortalaması alınmalıdır. Bu durumda, $\langle l_z \bar{c}_z \rangle = \frac{1}{3} \bar{l} \bar{c}$ olduğundan enerji akısı

$$J_U = -\frac{1}{3} \hat{C}_V \bar{l} \bar{c} \frac{dT}{dz} \quad (2.31)$$

şeklinde yazılır. Bir katıda genel termal iletkenlik katsayısi ise

$$\kappa = \frac{1}{3} \hat{C}_V \bar{l} \bar{c} \quad (2.32)$$

olarak yazılır. Eğer enerji hiçbir etkileşme olmadan sistemin bir ucundan diğer ucuna gitmiş olsaydı ısı akısı sıcaklık gradyentine değil uzunluk ne olursa olsun iki uç arasındaki ΔT sıcaklık farkına bağlı olurdu.

2.6.2. Metallerin Isı İletkenliği

Birim hacimdeki ısı sıgası C_V , hızı \bar{c} ve ortalama serbest yolu l olan parçacıkların termal iletkenlik katsayısı $\kappa_e = (1/3)C_V \bar{c} l$ olarak denklem (2.32) ile verilir. $C_V = \pi^2 n k_B E / 2 E_F$ eşitliği denklem (2.32) de yazılırsa

$$\kappa_e = \frac{\pi^2}{3} \frac{n k_B^2 T}{m \bar{c}^2} \bar{c} l = \frac{\pi^2 n k_B^2 T \tau}{3m} \quad (2.33)$$

ifadesi bulunur. Burada n ; elektron yoğunluğu ve $l = \bar{c} \tau$ dur.

Saf metallerde elektronik katkı tüm sıcaklıklarda daha büyktür. Saf olmayan veya örgü kusurlu alaşımında elektron serbest yolu azalacağı için fonon katkısı elektronik katkıya yakın olabilir.

2.6.3. Wiedemann-Franz Yasası

Bu yasa, çok düşük olmayan sıcaklıklarda ısı iletkenlik katsayısının elektriksel iletkenlik katsayısına oranının metalin cinsinden bağımsız ve sıcaklıkla doğru orantılı olduğunu belirtir:

$$\frac{\kappa_e}{\sigma} = \frac{\pi^2 k_B^2 T n \tau / 3m}{n e^2 \tau / m} = \frac{\pi^2}{3} \left(\frac{k_B}{e} \right)^2 T \quad (2.34)$$

Lorentz sabiti

$$L = \frac{\pi^2}{3} \left(\frac{k_B}{e} \right)^2 = 2.72 \times 10^{-13} \text{ esu/K}^2 = 2.45 \times 10^{-8} \text{ watt.ohm/K}^2 \quad (2.35)$$

olarak tanımlanırsa

$$L = \frac{\kappa_e}{\sigma T} \quad (2.36)$$

elde edilir [91]. Bu sonuç n elektron yoğunluğundan ve m kütlesinden bağımsızdır. Bu nedenle Lorentz sabiti sadece k_B ve e sabitlerine bağlı olduğundan hemen hemen bütün metaller için aynı değeri alır.

Wiedemann-Franz yasası genelde sıcaklığa bağlı olarak farklı davranışlar sergiler. Yüksek sıcaklıklarda ($T \gg \theta_D$) meydana gelen elektron-fonon çarpışmaları büyük momentum aktarımı çarpışmalardır. Bundan dolayı bu türden çarpışmalar gerekli elektriksel direnci oluşturmaktadır. Yüksek sıcaklık bölgesinde elektriksel ve termal direnç için gevşeme zamanları benzerdir ve bu nedenle yüksek sıcaklık bölgesinde Wiedemann-Franz yasasına uyulur [92].

Düşük sıcaklıklarda ($T < \theta_D$) çarpışmanın etkinliği hareketin başlangıç doğrultusu boyunca elektronun momentumundaki kayıp ile ölçülebilir ve küçük θ saçılma açılarında bu değer $\hbar q^2 / 2k_f$ dir. Bu nedenle, bu da fononlar için düşük sıcaklıklarda T^2 ile orantılı olmaktadır. Bu şartlarda, elektriksel özdirenç hesaplamakta kullanılan $1/\tau_{el}$ oranı

$$\frac{1}{\tau_{el}} = \left(\frac{T}{\theta_D} \right)^2 \frac{1}{\tau_f} \alpha T^5 \quad (2.37)$$

olarak yazılır. Bu durumda, özdirenç ise T^5 ile orantılı olur. Bu nedenle de, düşük sıcaklık bölgesinde Wiedemann-Franz yasası işlemez.

Çok düşük sıcaklıklarda ($T \ll \theta_D$) baskın saçılma mekanizması elektron-fonon çarpışmalarıdır. Bu çarpışmalar esnektiler ve bunlar beraberlerinde büyük momentum değişiklikleri getirmektedirler. Bu sebeple elektriksel ve termal gevşeme zamanları benzerdir ve çok düşük sıcaklıklarda yine Wiedemann-Franz yasasına uyulur.

2.6.4. Fourier Yasası

Wiedemann-Franz yasası toplam termal iletkenliğe elektronların katkısını gösterirken Fourier yasası toplam termal iletkenlik hakkında bilgi vermektedir. Bir metal numunede ısı transfer hızının numunenin kesit alanına oranı sıcaklık gradyenti ile orantılıdır:

$$\frac{q_x}{A} = -\kappa \frac{dT}{dx} \quad (2.38)$$

burada q_x ; ısı transfer hızı, A ; numunenin kesit alanıdır. (2.38) denklemi integre edildiğinde

$$\kappa = \frac{q(x_2 - x_1)}{A(T_2 - T_1)} \quad (2.39)$$

veya

$$\kappa = \frac{q}{A} \frac{\Delta x}{\Delta T} \quad (2.40)$$

ifadesi elde edilir. Bu durumda termal iletkenlik katsayısı özdirence benzer olarak ($\rho = RL/A$)

$$\kappa = q \frac{L}{A} \quad (2.41)$$

olarak yazılabilir. q yerine

$$q = \frac{P}{\Delta T} = \frac{I^2 R}{\Delta T} \quad (2.42)$$

yazılırsa

$$\kappa = \frac{I^2 R}{A} \frac{L}{\Delta T} \quad (2.43)$$

toplam termal iletkenlik denklemi bulunur. Bu denklem düşük sıcaklıktan yüksek sıcaklığa kadar bütün sıcaklık aralığındaki toplam termal iletkenliğin deneysel olarak bulunmasında kullanılmaktadır. Özellikle, düşük sıcaklık bölgesinde önem kazanan örgü termal iletkenliği denklem (2.43)' ten denklem (2.34)' ün çıkarılması ile hesaplanır:

$$\kappa_L = \kappa - \kappa_e \quad (2.44)$$

Burada κ ; deneyel olarak ölçülen termal iletkenlik ve κ_L ; örgü termal iletkenliğidir.

2.6.5. Termal İletkenliği Etkileyen Faktörler

Metallerde fononların, iletim mekanizması üzerinde oldukça etkili oldukları bilinmektedir. Fononların yapıda homojen bir fonon gazı oluşturdukları düşünülürse bir fonon için ortalama serbest yol başlıca şu faktörlerle belirlenir: fonon-fonon, fonon-elektron ve fononların safsızlık veya kristal kusurlarından saçılımaları.

2.6.5.1. Umklapp Etkisi

Atomlar arası kuvvet sadece harmonik olsaydı farklı fononlar arasında saçılma olmazdı ve ortalama serbest yol sadece kristal yüzeyleri ve örgü kusurlarıyla sınırlı olurdu [91].

Harmonik olmayan örgü etkileşmeleri durumunda farklı fononlar arasındaki etkileşmeler ortalama serbest yolu kısaltır. Bu durumda termal iletkenliğe katkıda bulunan kristaldeki fononları lokal olarak dengeye getiren bir mekanizma olması gerekmektedir.

Fononların kristal yüzeyinden ve örgü kusurlarından saçılımalarında saçılan fononun enerjisi ile gelen fononun enerjisi aynı kalmakta ve bir momentum değişimi olmamaktadır. 3 fonon olayı olarak bilinen Normal etkide

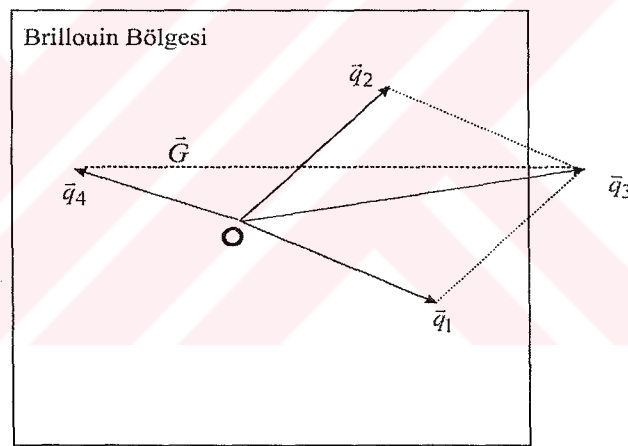
$$\vec{q}_1 + \vec{q}_2 = \vec{q}_3 \quad (2.45)$$

olduğundan toplam momentum değişmez ve korunur. Bundan dolayı herhangi bir T sıcaklığında dengede olan bir fonon dağılımı Normal etki saçılması ile değişmeden kristal boyunca sabit hızla sürüklendir. Böylece, momentum değişmediğinden ısisal denge sağlanamaz.

İsısal dirence neden olan etkileşme Umklapp etkileşmesidir [93]. Kristallerde dalga etkileşmeleri sırasında toplam dalga vektöründeki değişim Normal etkideki gibi sıfır olmayıp \vec{G} ters örgü vektörüne eşittir:

$$\vec{q}_1 + \vec{q}_2 = \vec{q}_3 + \vec{G} \quad (2.46)$$

Şekil 2.8' de görülebileceği gibi \vec{q}_1 ve \vec{q}_2 dalga vektörlü iki fonon etkileşir ve oluşan \vec{q}_3 vektörlü 3. fonon Brillouin Bölgesi dışında yer alırsa bu vektöre bir \vec{G} ters örgü vektörü eklenerek 1. Brillouin Bölgesi içine taşınır. Çarpışma ile oluşan etkin fonon vektörü \vec{q}_4 , \vec{q}_1 ve \vec{q}_2 fononlarının her ikisine de hemen hemen zıt yönde yönelir. Bu türden bir etki fonon momentumunun değişmesinde oldukça etkilidir ve yüksek sıcaklıklarda fonon ortalama serbest yolundan sorumludur.



Şekil 2.8. İki boyutlu kare örgüde $\vec{q}_1 + \vec{q}_2 = \vec{q}_3 + \vec{G}$ Umklapp fonon saçılması.

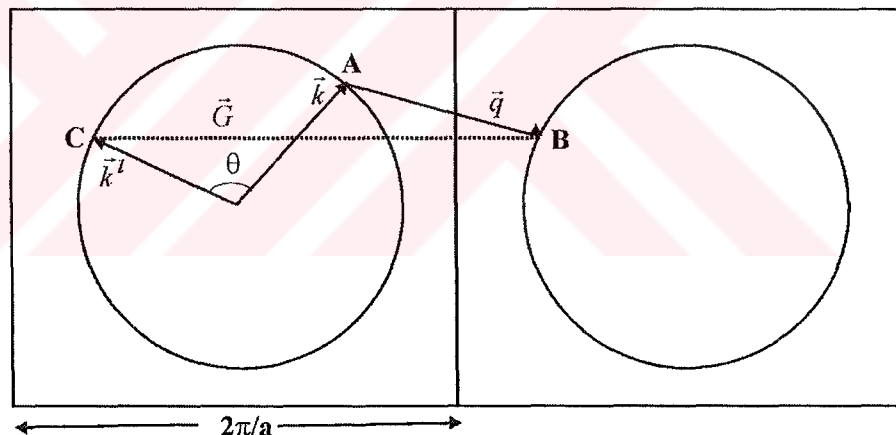
Yüksek sıcaklıklarda hemen hemen fononların tümü uyarılır. Böylece, fononların büyük kısmı büyük bir momentum değişimi ortaya çıkaracak şekilde Umklapp etkisi ile saçılırlar. Yüksek sıcaklıklarda meydana gelen Umklapp etkisinde \vec{q}_1 ve \vec{q}_2 dalga vektörlü fononların enerjisi ($k_B\theta/2$) boyutundadır. Saçılmanın olabilmesi için saçılan fononların dalga vektörlerinin $\frac{1}{2}\vec{G}$ boyutunda olması gerekmektedir. Çünkü, etkileşen iki fonon düşük \vec{q} dalga vektöründe olurlarsa bunların saçılımları sonucu 1. Brillouin Bölgesi dışında herhangi bir fonon dalga vektörü

bulunamaz. Umklapp etkisinde de Normal etkideki gibi enerji korunumu sağlanmaktadır, ancak momentum korunmamaktadır [91].

Fonon-fonon etkileşmesinde ortaya çıkan Umklapp etkisinin yüksek sıcaklıklarda etkili olacağı açıktır. Bununla birlikte, elektron-fonon etkileşmesinde elektronlarla fononlar arasında meydana gelen Umklapp saçılması düşük sıcaklıklardaki elektriksel direncin başlıca nedenidir. Burada da elektron-fonon saçılması bir \vec{G} ters örgü vektörü ile olduğu için elektron momentumundaki değişme oldukça büyük olmaktadır:

$$\vec{k} - \vec{k}' \pm \vec{q} = \vec{G} \quad (2.47)$$

Umklapp etkisi ile meydana gelen elektron-fonon saçılmasında da yine momentum korunmaz. İki basit kübik Brillouin bölgesindeki Umklapp saçılması Şekil 2.9.'da gösterilmektedir.



Şekil 2.9. Umklapp etkisi ile meydana gelen elektron-fonon saçılması. \vec{k} dalga vektörlü bir elektron bir fonon yayarak θ açısı ile \vec{k}' ne saçılır.

Fermi yüzeyindeki \vec{k} dalga vektörlü bir elektron ile \vec{q} dalga vektörlü bir fonon etkileştiğinde 1. bölgedeki Fermi küresi üzerindeki A noktasından 2. bölgedeki Fermi küresi üzerindeki B noktasına geçiş olur. Bu durumda \vec{G} ters örgü vektörü B noktasını 1. bölgedeki C noktasına geri getirir. Geçiş sırasında \vec{k} vektörü θ açısı kadar değişir. Bununla birlikte, düşük sıcaklıklarda Fermi yüzeyi Brillouin bölgesine yakın değilse Umklapp etkisi meydana gelmez. Ancak, noble metallerdeki gibi birbirine degen birden

çok Fermi yüzeyinde \bar{q} vektörleri küçük bile olsa düşük sıcaklıklara kadar devam eden bir Umklapp etkisi meydana gelir [42].

2.6.5.2. Örgü Kusurları

Fononların saçılmalarda; kristal yüzeyleri, elementlerde bulunan izotopik kütleleri, kimyasal katkılamaları, örgü kusurları ve amorf yapıları göz önünde bulundurmak gereklidir [11].

Bir metalde mükemmel periyodikliği bozan dislokasyonlar, tane sınırları ve safsızlıklar gibi kristal kusurları da fononların saçılmasına neden olacaktır [91-93]. Örneğin, ana atomdan farklı kütleye katı atomu, örgü dalgasının safsızlık üzerinde saçılmasına neden olur. Kütlece farklılık ve safsızlık yoğunluğunun fazla olması gibi kusurlar daha fazla saçılma olmasına ve böylece daha kısa ortalama serbest yola neden olmaktadır. Bununla birlikte, düşük sıcaklıklarda uyarılmış olan az sayıdaki fononun dalga boyu o kadar büyütür ki bu safsızlıklar artık etkin saçılma merkezleri olamazlar. Bu durumda, düşük sıcaklıklarda termal iletkenlik sıcaklığa T^3 şeklinde bağlı olmaktadır. Ancak, T^3 bağımlılığının olduğu sıcaklık bölgesi ile fonon sayısının $\exp(\theta/2T)$ olarak değiştiği sıcaklık arasındaki maksimum termal iletkenlik büyük ölçüde safsızlıklar tarafından kontrol edilmektedir.

Düşük sıcaklıklarda Umklapp etkisi için gerekli yüksek enerjili fononların sayısında üstel azalma olacağinden Umklapp etkisi ısı iletkenliğini sınırlamakta yetersiz kalır. Fonon ortalama serbest yolu kristal boyutları ile kıyaslanabilir olduğu zaman termal iletkenlik katsayısının kristal büyüğüğe ve biçimine bağlılığı büyülü veya boyut etkisi (size effect) olarak bilinir. Bu durumda, fonon ortalama serbest yolu sabit kalır ve D-kristal boyutu ile orantılı olur;

$$K \approx C_v v D \quad (2.48)$$

Eşitliğin sağ tarafında sıcaklığa bağlı tek terim C_v ısı sıgası olup düşük sıcaklıklarda T^3 ile değişmektedir.

Kristalin her bakımdan mükemmel olduğu durumlarda stokiyometride bulunan kimyasal elementlerin izotoplarnın dağılımı da fonon saçılmasına neden olmaktadır. Bazı numunelerde izotoplardan fononların saçılması fonon-fonon saçılması ile kıyaslanabilmektedir.

2.6.6. Yüksek Sıcaklık Süperiletkenlerde Termal İletkenlik

Termal iletkenlik bir süperiletkenin termal kararlılığını yansıtambilir, normal ve süperiletken durumlarda yük taşıyıcılarının saçılma mekanizması hakkında da önemli bilgiler verebilmektedir [94]. Son yıllarda yapılan çalışmalar [95-100] taşıyıcılar tarafından oluşturulan termal iletiminin fononlar tarafından oluşturulan termal iletimine kıyasla daha küçük olduğunu göstermiştir. Yüksek sıcaklık süperiletkenlerde (HT_c) $T > T_c$ için termal iletkenlik, κ , sıcaklığa bağlı değildir. Bununla birlikte, κ , T_c geçiş sıcaklığında hızlı bir şekilde artar ve $T < T_c$ sıcaklığında ise yavaşça sıfıra düşer. Bu düşmenin bütün HT_c süperiletkenlerde gözlenen ortak bir davranış olarak bilinmektedir [95,101-103].

Süperiletken bir örnekte, T_c geçiş sıcaklığında taşıyıcılar çift oluşturmakta ve fonon-taşıyıcı saçılmasında azalma meydana gelmektedir. Bu durumda, yük taşıyıcıları süperiletken durumda çiftlenir ve fononlar çarpışmalar ile momentumlarını artık kaybetmezler. Özellikle T_c 'nin hemen üstünde termal iletkenlikte meydana gelen hızlı artışın taşıyıcılar tarafından fonon saçılmasında meydana gelen azalmanın sonucu olarak örgü ısı iletimindeki artışı yansıtmasına inanılmaktadır [104-108].

Seramik süperiletkenlerde termal iletkenlik genelde fononlar tarafından taşınmaktadır. Fakat, elektronik ve fononik ısı akımlarının birbirinden ayrılması aslında çok zordur. Bu ayrılmış Wiedemann-Franz Yasasına (WFL) göre yapılmaktadır. WFL yasası κ_e elektronik termal iletkenlik için bir üst limit oluşturmaktadır [109]. İletkenliğin ölçülen değeri (σ) ve WFL kullanılarak $T > T_c$ için örgü termal iletkenliği veya fonon termal iletkenliği denklem (2.44) ile belirlenebilir. Yüksek sıcaklık bölgelerine doğru gidildikçe κ_L örgü termal iletkenliğinin fonon sayılarındaki artma ile artması beklenir. Bununla birlikte, yüksek sıcaklıklarda Umklapp etkisi de exponansiyel olarak yükselmektedir. Bu durum fononik iletimin artmasını engellemektedir. Böylece, κ_L örgü termal iletkenliği yüksek sıcaklıklarda küçük bir değerde kalmakta ve sıcaklıkla artmamaktadır. Bununla birlikte, sıcaklık azaldıkça örgü termal iletkenliği azalmaktadır. T_c civarında fononların ortalama serbest yolu artmakta ve böylece, κ_L örgü termal iletkenliğinde bir maksimum elde edilmektedir [110].

κ_L ile κ_e 'yi birbirinden ayırmadan bir başka yolu da κ' nın manyetik alana olan bağlılığını incelemektir [111-113]. Ayrıca, enine termal iletkenliği, κ_{xy} , ölçmek te faydalıdır. Bu termal iletkenlik "Rughi-Leduc etkisi" veya "Termal Hall etkisi" olarak tanımlanmaktadır [114,115]. Rughi-Leduc etkisi Hall olayının termal benzeridir.

Burada fononlar κ_{xy} ' ye katkıda bulunmadıkları için κ_{xy} tamamen elektronik orjinlidir. κ_{xy} ' nin T_c ' nin hemen altında artması parçacık ortalama serbest yolunun arttığını göstermesi bakımından önemlidir.

Normalde elektronik termal iletkenlik, κ_e , süperiletken çiftlerin oluşması ile azalmaktadır. Çift yapan taşıyıcılar ısı akımı taşımazlar, çünkü süperiletken durumda çiftler diamanyetik özellik gösterirler. Örneklerin ρ özdirençleri yüksek olursa metalik fazda κ' ya elektronik katkı önemsiz olur ($\kappa_e/\kappa < \%1.2$). Bu durumda numunelerin termal iletkenliğine fononik olarak bakılabilmektedir. Sıcaklık azaldıkça fononlar tarafından taşıyıcıların saçılması Lorentz sayısı L' de azalmaya neden olacağından κ_e beklenildiğinden daha küçük olabilmektedir. $T/T_c=0.2-0.3$ olduğunda $\kappa_e(T)$ / $\kappa_e(T_c)$ maksimum değere ulaşmaktadır [116,117].

Düşük sıcaklık süperiletkenlerde elektronik termal iletkenlik örgü termal iletkenliğinden büyüktür ama yüksek sıcaklık süperiletkenlerde T_c ' nin hemen üstünde örgü termal iletkenliği toplam termal iletkenliğin %90'ını oluşturmaktadır [97].

Polikristal bir örnekte meydana gelecek olan gözeneklilik (porosity) materyal yoğunluğunundaki azalmadan dolayı κ_L örgü termal iletkenliğinde azalmaya neden olmaktadır. Ayrıca tek kristallerde gözlenen izotropik özellikler rasgele yönelmiş taneciklerden dolayı polikristallerde gözlenmemektedir. Üstelik, küçük boyuttaki tanecikler tek kristal örnekler kiyasla fonon ortalama serbest yolunda bir üst sınır meydana getirmekte ve kristal boyutundaki küçülme termal iletkenliğin maksimumunda bir kayma oluşturmaktadır. Bu durumda fonon ortalama yolu yüksek sıcaklıklarda Umklapp etkisinden dolayı neredeyse kristal boyutlarına ulaşabilmektedir [61,107,118].

3. HT_c SÜPERİLETKEN AİLELERİ

HT_c sistemlerinin keşfedilmesinden sonra sistemlerin kristal yapılarının çözülmesi için yoğun çalışmalar yapılmıştır. Genel olarak, perovskite türü yapı sergileyen HT_c oksit süperiletkenlerin tetragonal ve ortorombik olmak üzere iki tip kristal simetri sergiledikleri ve bazı HT_c' lerde de yapıdaki oksijen miktarının yapının türünün oluşmasında oldukça önemli rol oynadığı belirlenmiştir. Örneğin, YBa₂Cu₃O_{7-δ} sisteminin katyon stokiyometrisi 1-2-3 şeklindedir. Kristal simetrisi oksijen içeriğine bağlı olarak ortorombik veya tetragonal olabilmektedir. Oksijensiz ortamda YBa₂Cu₃O₆ şeklinde hazırlanmış sistem tetragonal simetrilidir. Birim hücre parametreleri a(=b)=3.9018 Å ve c=11.9403 Å' dur. Bununla birlikte, oksijen ortamında hazırlanmış YBa₂Cu₃O_{7-δ} sistemi ortorombiktir ve birim hücre parametreleri a=3.827 Å, b=3.822 Å ve c=11.682 Å' dur ($T_c=92$ K) [119]. CuO yapısı ise zincir şeklinde olup tabakalı değildir.

TlBaCaCuO süperiletken ailesinin genel formülü Tl₂Ba₂Ca_{n-1}Cu_nO_{2n+4+δ} (n=1, 2 ve 3) dür ve Bi-bazlı sistem ile yakın topolojik ilişkiye sahiptir [120]. Daha sonra TlBa₂Ca_{n-1}Cu_nO_{2n+3+δ} (n=1, 2, 3, 4 ve 5) sisteminin de süperiletken olduğu bulunmuştur [121]. Tl-bazlı HT_c sistemi Bi-bazlı sistemden Tl-O ve Bi-O tabakalarının yerleşmesi ile ayrırlar. Tl-O tabakaları arası mesafe Bi-O tabakaları arası mesafeden daha kısa olduğundan tabakalar arası sıkı bir bağlantı vardır. Kristal yapı tetragonalıdır ve birim hücre parametreleri n=1 için a(=b)=3.9021 Å ve c=23.205 Å, n=2 için a(=b)=3.9023 Å ve c=29.402 Å ve n=3 için a(=b)=3.9027 Å ve c=36.018 Å' dur. TlBa₂Ca_{n-1}Cu_nO_{2n+3+δ} sisteminde BaO/CuO/CaO.../CuO/BaO yığınları arasında oktaedral düzende bir tane Tl-O tabakası vardır. Yapı tetragonal simetrilidir ve birim hücre parametreleri yaklaşık olarak a(=b)=3.8125 Å ve c=5.4+3.4n Å (n=1-5)' dur (n=1 için süperiletken malzeme değil, n=2 için $T_c=90$ K, n=3 için $T_c=110$ K, n=4 için $T_c=122$ K ve n=5 için $T_c=115$ K).

HgBa₂Ca_{n-1}Cu_nO_{2n+2+δ} (n=1,2 ve 3) sistemi de tetragonal simetrilidir. n=1 sisteminin birim hücre parametresi a(=b)=3.8755 Å ve c=9.4952 Å' dur ($T_c=96$ K). Sisteme bir Ca ilave edildiğinde n=2 fazı ($T_c=127$ K) ve iki Ca ilave edildiğinde n=3 fazı ($T_c=136$ K) rahatlıkla elde edilebilmektedir. n=2 fazı için örgü sabitleri a(=b)=3.8601 Å ve c=12.725 Å ve n=3 fazı için birim hücre parametreleri a(=b)=3.888 Å ve c=16.102 Å olarak belirlenmiştir [122].

3.1. BSCCO Süperiletken Ailesi ve Genel Faz Oluşumu

1987' de Mitchell vd. 10-20 K' lik geçiş sıcaklığına sahip Bi-Sr-Cu-O oksit süperiletken ailesini keşfettiğinden sonra sistem üzerinde yoğun çalışmalar yapılmaya başlanmıştır [13]. 1988' de Maeda vd. sisteme Ca ekleyerek geçiş sıcaklığını Ca konsantrasyonuna bağlı olarak ~80 K ve daha sonra da ~110 K' ne çıktıgı bulmuştur [15-17]. Böylece, $\text{Bi}_2\text{Sr}_2\text{Ca}_{n-1}\text{Cu}_n\text{O}_{2n+4+\delta}$ genel formülüne uyacak şekilde sistemdeki CuO düzlemlerinin sayısına bağlı olarak, n=1 (2201), n=2 (2212) ve n=3 (2223) olmak üzere 3 farklı faza sahip olduğu belirlenmiştir.

3.1.1. $\text{Bi}_2\text{Sr}_2\text{CuO}_{6+\delta}$ (n=1) Fazı

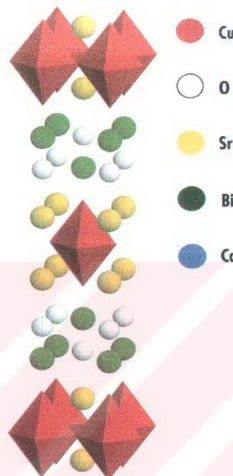
Düşük sıcaklık fazı ($T_c \sim 20$ K) olarak bilinen Bi-2201 (n=1) sistemi $\text{BiO}/\text{SrO}/\text{CuO}/\text{SrO}/\text{BiO}$ şeklinde bir istiflenmeye sahip olup Ca içermez. Bu faz iki Sr-O₂ tabakası arasına yerleşmiş kare piramit şeklinde Cu-O1 (1.9 Å) den oluşmaktadır. Kare piramitteki Cu atomları altı tane oksijen ile çevrilidir. O2 oksijenleri Cu-O tabakalarının (Cu-O2, 2.58 Å) hemen üstünde ve altında yer almaktadır ve bunlar son derece uzun CuO₆ oktaedrası meydana getirirler, Şekil 3.1 ve Çizelge 3.1.

Çizelge 3.1. Bi-2201 fazına ait bağ uzunlukları ve her bir düzlemede bulunan en yakın oksijen atomlarının sayısı [123].

Bağ	Bağ Uzunluğu (Å)	Oksijen Sayısı
Cu-O (1)	1.90	4
Cu-O (2)	2.58	2
Bi-O (2)	2.00	1
Bi-O (3)	2.20	1
	2.70	2
	3.21	1
	3.28	1
Sr-O (1)	2.53	2
	2.94	2
Sr-O (2)	2.95	1
	2.81	2
	2.68	1
Sr-O (3)	2.87	1

Sr' un yakın komşuluğunda ortalama 2.7 Å' luk mesafede dokuz oksijen atomu vardır. Bi-O₂ bandı 2.0 Å' luk bir mesafede Bi' u Sr-O₂ tabakasına bağlar. Bi-O₃ bandı

ise $2.2'$ den 3.28 \AA ' a kadar oldukça bozuk oktaedral düzeneşle oluşturmaktadır. c-eksenine paralel bu uzun Bi-O₃ bandı oldukça zayıf tabakalar arası bağlanma sergiler. Bu faz genelde hacim merkezli tetragonal yapıya sahiptir. Birim hücre parametreleri $a=b=3.790\text{\AA}$ veya 5.4\AA , $c=24.401\text{\AA}$ dur [124].



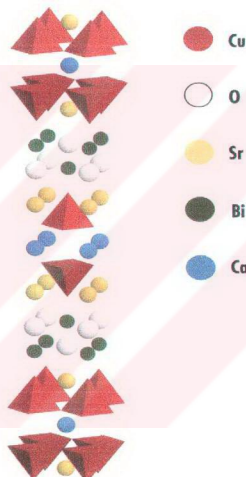
Şekil 3.1. $\text{Bi}_2\text{Sr}_2\text{CuO}_{6+\delta}$ sisteminin kristal yapısı [125].

3.1.2. $\text{Bi}_2\text{Sr}_2\text{CaCu}_2\text{O}_{8+\delta}$ ($n=2$) Sistemi

Bu faz $85-90 \text{ K}$ arasında süperiletkenlik geçmektedir. Bi-2212 ($n=2$) fazının kristal yapısı $n=1$ fazının kristal yapısına benzemektedir. Bu iki yapı arasındaki fark Sr/Cu/Sr sıralamasında ortaya çıkmaktadır [126]. Öyle ki; $n=1$ fazındaki CuO düzlemi arasına Ca atomu yerleşmiştir ve bu düzlemede oksijen bulunmamaktadır. Şekil 3.2' de gösterildiği gibi $n=2$ fazında yapı $\text{BiO}/\text{SrO}/\text{CuO}/\text{Ca}/\text{CuO}/\text{SrO}/\text{BiO}$ şeklinde bir istiflenmeye sahiptir. Sistemdeki Cu atomu kare piramidin köşelerine yerleşmiş beş oksijen ile çevrilmiştir ve birim hücrede iki tane CuO düzlemi vardır. Birim hücre uygulanan ıslı işlemlere göre tetragonal veya orthorombik olabilmektedir. Birim hücre parametreleri orthorombik yapı için; $a=5.391\text{\AA}$, $b=5.401\text{\AA}$ ve $c=30.802 \text{ \AA}$ ve tetragonal yapı için; $a=b=5.410 \text{ \AA}$ ve $c=30.600\text{\AA}$ dur. Sistemin bağı yapısı ise Tablo 3.2' de verilmektedir.

Çizelge 3.2. Bi-2212 fazına ait bağ uzunlukları ve her bir düzlemede bulunan en yakın oksijen atomlarının sayısı [127].

Bağ	Bağ Uzunluğu (Å)	Oksijen Sayısı
Ca-O (1)	2.52	8
Cu-O (1)	1.91	4
Cu-O (2)	2.16	1
Bi-O (2)	2.22	1
Bi-O (3)	2.71	4
	2.97	1
Sr-O (1)	2.56	4
Sr-O (2)	2.74	4
Sr-O (3)	2.91	1



Şekil 3.2. $\text{Bi}_2\text{Sr}_2\text{Ca}\text{Cu}_2\text{O}_{8+\delta}$ sisteminin kristal yapısı [125].

3.1.3. $\text{Bi}_2\text{Sr}_2\text{Ca}_2\text{Cu}_3\text{O}_{10+\delta}$ ($n=3$) Sistemi

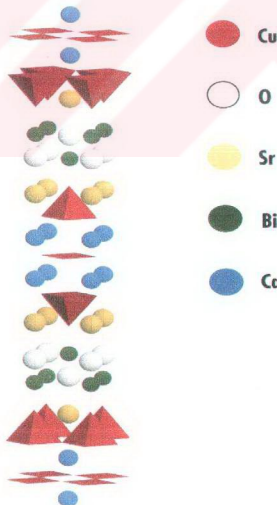
Bi-2223 ($n=3$) fazı yüksek sıcaklık fazı olarak bilinmektedir ($T_c=110$ K). Bi-2212 fazından farklı Sr/Ca/Sr tabakaları arasında yerleşmiş ilave Cu-O ve Ca düzlemlerinden kaynaklanmaktadır. Bu fazda c-ekseni boyunca BiO tabakaları arasında üç tane CuO tabakası bulunmaktadır, Şekil 3.3.

$\text{BiO}/\text{SrO}/\text{CuO}_2/\text{CaO}/\text{CuO}_2/\text{CaO}/\text{CuO}_2/\text{SrO}/\text{BiO}$ şeklinde c-ekseni boyunca düzlemsel bir istiflenme söz konusudur. Cu_2 atomları Bi-2212 fazındaki gibi kare

piramit şeklinde dört oksijen atomu ile çevrilmiştir. CaO tabakaları arasında bulunan Cu1 atomu ise düz kare şeklinde düzenlenmiş oksijen atomları ile çevrilidir. Bu yapıda birim hücre tetragonaldır ve birim hücre parametreleri $a=b=5.420 \text{ \AA}$ ve $c=37.101 \text{ \AA}$ ’dur [128]. Sistemin bağ uzunlukları Tablo 3.3’te verilmiştir.

Çizelge 3.3. Bi-2223 fazına ait bağ uzunlukları ve her bir düzlemede bulunan en yakın oksijen atomlarının sayısı [128].

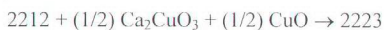
Bağ	Bağ Uzunluğu (\AA)	Oksijen Sayısı
Ca-O (1)	2.48	8
Cu (1)-O (1)	1.91	4
Cu (1)-O (2)	2.31	1
Cu (2)-O (1)	1.91	4
Sr-O (1)	2.65	4
Sr-O (2)	2.77	4
Sr-O (3)	2.99	1
Bi-O (2)	2.03	1
Bi-O (3)	1.87	1
	2.77	2
	3.35	1
	3.15	1
	3.82	1



Sekil 3.3. $\text{Bi}_2\text{Sr}_2\text{Ca}_2\text{Cu}_3\text{O}_{10+\delta}$ sisteminin kristal yapısı [125].

3.1.4. BSCCO Fazlarının Reaksiyon Mekanizması

Bi-2212 ve Bi-2223 fazlarının oluşum reaksiyonlarının aşağıdaki şekilde yazıldığı tüm gruplar tarafından kabul edilmektedir [129,130]:



Bi-2223 ($n=3$) fazının ideal yapısı tabaka yiğılma (istiflenme) hataları, oksijen düzensizliği, katyon düzensizliği ve diğer periyodik olmayan davranışlardan dolayı oldukça karmaşıktır. Bu nedenle, Bi-bazlı süperiletkenlerde 2223 ($n=3$) fazını saf olarak elde etmek oldukça zordur. Ayrıca, Bi-2223 fazının oluşum hızı diğer fazların oluşum hızları ile kıyaslandığında çok yavaştır. Bu problem esasen Bi elementinden kaynaklanmaktadır. Bi^+ un her ne kadar aktifliği fazla gibi görünse de yapıya dağılması (difüzyonu) ve Sr, Ca ve Cu elementleri ile reaksiyonu yavaştır. Özellikle Ca ve Cu⁺ in konsantrasyonu artırıldığında bu durum daha belirgin şekilde ortaya çıkmaktadır. Bi^+ un yapı içerisinde daha aktif olmasını sağlamak için sisteme belirli konsantrasyonlarda Pb ilave edilmektedir. Pb, Bi^+ un aktifliğini artırmakta ve yapıya rahatça difüz olmasını ve dolayısıyla da Ca ve Cu ile reaksiyonu hızlandırmaktadır [131,132]. Sisteme Bi yerine Pb eklenmesi, erime sıcaklığını düşürür, tavlama sıcaklık aralığını genişletir ve 2212 fazından 2223 fazının oluştuğunu artırır [133]. Bununla birlikte, sistemde Pb⁺ un artması yüksek sıcaklık fazının (2223) oluşmasını engelleyen Ca_2PbO_4 safsızlık fazının oluşmasına da neden olmaktadır [134]. Ancak, bu durum uygun ısıl işlemler ile ortadan kaldırılabilirmektedir.

Numune hazırlama metodları da 2223 fazının oluşumunda büyük bir etkiye sahiptir. Yapıyı oluşturan oksit bileşikler yüksek sıcaklıklarda ısıl işlem gördüklerinde buharlaşabilmekte ve istenilen kompozisyonun ötesinde bir stokiyometriye ulaşılabilmektedir. Bu tip etkilerin ısıl işlemler ile telafi edilmesi ise çoğu zaman mümkün olmamakta ve sonuç olarak düzensiz “off-stoichiometric” Bi-2223 fazının oluşumu gerçekleşmektedir.

2223 fazı büyük oranda 2212 fazından ve ikincil fazlardan oluşmaktadır. Oluşum mekanizması mikroyapısal gelişim analizine dayandırılmaktadır. 2223’ün oluşması için birkaç mekanizma öne sürülmüştür. Bunlardan en çok kabul görenleri “çekirdeklenme-büyüme mekanizması” ve “interkalasyon (intercalation) mekanizması”

dir. Ama, bu mekanizmalardan hiç birisi tek başına 2223'ün oluşmasından sorumlu değildir.

Çekirdeklenme-büyüme yeni oluşan 2223 taneciklerinin ya mevcut 2212 tanecikleri üzerinde ya da doğrudan sıvı fazdan çekirdeklenliğini ve büyütüğünü anlatmak için kullanılan bir terimdir. Bir çok araştırmacı bu sonuca ulaşmak için X-işını kırınım desenlerini kullanmışlardır. Kingery [135] ve Avrami [136] f çekirdeklenme-büyüme için dönüşme kesrinin

$$f = 1 - \exp\left[-\frac{4\pi}{3} u^3 \int_0^t I_v(t-\tau)^3 d\tau\right] \quad (3.1)$$

ile verildiğini göstermişlerdir. Burada, u ; küresel şekilde dönüşüm ugramış bölgelerin ara yüzeyinin birim alanı başına izotropik büyume hızı, I_v ; çekirdeklenme hızı ve τ , çekirdeklenme zamanıdır.

Genelde çekirdeklenme-büyüme hızları için fonksiyonlardaki değişimler

$$f = 1 - \exp(-Kt^n) \quad (3.2)$$

formundaki bağıntılara götürür. Burada, f ; çekirdeklenme-büyüme dönüşüm kesri, K ; zamana bağlı reaksiyon hız sabiti ve n ; Avrami katsayıısıdır ve sabit çekirdeklenme hızında 2 ile 4 arasında ve sabit sayıdaki çekirdeklerin büyümesi durumunda 1 ile arasında değişir. Çizelge 3.4 farklı mekanizmalar için Avrami sabitinin değerlerini göstermektedir.

Çizelge 3.4. Farklı mekanizmalarda Avrami katsayıısının olası değerleri [137].

Reaksiyon Mekanizması	Avrami Katsayıısı, n	Reaksiyon Mekanizması	Avrami Katsayıısı, n
Sabit Çekirdeklenme Hızı		Sabit sayıdaki çekirdeklerin büyümesi	
1-boyutlu büyümeye	2	1-boyutlu büyümeye	1
2-boyutlu büyümeye	3	2-boyutlu büyümeye	2
3-boyutlu büyümeye	4	3-boyutlu büyümeye	3

Bu oluşum kinetiği kullanılarak yapılan bir çok çalışmada BSCCO için n değerinin 1 ile 2.5 arasında olduğu bulunmuştur [138-142]. BSCCO sisteminin en önemli özelliklerinden birisi tanecik büyümesinin anizotropik olduğunu. Yukarıda bahsedilen iki boyutta çekirdeklenme-büyüme mekanizması Bi-2212 fazının tabaka (katmanlı) şekilde oluşumu (büyümesi) ile uyuşmaktadır. Günümüze kadarki mikroyapışal çalışmalar 2223 fazının 2212 ve diğer ikincil fazların çözümnesi ile oluşan sıvı fazdan çökelme ile oluştuğunu ortaya koymaktadır [143-149]. Bi-2223 fazının oluşumunda Grivel vd ıslıl işlem süresince 2212 taneciklerinin büzüldüğünü buna karşın aynı anda yeni bir yönelik ve morfolojide 2223 kristallerinin oluştuğunu göstermişlerdir [150]. ıslıl işlem ile herhangi bir anda örneğin sadece küçük bir kesrinin sıvı durumda olduğu ve kalan katı kısmın sıvı ve katı kısımdan büyüyecek kristaller için bir tutucu (substrate) olarak davrandığı gözlenmiştir [148,149]. Kristaller bu tutucu üzerinde büyümektedir. O zaman Bi-2223 kristallerinin henüz ayrılmamış (“decompose” olmamış) Bi-2212 taneciklerinin kristal yüzeyleri üzerinde çekirdeklenme ve büyümeye olasılığı artmaktadır.

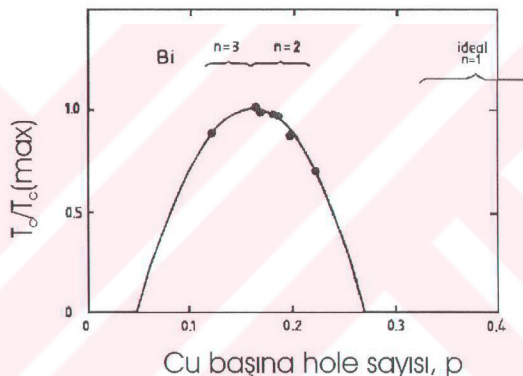
İnterkalasyon (Intercalation) 2212 tanecikleri üzerinde direk olarak yapıya Ca/Cu-O tabakalarının yerleşmesi yoluyla 2223 taneciklerinin oluştuğu mekanizmadır [151-154]. Yani, ek Ca ve Cu yapıya difüz olur. ıslıl işlemin ilk evresinde (2223 oluşmadan önce) 2212 tanecikleri yapı içerisinde kısmen çözünür. Daha sonra büyük bir doku üzerinde 2223 oluşmaya başlar. Böylece, 2212 tabaka tabaka 2223 fazına dönüştürülmüş olur.

Sıcaklık ve kısmi oksijen basıncı (pO_2) da 2223 fazının oluşmasında önemli bir etkiye sahiptir. 2223 için yapılan çalışmaların çoğu hava ortamında yapılmaktadır. Ancak, hazırlama ortamının 2223 fazının oluşumuna etkisinin incelendiği bir çok çalışma da mevcuttur. Örneğin, nitrojen ortamında ıslıl işlem yapıldığında Bi-2223 fazı ayrışmakta ve oluşan fazlar ise oldukça kararsız olmaktadır [155,156]. Yapılan çalışmalar 2223'ün büyük oranda oksijen ortamında oluştuğunu göstermektedir [157-159]. Düşük oksijen basıncında Bi-2223'ün, Bi-2212 ve süperiletken olmayan ikincil fazlara ayrılığı ve bu ayrışmanın tersinmez olduğu görülmüştür. Yapılan çalışmalar sonucunda 2223 fazının optimum oluşum şartlarının $820^0C \leq T \leq 880^0C$ de $0.01 \leq pO_2 \leq 0.50$ de olduğu belirlenmiştir [155]. Böylece, 2223 fazı dar bir sıcaklık aralığında ve kısmi oksijen basıncında kararlıdır. Yapıdaki oksijen düzensizliği ile taşıyıcı konsantrasyonunda değişme olduğu ve bu düzensizliğin 2223 fazı üzerinde önemlidir bir etkiye sahip olduğu da yapılan çalışmalarla belirlenmiştir. Ayrıca, oksijen

düzensizliğine sahip Bi-2223 fazının kristal yapısının yarı kararlı olduğu da bulunmuştur [160].

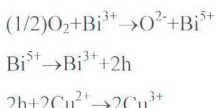
3.2. BSCCO Sisteminde CuO Düzlemlerinin Önemi

BSCCO süperiletken sisteminde, süperiletken geçiş sıcaklığının kontrolünde Bi-O ve Cu-O tabakaları önemli roller oynarlar [161]. p-tipi taşıyıcılar (holler) Cu-O düzlemlerinde, n-tipi taşıyıcılar (elektronlar) ise Bi-O düzlemlerinde bulunurlar. Bi-2201 ($n=1$) ve 2212 ($n=2$) fazları aşırı hole konsantrasyonu içerirken, Bi-2223 ($n=3$) fazı için bu optimum değerdedir, Şekil 3.4 [162].

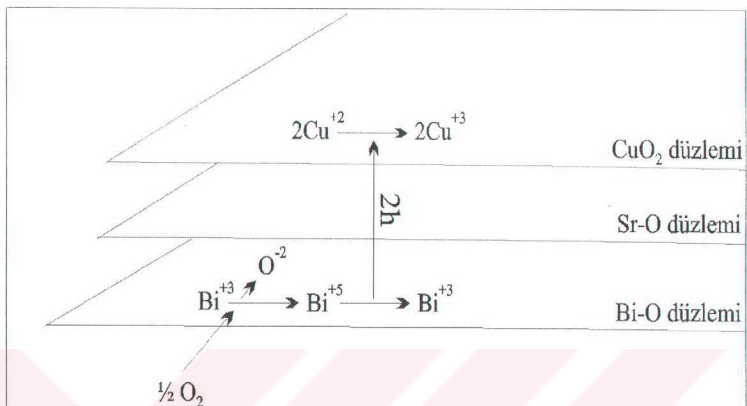


Şekil 3.4. Bi-bazlı süperiletken sistemi için faz diyagram eğrisi [162].

Bi-bazlı süperiletken sisteminde geçiş sıcaklığının, T_c , Bi-O düzlemlerinden ziyade Cu-O düzlemlerindeki hole konsantrasyonuna önemli ölçüde bağlı olduğu belirlenmiştir. Genel olarak bakıldığından, Bi-O düzlemlerine oksijen eklendiğinde oksijenin verdiği elektronları karşılamak için holler Bi-O düzlemlerinden Cu-O düzlemlerine doğru hareket ederler. Böylece, bizmutun değerliği hemen hemen değişmeden kalırken bakırın değerliği artar, Şekil 3.5 [160, 163-166]:



Yapıdaki diğer düzlemler olan Sr-O ve Ca-O düzlemlerinin görevi ise Cu-O düzlemlerindeki hole konsantrasyonunu ayarlamaktır.



Şekil 3.5. Bakır ve bizmut düzlemleri arasındaki yük transferi

Süperiletkenlik için büyük öneme sahip Cu-O düzlemlerindeki hole konsantrasyonunu bulmak için kullanılan en önemli yöntem Presland Metodudur. Şekil 3.4' te verilen eğri ilk olarak Takagi [167] ve Torrance [168] tarafından $\text{La}_{2-x}\text{Sr}_x\text{CuO}_4$ süperiletken sistemi için tanımlanmış olup daha sonra oksit süperiletkenlerin bir kısmına ait (özellikle LSCO, BSCCO ve TBCCO) hole konsantrasyonuna karşı T_c verilerinin de bu eğri üzerinde olduğu bulunmuştur. Presland vd. Şekil 3.4' teki eğrinin

$$\frac{T_c}{T_c^{\max}} = 1 - 82.6(p - 0.16)^2 \quad (3.3)$$

parabol denklemine uydugunu bulmuşlardır [169,170]. Burada T_c ; süperiletken geçiş sıcaklığını ve p ; Cu-O düzlemlerindeki hole konsantrasyonunu göstermektedir. Şekil 3.4' deki parantezler BSCCO sistemi için $n=1$, $n=2$ ve $n=3$ fazlarına ait hole konsantrasyon bölgelerini göstermektedir. $n=3$ fazı için T_c , 90 K ile T_c^{\max} 110 K arasında bulunmaktadır. Bu faz için p ' nin ortalama değeri 0.116' dan 0.16' ya kadardır. $n=2$ fazı için T_c 64 K ile 92 K arasında değişmektedir. Bu durumda hole konsantrasyonunun 0.16 ile 0.22 arasında değerlere sahip olduğu bulunmuştur. $n=1$ fazında ise hole yoğunluğu 0.32' den 0.44' e kadar değişmektedir. Buradan $n=1$ ve 2

fazlarının $n=3$ fazına göre yüksek hole konsantrasyonu bölgesinde bulunduğu rahatlıkla görülebilir. Bu durum $n=3$ fazında Bi_2O_2 tabakasından Cu-O düzlemlerine doğru hareket eden hollerin üç Cu-O tabakasına eşit olarak dağıldığını gösterir. $n=1$ fazındaki CuO_2 düzlemleri yüksek hole konsantrasyonuna sahip olduğundan sistem süperiletken olmayan metalik bölgede yer almaktadır. Ayrıca, sistemlerde Bi_2O_2 tabakasında bulunan ve c-ekseninin daralmasına veya açılmasına neden olan değişken oksijen miktarları da değişken aralıklarda hole yoğunluğuna sebep olmaktadır.

3.3. BSCCO Sistemine Yapılan Katkılamalar

3.3.1. Bi, Sr ve Ca yerine yapılan Katkılamalar

1988 yılından başlayarak araştırma grupları tarafından yapılan çalışmalarında BSCCO sisteminde Bi yerine Mo, Hg, Tl, Sb, Pb, Sn, Ga, Zn, V, B, Te gibi elementler katılmıştır [171-183]. Özellikle, bu elementler arasında Pb katkılaması yapıldığında %20' ye kadar Pb' un yapıda Bi' un aktifliğini artırarak Bi-2223 fazının oluşum kinetiğini artırdığı görülmüştür. Ancak, Pb' un yapıda daha fazla artmasının Bi-2223 fazının oluşumuna engel olan CaPbO_4 safsızlığının oluşmasına neden olduğu belirlenmiştir. Diğer katkılamalarda ise sonuçların çoğu yapısal parametrelerde önemli değişiklikler meydana gelmediğini ortaya koymuştur. Bununla birlikte, katkılama ile sistemin elektronik yapısı bozulduğundan taşıyıcı konsantrasyonunda değişimler olduğu belirlenmiştir. Bu da T_c ' de azalmaya neden olmaktadır. Tanecik ara yüzeyinde safsızlık fazlarının oluşması ve safsızlıklar ile ana tanecikler arasındaki zayıf bağlantının sonucu olarak örneklerin kritik akım yoğunlukları da azalmıştır.

Her ne kadar HT_c BSCCO süperiletken sisteminin keşfedilmesinden bu zamana kadar katkılamaların çoğu Bi ve Cu yerine yapılsa da Ca ve Sr yerine de katkılamalar yapılmıştır. Ca ve Sr tabakalarının sistemde yük rezervuar blokları (charge reservuar blocks CRB) olduğu bilinmektedir. Bu nedenle, bu bloklar, bloklar arası bağlantılar sağlanmalarından ve yük dengesini ayırmalarından dolayı HT_c ' ler üzerinde önemli roller oynarlar.

BSCCO sisteminde Sr yerine La [184] ve Ca yerine ise nadir toprak elementleri (Pr, Y, Ce, Er) ve Dy, Cd, La, Er, Ho, Tm [185-193] gibi elementler katılmıştır. Bu tür katkılamalar sistemin süperiletken özellikleri üzerinde önemli etkiler meydana getirmiştir. Holler ile nadir toprak elementleri arasındaki manyetik etkileşmenin

oldukça zayıf olduğu görülmüştür. Deneyler düşük katkılama seviyelerinde kristal yapının çok fazla değişmediğini bununla birlikte yüksek katkılama seviyelerinde bir metal-yalıtkan geçisi meydana geldiğini göstermiştir. T_c 'deki azalmanın hole konumlarının doldurulmasından (hole-filling) dolayı olduğu belirlenmiştir. T_c 'deki azalmanın bir sonucu olarak başta kritik akım yoğunluğu olmak üzere sistemin diğer fizikal, termal ve elektriksel özelliklerinde düşüşler olduğu görülmüştür.

3.3.2. Cu Yerine Yapılan Katkılamlar

Yüksek sıcaklık süperiletkenlerinin en önemli elemanı iki boyutlu CuO düzlemidir. Diğer düzlemlere yapılan katkılamlardan farklı olarak Cu yerine yapılan katkılamların etkisi çok daha güçlündür. Çünkü, CuO düzlemlerinde meydana gelecek değişimler doğrudan materyalin süperiletkenlik özelliklerini etkilemektedir. Buna karşın, örneğin Ca ve Sr yerine yapılan katkılamlar yük rezervuarını etkilememektedir. HT_c süperiletkenlerde Cu yerine yapılan katkılamlardan dolayı CuO düzlemlerindeki taşıyıcıların saçılmasını artıran safsızlıklar ve/veya taşıyıcı konsantrasyonundaki değişimlerden dolayı başka bir faza (yalıtkan veya yarıiletken gibi) geçiş olabilmektedir.

Cu yerine yapılan katkılamlarda T_c 'de bir azalma olduğu belirlenmiştir. Bu azalma CuO düzlemlerindeki çift bozulmasına bağlanmaktadır [194]. Aynı zamanda, Cooper çiftlerinin çift olamamasından (unbinding) dolayı T_c 'deki azalma bir süperiletken-yalıtkan geçisine de neden olmaktadır [195]. Ayrıca, yapılan katkılama sonucu oluşan yapısal bozuklukların induklediği taşıyıcı lokalizasyonu da T_c 'deki bu azalmayı artırmaktadır. Bundan başka, CuO düzlemlerinde oluşabilen nokta kusurları da süperiletkenliği bozabilemektedir. Çünkü, bu düzlemlerde bulunan nokta kusurları bakırın uzun düzen etkileşmesini bozmaktadır [196]. Cu(2) yerine 3d geçiş-metal iyonlarının katkılamanasının süperiletken özelliklere etkisi de yoğun şekilde çalışılmıştır.

X. L. Wang vd. Bi₂Sr₂Ca(Cu_{1-x}Fe_x)₂O_{8+y} ($y=0, 0.005, 0.013$ ve 0.022) sistemi üzerinde çalışılmışlardır [197]. Cu yerine demir katkılanması ile T_c azalmış ve aki tuzaklanması artma meydana gelmiştir. Yapıya ekstra bir manyetik iyonun katılması vortex çiftenmesini artırmaktadır. Fe manyetik bir iyon olduğundan vortex ile güçlü bir etkileşmeye girerek yapıdaki aki tuzaklanması (flux pinning) artırmaktadır. Ama, Fe'nin güçlü bir ferromanyetik iyon olmasından dolayı Cu düzlemlerine yerleşen daha

fazla Fe iyonu diamanyetik süperakımları kesecek ve CuO tabakalarındaki Cu⁺ in uzun düzlençiftlenmesi bozulacaktır. Bu nedenle de, T_c 'de azalma olmaktadır.

$\text{Bi}_{1.7}\text{Pb}_{0.3}\text{Sr}_2\text{Ca}_2(\text{Cu}_{0.08}\text{Fe}_{0.02})_3\text{O}_{10}$ sistemi Mössbauer Spectroscopy ile incelenmiştir [198]. Direnç ölçümlerinde herhangi bir anormallik gözlenmemiştir. Ancak, Mössbauer dataları X-ışını datalarında gözlenmeyen Bi-2223' den farklı fazlarının olduğunu ortaya koymuştur. Sıcaklığın fonksiyonu olarak yapılan Mössbauer çalışması numune süperiletken geçiş sıcaklığının altına soğutulduğunda Fe(Cu) atomlarının çevresindeki oksijen konumlarında yeni bir düzenleme olduğunu ortaya koymuştur. Dolayısıyla, T_c 'deki azalmanın bir sebebinin de bu olduğu düşünülmektedir.

H. Matsuhata vd. $\text{Bi}_2\text{Sr}_2\text{Ca}(\text{Cu}_{2-x}\text{Ni}_x)\text{O}_y$ ($x=0, 0.02, 0.04$) sistemini incelemiştir [199]. Ni konsantrasyonuna bağlı olarak b-ekseni boyunca özdirençte keskin bir değişim olurken, buna karşın a ve c-ekseni boyunca özdirençte herhangi bir değişim gözlenmemiştir. Bu iki sebebe dayandırılmıştır: Birincisi, elektronik yapıdaki değişim, ikincisi de kristal yapıdaki değişimdir. b-ekseni boyunca özdirençte görülen değişim “Cu atomlarının bazılarının Ni atomları ile yer değiştirdiğinde Ni atomları civarındaki lokal yük nötrallığını sağlamak için Sr atomunun civarındaki oksijenler Cu-O tabakalarının civarına gelirler. Buna bağlı olarak da Ni atomları CuO düzlemi içerisinde a-yönünde bir sıra oluştururlar. Böylece, “b-yönündeki özdirençte keskin bir azalma meydana gelir” şeklinde açıklanmıştır.

H. L. Liu vd. $\text{Bi}_2\text{Sr}_2\text{Ca}(\text{Cu}_{1-x}\text{Ni}_x)_2\text{O}_{8+\delta}$ ($x=0.0215$) sistemini incelemiştir [200]. a-b düzlemi optiksel yansımaya ölçümleri sisteme yapılan Ni katkılamasının elektronik yapıyı Fermi seviyesi civarında yeniden düzenlediğini ortaya koymuştur. Özellikle, düşük sıcaklık optiksel yansımaya çalışmaları Ni⁺ in süperiletkenliği bozmaya başladığını göstermiştir. Bu durum taşıyıcıların ortamdan uzaklaşması ve düşük frekanslarda taşıyıcıların hareketliliğinin (mobilitesi) önemli ölçüde azalması ile açıklanmaya çalışılmıştır. Ni katkılaması ile CuO düzlemlerindeki taşıyıcılar lokalize olabileceği ve taşıyıcı saçılmasının da buna bağlı olarak artacağı ortaya konmuştur.

J. T. Market vd. Cu yerine manyetik olmayan Zn katkılaması ile T_c 'de ciddi bir azalma olduğunu bulmuştur [201]. Süperiletkenlikteki bu azalma manyetik çift bozulmasına ve çiftlenme potansiyelinde azalmaya bağlanmıştır. Ayrıca, Cu spinleri arasındaki manyetik korelasyon anomal şekilde artmakta ve süperiletkenlikte bozulma meydana gelmektedir [202,203].

A. V. Pop vd. $(\text{Bi}_{1.6}\text{Pb}_{0.4})(\text{Sr}_{1.8}\text{Ba}_{0.2})\text{Ca}_2(\text{Cu}_{1-x}\text{Fe}_x)_3\text{O}_y$ ($x=0$ ve 0.02) sistemi üzerinde çalışmışlardır [204]. Fe katılılı örneklerde ρ -T eğrisinde bir kuyruk

gözlenmiştir. Bu kuyruk taşıyıcıların tanecikler arası dağılımına bağlanmaktadır. $d\rho/dT$ 'nin yarı maksimumundaki tanecikler arası geçiş genişliği, ΔT_c , manyetik alanın artması ile artmaktadır. Bu ΔT_c 'deki genişlemeden manyetik alanın artması ile tanecikler arası Josephson çiftlenmesi enerjisindeki azalmanın sorumlu olabileceğini öne sürmüştür.

Y. -K. Kuo vd. $\text{Bi}_2(\text{SrCa})_{n+1}(\text{Cu}_{1-x}\text{Co}_x)\text{O}_{8+\delta}$ ($0 < x < 0.26$) sistemini hazırlayıp incelemiştir [205]. Yapılan induktans-sıcaklık ($L-T$) ölçümleri 110 ve 80 K' de bir düşme olduğunu göstermiştir. Ama, 2223 faz geçişinde L 'deki azalmanın 2212 fazına kıyasla azalmadan 20 kat daha küçük olduğunu bulmuşlardır. Bu da 2223 fazının yapıda ancak %5 olduğunu göstermekte ve yapıda Co miktarı arttıkça 2223 fazındaki azalmanın hızlandığı ortaya koymaktadır. $x < 0.08$ için 2223 fazı ile karışık 2212 fazı, $0.08 < x < 0.1$ için 2212 fazı ile 2201 fazının karışımı ve $x > 0.1$ için 2201 fazının oluştuğunu gözlemlerdir. Elektronik yapıda ise tipki Ni katkılı örneklerde görülen taşıyıcı lokalizasyonu olduğunu belirlenmiştir.

S. Bhattacharya vd. $\text{Bi}_3\text{PbSr}_3\text{Ca}_3\text{Cu}_{4-m}\text{Mn}_m\text{O}_x$ ($0 \leq m \leq 0.06$) cam-seramik süperiletken sisteminin iletim (transport) özelliklerini araştırmışlardır [206]. Mn konsantrasyonuna bağlı olarak iletkenlik önce yavaş daha sonra hızlı bir şekilde düşüş göstermiştir. Bu azalmanın Cu-O-Mn ve Mn-O-Mn gibi safsızlık bantlarından dolayı olduğu ileri sürülmüştür. Süperiletken geçiş sıcaklığının kadar örnekler yarıiletken davranış sergilemiştir. T_c 80 K' de elde edilmiş ve Mn içeriğine bağlı olarak çift bozulmasından (pair-breaking) dolayı T_θ 15 ile 50 K arasında değişmiştir.

S. Chatterjee vd. Bi-4334 sisteminde Cu yerine Fe katkılanması sistemın iletim özelliklerine etkisini incelemiştir [76]. Süperiletken geçiş sıcaklığının katkılanma ile Cu-O-Fe ve Fe-O-Fe gibi yeni safsızlık bantlarının oluşmasından dolayı sürekli azalığı ve yüksek katkılanma seviyelerinde Abrikosov-Gor'kov çift bozulma mekanizmasından dolayı süperiletkenliğin tamamen yok olduğu belirlenmiştir. Termoelektrik güç (S) sıcaklıkla lineer olmayan bir davranış göstermiş ve bu davranış fonon-çekim (phonon-drag) etkisine bağlanmıştır.

R. K. Nkum (BiPb)-2223 sisteminde Cu yerine V katkılanması ($0 \leq x \leq 0.1$) sistemin fiziksel özelliklerine etkisini incelemiştir [207]. Cu yerine yapılan katkılanma miktarı arttıkça 2223 fazından 2212 fazına geçiş olduğu bulunmuştur. Kristal yapı parametreleri a ve b-eksenlerinde değişim gözlenmezken c-ekseninde bir azalma olduğu belirlenmiştir. Bu durumda vanadyum sisteme faz uyumunu bozarak süperiletken özellikleri kötülestirmektedir. Aynı zamanda, numunelerde taşıyıcı konsantrasyonu

katkılanması miktarının artması ile azalmaktadır. Böylece, süperiletkenlik özelliklerin bozulmasının süperiletken çiftlerin bozulmasından dolayı da olabileceği düşünülmüştür.

Q. Li vd. $\text{Bi}_2\text{Sr}_2\text{CaCu}_{2-x}\text{Sn}_x\text{O}_{8+y}$ ($0 \leq x \leq 1.0$) sistemi üzerine çalışmışlardır [208]. Katkılı örnekler çok fazlı olarak elde edilmiş ve T_c' de Sn katkılanması ile sürekli azalma olduğu gözlenmiştir. XPS ölçümleri Sn iyonlarının Bi-2212 örgüsüne girdiğini ve Cu atomları ile yer değiştirdiğini göstermiştir. Sn manyetik olmayan bir iyon olduğundan Fe ve Co katkılı örneklerde görülen manyetik çift bozulma mekanizması Sn-katkılı örneklerde olmamaktadır. Bu nedenle, süperiletkenliğin bozulmasından boşluk doldurma (hole-filling) mekanizmasının sorumlu olabileceği öne sürülmüştür.

K. Kocabas vd. $\text{Bi}_{1.7}\text{Pb}_{0.3}\text{Sr}_2\text{Ca}_2\text{Cu}_{3-x}\text{Sb}_x\text{O}_y$ sisteminde Cu yerine Sb katkılanmasıının etkisini incelemiştir ($0 \leq x \leq 0.2$) [209]. T_{θ} , $x=0.1$ oranındaki katkılanmaya kadar hızlı bir şekilde azalırken $x > 0.1$ için artış olduğu görülmüştür. XRD incelemeleri bütün örneklerin çok fazlı olduğunu göstermiştir. Ayrıca, yapıda 4441 olarak belirlenen ve süperiletken olmayan bir ikincil faz olduğu hem XRD hemde SEM incelemeleri sonucu ortaya çıkmıştır.

Y. Nishi vd. $\text{Bi}_{1.6}\text{Pb}_{0.4}\text{Sr}_2\text{Ca}_2(\text{Cu}_{0.9}\text{Ti}_{0.1})_3\text{O}_x$ sisteminde tavlama zamanının yüksek sıcaklık fazı Bi-2223 üzerindeki etkisini incelemiştir [210]. Bi-2223 fazı optimum $850 \pm 5^\circ\text{C}$ sıcaklığında 50 saatin üzerindeki ısıl işlemlerde elde edilmiştir. X-ışını difraksiyonu sonuçları yüksek sıcaklık fazında meydana gelen hacimsel değişimin tavlama sıcaklığındaki değişimlere bağlı olduğunu ortaya koymuştur.

Şüphesiz BSCCO sistemine yapılan katkılamlar bunlarla sınırlı değildir. Ancak burada verilen örnekler uluslararası literatürde en fazla referans gösterilen çalışmalar olduğundan dolayı bu çalışmada da referans olarak alınmıştır. Geçen 14 yıl içerisinde benzer çok sayıda çalışmanın yapıldığı uluslararası literatürde mevcuttur. Bunların çoğunun amacı T_c' yi artırmak olarak belirlenmiştir. Ancak, bu çalışmaların tamamında T_c' de artma yerine belirgin azalmalar gözlenmiştir.

3.4. Yüksek Sıcaklık Süperiletkenlerinin Hazırlama Yöntemleri

Yüksek sıcaklık süperiletkenlerin süperiletkenlik özellikleri hazırlama metodlarına oldukça duyarlıdır. Çok fazlı örnekler kolay sentezlenir. Ama, tek fazlı örnekler sıcaklık kontrolü, kısmi oksijen basıncı, tavlama işlemleri, tanecik büyütülüğü ve peletleme işlemi gibi faktörlerden dolayı çok dikkatli olmayı gerektirmektedir.

Süperiletken numune hazırlamak için genelde üç teknik kullanılmaktadır: Katıhal reaksiyon yöntemi, sol-jel yöntemi ve cam-seramik yöntemi.

3.4.1. Katıhal Reaksiyon Yöntemi

Bu metot ile çok ince kimyasal işlemlere gerek duyulmadan doğrudan ham kimyasal tozların kullanılmasıyla ve basit ısıl işlemler ile numune hazırlanabilir. Bu metotta, oksitli bileşikler istenilen atomik oranda tartılır ve tercihen mermer havanda iyice karıştırılır. Karışım süperiletkenin cinsine bağlı olarak uzun zaman aralığında (en az 20 saat) yüksek sıcaklıklarda ilk kimyasal reaksiyona tabi tutulur. Numune tekrar havanda iyice karıştırılır ve tekrar fırınlama yapılır. Kalsinasyon adı verilen bu işlem bir kaç kez tekrar edilir.

Daha sonra iyice öğütülmüş toz numune preslenerek tablet haline getirilir. Yine süperiletkenin cinsine bağlı olarak değişik atmosferler altında belirlenen zaman dilimlerinde ısıl işlemlere tabi tutulur. ısıl işlem sonunda numune yavaşça soğutulur. Çünkü, tabletlerin ısıtılmamasından sonra numune içinde iç zorlamlar meydana geleceği için oluşabilecek mikro-çatlakların önlenmesi gerekmektedir.

3.4.2. Sol-Jel Yöntemi

Bu metotta ilk olarak hazırlanacak süperiletken sisteme uygun olacak şekilde nitrat ve/veya asetat çözümleri ham tozlara katılır yada doğrudan çalışılacak süperiletken sistemin nitratlı veya asetatlı sıvı bileşikleri kullanılarak istenilen atomik oranlarda 10-20 saat arasında karıştırılır. Bu karışım, $60\text{-}120^{\circ}\text{C}$ ye kadar ısıtılıarak yapışkan bir sol elde edilir. Daha sonra bu sol $90\text{-}150^{\circ}\text{C}$ ye ısıtılır ve oda sıcaklığına yavaş yavaş soğutularak nemli bir jel elde edilir.

Numunedeki kalan asetat ve nitratı yok etmek için numune 10 dakika ile 5 saat arasında $250\text{-}500^{\circ}\text{C}$ sıcaklığına tekrar ısıtılır. Asetat ve nitrat ortamdan uzaklaştırıldıktan sonra yüksek sıcaklıklarda ısıl işlemler ile süperiletken faz elde edilir. Yeterince dikkat edilirse bu teknik kullanılarak homojen ve çok ince tanecikli yapıya rahatlıkla ulaşılabilir. Fakat, nitrat ve asetatlar ortamdan uzaklaştırılırken istenilen kompozisyonun dışına çıkmamalıdır. Bu durumda kompozisyona ısıl işlemler sırasında takviye yapmak gerekmektedir.

3.4.3. Cam-Seramik Yöntemi

Cam-seramik tekniginde önce hazırlanmak istenilen numunenin oksitli bileşikleri istenilen oranlarda, bir havan içerisinde iyice karıştırılır. Daha sonra karışım eritme potasına konularak 2-3 saat arasında kompozisyonun cinsine bağlı olarak $1000-1300^{\circ}\text{C}$ sıcaklıkta eritilir.

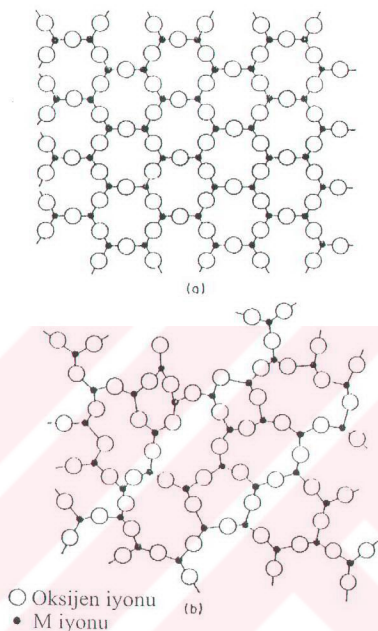
Daha sonra eriyik daha önceden soğutulmuş metal bir plaka üzerine dökülür ve başka bir soğuk plaka ile üzerine bastırılarak hızlı soğutma (donma) gerçekleştirilir. Böylece, kalınlığı $0.05-3$ mm arasında değişen amorf malzemeler elde edilmiş olur. Elde edilen bu malzemeler istenilen sıcaklık ve zaman aralığında ıslı işleme tabi tutularak süperiletken haline getirilir. Bu metot ile oldukça yoğun ve homojen materyaller elde edilebilir. Örnekleri istenilen büyülüklük ve geometrik şekilde elde etmek ve ıslı işlem sırasında kontrollü kristalleşmeyi sağlamak mümkündür.

3.5. Genel Cam Seramik Oluşumu

Camlar eriyiğin hızlı soğutulması sonucu elde edilen izotropik, homojen, genel olarak şeffaf, mekanik olarak kırılgan sert maddelerdir. Camlar atomik düzeni 10 nm den büyük olmayan uzun düzen parametresine sahip maddelerdir ve iyono-kovalent bağlı üç boyutta ağ (network) şeklinde düzenlenirler ama bu ağ periyodik değildir [211]. Ayrıca, cam yapıda moleküllerin bant açısından önemli bir bozulma söz konusudur. Şekil 3.6.

Camlar yarı kararlı maddelerdir. Bundan dolayı, camların serbest enerjisi kristalleştiklerinde sahip olacakları serbest enerjiden daha büyuktur. Bu nedenle, camlara süper soğutulmuş sıvı (supercooled liquid) gibi bakılabilir. Camların atomik düzeni sıvılarındandır X-ışını kırınım deseninde geniş bir pik ortaya çıkar. Eğer camlar kontrollü şartlar altında ıslı işlemlere tabi tutulursa önce çekirdeklenme başlar daha sonra sıcaklığın artması veya ıslı işlem süresinin uzatılması ile kristalleşme olur. Bu yeni maddeye “cam-seramik” denmektedir. Camlar aslında çok ince tanecikli yapıya sahiptirler ancak oluşan kristalin büyülüklüğü yapıda daha önce oluşan çekirdeklenme yoğunluğuna bağlı olmaktadır. Eğer cam büyük taneciklere sahip ise küremsi (spherulitic) kristal büyümesi meydana gelir. Bu da maddenin mekaniksel kuvvetinin azalmasına neden olur. Buna karşılık ince taneciklerden (sub-micron size) oluşan camlar kristalleştirildiğinde daha düzgün (uniform) kristal büyümeli olabilmekte

ki bu da o malzemenin mekanik olarak darbelere daha dayanıklı olduğunu ortaya çıkarmaktadır.



Şekil 3.6. M_2O_3 şeklindeki bir iyonun iki boyutta temsil edilmesi a) kristal formda ve b) cam formda [211].

Yarı kararlı amorf yapıdan kristal faza geçiş farklı reaksiyonlar ile olmaktadır. Eğer amorf yapı bir faza herhangi bir konsantrasyon değişimi olmaksızın kristalleşirse buna polymorphous kristalleşme denmektedir. Fakat, bir çok durumda kristalleşme eutectic kristalleşme gibi (yani birkaç fazın aynı anda kristalleşmesi) komplike ayrışma reaksiyonları ile meydana gelmektedir. Bu kristalleşme mekanizmaları farklı fiziksel özellikler ve mikroyapılar ile değişik ürünlerin oluşmasına neden olmaktadır.

Eritilip hızlı soğutulduğlarında bazı oksitler 3 boyutta rasgele ağ (network) oluşturma yeteneğine sahiptir. Bundan dolayı bu oksitlere cam yapıcı (glass-forming) oksitler denmektedir. Cam yapıcı oksitlere örnek olarak Bi_2O_3 ve SiO_2 verilebilir. Bir kısım oksitler ise sürekli bir ağ kuramaz. Ancak, bu oksitlerin etkisi mevcut ağın

genişlemesine yardımcı olmaktadır. Bunlara ağ düzenleyiciler (network modifier) denir. Örneğin; Na_2O , MgO , CaO ve BaO gibi toprak alkali oksitler ağ düzenleyici oksitlerdir. Burada, metalik katyonlar ara pozisyonlara (interstitial) yerleşir ve oksijen iyonları ağ yapıcı iyonlara bağlanarak cam oluşumuna katkıda bulunurlar. Ara-tamamlayıcı (intermediate) oksitler ise hiçbir şekilde cam yapma kabiliyetine sahip değildirler ancak direk cam ağına katılır, AlO_4 gibi.

3.5.1. HT_c Cam-Seramik Süperiletkenler

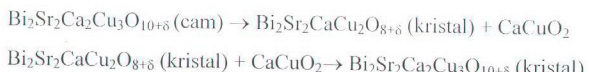
Cam-seramik yüksek sıcaklık süperiletkenler ilk olarak 1988 yılında T. Komatsu vd. tarafından Bi-Sr-Ca-Cu-O türü süperiletkenlerin eritilip hızlı soğutulması sonucu keşfedildi [212]. BSCCO sisteminin kolaylıkla cam olarak elde edilebilmesinin nedeni esasen Bi_2O_3 elemanından kaynaklanmaktadır [213]. Çünkü, Bi_2O_3 elemani cam yapıcı bir oksittir. Sistemde bulunan diğer oksitler SrO , CaO ve CuO ise cam yapma kabiliyetine sahip olmamakla birlikte ağ düzenleyici yapıya sahiptir ve sistemdeki görevleri cam ağını genişletmektedir. Özellikle, Sr ve Ca, $[\text{BiO}_3]$ ve $[\text{BiO}_6]$ arasındaki geçiş ve böylece direk cam yapma kabiliyetini etkilemektedirler [214]. YBaCuO , TlBaCaCuO , LaSrCuO ve HgBaCaCuO türü diğer süperiletken sistemler camlaşma özelliği olmayan oksitlerden meydana geldiği için bu tipteki süperiletkenleri cam-seramik metod ile hazırlamak mümkün olamamaktadır.

Bi-Sr-Ca-Cu-O sisteminin cam-seramik yöntemi ile hazırlanması sıkı tanecik bağlantılı homojen materal, kontrollü kristalleşme ve istenilen şekilde numune elde etmede başarılı sonuçlar verdiği için diğer hazırlama metodlarına göre bir takım avantajlar sağlamaktadır.

Bi-2223 fazı direk olarak amorf yapıdan kristallemez. Sistemde Bi-2212 fazı ile CaCuO_2 safsızlık fazı aynı anda çekirdeklenir ve büyür (eutectic kristalleşme). Yapıda Bi-2212 fazı meydana geldiğinde aynı anda bu faza komşu Ca ve Cu⁺ ca zengin bölgeler de oluşacaktır. Bu iki faz kararsız amorf matrise doğru birlikte gelişirler.

Böylece, sistemde ilk önce Bi-2212 ve CaCuO_2 safsızlık fazlarının aynı anda çekirdeklenip büyündüğü eutectic kristalleşme meydana gelir ve bu iki faz arasında ara yüzeyler (interface) oluşur. Ara yüzey boyunca Ca ve Cu⁺ in konsantrasyon farklarından dolayı tavlama sıcaklığı ve zamanı arttıkça Ca ve Cu Bi-2212 fazına doğru difüz olmaya başlar. Belli miktarda Ca ve Cu Bi-2212' ye difüz olduktan sonra Bi-2223 fazı oluşmaya başlayacaktır. Bu nedenle, Bi-2223 fazının oluşumu bir çok Ca-O ve Cu-O

düzlemlerinin Bi-2212 fazının birim hücresına eklenmesi ile oluşur. Bi-2212 fazının serbest enerjisi Bi-2223 fazının serbest enerjisinden daha büyük olduğu için her zaman Bi-2212 fazı önce oluşur ve yeteri miktarda Ca ve Cu Bi-2212' ye difüz olduktan sonra Bi-2223 fazı meydana gelir [215,216].



Çeşitli araştırma grupları BiSrCaCuO cam-seramik sisteminin termal, yapısal, elektriksel ve manyetik özelliklerini incelemek için sisteme çeşitli elementler eklemiş veya katkılamlamışlardır. Diğer hazırlama metotlarında olduğu gibi cam-seramik yöntemi ile hazırlanan sistemde Bi yerine yapılan Pb katkılaması yüksek sıcaklık fazının oluşumunda oldukça etkili olmuştur [217-219]. Sonuçlar %20 oranına kadar yapılan katkılamada Pb elementinin yapıda $n=3$ fazının olması için bir katalizör gibi davranışlığını ortaya koymuştur. Ancak, %20 nin üzerindeki yüksek katkılama seviyelerinde sistem yarıiletken davranış göstermiştir. Bi-2223 sisteminde %30' a kadar, Bi-2212 sisteminde %15' e kadarlık Pb katkılaması ile cam oluşma bölgesinin genişlediği belirlenmiştir [220,221]. Bi-4334 sistemine yapılan Pb katkılaması ile termoelektrik güç sıcaklığıyla lineer olarak artmış ve T_c civarında geniş bir pik verdikten sonra sıfır düzüğü bulunmuştur [77].

M. A. Aksan vd. $\text{Bi}_{2-x}\text{Ga}_x\text{Sr}_2\text{Ca}_2\text{Cu}_3\text{O}_{10+y}$ ($0 \leq x \leq 1.0$) sistemini incelemiştir [171]. Bi yerine yapılan Ga katkılaması ile kristal simetri çok fazla değişmemiş bununla birlikte kristal yapının çok fazlı olduğu belirlenmiştir. Sistemde Ga konsantrasyonuna bağlı olarak T_c ' de azalma olduğu görülmüş ve $x=1.0$ için bir yarıiletken davranış elde edilmiştir. Kritik akım yoğunluğu, J_c ' nin katkılamanın artması ile azaldığı bulunmuştur.

M. E. Yakıcı vd. $\text{Bi}_{1.4}\text{Tl}_{0.6}\text{Sr}_2\text{Ca}_2\text{Cu}_3\text{O}_{10+y}$ cam-seramik sistemi üzerinde çalışmışlardır [174]. Sistemde ana faz Bi-2223 olsa da yapıda Bi-2212 ve safsızlık fazlarının da mevcut olduğu görülmüştür. T_c 123 K ve T_θ 118 K olarak elde edilmiştir. J_c ise $77 \text{ K}'$ de $1.8 \times 10^5 \text{ Acm}^{-2}$ olarak belirlenmiştir.

M. A. Aksan vd. $\text{Bi}_{2-x}\text{Zn}_x\text{Sr}_2\text{Ca}_2\text{Cu}_3\text{O}_{10+y}$ ($0 \leq x \leq 1.0$) sistemi üzerine çalışmışlardır [177]. Kristal yapı tetragonal simetrili ve çok fazlı olarak elde edilmiş ama birim hücre parametreleri olan a-ekseni hemen hemen aynı kalırken c-ekseninde bir

azalma meydana geldiği belirlenmiştir. Katkılama ile T_c 110 K' den 56 K' ne azalma olduğu bulunmuştur. J_c kritik akım yoğunluğu da katkılama ile azalma elde edilmiştir.

Bi-bazlı cam-seramik süperiletken sistemi üzerine kristalleşme için aktivasyon enerjisinin hesaplanması çalışmalarında Çizelge 3.5' deki sonuçlar elde edilmiştir:

Çizelge 3.5. Bazı BSCCO cam-seramik süperiletken sistemler için kristalleşme aktivasyon enerjisi.

Sistem	Kristalleşme için aktivasyon enerjisi (kJ/mol)	Referans
$\text{Bi}_{2-x}\text{Ga}_x\text{Sr}_2\text{Ca}_2\text{Cu}_3\text{O}_{10+\delta}$ ($0.2 \leq x \leq 1.0$)	312-372	[171]
$\text{Bi}_{1.7}\text{V}_{0.5}\text{Sr}_2\text{Ca}_2\text{Cu}_3\text{O}_{10+\delta}$	355	[172]
$\text{Bi}_{1.4}\text{Tl}_{0.6}\text{Sr}_2\text{Ca}_2\text{Cu}_3\text{O}_{10+\delta}$	323	[173]
$(\text{Bi}_{1.0}\text{Tl}_{0.5}\text{Ga}_{0.5})\text{Sr}_2\text{Ca}_2\text{Cu}_3\text{O}_{10+\delta}$	421	[174]
$\text{Bi}_{2-x}\text{Zn}_x\text{Sr}_2\text{Ca}_2\text{Cu}_3\text{O}_{10+\delta}$ ($0.2 \leq x \leq 1.0$)	334-258	[177]
$\text{Bi}_2\text{Sr}_2\text{Ca}_{1-x}\text{Cd}_x\text{Cu}_2\text{O}_{8+\delta}$ ($0.0 \leq x \leq 0.8$)	347-299	[185]
$\text{Bi}_2\text{Sr}_2\text{Ca}_2\text{Cu}_3\text{O}_{10+\delta}$	302	[222]
$\text{Bi}_2\text{Sr}_2\text{Ca}\text{Cu}_2\text{O}_{8+\delta}$	395	[223]
$\text{Bi}_3\text{Sr}_2\text{Ca}_2\text{Cu}_3\text{O}_{10+\delta}$	349	[224]
$\text{Bi}_{1.6}\text{Pb}_{0.4}\text{Sr}_2\text{Ca}_{2+2x}\text{Cu}_{3+x}\text{O}_{\delta}$ ($0.2 \leq x \leq 1.0$)	447-468	[225]

Bi-2223 sisteminde Ca yerine Cd eklenmesi ile düşük katkılama seviyelerinde cam elde edilmiş ama yüksek seviyelerde cam oluşma kabiliyetinin düştüğü ve kristal yapıda bir tetragonal-orthorombik dönüşümünün meydana geldiği bulunmuştur [158,185]. Li katkılama ile süperiletkenlik özelliklerde bir azalma görülmüştür [226]. Bi-2212 sisteminde Ca yerine %20 Gd katkılama ile Gd⁺ un camın kararlılığı üzerinde olumlu etkisi olduğu gözlenmiştir [227]. Yine Bi-2212 sisteminde Ca yerine yapılan Dy-katkılama ile termodinamik cam-geçiş sıcaklığı katkılama ile bir süre artmış daha sonra azalmış ve n=2 fazından n=1 fazına bir geçiş meydana gelmiştir [228]. Yüksek katkılama seviyelerinde hiç süperiletkenlik gözlenmemiştir.

$\text{Bi}_{0.8}\text{Pb}_{0.2}\text{Sr}_2\text{Ca}\text{Cu}_2\text{O}_y$ ($x=1.5, 1.8$ ve 2.0) sisteminde cam oluşumuna Cu⁺ in etkisi incelendiğinde $x=1.5$ için cam elde edilebildiği belirlenmiştir [229]. Fakat, diğer katkılama seviyelerinde cam yapıda $\text{Bi}_2(\text{Sr},\text{Ca})_2\text{Cu}\text{O}_y$ fazının kristalleştiği tespit

edilmiştir. Cu miktarı arttıkça T_c ve J_c ' de bir azalma olduğu bulunmuştur. Bi-3334 sisteminde Cu yerine Mn katkılantığında düşük katkılamalar için cam-geçiş ve kristalleşme sıcaklıklarında artma gözlenmiştir [206]. Fakat, katkılanma ile $n=1$ fazına şiddetli bir geçiş meydana gelmiştir. Bu geçisten çift bozulmasının sorumlu olduğuna inanılmaktadır. Aynı sisteme Fe katkılantığında ise T_c ' nin katkılanma ile sürekli azaldığı ve yüksek katkılanma seviyelerinde ise süperiletkenliğin yok olduğu gözlenmiştir [76].

Bi-2223 cam-seramik süperiletken sistemine Al katkılandığında Al' un ağ düzenleyici (network modifier) olarak davranışının tespit edildi [230,231]. Düşük katkılanma seviyelerinde süperiletkenlik özelliklerde değişme olmaz iken yüksek seviyelerde kötüleşme olduğu belirlenmiştir. Bi-2212 sistemine $(\text{SrCa})_3\text{Al}_2\text{O}_6$ eklendiğinde 600°C ' nin üzerinde $n=2$ fazı ile $(\text{SrCa})_3\text{Al}_2\text{O}_6$ ' nin aynı anda oluştuğu gözlenmiştir [232]. Al' ca zengin fazın camın kararlılığını artırdığı ve $n=2$ fazının oluşumunu hızlandırdığı bulunmuştur.

Bi yerine V katkılaması yapılmış cam-seramik Bi-2223 sisteminin süperiletkenlik özellikleri M. E. Yakıcı tarafından araştırılmıştır [233]. V katkılamasının artması ile tetragonal simetriden ortorombik simetriye geçiş olmuştur. Sistemde V konsantrasyonunun artması ile T_c ' de bir azalma olduğu belirlenmiş ve yüksek V konsantrasyonunda herhangi bir süperiletken geçiş gözlenmemiştir. Düşük V katkılaması durumunda $4.5\text{ K}'$ da $J_c 1.38 \times 10^5 \text{ Acm}^{-2}$ olarak bulunurken katının artması ile J_c ' nin azalığı görülmüştür. Termal iletkenlik özellikleri katkı ile zayıflamış ve katkı arttıkça elektron-fonon saçılışının arttığı ve bunun sonucu olarak ortalama serbest yolda azalma olduğu belirlenmiştir.

B. Koscielska vd. Bi-4334 sisteminde de manyetizasyon ve ac alınganlık üzerine kristalleşmenin etkilerini incelemiştir [234]. XRD sonuçları değişik sıcaklıklarda ve periyotlarda uygulanan ısıl işlemler sonucu bütün örneklerde ana fazın Bi-2212 olduğunu ortaya koymuştur. ısıl işlem şartlarına bağlı olarak hazırlanan bütün örnekler 80 K civarında diamanyetik özellik göstermiştir. Bununla birlikte, diamanyetizmeye geçiş keskin şekilde olmamıştır ve bu durum tanecik sınırlarındaki zayıf çiftlenme ile açıklanmıştır. Bunun sonucu olarak örneklerin kritik akım yoğunluklarının oldukça küçük değerde olduğu bulunmuştur ($50-100\text{ Acm}^{-2}$).

4. MATERİYAL VE YÖNTEM

4.1. Örneklerin Hazırlanması

$\text{Bi}_2\text{Sr}_2\text{Ca}_2(\text{Cu}_{3-x}\text{Mo}_x)\text{O}_{10+\delta}$ ($0.5 \leq x \leq 2.0$), $\text{Bi}_2\text{Sr}_2\text{Ca}_2(\text{Cu}_{3-x}\text{Er}_x)\text{O}_{10+\delta}$ ($0.5 \leq x \leq 1.0$) ve $\text{Bi}_2\text{Sr}_2\text{Ca}_2(\text{Cu}_{3-x}\text{Pr}_x)\text{O}_{10+\delta}$ ($x=0.5$) nominal kompozisyonlarını elde etmek için %99.99 saflikta Bi₂O₃, SrCO₃, CaCO₃, CuO, MoO₃, Er₂O₃, Pr₆O₁₁ kimyasal oksit bileşikleri uygun stokiyometrik oranlarda tartıldı ve mermer havanda 1-2 saat süre ile oda sıcaklığında iyice karıştırıldı. Daha sonra bu karışımlar α -Al₂O₃ (alümina) potalarla konularak SiC ısıtma elemanlı ve programlanabilir yüksek sıcaklık eritme fırınına yerleştirildi. Karışımın eritilmesi için 1250°C'ye sabit 10°C/dk ısıtma hızı ile çıktı ve bu sıcaklıkta 2-4 saat tutularak sıvı faz (eriyik haline) ulaşıldı. Eriyik daha önceden soğutulmuş ve yüzeyi parlatılmış 1 cm kalınlığında bir bakır plaka üzerine döküldü ve üzerine aynı özelliklerde diğer bir bakır plaka ile bastırıldı. Böylece, hızlı soğutulmuş, 1-3 mm kalınlığında ve çeşitli boyutlarda siyah renkli parlak cam (amorf) örnekler elde edildi. Bu örneklerin X-ışını difraksiyonu ile amorf oldukları tespit edildikten sonra ısıl işlemlere geçildi.

Mo katkılı sistemde $x > 2.0$ olduğunda eriyen materyal tamamen alümina potanın yüzeylerine yapışığından Er katkılı sistemde $x > 1.0$ için ve Pr katkılı sistemde ise $x > 0.5$ için parça halinde cam materyaller elde edilememiştir. Bu nedenle, yukarıda belirilen oranlardan sonra numune hazırlanmamıştır.

4.2. ısıl İşlemler

BSCCO bazlı cam seramik süperiletkenlerin ısıl işlemlere oldukça duyarlı oldukları bilinmektedir. Örneklerin ısıl işlemlere bu derece duyarlı olmalarından dolayı farklı ısınma ve soğuma rampaları uygulanmış olup öncelikle her bir kompozisyonun uygun ısıl işlem aralıkları tespit edilmiştir. ısıl işlemler için maksimum sıcaklıklar Diferansiyel Termal Analiz (DTA) verileri göz önüne alınarak seçilmiş ve ısıl işlemler farklı periyotlarda, sıcaklıklarda ve oksijen ortamında yapılmıştır. Eritilip, hızlı soğutulduktan sonra elde edilen cam numuneler 10x10x100 mm boyuttunda bir alümina bota sıra ile dizilmiş ve tüm ısıl işlemler PID kontrollü ve 3 bölge ısıtmalı $\pm 0.5^{\circ}\text{C}$ kontrol hatasına sahip mikro işlemcili Protherm marka 7 cm çaplı ve 80 cm

uzunlığında tüp firarda gerçekleştirılmıştır. Tüp firınlar da bir ucu 10 mm incelikte sadece gaz çıkışı olabilecek kadar açık, diğer ucu şilifli kapak ile açılıp kapatılabilen quartz cam borular kullanılmıştır. Bu şartlar altında örneklerin değişik atmosferlerde ve basınçlarda kalsinasyonları/sinterlenmesi daha verimli şekilde yapılmıştır. Örnekler belirlenen her bir spesifik sıcaklıklarda 40, 60, 120, 180 ve 240 saat ısıl işlem görmüştür. Örnekler ayrıca O_2 veya hava atmosferlerinde ayrı ayrı ısıl işlemlere tabi tutulmuştur. Ancak, kristalografik ve elektriksel özellikler açısından çok önemli bir fark görülmemiştir. Cam ve cam-seramik faz dönüşümleri çalışmalarının tamamında ısıl işlem homojenliğinin sağlanması amacıyla aynı tüp firın kullanılmıştır. Kullanılan tüp firının kalibrasyonu her 25 örnekte bir kez dışarıdan tüp içerisine yerleştirilen bir termoçoift ile kontrol edilmiştir.

4.3. Diferansiyel Termal Analiz (DTA)

Bir cam örnekte meydana gelecek kimyasal reaksiyonlar veya yapısal değişimler ısı formundaki bir enerjinin yayılması veya absorblanması ile ilişkilidir. Bir amorf materyal kristalleştiğinde düzgün kristal组织ün serbest enerjisi sıvı durumundakinden daha küçük olduğu için bir ekzotermik etki meydana gelir. Tersine, bir kristalin erimesi ise bir endotermik etki meydana getirir. Aynı zamanda, iki materyal arasındaki kimyasal reaksiyonlar da ekzotermik veya endotermik etkilere neden olur. Bu nedenle, DTA yapı içerisindeki endotermik ve ekzotermik gelişmeleri gözlemek ve ortaya çıkan faz dönüşümlerini belirlemek kullanılan bir tekniktir.

DTA sisteminde referans madde ile örneğin aynı anda ölçümü yapılır. Referans madde ve numunedeki ısı akışı farklı olacağından örnekte bir kimyasal reaksiyon veya faz değişimi olduğunda numune ile referans madde arasında bir sıcaklık farkı meydana gelir. Bu fark iki madde arasındaki net elektromotor kuvvette (emf) bir değişime sebep olur. Analiz boyunca örneklerde meydana gelecek emf farkı dolayısıyla ısı akışı (mJ/sn) bu sıcaklık farkının ölçülmesi ile elde edilir. Endotermik olaylar grafik üzerinde çukurlar olarak gözlenirken, ekzotermik olaylarda ise pikler elde edilir. Eğer bu olaylarda ΔH (füzyon ısısı) pozitif ise örnek ısı alıyor (endotermik pik) ve negatif ise örnek ısı veriyor (exzotermik pik) demektir.

Çalışmalar boyunca üretilen örnekler amorf hale getirildikten sonra az bir miktarı kırılıp ince toz haline getirilmiş ve bununda 25 mgr'ı DTA analizleri için kullanılmıştır. Verilerde standartizasyonu sağlamak için tüm ölçümlerde 25 mgr örnek

ve α -Al₂O₃ referans maddesi kullanılmıştır. Ölçümlerin tamamı bilgisayar kontrollü Shimadzu Network (Sistem 50) ile toplanmış ve verilerin analizi de aynı ünitede değerlendirilmiştir. Bütün örneklerde 4 farklı ısıtma/soğutma rampaları (5, 10, 20 ve 30°C/dk) kullanılmış ve kristalleşme aktivasyon enerjileri de bu sonuçlar kullanılarak hesaplanmıştır.

4.4. X-Işını Kırınımı Analizi (XRD)

X-işını toz kırınımı analizi kristal yapıların incelenmesinde ve faz analizlerinde oldukça kullanışlı bir metottur. X-işını kırınımı analizleri sadece kristal numunelerdeki fazları belirlemek için değil aynı zamanda materyallerin amorf olup olmadıklarının belirlenmesinde de kullanılmaktadır. X-işını analizleri sırasında CuK_α ($\lambda=1.5405 \text{ \AA}$) radyasyonu kullanılmış olup tüm veriler Rigaku RadB-DMAX II bilgisayar kontrollü X-işını difraktometresi kullanılarak toplanmıştır. İnce toz haline getirilen (1-35 μ) gerek amorf gerekse ısıl işlem görmüş (cam-seramik) örnekler ~1 mm kalınlığında cam örnek tutucular içérisine bastırılarak yerleştirilip difraktometrenin örnek haznesine sabitlenerek ölçümler alınmıştır. Her yirmi ölçümdé bir kez referans madde (ZnO) kullanılarak sistemin hata durumu kontrol edilmiştir. Ölçümler boyunca $2\theta=3-60^0$ arası 3°/dk sabit hızla taranmıştır.

4.5. Taramalı Elektron Mikroskopu Analizi (SEM)

Numunelerin çekirdeklenmesi sahrasında tanecikler çok küçüktür ve ısıl işleme tabi tutulmuş cam seramik numunelerde bile kristallerin çoğu yaklaşık olarak 10-100 μm arasındadır. Bundan dolayı, numunelerin mikroyapı analizleri için yüksek çözüm gücüne sahip elektron mikroskopuna ihtiyaç vardır. Elektron mikroskopu analizleri, özellikle, camların kristalleşmesi sürecinde yapısında meydana gelecek değişiklikler hakkında önemli bilgiler verebilmektedir.

Elektron mikroskopu görüntüleri doğrudan örneklerin yüzeylerinden alınmıştır. Ancak, ilginç sonuçlar veren örneklerin yüzeyleri parlatılarak iç yapıdaki detaylar da incelenmiştir. SEM analizleri Jeol 6100 veya 6400 model elektron mikroskopu kullanılarak konvansiyonel kaplama teknikleri ile incelenmiştir.

4.6. Direnç Ölçümleri (R-T)

Numunelerin elektriksel ölçümleri (R-T) sıcaklığın bir fonksiyonu olarak elektriksel dirençteki değişim özelliğini kullanılarak gerçekleştirilmiştir. Ölçümler için standart D. C. dört kontak yöntemi kullanılmıştır. Kontaklar yüksek iletkenlige sahip gümüş boyalı yapılmıştır. Deneyler Leybold LT-10 model kapalı devre He soğutucu ünitesi ve cryostat sistemi kullanılarak gerçekleştirilmiştir. Deneyler sırasında Keithley 224 dijital programlanabilir akım kaynağı kullanılarak sabit ± 10 mA akım verilmiştir. Sabit akım 10 sn pozitif 10 sn negatif olarak verilip 10 sn boyunca pozitif ve negatif akımdan 10° ar ölçüm yapılp voltaj farkının ortalaması alınmıştır. Numunedede oluşan ortalama potansiyel farkı Keithley 182 dijital nanovoltmetre yardımıyla tespit edilmiş ve elde edilen veriler bilgisayar programı yardımıyla sıcaklığa karşı elektriksel direnç olacak şekilde grafiğe geçirilmiştir. Deneyler boyunca 20-300 K arasında örneklerin verileri toplanmıştır. 300 K' den itibaren soğutulan örnekler 20 K' den itibaren isıtınmaya alınmış (1K/dk) ve isıtınma sırasında R-T verileri $\pm \%$ 0.01 K hatayla kayıt edilmiştir.

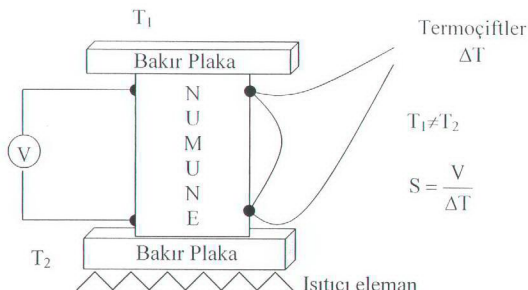
4.7. Termoelektrik Güç (S(T)) Ölçümleri

Termoelektrik güç (S-T) ölçümleri (R-T) ölçümlerinde olduğu gibi Leybold LT-10 kapalı devre cryostat sistemi kullanılarak 300 ile 20 K arasında ölçülmuştur. İki bakır levha arasına yerleştirilen örneklerin yüzeyleri daha önce çeşitli kalınlıktaki zimparalar ile temizlenip yüzeylerin düzeltilmesi sağlanmıştır.

Örneklerde oluşan voltaj Keithley 182 model nanovoltmetre kullanılarak ölçülmüş ve sıcaklık ise örneğe bağlanan iki slikon diyon sensör kullanılarak kaydedilmiştir. Bakır plakalardan birisi sistemin soğuk kısmına yerleştirilirken diğer bakır plaka sistemin ısıtılan kısmına yerleştirilmiştir. Isıtıcı olarak cryostat sisteminin 25 Ω ' luk ısıtıcı elemanı kullanılmıştır, Şekil 4.1.

Sistem soğutulurken örneğin sıcak ve soğuk kısmı arasında bir sıcaklık gradyenti, ΔT , oluşur. İki slikon diyon kullanılarak okunan sıcaklıkların aritmetik ortalaması örnek sıcaklığı olarak alınmıştır. Örneğin soğuk ve sıcak bölgeleri arasındaki potansiyel farkı termoelektrik gücü hesaplamak için kaydedilmiştir ($S=V/\Delta T$). ~ 2 K aralıklarla veri toplanmış ve alınan veriler yardımıyla S-T grafikleri çizilmiştir.

Termoelektrik güç verilerinin analizleri “Lineer Terimli Çift Band Modeli” ve “Xin’ in Çift Band Modeli” kullanılarak yapılmıştır.



Şekil 4.1. Termoelektrik güç ölçümleri için şematik diyagram.

4.8. Termal İletkenlik ($\kappa(T)$) Ölçümleri

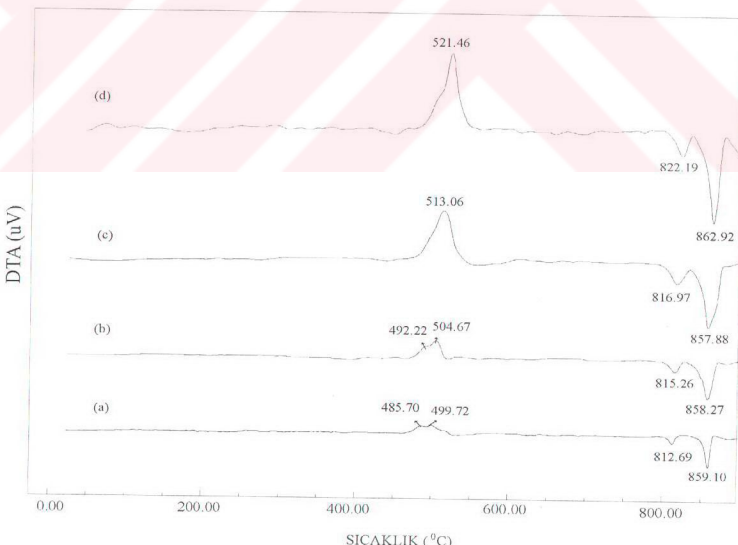
Termal iletkenlik ölçümleri 20 ile 300 K arasında kararlı ısı akışı metodu (steady-state heat flow) kullanılarak yapılmıştır. Örnek termoelektrik güç ölçülerindeki gibi iki bakır plaka arasına konulup plakaların birisi sistemin soğuk ucuna diğer plaka ise sistemin ısıtıcı (25Ω) ile ısıtılan kısmına yerleştirilmiştir. Örnek soğutulduğunda soğuk ve sıcak bölgeler arasında olacak termal gradyent iki silyikon diyon yardımıyla kaydedilmiştir. Termal iletkenlik, κ , ise denklem 2.36 ile verilen Wiedemann-Franz yasası kullanılarak hesaplanmış ve sıcaklığı karşı grafiğe geçirilmiştir.

5. ARAŞTIRMA BULGULARI

5.1. $\text{Bi}_2\text{Sr}_2\text{Ca}_2\text{Cu}_{2.5}\text{Mo}_{0.5}\text{O}_{10+8}$ Sistemi

5.1.1. DTA Sonuçları

Bi-2223 sisteminde Cu yerine $x=0.5$ Mo katkılı amorf numunenin $\alpha=5, 10, 20$ ve $30^{\circ}\text{C}/\text{dk}$ ısıtma hızlarında alınmış DTA grafikleri Şekil 5.1' de verilmektedir. $\alpha=5^{\circ}\text{C}/\text{dk}$ ve $\alpha=10^{\circ}\text{C}/\text{dk}$ ısıtma hızlarında, ısıtma hızına bağlı olarak 486°C ile 505°C arasında iki tane exotermik pik oluşmuştur. Birinci pikin çekirdeklenmenin desteklediği ilk kristalleşme sıcaklığına, $T_{x/I}$, ve ikinci pikin $\text{Cu}_x\text{Mo}_\delta\text{O}_\alpha$ veya $\text{Bi}_y\text{Mo}_\delta\text{O}_\alpha$ gibi safsızlıkların oluşmaya başladığı sıcaklıklara karşılık geldiği kabul edilmiştir. Bu safsızlıkların oluşumu bir sonraki bölümde (X-Işınları Analizi) kesin olarak gözlenmektedir. Ancak, BSCCO sisteminde oluşan bu gibi exotermik aktivitelerde birinci pikin direk olarak çekirdeklenmeye ve ikinci pikin ise Bi-2201 ($n=1$) fazının oluşmasına karşılık geldiği de ileri sürülmektedirler [215].



Şekil 5.1. $x=0.5$ Mo katkılı Bi-2223 sistemine ait DTA grafikleri. Isıtma hızları: a) $\alpha=5^{\circ}\text{C}/\text{dk}$, b) $\alpha=10^{\circ}\text{C}/\text{dk}$, c) $\alpha=20^{\circ}\text{C}/\text{dk}$ ve d) $\alpha=30^{\circ}\text{C}/\text{dk}$.

Hazırlanan cam sisteme 800°C ’nin üzerinde iki tane endotermik aktivite meydana gelmiştir. Bunlardan birincisi 813°C ile 822°C arasında oluşan ve safsızlık fazlarının oluşmaya başladığı sıcaklığı göstermektedir. Bunlar aynı zamanda kısmi erime sıcaklığını da, T_{endo} göstermektedir. 859°C ile 863°C arasında oluşan ikinci aktivite ise Bi-2212 fazının oluşmaya başladığı sıcaklığı, T_{KM} .

Çizelge 5.1. x=0.5 Mo katkılaması ile elde edilen DTA verileri.

Isıtma hızı ($^{\circ}\text{C}/\text{dk}$)	T_{x1} ($^{\circ}\text{C}$)	T_{x2} ($^{\circ}\text{C}$)	T_{endo} ($^{\circ}\text{C}$)	T_{KM} ($^{\circ}\text{C}$)
5	485.72	499.72	812.69	859.10
10	492.22	504.67	815.26	858.27
20	-	513.06	816.97	857.88
30	-	521.46	822.19	862.92

Elde edilen bu DTA verileri iki önemli sonucu ortaya koymaktadır. Birincisi, ısıtma hızı düşükten ($5^{\circ}\text{C}/\text{dk}$) yükseğe ($>5^{\circ}\text{C}/\text{dk}$) doğru artırıldıkça birinci kristalleşme sıcaklığı, T_{x1} , yüksek sıcaklık bölgesine doğru kaymaktadır. Bu durum doğrudan sistemin çekirdeklenme oranı ile ilgilidir. Isıtma hızının yavaş olduğu durumlarda enerji depolama süresi artacağından sistemdeki çekirdeklenme sayısı da artacaktır. Bununla birlikte, ısıtma hızı yüksek ise çekirdeklenme için gerekli enerji aralığı hızlı geçilecektir. Böylece, çekirdeklenme tesir kesiti azalacaktır. Bu da kristalleşme için gerekli enerjinin daha yüksek sıcaklıklarda sağlanacağını göstermektedir.

İkincisi, katkısız $\text{Bi}_2\text{Sr}_2\text{Ca}_2\text{Cu}_3\text{O}_{10+\delta}$ sisteminde birinci kristalleşme sıcaklığı, T_{x1} , 486°C ile 521°C arasında elde edilmektedir. Bu çalışmada hazırlanan Mo-0.5 katkıları öneklerde de katkısız örneğinden az da olsa farklı kristalleşme sıcaklıklarını elde edilmiştir. Bu durum düşük konsantrasyondaki Mo’ın yapı içindeki iyonların aktifliği üzerinde az da olsa bir etkiye sahip olduğunu göstermektedir. Zaten kararlı durumda bulunan cam belli limitler içerisinde katkılama iyonlarını kabul etmektedir (özellikle Mo ve W için bu limit %3-4 kadardır). Bu limitin altında ve üstündeki katkılamlalar için sistemin termodinamik olarak dengeye gelmesi kompozisyondan kompozisyon'a değişmektedir.

Hazırlanan sistemin kristalleşme kinetikleri dört farklı ısıtma hızı için DTA verileri yardımıyla incelendi. Kristalleşme için aktivasyon enerjileri iki farklı yöntemle hesaplandı. Bu yöntemlerden birincisi olan Augis-Bennett modeli [235]

$$\ln\left(\frac{\alpha}{T_{x1} - T_0}\right) = \frac{E_a}{RT_{x1}} + \text{sabit} \quad (5.1)$$

denklemi ile verilmektedir. Burada, α ; ısıtma hızı, T_{x1} ; birinci kristalleşme sıcaklığı, R ; gaz sabiti ($R=8.314 \text{ J/molK}$), T_0 ; mutlak sıcaklık (273 K) ve E_a ; aktivasyon enerjisidir. Eğer kristalleşme mekanizması bilinmiyor ve ısıtma hızı ile mekanizma değişmeden kalyorsa, $\ln\left(\frac{\alpha}{T_{x1} - T_0}\right)$, $\ln\left(\frac{1}{T_{x1}}\right)$ e karşı çizilen grafiğin eğimi kristalleşme için aktivasyon enerjisini verir, Şekil 5.2.

İkinci yöntem ise

$$\frac{d \ln\left(\frac{\alpha}{T_{x1}^2}\right)}{d \left(\frac{1}{T_{x1}}\right)} = -\frac{E_a}{R} + \text{sabit} \quad (5.2)$$

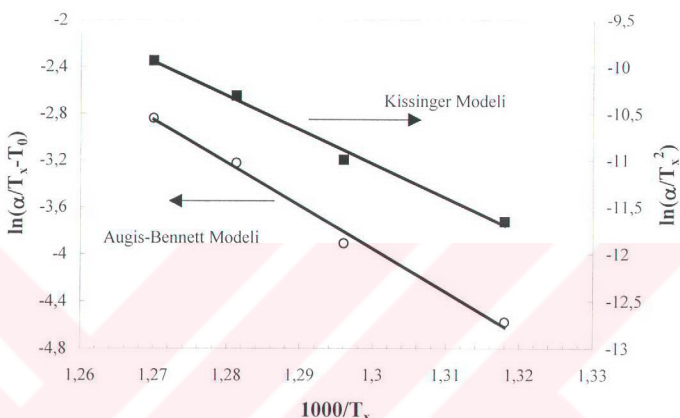
denklemi ile verilen Kissinger Modelidir [236]. Bu model de Augis-Bennett Modeline benzer bir yol takip edilmektedir.

Çizelge 5.2. Katkısız ve $x=0.5$ oranında Mo-katkılı Bi-2223 sistemi için hesaplanan kristalleşme aktivasyon enerjileri.

Katkı Miktarı	Augis-Bennett Modeli (kJ/mol)	Kissinger Modeli (kJ/mol)
x		
0.0	339.18	336.46
0.5	300.34	297.57

Her iki model yardımıyla hesaplanan aktivasyon enerjileri Çizelge 5.2' de ve grafikler ise Şekil 5.2' de verilmektedir. Elde edilen kristalleşme için aktivasyon

enerjileri katkısız Bi-2223 sistemi için hesaplanan değerden daha küçüktür, Çizelge 5.2. Bu da $x=0.5$ Mo-katkılı sistemin daha kararsız olduğu anlamına gelmektedir. Bu durum aynı zamanda katkılı numunede yüzey çekirdeklenmesinin daha az olduğunu da göstermektedir.



Şekil 5.2. $x=0.5$ -Mo katkılı numunede kristalleşme aktivasyon enerjisi için Augis-Bennett ve Kissinger Modelleri kullanılarak elde edilen grafikler.

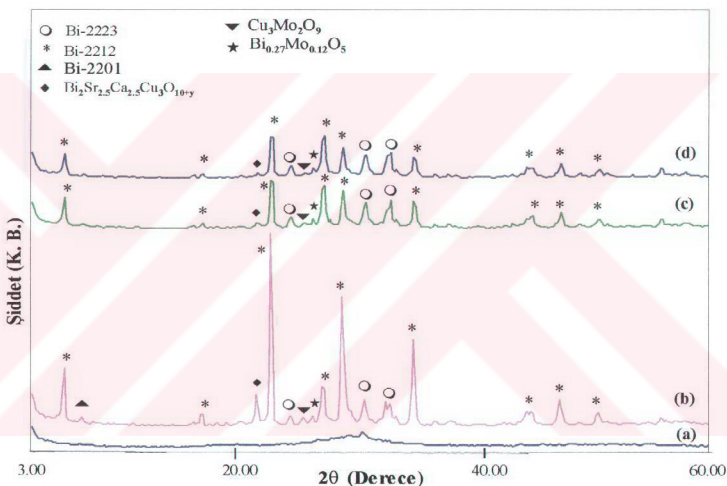
5.1.2. X-Işımı (XRD) Sonuçları

1250⁰C’ de eritiliş hızlı soğutulan $x=0.5$ -Mo katkılı cam örneğin XRD grafiği Şekil 5.3.a.’ da verilmiştir. $2\theta \approx 30^0$ civarında elde edilen geniş pik hazırlanan numunenin tamamen cam olduğunu ve üç boyutta herhangi bir atomik düzenleniş (long-range order) olmadığını göstermektedir.

Şekil 5.3.b’ de 855⁰C’ de 60 saat ıslık işlem görmüş numunenin XRD grafiği görülmektedir. $2\theta = 5.7^0$ de oluşan pikin Bi-2212 fazına ve $2\theta = 7.2^0$ dekinin ise Bi-2201 fazına ait olduğu belirlenmiştir. Sistemde ana faz Bi-2212 fazı olmakla birlikte Bi-2223 ve $\text{Bi}_2\text{Sr}_{2.5}\text{Ca}_{2.5}\text{Cu}_3\text{O}_{10+y}$ fazlarına da rastlanması örneğin çok fazlı süperiletken olduğunu ortaya koymaktadır. XRD grafiğinde elde edilen ve Bi-2212 fazına ait $2\theta \approx 23.18^0$, 29.12^0 ve 35.14^0 lerdeki pikler c-ekseninde bir yönlenme olduğu göstermektedir. Sistemde $\text{Cu}_3\text{Mo}_2\text{O}_9$ ve $\text{Bi}_{0.27}\text{Mo}_{0.12}\text{O}_5$ safsızlık fazlarının oluştuğu da

görülmüştür. Fakat, bu ikincil fazların pik şiddetlerinin oldukça düşük olduğu tespit edilmiştir.

855°C de 120 saat ısıl işlem görmüş numuneye ait XRD piklerinin şiddetleri 60 saat ısıl işlem görmüş numuneye göre 3-4 kez düşük çıkmıştır, Şekil 5.3.c. $20=7.2^{\circ}$ deki Bi-2201 fazına ait pik ısıl işlem süresinin artması ile ortadan kalkmaktadır. Sistemde ana faz yine Bi-2212 fazı olarak elde edilmiştir. Fakat, 120 saatlik ısıl işlemde Bi-2212 fazına ait piklerin şiddetleri 60 saat ısıl işlem görmüş numuneye nazaran azalırken Bi-2223 fazına ait piklerin şiddetlerinde herhangi bir değişme olmamaktadır. 60 saatlik ısıl işlemde görülen safsızlık fazları bu numunede değişmeden kalmaktadır.



Şekil 5.3. $\text{Bi}_2\text{Sr}_2\text{Ca}_2\text{Cu}_{2.5}\text{Mo}_{0.5}\text{O}_{10+\delta}$ numunesine ait XRD grafikleri; a) Cam, b) 855°C de 60 saat ısıl işlem görmüş, c) 855°C de 120 saat ısıl işlem görmüş ve d) 855°C de 240 saat ısıl işlem görmüş örnekler.

855°C de 240 saat ısıl işlem görmüş numunenin XRD grafiği Şekil 5.3.d' de görülmektedir. Pik şiddetlerinde meydana gelen düşme bu numunede de gözlenmiştir. Bu örnek 120 saat ısıl işlem görmüş numune ile benzer kristalografik özellikler sergilemektedir. Fazlara ait pik sayısı ve şiddeti aynı kalmıştır ve 240 saatlik ısıl işlem süresinin faz oluşumu üzerinde herhangi bir değişim vermediğini göstermektedir. Dolayısıyla 60 saatlik ısıl işlem süresinin bu örnek için optimum bir değer olduğu kabul edilmiştir.

Örneklerin XRD verilerinden yararlanarak kristal simetrilerinin tetragonal olduğu belirlenmiş ve birim hücre parametrelerinin de $a=b=5.4030 \text{ \AA}$ ve $c=30.9829 \text{ \AA}$ olduğu hesaplanmıştır. Hazırlanan numunelerin kristal büyülüüğü ise Scherrer denklemi ile

$$L = \frac{0.9\lambda}{t \cos\theta} \quad (5.3)$$

hesaplanmıştır [237]. Burada L; kristal büyülüüğü, t; x-işimi desenlerinde piklerin yarı maksimum tam genişliği (Full Width Half Maximum, FWHM), 0; pik açısı ve λ , x-işimi dalga boyudur. Hesaplanan kristal büyülükleri Çizelge 5.3' de verilmektedir.

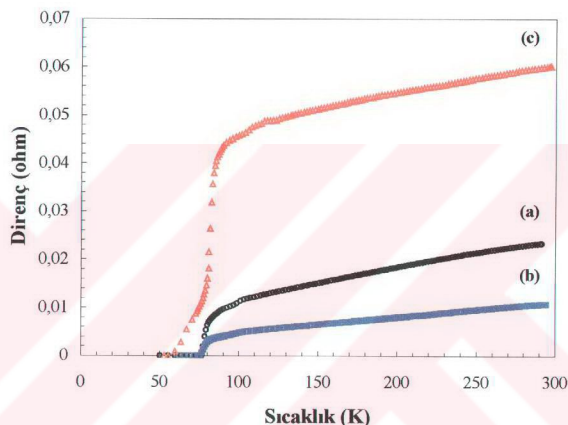
Çizelge 5.3. $x=0.5$ Mo katkılı numunenin kristalografik özellikler

Isıl İşlem	Atmosfer	Süperiletken	Kristal Büyüülüüğü (L)
			$\approx (\text{\AA})$
855°C de 60 saat	O ₂	n=2	300
855°C de 120 saat	O ₂	n=2	318
855°C de 240 saat	O ₂	n=2	275

5.1.3. Direnç Ölçüm (R-T) Sonuçları

Şekil 5.4 $x=0.5$ -Mo katkılı numuneye ait R-T grafiklerini göstermektedir. 855°C de 60 saat isıl işlem görmüş numune geçiş sıcaklığına, kadar metalik özellik sergilemiştir, Şekil 5.4.a. 105 K civarında görülen kısmi direnç düşmesi Bi-2223 ($n=3$) ile Bi-2212 ($n=2$) fazlarının aynı anda oluştuğunu göstermektedir. Süperiletken geçiş sıcaklığı, T_c , $87 \pm 0.1 \text{ K}$ de ve sıfır direnç sıcaklığı, T_θ , $76 \pm 0.1 \text{ K}$ de elde edilmiştir. 120 saat isıl işlem yapıldığında ise numunenin normal durum direncinde yarı yarıya düşme olduğu gözlenmiştir, Şekil 5.4.b. Örnek geçiş sıcaklığına kadar yine metalik özellik göstermiştir. T_c , $86 \pm 0.1 \text{ K}$ de ve T_θ , $76 \pm 0.1 \text{ K}$ de elde edilmiştir. Şekil 5.4.c' de gösterildiği gibi isıl işlem süresi 240 saate çıkarıldığında normal durum direncinde 120 saat isıl işlem görmüş numuneye göre yaklaşık 6 kat artma olduğu gözlenmiştir. Numune yine geçiş sıcaklığına kadar metalik özellik göstermiştir. $T_c=90 \pm 0.1 \text{ K}$ olarak belirlenmiştir. Ancak, geçiş sıcaklığından hemen sonra dirençte ani bir düşme olup sonra yavaş bir azalma ile $55 \pm 0.1 \text{ K}$ de sıfıra düşmüştür (T_θ). R-T sonuçlarına genel

olarak baktığımızda 240 saat ıslı işlem gören örnekte meydana gelen direnç yükselmesi ve T_c ' den sonra sıfır direnç durumuna kadar oluşan uzun kuyruk klasik BSCCO sisteminin çok fazılık karakteristiğini yansitmaktadır. $x=0.5$ Mo katkılaması bu karakteristik üzerinde önemli bir değişim yaratmaktadır. Uzun ıslı işlem süresince yapıda meydana gelecek daha fazla buharlaşma sonucu örneğin dejenere bir faz yapısına kaydığını (phase degeneration) buna bağlı olarak elektriksel iletim mekanizmasında da bozulmaların olduğu ortaya çıkmaktadır.



Şekil 5.4. a) 855°C 'de 60 saat, b) 855°C 'de 120 saat ve c) 855°C 'de 240 saat ıslı işlem görmüş $\text{Bi}_2\text{Sr}_2\text{Ca}_2\text{Cu}_{2.5}\text{Mo}_{0.5}\text{O}_{10+\delta}$ numunesine ait direnç-sıcaklık (R-T) grafipleri.

5.1.4. Hole Konsantrasyonu

Bu örneğin CuO düzlemi başına hole yoğunluğu Presland vd. tarafından verilen

$$\frac{T_c}{T_c^{\max}} = 1 - 82.6(p - 0.16)^2 \quad (3.3)$$

bağıntısı ile hesaplanmıştır [169]. Burada T_c ; elde edilen geçiş sıcaklığı, T_c^{\max} ; sistemde elde edilebilecek maksimum geçiş sıcaklığı (Bi-2212 sistemi için 92 K ve Bi-2223 sistemi için 110 K alınmaktadır), p ; Cu başına hole sayısıdır. Hesaplanan hole yoğunlukları Çizelge 5.4' de verilmektedir.

Bi-2223 sistemi için sistemdeki CuO düzlemi başına hole konsantrasyonu 0.16 civarında bulunurken Bi-2212 sistemi için 0.18 ile 0.22 arasında değişmektedir. Bi-2223 sisteminde Cu yerine yapılan Mo katkılama ile sistemdeki hole konsantrasyonunun arttığı ve sistemin overdoped bölgесine kaydığı belirlenmiştir. Hole konsantrasyonundaki artış T_c ' de de bir azalmaya neden olmaktadır. Bu durum iki sebebe bağlanabilir: Birincisi, elektriksel iletim açısından Bi-bazlı süperiletken ailesi Cu-O düzlemlerindeki hole konsantrasyonuna son derece bağlıdır. $\text{Bi}_2\text{Sr}_2\text{Ca}_{n-1}\text{Cu}_n\text{O}_{2n+4+\delta}$ sistemi $n=1$ ve $n=2$ için overdoped bölgesinde bulunurken $n=3$ için optimum hole konsantrasyonu seviyesinde bulunmaktadır. Mo +6 değerlikte olduğundan Cu^{+2} yerine yapılan katkılama ile yapıya fazladan yükler transfer olmaktadır. Bu da sistemin elektronik konfigurasyonunu bozmaktadır ve dolayısıyla sistemin hole sayısında bir artış söz konusu olur. İkincisi, oksijen ortamında yapılan taylamalarda dirençte düşme ve taşıyıcı konsantrasyonunda artma olmaktadır çünkü oksijen atomları yapıya O^{+2} formunda girmektedir. Böylece, Cu-O düzlemlerinin iki boyutlu yapısı büyür ve bundan dolayı elektron-fonon çiftini bir arada tutan etkin kuvvette azalma meydana gelir. Bu da T_c ' de azalmaya neden olmaktadır.

Çizelge 5.4. $\text{Bi}_2\text{Sr}_2\text{Ca}_2\text{Cu}_{2.5}\text{Mo}_{0.5}\text{O}_{10+\delta}$ sistemine ait elektriksel ölçüm ve hole konsantrasyonu sonuçları.

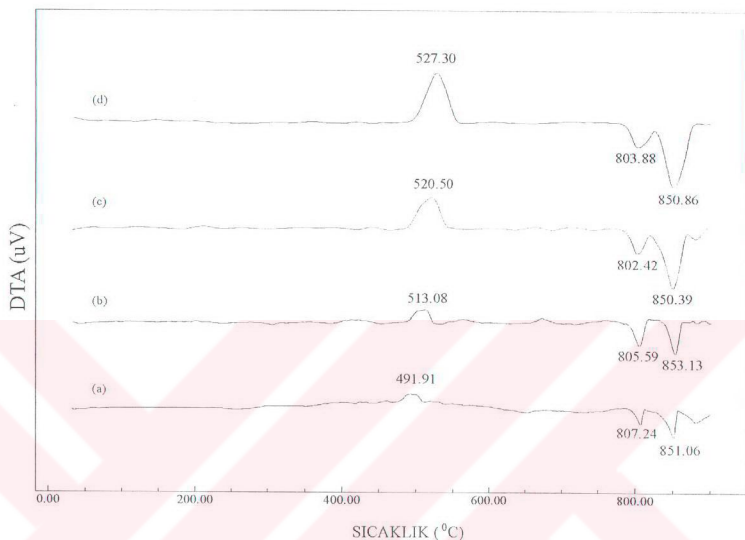
İsl	T_c (K)	T_θ (K)	ΔT (K)	Hole Konst. p
İşlem				
855°C-60 s	~87	76	11	0.21
855°C-120 s	~86	76	10	0.21
855°C-240 s	~90	55	35	0.20

5.2. $\text{Bi}_2\text{Sr}_2\text{Ca}_2\text{Cu}_2\text{MoO}_{10+\delta}$ Sistemi

5.2.1. DTA Sonuçları

Şekil 5.5' de $x=1.0$ -Mo kataklı cam numunenin farklı ısıtma hızlarında alınan DTA grafikleri verilmiştir. Bu katkılama seviyesinde $x=0.5$ Mo kataklı numunede 485 ile 521°C arasında gözlenen çift exotermik aktivite görülmemiştir. Ancak, ısıtma hızına bağlı olarak 492 ile 527°C arasında tek bir exotermik pik elde edilmiştir.

Bununla birlikte, 800 ile 855°C arasında yine çift endotermik pik olduğu gözlenmiştir. Birinci endotermik pik, T_{endo} , ısıtma hızına bağlı olarak 802 ile 807°C arasında ve ikinci endotermik pik, T_{KM} , ise 850 ile 853°C arasında gözlenmiştir.



Şekil 5.5. $x=1.0$ Mo katkılı Bi-2223 sistemine ait DTA grafikleri. Isıtma hızları: a) $\alpha=5^{\circ}\text{C}/\text{dk}$, b) $\alpha=10^{\circ}\text{C}/\text{dk}$, c) $\alpha=20^{\circ}\text{C}/\text{dk}$ ve d) $\alpha=30^{\circ}\text{C}/\text{dk}$.

Çizelge 5.5 ve Şekil 5.5' de görüldüğü gibi bu katkılama seviyesinde düşük sıcaklıklarda tek bir ekzotermik pik gözlenmiştir ve bu ekzotermik aktivitenin oluşumu daha önceki katkılama seviyesine göre daha yüksek sıcaklıklarda olmaktadır. Bu durum sisteme katı konsantrasyonun artması ile Mo' nin yapıdaki iyonların termal aktivitesini düşürdüğünü ortaya koymaktadır.

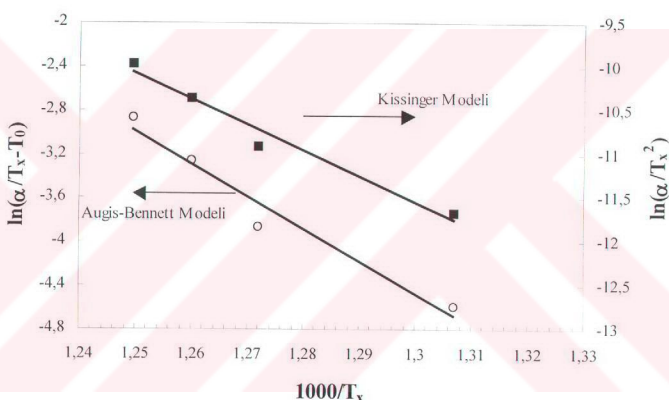
Ayrıca, T_x sıcaklıklarında görülen artma katkılama miktarının artması ile numunedeki yüzey çekirdeklenmesinin zayıfladığını da ortaya koymaktadır. T_x sıcaklıkları daha yüksek sıcaklıklarda elde edilmesine rağmen birinci ve ikinci endotermik dipler daha düşük sıcaklıklarda olmaktadır.

800°C civarında elde edilen endotermik dip sisteme bir kısmı erime olduğunu göstermektedir. Bu aynı zamanda, yapıda yeni bir fazın oluşmaya başladığını ve bu faz oluşurken de ortama enerji verildiğinin bir göstergesidir.

Çizelge 5.5. x=1.0 Mo katkılaması ile elde edilen DTA verileri.

Isıtma hızı (°C/dk)	T_x (°C)	T_{endo} (°C)	T_{KM} (°C)
5	491.91	807.24	851.06
10	513.08	805.59	853.13
20	520.50	802.42	850.39
30	527.30	803.88	850.86

Bu katkılama seviyesinin kristalleşme aktivasyon enerjisi grafikleri Şekil 5.6' da ve hesaplanan aktivasyon enerji değerleri de Çizelge 5.6' da verilmiştir.



Şekil 5.6. x=1.0-Mo katıklı numunede kristalleşme aktivasyon enerjisi için Augis-Bennett ve Kissinger Modelleri kullanılarak elde edilen grafikler.

Çizelge 5.6. x=1.0 oranında Mo-katkılı Bi-2223 sistemi için hesaplanan aktivasyon enerjisi ve diğer katkılama seviyeleri ile karşılaştırılması.

Katkı Miktarı	Augis-Bennett Modeli (kJ/mol)	Kissinger Modeli (kJ/mol)
x		
0.0	339.18	336.46
0.5	300.34	297.57
1.0	249.13	245.95

Mo katkılama seviyesi arttıkça sistemin aktivasyon enerjilerinde azalma olduğu belirlenmiştir. Aktivasyon enerjisindeki bu azalmanın yüzey çekirdeklenme prosesinin yavaşlamasına ve daha kararsız materyallerin oluşmasına sebep olduğu düşünülmektedir. Buna benzer durumların konvansiyonel cam-seramiklerde de çok sık görüldüğü bilinmektedir [211].

5.2.2. X-Işını (XRD) Sonuçları

$x=1.0$ -Mo katılım eritilip hızlı soğutulan numuneye ait XRD grafikleri Şekil 5.7.a' da gösterilmektedir. Numune $2\theta \equiv 30^0$ civarında geniş bir pik göstermekle birlikte yanında SrMoO_4 , $\text{Cu}_6\text{Mo}_5\text{O}_{18}$ ve CuMoO_4 gibi safsızlık fazları da oluşmuştur. Bu durum Mo konsantrasyonunun artması ile amorf yapı içerisinde oransal olarak az da olsa kristalleşmenin meydana geldiğini göstermektedir.

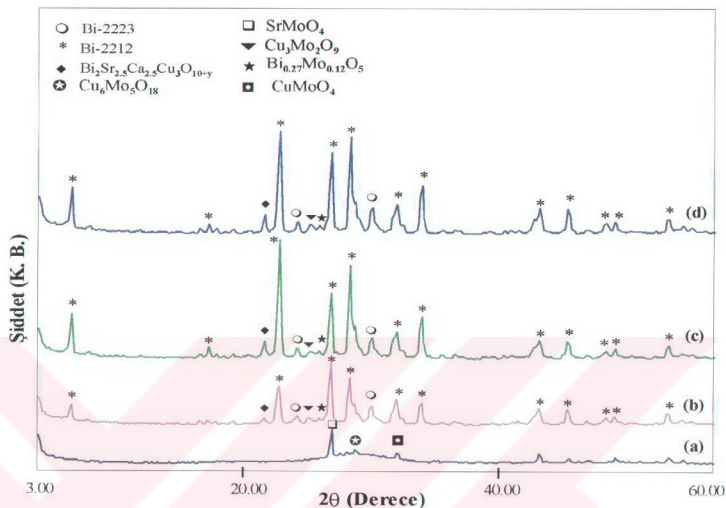
Şekil 5.7.b, $840^0\text{C}'$ de 60 saat ıslı işlem görmüş $x=1.0$ Mo katılım sistemin XRD grafiğini göstermektedir. Sistemde ana faz Bi-2212 fazıdır. Aynı zamanda, yüksek sıcaklık fazı Bi-2223 ve $\text{Bi}_2\text{Sr}_{2.5}\text{Ca}_{2.5}\text{Cu}_3\text{O}_{10+\delta}$ süperiletken fazları da oluşmuştur. Bu fazlara ilaveten $\text{Cu}_3\text{Mo}_2\text{O}_9$ ve $\text{Bi}_{0.27}\text{Mo}_{0.12}\text{O}_5$ safsızlık fazlarının oluştuğu da gözlenmiştir.

İslı işlem süresi 120 saatte çıkartıldığında ise Bi-2212 fazına ait piklerin şiddetlerinde belirgin bir artma olduğu görülmüştür. Şekil 5.7.c. Böylece, tavlama süresinin uzatılması ile örneklerdeki kristalleşme daha düzenli hale gelmektedir. Ancak, buna rağmen 60 saat ıslı işlem görmüş numune ile aynı safsızlık fazları elde edilmiş ve bu ikincil fazlarına ait pik şiddetlerinde de bir azalma olmadığı gözlenmiştir. Genel olarak bakıldığından, bir önceki örneğe göre 2 kat daha uzun ıslı işlem yapılmış olmasına rağmen safsızlık fazlarının genel matris içerisinde hala çözülmemesi, iyonik difüzyonun örnek içerisinde tam olarak gerçekleşmediğini ortaya koymaktadır.

Aynı katkılama seviyesinde 240 saat ıslı işlem gören numunenin XRD grafiğinde 120 saat ıslı işlem gören numunenin XRD grafiğine kıyasla herhangi bir değişiklik olmadığı gözlenmiştir, Şekil 5.7.d. Sistemde ana faz olarak yine Bi-2212 fazı elde edilmiş ve yine aynı safsızlık fazları bulunmuştur. Bu durum $x=1.0$ Mo-katılım örnekler için 120 saatlik ıslı işlem süresinin süperiletken fazı elde etmek için yeterli olduğunu ortaya koymaktadır.

$x=1.0$ -Mo katılım numunede de kristal simetrisi tetragonal olarak tespit edilmiştir. Birim hücre parametreleri ise $a=b=5.4192 \text{ \AA}$ ve $c=30.7671 \text{ \AA}$ olarak

belirlenmiştir. Hazırlanan numunelerin Scherrer metodu ile hesaplanan kristal büyülüklüğü ise Çizelge 5.7' de verilmektedir.



Şekil 5.7. Bi₂Sr₂Ca₂Cu₂MoO_{10+δ} numunesine ait XRD grafikleri; a) Cam, b) 840°C' de 60 saat ıslı işlem görmüş, c) 840°C' de 120 saat ıslı işlem görmüş ve d) 840°C' de 240 saat ıslı işlem görmüş örnekler.

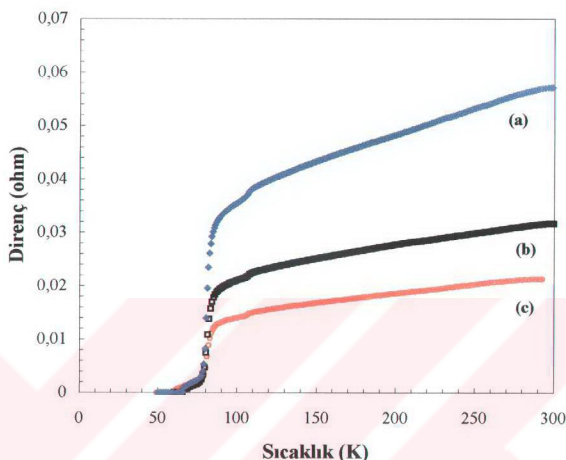
Çizelge 5.7. x=1.0 Mo katkılı numunenin kristalografik özellikleri.

Isıl İşlem	Atmosfer	Süperiletken	Kristal Büyüdüklüğü (L)	
			Faz	≈ (Å)
840°C' de 60 saat	O ₂	n=2		277
840°C' de 120 saat	O ₂	n=2		244
840°C' de 240 saat	O ₂	n=2		255

5.2.3. Direnç Ölçüm (R-T) Sonuçları

840°C' de 60 saat ıslı işlem görmüş Bi₂Sr₂Ca₂Cu₂MoO_{10+δ} numunesine ait direnç-sıcaklık eğrisi Şekil 5.8.a' da görülmektedir. Numune oda sıcaklığından başlayarak süperiletken geçiş sıcaklığını, T_c , kadar metalik özellik göstermiştir. x=0.5- Mo katkılı numunede olduğu gibi bu numunede de 105 K civarında bir direnç düşmesi

olduğu gözlenmiştir. Bu da sistemde Bi-2223 ve Bi-2212 fazlarının aynı anda oluştugunu göstermektedir. Süperiletken geçiş sıcaklığı $T_c=85.45\pm0.1$ K olarak elde edilmiş ve örneğin tamamen sıfır direnç düşmesi göstermesi ise $60\text{ K}\pm0.1$ de olmuştur.



Şekil 5.8. a) 840^0C de 60 saat, b) 840^0C de 120 saat ve c) 840^0C de 240 saat ısıt işlem görmüş $\text{Bi}_2\text{Sr}_2\text{Ca}_2\text{Cu}_2\text{MoO}_{10+\delta}$ numunesine ait direnç-sıcaklık (R-T) grafikleri

Şekil 5.8.b' de $x=1.0$ -Mo katkılı 840^0C de 120 saat ısıt işlem görmüş numuneye ait R-T eğrisi verilmiştir. Numunenin normal durum direncinin (300 K) 60 saatlik ısıt işlem görmüş numune ile karşılaştırıldığında azalığı gözlenmektedir. Örnek geçiş sıcaklığına kadar metalik özellik sergilemiş, 105 K civarında yine Bi-2223 ($n=3$) fazından Bi-2212 ($n=2$) fazına geçiş olduğu gözlenmiştir. Ancak bir önceki örnekte olduğu gibi bu örnekte doğrudan sıfır direnç değerine bir kuyruk (tail) olustuktan sonra düşmüştür. $T_c=86.1\pm0.1\text{ K}$ de meydana gelmiş, $65.7\pm0.1\text{ K}$ de ise tamamen sıfır direnç (T_0) değerine ulaşmıştır.

Bu serinin son örneği olan 240 saat ısıt işlem görmüş numunenin normal durum direnci diğer iki örnekle karşılaştırıldığında daha da azalmıştır, Şekil 5.8.c. Bu örnekte diğer iki örnekte olduğu gibi geçiş sıcaklığına kadar metalik trend göstermiştir. 105 K civarındaki ilk geçişten sonra $T_c=84.6\pm0.1\text{ K}$ olarak elde edilmiştir. Numunenin tamamen süperiletken olduğu sıcaklık ise $T_0=65.6\pm0.1\text{ K}$ olarak belirlenmiştir.

5.2.4. Hole Konsantrasyonu

$\text{Bi}_2\text{Sr}_2\text{Ca}_2\text{Cu}_2\text{MoO}_{10+\delta}$ sistemi için denklem 3.3 kullanılarak hesaplanan CuO düzleme başına hole konsantrasyonu değerleri Çizelge 5.8' de verilmektedir. Buna göre hole konsantrasyonu Bi-2223 fazının bulunduğu 0.16 aralığından Bi-2212 fazının bulunduğu 0.18-0.22 aralığına kaymaktadır. Bu da sistemde Bi-2212 fazının Bi-2223 fazına göre daha ağırlıklı olarak oluştuğunu ortaya koymaktadır. Bu sonuçlar zaten XRD ve R-T sonuçları ile de desteklenmektedir.

Çizelge 5.8. $\text{Bi}_2\text{Sr}_2\text{Ca}_2\text{Cu}_2\text{MoO}_{10+\delta}$ sistemine ait elektriksel ölçüm ve hole konsantrasyonu sonuçları.

İşıl	T_c (K)	T_θ (K)	ΔT (K)	Hole Konst. p
İşlem				
$840^0\text{C}-60$ s	85	60	25	0.2120
$840^0\text{C}-120$ s	86	66	20	0.2113
$840^0\text{C}-240$ s	85	66	19	0.2128

5.3. $\text{Bi}_2\text{Sr}_2\text{Ca}_2\text{Cu}_{1.5}\text{Mo}_{1.5}\text{O}_{10+\delta}$ Sistemi

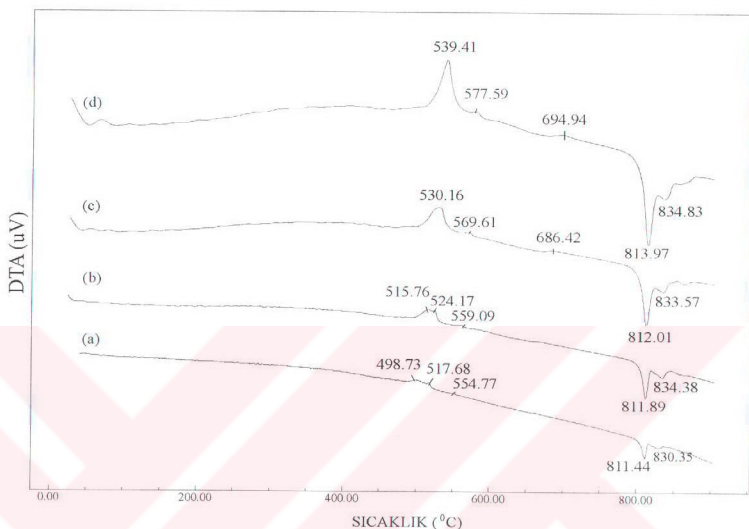
5.3.1. DTA Sonuçları

Cu yerine Mo katkılama seviyesi $x=1.5$ olduğunda birinci kristalleşme sıcaklığındaki, T_x , artış devam etmiştir, Şekil 5.9. $\alpha=5\ ^0\text{C}/\text{dk}$ ve $\alpha=10\ ^0\text{C}/\text{dk}$ 'lik ısıtma hızlarında 499 ile 524^0C ' ler arasında iki tane ekzotermik pik elde edilmiştir. Isıtma hızı artırıldığında ise bu çift pik tek ekzotermik pik olarak gözlenmiştir.

Sistemde Mo konsantrasyonunun artması ile önceki iki örnekte meydana gelen endotermik aktivitelerin sıcaklıklarındaki azalma bu katkılama seviyesinde de devam etmektedir. Yeni bir safsızlık fazının oluşmasına ve kısmi erimeye karşılık gelen birinci endotermik aktivite ısıtma hızına bağlı olarak 811 ile 814^0C ' ler arasında ve sistemde oluşan yeni bir fazın oluşma sıcaklığını veren ikinci endotermik aktivite ise 830 ile 835^0C ' ler arasında elde edilmiştir, Çizelge 5.9.

Şekil 5.9 ve Çizelge 5.9' a bakıldığından şu genellemenin yapılması mümkün olabilmektedir. MoO_3 ' ün erime sıcaklığı 795^0C dir. Dolayısıyla sistemde katkılama

konsantrasyonunun artması ile Mo^{+} ne bağlı safsızlıkların oluşumu daha düşük sıcaklıklarda olmaktadır.



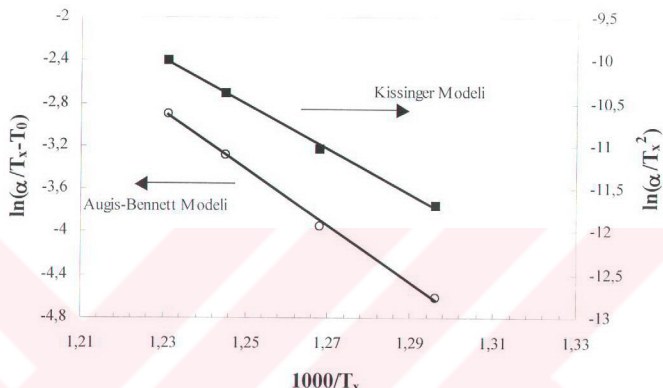
Şekil 5.9. $x=1.5$ Mo kataklı Bi-2223 sistemine ait DTA grafikleri. Isıtma hızları: a) $\alpha=5 \text{ }^{\circ}\text{C/dk}$, b) $\alpha=10 \text{ }^{\circ}\text{C/dk}$, c) $\alpha=20 \text{ }^{\circ}\text{C/dk}$ ve d) $\alpha=30 \text{ }^{\circ}\text{C/dk}$.

Cizelge 5.9. $x=1.5$ Mo katkılaması ile elde edilen DTA verileri.

Isıtma hızı ($^{\circ}\text{C/dk}$)	T_{x1} ($^{\circ}\text{C}$)	T_{x2} ($^{\circ}\text{C}$)	T_{endo} ($^{\circ}\text{C}$)	T_{KM} ($^{\circ}\text{C}$)
5	498.73	517.68	811.44	830.35
10	515.76	524.17	811.89	834.38
20	530.16	-	812.01	833.57
30	539.41	-	813.97	834.83

Sistemdeki birinci endotermik aktivite ise $x=1.0$ -Mo kataklı örnekten daha yüksek sıcaklıklarda elde edilmiştir. Sistemdeki Mo-katkılaması $x=1.5$ 'e çıkarıldığında Mo iyonlarının sistemdeki diğer iyonların termal aktivitesini iyice düşürdüğü kabul edilmektedir. Bu da kristalleşme sıcaklığının daha yüksek sıcaklıklarda oluşmasına neden olmaktadır.

Kristalleşme için aktivasyon enerjisi denklem 5.1 ve 5.2, Augis-Bennett ve Kissinger Modelleri kullanılarak hesaplanmıştır. Augis-Bennett ve Kissinger Modelleri ile elde edilen grafikler Şekil 5.10 ve sonuçlar Çizelge 5.10' da verilmiştir. Her iki modelin ortaya çıkardığı sonuçlar Mo konsantrasyonunun artması ile sistemin kristalleşme kinetiğinin ciddi oranda azaldığını ortaya koymaktadır.



Şekil 5.10. x=1.5-Mo katkılı numunede kristalleşme aktivasyon enerjisi için Augis-Bennett ve Kissinger Modelleri kullanılarak elde edilen grafikler.

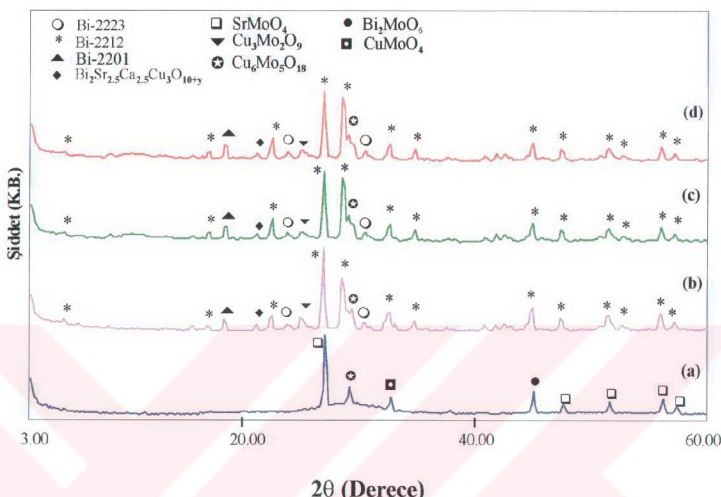
Çizelge 5.10. x=1.5 oranında Mo-katkılı Bi-2223 sistemi için hesaplanan aktivasyon enerjisi ve diğer katkılama seviyeleri ile karşılaştırılması.

Katkı Miktarı	Augis-Bennett Modeli (kJ/mol)	Kissinger Modeli (kJ/mol)
x		
0.0	339.18	336.46
0.5	300.34	297.57
1.0	249.13	245.95
1.5	219.23	216.04

5.3.2. X-Işını (XRD) Sonuçları

x=1.5 Mo-katkılı eritilip hızlı soğutulan Bi-2223 sisteminin XRD grafiği Şekil 5.11.a' da gösterilmektedir. Bir önceki katkılama seviyesinde karşılaşılan ve hızlı

soğutma sırasında oluşan kristalleşme bu katkılama seviyesinde de piklerin şiddeti artarak devam etmiştir.



Şekil 5.11. $\text{Bi}_2\text{Sr}_2\text{Ca}_2\text{Cu}_{1.5}\text{Mo}_{1.5}\text{O}_{10+\delta}$ numunesine ait XRD grafikleri; a) eritiliп hizli soğutulduktan sonra, b) 830°C de 60 saat ıslı işlem görmüş, c) 830°C de 120 saat ıslı işlem görmüş ve d) 830°C de 120 saat ıslı işlem görmüş örnekler.

Şekil 5.11.b' de 830°C de 60 saat ıslı işlem görmüş $x=1.5$ Mo-katkılı numunenin XRD grafiği verilmiştir. Katkılanmanın artması ile safsızlıklara ait piklerin şiddetleri de artmıştır. Sistemde ana süperiletken fazın Bi-2212 ($n=2$) fazı olduğu belirlenmiştir. Bununla birlikte, sistemde Bi-2223 ($n=3$), Bi-2201 ($n=1$) ve $\text{Bi}_2\text{Sr}_{2.5}\text{Ca}_{2.5}\text{Cu}_3\text{O}_{10+\delta}$ fazlarının olduğu da görülmüştür. Ayrıca, yapıda $\text{Cu}_3\text{Mo}_2\text{O}_9$ ve $\text{Cu}_6\text{Mo}_5\text{O}_{18}$ safsızlık fazları da tespit edilmiştir.

120 ve 240 saatlik ıslı işlem yapılmış numunelerin XRD grafikleri Şekil 5.11.c ve d' de görülmektedir. ıslı işlem zamanı uzatıldığında 60 saat ıslı işlem görmüş numunenin XRD' ne göre çok fazla bir değişim olmadığı gözlenmiştir. Bu da ıslı işlem zamanının uzatılmasının sistemde eiddi bir etki yaratmadığını göstermektedir.

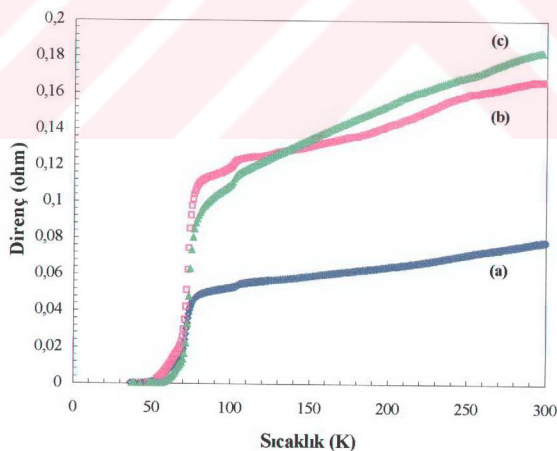
Sistemin kristal simetrisi tetragonal olarak belirlenmiştir ve kristal hücre parametreleri de $a=b=7.3620 \text{ \AA}$ ve $c=30.3011 \text{ \AA}$ olarak hesaplanmıştır. Scherrer metoduna göre hesaplanan kristal büyüklükleri Çizelge 5.11' de verilmektedir.

Çizelge 5.11. $x=1.5$ Mo katkılı numunenin kristalografik özellikleri.

Isıl İşlem	Atmosfer	Süperiletken	Kristal Büyüklüğü (L)
		Faz	$\approx (\text{\AA})$
830^0C de 60 saat	O ₂	n=2	257
830^0C de 120 saat	O ₂	n=2	235
830^0C de 240 saat	O ₂	n=2	248

5.3.3. Direnç Ölçüm (R-T) Sonuçları

830^0C de 60 saat isıl işlem görmüş Bi₂Sr₂Ca₂Cu_{1.5}Mo_{1.5}O_{10+δ} numunesine ait direnç-sıcaklık eğrisi Şekil 5.12.a' da görülmektedir. Numune oda sıcaklığından başlayarak süperiletken geçiş sıcaklığına, T_c , kadar metalik özellik göstermiştir. $x=0.5$ ve 1.0-Mo katkılı numunede olduğu gibi bu numunede de 100 K civarında bir direnç düşmesi olduğu belirlenmiştir. Bu durum Bi-2223 ve Bi-2212 fazları aynı anda yapıda olduğunu göstermektedir. Geçiş sıcaklığı $T_c=74.5 \pm 0.1$ K' de ve sıfır sıcaklık ise $T_0=49.0 \pm 0.1$ K' de elde edilmiştir.



Şekil 5.12. a) 830^0C de 60 saat, b) 830^0C de 120 saat ve c) 830^0C de 240 saat isıl işlem görmüş Bi₂Sr₂Ca₂Cu_{1.5}Mo_{1.5}O_{10+δ} numunesine ait direnç-sıcaklık (R-T) grafikleri.

830^0C de 120 saat ıslı işlem görmüş numunenin normal durum direnci 60 saatlik ıslı işlem gören numunenin direncine göre iki kat arttığı bulunmuştur, Şekil 5.12.b. Örnek geçiş sıcaklığına kadar metalik özellik sergilemiş ve 105 K civarında yine belirgin bir direnç düşmesi meydana gelmiştir. Örneğin süperiletken geçiş sıcaklığı $T_c=76.8\pm0.1$ K de ve sıfır direnç sıcaklığı da $T_\theta=53.0\pm0.1$ K de elde edilmiştir.

240 saat ıslı işlem gören numunenin direncindeki düşmenin 120 saat ıslı işlem görmüş numuneye göre daha hızlı olduğu gözlenmiştir, Şekil 5.12.c. Örnek geçiş sıcaklığına kadar yine metalik özellik göstermiştir. Süperiletkenlige geçiş sıcaklığı $T_c=76.6\pm0.1$ K ve sıfır direnç sıcaklığı ise $T_\theta=60.6\pm0.1$ K olarak belirlenmiştir.

5.3.4. Hole Konsantrasyonu

Denklem 3.3' den hesaplanan CuO düzlemi başına hole konsantrasyonu Çizelge 5.12' de verilmektedir. Bu seride hazırlanan örneklerin tamamının hole konsantrasyonunun 0.22 civarında olduğu hesaplanmıştır. Bütün bu elde edilen sonuçlar $x=1.5$ Mo katkilaması ile hazırlanan numunenin Bi-2212 fazına ait hole bölgesinde olduğunu göstermektedir. Bu da, Molibdenin Bi-2223 sisteminin süperiletkenlik özelliklerini zayıflatlığını göstermektedir. Bununla birlikte, $0.5 \leq x \leq 1.5$ aralığında katkılama seviyesi ne olursa olsun sistemin $n=2$ fazında olduğu gerek XRD ve direnç sonuçlarından, gerekse hole konsantrasyonu hesaplamalarından tam olarak belirlenmiştir.

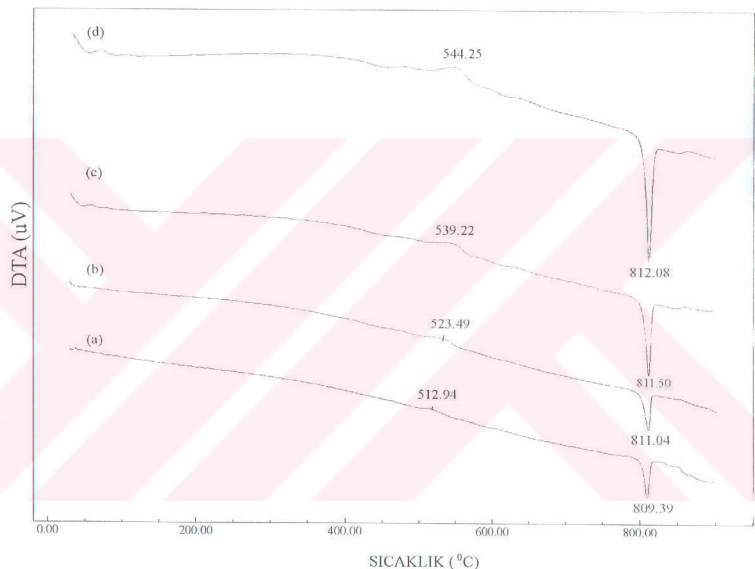
Çizelge 5.12. $\text{Bi}_2\text{Sr}_2\text{Ca}_2\text{Cu}_{1.5}\text{Mo}_{1.5}\text{O}_{10+\delta}$ sistemine ait elektriksel ölçüm ve hole konsantrasyonu sonuçları.

Isıl İşlem	T_c (K)	T_θ (K)	ΔT (K)	Hole Konst. P
$830^0\text{C}-60$ s	75	49	27	0.2224
$830^0\text{C}-120$ s	77	53	24	0.2204
$830^0\text{C}-240$ s	77	61	16	0.2204

5.4. $\text{Bi}_2\text{Sr}_2\text{Ca}_2\text{CuMo}_2\text{O}_{10+\delta}$ Sistemi

5.4.1. DTA Sonuçları

Cu yerine $x=2.0$ -Mo katkılı Bi-2223 sistemine ait DTA grafikleri Şekil 5.13' de gösterilmektedir. Isıtma hızına bağlı olarak 1. kristalleşme sıcaklığı, T_x , 513^0C ile 544^0C ler arasında değişmektedir, Çizelge 5.13.



Şekil 5.13. $x=2.0$ Mo katkılı Bi-2223 sistemine ait DTA grafikleri. Isıtma hızları: a) $\alpha=5^0\text{C}/\text{dk}$, b) $\alpha=10^0\text{C}/\text{dk}$, c) $\alpha=20^0\text{C}/\text{dk}$ ve d) $\alpha=30^0\text{C}/\text{dk}$

Önceki katkılama seviyelerinden farklı olarak bu numunede tek endotermik pik oluşmuştur. Kısmi erime sıcaklığı, T_{KM} , isıtma hızına bağlı olarak 809^0C ile 812^0C ler arasında değişmektedir.

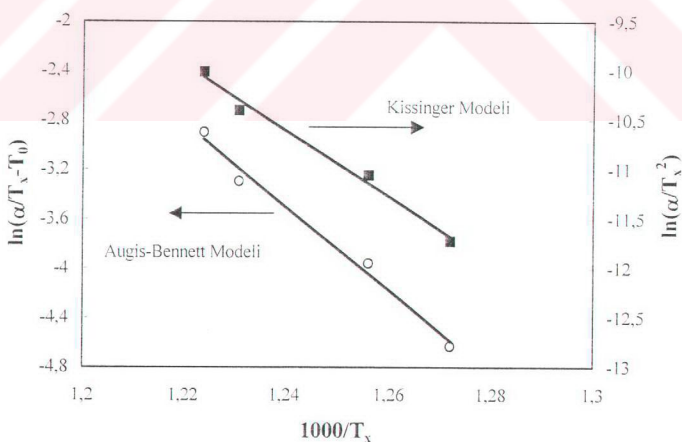
İlk kristalleşme sıcaklığı, T_x , $x=0.5$ -Mo katkılı numuneye göre 30^0C daha yüksek bir sıcaklıkta oluşmuştur. Bu durumda, bu katkılama seviyesinde sistemdeki Mo konsantrasyonu daha da arttığı için sistemdeki iyonların termal aktivitelerinin daha önceki katkılama seviyelerine göre daha yüksek sıcaklıklarda meydana geldiğini

göstermektedir. Bu sonuç aynı zamanda diğer örneklerde olduğu gibi yüzey çekirdeklenmesinin sistemdeki Mo konsantrasyonunun artması ile daha da zayıfladığını ortaya koymaktadır. Çünkü, örneklerde kristal pikin oluşumu (cam malzemede) yüzey çekirdeklenmesinin kaybolma trendine girdiğinin göstergesi olmaktadır.

Diğer numunelerde 800°C civarında meydana gelen çift endotermik aktivite bu katkılama seviyesinde kayıp olmuştur ve tek endotermik pik elde edilmiştir. Bu durum da Mo^{+} nin ($T_m=795^{\circ}\text{C}$) kompozisyonındaki katkı konsantrasyonu arttıkça kısmı erime sıcaklığını düşüreceği doğal olarak beklenmektedir.

Çizelge 5.13. $x=2.0$ Mo katkılaması ile elde edilen DTA verileri.

Isıtma hızı ($^{\circ}\text{C/dk}$)	T_x ($^{\circ}\text{C}$)	T_{KM} ($^{\circ}\text{C}$)
5	512.94	809.39
10	523.49	811.04
20	539.22	811.50
30	544.25	812.08



Şekil 5.14. $x=2.0$ -Mo katılı numunedeki kristalleşme aktivasyon enerjisi için Augis-Bennett ve Kissinger Modelleri kullanılarak elde edilen grafikler.

Sistemin kristalleşme aktivasyon enerjisi için grafikler Şekil 5.14 ve hesaplanan aktivasyon enerjisi değerleri ise Çizelge 5.14' de verilmiştir. $x=0.5$, 1.0 ve 1.5 Mo-katkılı numunelerde katkılama miktarı arttıkça aktivasyon enerjisini azalttı bulunumuştur. Ancak, bu numunede aktivasyon enerjisinin yükseldiği tespit edilmiştir. Bu değişime örneğin eritilip hızlı soğutulması sırasında oluşan kristal fazlarının sebep olduğu düşünülmektedir. Çünkü, yapının tam olarak amorf özelliğine kayıp olmuştur. Bu da sistemin kararlılık/kararsızlık dengesinde etkin rol oynamaktadır.

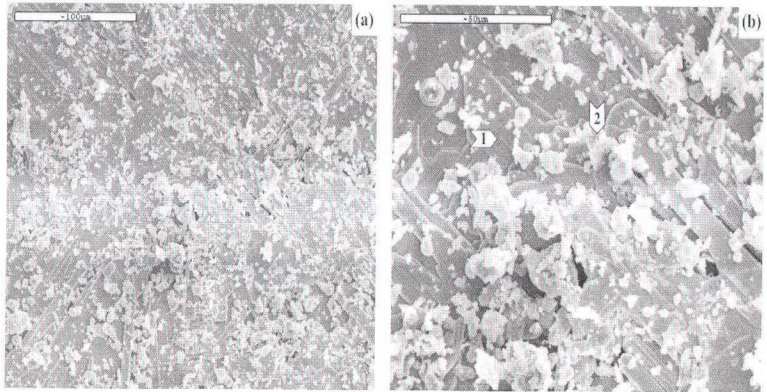
Çizelge 5.14. $x=2.0$ oranında Mo-katkılı Bi-2223 sistemi için hesaplanan aktivasyon enerjisi ve diğer katkılama seviyeleri ile karşılaştırılması.

Katkı Miktarı	Augis-Bennett Modeli (kJ/mol)	Kissinger Modeli (kJ/mol)
x		
0.0	339.18	336.46
0.5	300.34	297.57
1.0	249.13	245.95
1.5	219.23	216.04
2.0	300.10	296.71

5.5. $\text{Bi}_2\text{Sr}_2\text{Ca}_2(\text{Cu}_{3-x}\text{Mo}_x)\text{O}_{10+\delta}$ ($0.5 \leq x \leq 1.5$) Sistemine Ait SEM Sonuçları

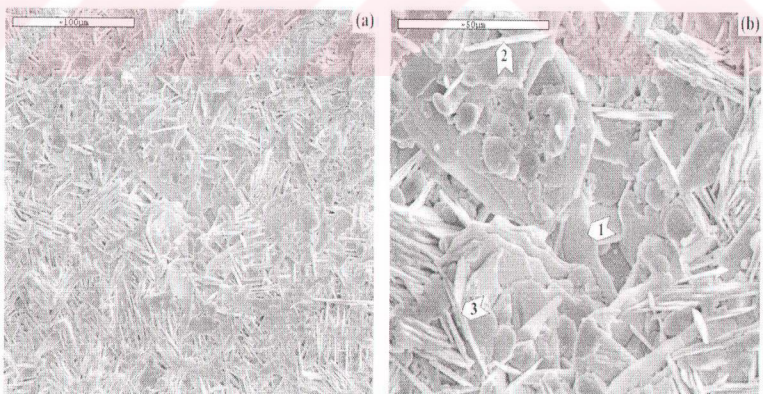
Çalışmamızın bu kısmında Jeol 6100 veya 6400 marka taramalı elektron mikroskopları (SEM) kullanılmıştır. Ancak, mikro yapıda faz analizleri için gerekli olan Energy Dispersive X-Ray analizleri (EDAX) tam olarak çalışan bir sisteme ulaşlamadığı için faz analizleri gerçekleştirilememiştir. Dolayısıyla faz analizleri için sadece XRD sonuçları göz önüne alınarak detaylandırma yapılmaya çalışılmıştır. 855°C de 60 saat ısıl işlem görmüş $x=0.5$ Mo-katkılı numunede büyük, geniş, tabaka şeklinde rasgele yönelmiş kristallerin olduğu gözlenmiştir, Şekil 5.15.

Ana dokuyu oluşturan bu koyu renkli kristallerin Bi-2212 fazına ait olduğu düşünülmektedir. Çünkü aynı örneğin XRD grafiği yapıya hakim olan fazın Bi-2212 olduğunu göstermektedir. Fotoğraflardan da görülebileceği gibi tabaka şeklindeki kristaller oldukça sıkı (compact) olup gözeneklilik (porosity) ise düşük seviyedendir.



Şekil 5.15. $x=0.5$ Mo-katkılı numunenin (a) 400 büyütme ve (b) 1000 büyütme ile alınmış elektron mikroskopu fotoğrafları; 1-Bi-2212 fazı ve 2-Safsızlık fazları.

Bununla birlikte, ana dokunun üzerinde yaklaşık $5-15 \mu\text{m}$ büyüğünde taneciklerin olduğu gözlenmiştir (açık gri renkli). Ayrıca, taneciklerin ana doku üzerinde farklı büyülüklerde ve homojen olmayan şekilde olduğu görülmektedir. Bu taneciklerin Mo ihtiva eden Bizmutça zengin safsızlık fazına/fazlarına ait olduğu düşünülmektedir.

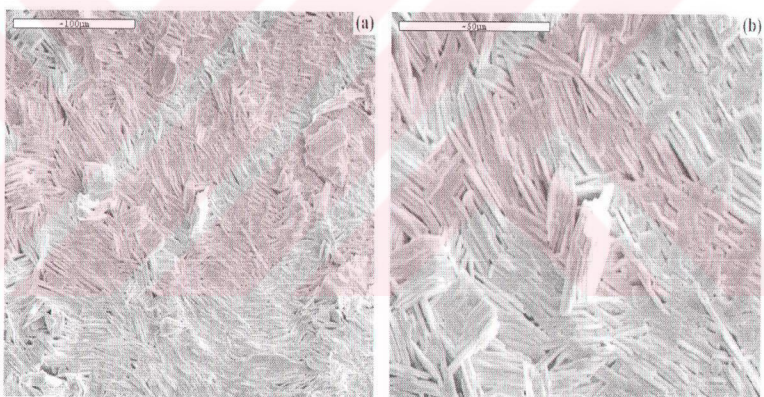


Şekil 5.16. $x=1.0$ Mo-katkılı numunenin (a) 400 büyütme ve (b) 1000 büyütme ile alınmış elektron mikroskopu fotoğrafları; 1-Bi-2212 fazı, 2 ve 3- Mo içeren Bi ve Sr' ca zengin safsızlık fazlarını göstermektedir.

Mo seviyesi $x=1.0$ olduğunda $x=0.5$ Mo-katkılı örnekteki ana dokuyu teşkil eden büyük tabaka şeklindeki yapının değiştiği gözlenmiştir. Yer yer tanecikli (granüler) ve değişik yönlerde homojen olmayan şekilde oluşmuş iğne şeklinde (needle-like) kristallerin yapıya hakim olduğu görülmüştür, Şekil 5.16.

Yapıda bu tür bir morfolojinin oluşması çekirdeklenme merkezlerinden ancak küçük boyutlu kristal büyümesi meydana geldiğini ortaya koymaktadır. Özellikle, sistemde Bi elementinin yapı içerisinde +5 değerlikteymiş gibi davranış sonucu bu tür iğneli yapıların oluşabileceği diğer çalışanlar tarafından tespit edilmiştir [238]. Bu iğneli yapıdaki kristallerin Mo ihtiva eden Bi' ca zengin safsızlık fazlarına ait olduğu düşünülmektedir.

$x=1.5$ olduğunda $x=1.0$ -Mo-katkılı numunede görülen iğne şeklindeki kristallerin bütün yüzeye hakim oldukları görülmektedir, Şekil 5.17. Bu kristallerin yüzey üzerinde bir ağ şeklinde oluşu ve rasgele yöneldikleri belirlenmiştir.

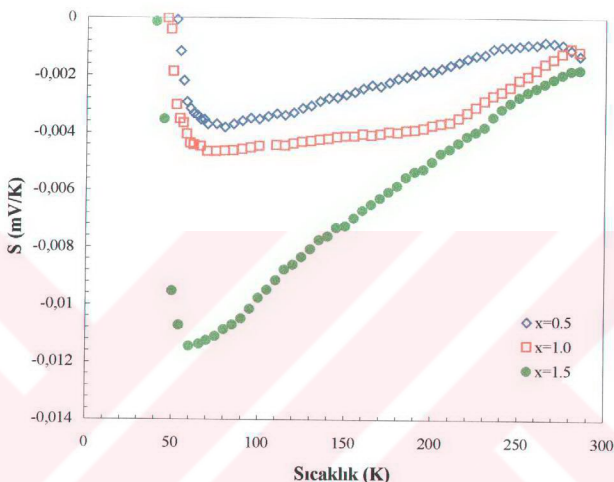


Şekil 5.17. $x=1.5$ Mo-katkılı numunenin (a) 400 büyütme ve (b) 1000 büyütme ile alınmış elektron mikroskopu fotoğrafları

5.6. $\text{Bi}_2\text{Sr}_2\text{Ca}_2\text{Cu}_{3-x}\text{Mo}_x\text{O}_{10+\delta}$ ($0.5 \leq x \leq 1.5$) Sistemine Ait Termoelektrik Güç (S(T)) Sonuçları

Bi-2223 sistemine Mo katkılaması yapıldıktan sonra optimum elektriksel özelliklerini sağlayan örneklerde ait termoelektrik gücün sıcaklıkla değişimleri, S(T), Şekil 5.18' de verilmiştir. $x=0.5$ -Mo katkılaması sonucunda genel trend olarak negatif

termoelektrik güç değerleri elde edilmiştir. Oda sıcaklığından başlayarak negatif bölgede termoelektrik gücün hemen hemen lineer olarak arttığı ve her katkılama seviyesinin T_c değerine yaklaşıldığında sıfıra doğru bir azalma ve sonucunda da sıfıra düşüğü belirlenmiştir. Çizelge 5.15' de Mo-katkılı sisteme ait termoelektrik gücün pik verdiği sıcaklıklar, T_{pik} , verilmiştir.



Şekil 5.18. (\diamond) 855^0C ' de 60 saat ıslı işlem görmüş $x=0.5$ -Mo katkılı, (\square) 840^0C ' de 120 saat ıslı işlem görmüş $x=1.0$ -Mo katkılı ve (\bullet) 830^0C ' de 120 saat ıslı işlem görmüş $x=1.5$ -Mo katkılı numunelerin (S-T) grafikleri.

Çizelge 5.15. Mo-katkılı sistemde elde edilen T_{pik} değerleri.

Katkılama (x)	T_{pik} (K)
0.5	70
1.0	65
1.5	60

Katkılama seviyesi artırıldığında negatif termoelektrik gücün şiddetinde belirgin bir artma olmaktadır. Benzer durum cam-seramik Bi-2223 sisteminde safsızlık fazlarının artarak oluşmasından kaynaklandığı diğer gruplar tarafından farklı katkılama elementleri için de gözlenmiştir [75,76].

Termoelektrik güç işaretinin negatif olduğundan hazırlanan $x=0.5$, 1.0 ve 1.5 Mo-katkılı Bi-2223 sistemlerinde n-tipi iletkenliğin hakim olduğu belirlenmiştir. Bu durum sisteme baskın taşıyıcılarının elektronlar olduğunu göstermektedir.

Sistemdeki Mo konsantrasyonunun artması ile fononik ısı akımında ve böylece elektronlara aktarılan momentumda artma olur. Bu da artan bir fonon-çekim (fonon-drag) etkisi yaratır. Bu nedenle, elde edilen negatif S(T) piklerinin fonon-çekim etkisinden dolayı kaynaklandığı söylenebilir.

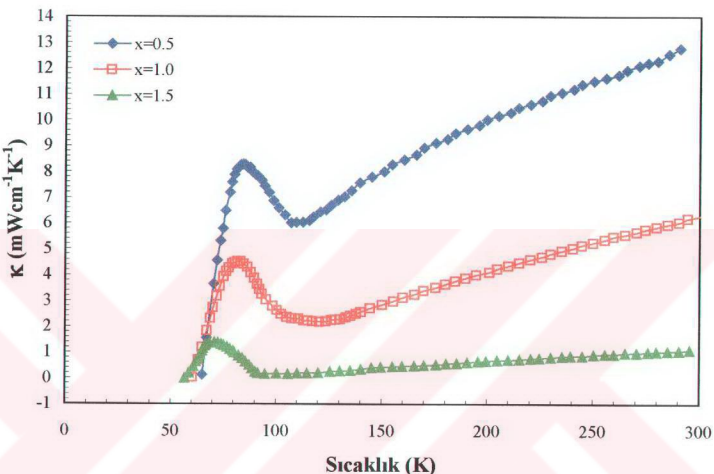
Bu durumda, genel bulguların Cu yerine katkılana Mo' nin Bi-2223 sisteminde taşıyıcıların davranışının üzerinde önemli bir etkiye sahip olduğunu göstermektedir. Manyetik olsun veya olmasın Cu yerine yapılan katkılama eşit şiddette T_c^* yi azaltıklarından Cu-O-Mo, Mo-O-Mo gibi bandların oluşabilecek olması T_c^* nin azalmasından sorumlu baskın saçılma mekanizması olabilmektedir. Bu bandlar ayrıca termoelektrik gücün (S(T)) sıcaklıkla olan davranışını da doğrudan etkilemektedir. Benzer bulgular farklı BSCCO kompozisyonları için Chatterjee vd. tarafından da elde edilmiştir [75,76].

5.7. $\text{Bi}_2\text{Sr}_2\text{Ca}_2\text{Cu}_{3-x}\text{Mo}_x\text{O}_{10+\delta}$ ($0.5 \leq x \leq 1.5$) Sistemine Ait Termal İletkenlik $\kappa(T)$ Sonuçları

Şekil 5.19'da $\text{Bi}_2\text{Sr}_2\text{Ca}_2\text{Cu}_{3-x}\text{Mo}_x\text{O}_{10+\delta}$ ($0.5 \leq x \leq 1.5$) optimum ısıl işlem görmüş numunelerin termal iletkenliklerinin sıcaklığına karşı değişimleri $\kappa(T)$ gösterilmektedir. Hazırlanan sistemlerde oda sıcaklığından başlayarak T_c^* ye kadar κ lineer olarak azalmıştır. κ 'nin büyülüklüğü katkılamanın önemli ölçüde etkilenmiştir. Normal durumda (300 K) $x=1.0$ -Mo kataklı numunenin termal iletkenliği %50.8 azalmakta iken $x=1.5$ -Mo kataklı numune için azalma %91.3 olmuştur. Seramik süperiletkenlerin hemen hepsinde elde edilen T_c^* nin hemen altında κ 'nin hızla bir şekilde artması ve sıcaklığın daha da azalması ile κ 'nin yavaşça sıfıra düşmesi hazırlanan Mo-katkılı örneklerde genel karakteristik olarak gözlenmiştir.

κ 'da elde edilen bu maksimum fonon-taşıyıcı saçılması ile ilişkilidir. T_c^* nin hemen altında güçlü fonon-taşıyıcı çiftlenmesi olur. Bu durumda, saçılma azalır ve serbest fonon akışı meydana gelir. Böylece, fonon ortalama serbest yolu artar. $x=1.5$ -Mo-katkılı örnekte oda sıcaklığından başlayarak T_c^* ye kadar κ 'nin hemen sabit

bir davranış göstermesi amorf materyallerde çok sık rastlanan fononların oldukça kısa ve sıcaklığından bağımsız ortalama serbest yollara sahip oldukları bir işaretidir. Bu durum farklı kütelerde iyonlar içeren ve fonon saçılma prosesindeki anharmonikliği güçlendiren komplike kristal yapının sonucu olarak açıklanabilir. Ayrıca, kristal kusurları da fonon ortalama serbest yolunu oldukça sınırlamaktadır.



Şekil 5.19. (◆) 855^0C de 60 saat ısıl işlem görmüş $x=0.5$ -Mo katkılı, (□) 840^0C de 120 saat ısıl işlem görmüş $x=1.0$ -Mo katkılı ve (▲) 830^0C de 120 saat ısıl işlem görmüş $x=1.5$ -Mo katkılı numunelerin (κ -T) grafiğleri.

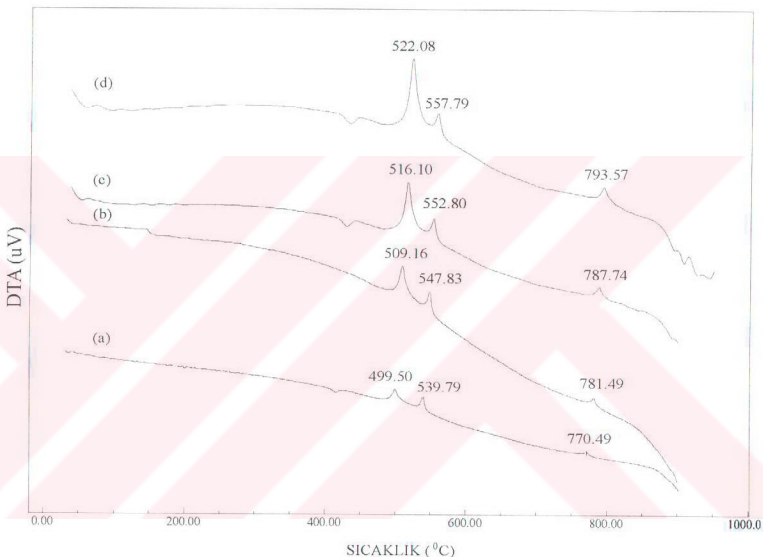
T_c^* nin altında elde edilen maksimum pik sisteme Mo-konsantrasyonunun artması ile düşük sıcaklıklara doğru kaymaktadır ve pikin büyüklüğü de azalmaktadır. Bu, elektron-fonon çiftlerinin saçılmasının arttığını ve yüksek Mo-konsantrasyonlu Bi-2223 sisteminde fonon ortalama serbest yolunun azaldığını göstermektedir.

5.8. $\text{Bi}_2\text{Sr}_2\text{Ca}_2\text{Cu}_{2.5}\text{Er}_{0.5}\text{O}_{10+\delta}$ Sistemi

5.8.1. DTA Sonuçları

$x=0.5$ oranında Er katkılaması yapılan Bi-2223 sistemine ait 5, 10, 20 ve $30^0\text{C}/\text{dk}$ ısım hızlarında alınmış DTA grafikleri Şekil 5.20' de gösterilmektedir. Mo-

katkılı numunelerin DTA' larından farklı olarak 500 ile 560°C ' ler arasında sistemde iki tane ekzotermik pik oluşmuştur. Çizelge 5.16' da görüldüğü gibi bu piklerden ~ 500 - 522°C arasındaki pik 1. kristalleşme sıcaklığına karşılık gelirken 539 - 557°C ' lerdeki ikinci pikler Er ihtiva eden $\text{Cu}_x\text{Er}_y\text{O}_8$ gibi safsızlık fazlarının oluşmaya başladığı sıcaklığa karşılık gelmektedir. Bununla birlikte, ısıtma hızına bağlı olarak 770 ile 794°C ' lerde bir ekzotermik aktivite daha olduğu gözlenmiştir. Bu aktivite sistemde Bi-2201 ($n=1$) fazının oluşmaya başladığı sıcaklıktır.



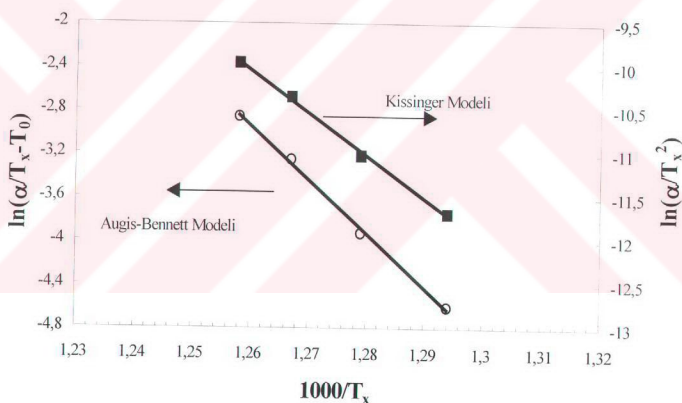
Şekil 5.20. $x=0.5$ -Er katkılı Bi-2223 sistemine ait DTA grafikleri. Isıtma hızları: a) $\alpha=5^{\circ}\text{C/dk}$, b) $\alpha=10^{\circ}\text{C/dk}$, c) $\alpha=20^{\circ}\text{C/dk}$ ve d) $\alpha=30^{\circ}\text{C/dk}$.

Çizelge 5.16. $x=0.5$ Er katkılıması ile elde edilen DTA verileri.

Isıtma hızı (°C/dk)	T_{x1} (°C)	T_{x2} (°C)	T_{x3} (°C)
5	499.50	539.79	770.49
10	509.16	547.83	781.49
20	516.10	552.80	787.74
30	522.08	557.79	793.57

Er erimesi çok zor olan bir elementtir (infusible). Bu da Er katkılı cam matrix' in erime sıcaklığını oldukça yüksek sıcaklıklara doğru çekmektedir. Bundan dolayı, 900°C ' ye kadar alınan DTA eğrilerinde herhangi bir kısmı erime yada tamamen erime gibi termal aktivitelere rastlanmamıştır. Konvansiyonel cam sistemlerde sıkça karşılaşıldığı gibi, kararlı durumda cam matrix sınırlı konsantrasyonda iyonları yapısına kabul etmektedir. Bu limitin altında veya üstünde bir katkılama veya doping yapıldığında ise sistem katkısız/dopingsiz olana kıyasla farklı sıcaklıklarda termodinamik olarak dengeye gelebilmektedir. Bu da bizim hazırladığımız sistemde ortaya çıkan yüksek sıcaklıklarda ($>900^{\circ}\text{C}$) erime durumunun ana nedeni olabilmektedir.

Sistemin kristalleşme için aktivasyon enerjileri yine Kissinger ve Augis-Bennett modelleri ile hesaplandı. Bu modeller kullanılarak elde edilen grafikler Şekil 5.21' de ve sonuçlar Çizelge 5.17' de verilmektedir.



Şekil 5.21. x=0.5-Er katkılı numunede kristalleşme aktivasyon enerjisi için Augis-Bennett ve Kissinger Modelleri kullanılarak elde edilen grafikler.

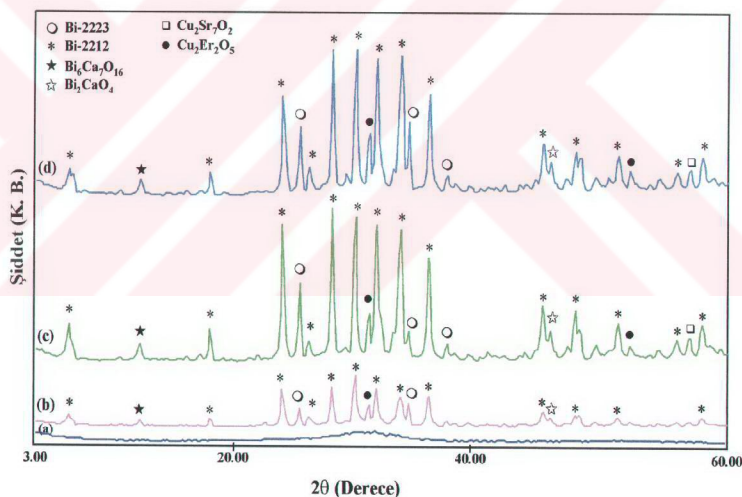
Çizelge 5.17. Katkısız ve x=0.5 oranında Er katkılı Bi-2223 sistemi için hesaplanan aktivasyon enerjileri.

Katkı miktarı	Augis-Bennett Modeli (kJ/mol)	Kissinger Modeli (kJ/mol)
x		
0.0	339.18	336.46
0.5	400.74	403.77

Her iki model yardımıyla hesaplanan aktivasyon enerjisi katkısız Bi-2223 sistemimin aktivasyon enerjisi değerinden ~ 60 kJ/mol daha büyük çıkmıştır. Bu durumda katkısız sisteme göre Er katkılı sistemin kristalleşebilmesi için daha yüksek enerjiye ihtiyacı olduğu yani ya daha yüksek sıcaklıklarda yada daha uzun süre ıslı işlem yapılması gerektiğini ortaya koymaktadır.

5.8.2. X-Işını (XRD) Sonuçları

Bi-2223 sisteminde Cu yerine $x=0.5$ Er katkılı amorf ve optimum ıslı işleminden sonra elde edilen numunelerin XRD grafikleri Şekil 5.22' de gösterilmektedir. Cam numunenin XRD deseninde $20 \approx 30^\circ$ civarında geniş bir pik elde edilmiştir, Şekil 5.22.a. Amorf malzemelerin temel karakteristiği olan bu pik hazırlanan numunede 3-boyutta herhangi bir atomik düzenin olmadığını ortaya koymaktadır.



Şekil 5.22. $\text{Bi}_2\text{Sr}_2\text{Ca}_2\text{Cu}_{2.5}\text{Er}_{0.5}\text{O}_{10+\delta}$ numunesine ait XRD grafikleri; a) Cam, b) 890°C 'de 60 saat ıslı işlem görmüş, c) 890°C 'de 120 saat ıslı işlem görmüş ve d) 890°C 'de 240 saat ıslı işlem görmüş örnekler.

890°C 'de 60 saat ıslı işlem yapılmış numunenin XRD grafiği Şekil 5.22.b' de gösterilmektedir. Yapıda ana faz Bi-2212 ($n=2$) dir. Bununla birlikte, Bi-2223 ($n=3$)

yüksek sıcaklık fazı ve $\text{Bi}_6\text{Ca}_7\text{O}_{16}$, Bi_2CaO_4 , $\text{Cu}_2\text{Er}_2\text{O}_5$ ve $\text{Cu}_2\text{Sr}_7\text{O}_2$ safsızlık fazları da yapıda bulunmaktadır.

Isıl işlem süresi 120 saatte çıktılığında ana faz yine Bi-2212 ($n=2$) olarak elde edilmiştir, Şekil 5.22.c. Bu numunede Şekil 5.22.b' de görülen Bi-2223 ($n=3$) süperiletken fazı ile birlikte $\text{Bi}_6\text{Ca}_7\text{O}_{16}$, Bi_2CaO_4 , $\text{Cu}_2\text{Er}_2\text{O}_5$ ve $\text{Cu}_2\text{Sr}_7\text{O}_2$ safsızlık fazları da oluşmuştur. Isıl işlem süresinin uzatılması ile özellikle Bi-2212 ($n=2$) fazına ait piklerin şiddetlerinde yaklaşık 3 katlık bir artma olduğu ve piklerin keskinleştiği gözlenmiştir. Böylece, isıl işlem süresinin uzatılması ile sistemin kristalografik yapılanmasının daha düzenli ve belirgin hale geldiği bulunmuştur. Bununla birlikte, tavlama süresinin uzatılmasının safsızlık fazlarının ana dokuya (matrix) difüzyonu üzerinde hiçbir etkisi olmadığı da bulunmuştur. Bu durum, DTA sonuçlarında da degenildiği gibi Er' un sistemde çözülmesi için daha yüksek ve uzun isıl işlem sıcaklığı/zamanına ihtiyaç duyduğunu göstermektedir. Ancak, sıcaklık ve zamanın artırılması durumunda da özellikle Bi ve Ca' un buharlaşarak ana matrix ten çıktığı ve stokiyometrik olarak oldukça düzensiz yapılanmaya kayıldığı bulunmuştur. Bu şartlar altında optimum sıcaklık 890^0C olarak belirlenmiş ve isıl işlem süresinin de en fazla 240 saat olacağı bulunmuştur.

Şekil 5.22.d' de görüldüğü gibi, 240 saat isıl işlem yapıldığında Bi-2212 fazına ait $20 \approx 5.7^0$ deki pikte oluşan yarıılma bu pike ait x -ışınının K çizgisinin $K_{\alpha 1}$ ve $K_{\alpha 2}$ doublet' lerinden kaynaklanmaktadır. Sistemdeki ana faz olan Bi-2212 ($n=2$) fazının pik şiddetlerinde herhangi bir değişme olmamıştır. Ancak, Bi-2223 ($n=3$) fazına ait şiddetlerde artma olurken safsızlık fazlarının pik şiddetlerinde isıl işlem ile bir değişme olmadığı da belirlenmiştir.

Sistemin kristalografik olarak tetragonal simetriye sahip olduğu belirlenmiş ve kristal hücre parametreleri de $a=b=5.4304 \text{ \AA}$ ve $c=31.8542 \text{ \AA}$ olarak hesaplanmıştır. Numunelerin parçacık büyülüğu ise Çizelge 5.18.' de verilmektedir.

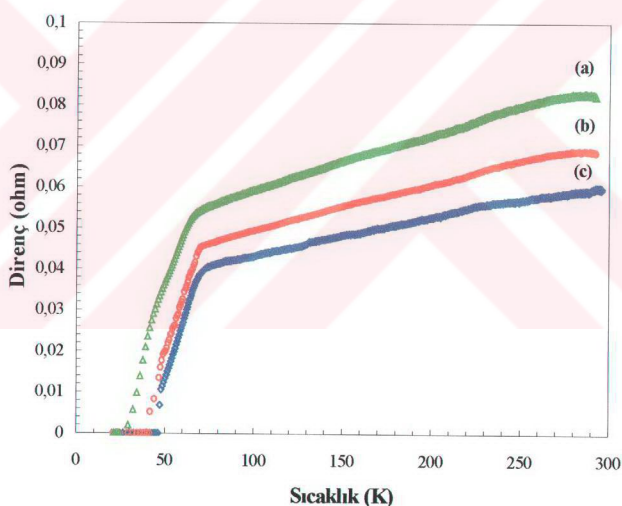
Cizelge 5.18. $x=0.5$ Er katkılı numunenin kristalografik özelliklerini.

Isıl İşlem	Atmosfer	Süperiletken	Kristal Büyüklüğü (L)	
			Faz	$\approx (\text{\AA})$
$890^0\text{C}'$ de 60 saat	O_2	$n=2$		>1000
$890^0\text{C}'$ de 120 saat	O_2	$n=2$		>1000
$890^0\text{C}'$ de 240 saat	O_2	$n=2$		>1000

5.8.3. Direnç Ölçüm (R-T) Sonuçları

890°C de 60 saat ıslı işlem yapılmış numune oda sıcaklığından başlayarak süperiletken geçiş sıcaklığına, T_c , kadar metalik davranış göstermiştir, Şekil 5.23.a. Geçiş sıcaklığından sonra direnç eğrisi yavaş bir azalma ile sıfır direnç sıcaklığına, T_0 , düşmektedir. Geçiş ve sıfır direnç sıcaklıkları sırasıyla $T_c=63.59\pm0.1$ K ve $T_0=29.15\pm0.1$ K olarak elde edilmiştir.

120 saatlik ıslı işlemde numunede yine geçiş sıcaklığına kadar metalik bir davranış elde edilmiştir, Şekil 5.23.b. Bununla birlikte, ıslı işlem süresinin 2 kat artırılması sonucu normal durum direncinde $\sim\!20$ oramında azalma olduğu gözlenmiştir. Geçiş sıcaklığı $T_c=69.68\pm0.1$ K de oluştuktan sonra ve sıfır direnç $T_0=41.29\pm0.1$ K de elde edilmiştir.



Şekil 5.23. a) 890°C de 60 saat, b) 890°C de 120 saat ve c) 890°C de 240 saat ıslı işlem görmüş $\text{Bi}_2\text{Sr}_2\text{Ca}_2\text{Cu}_{2.5}\text{Er}_{0.5}\text{O}_{10+\delta}$ numunesine ait direnç-sıcaklık (R-T) grafikleri.

İslı işlem süresi 240 saatte çıkarıldığında ise normal durum direncindeki azalma devam etmiş ve 60 saat ıslı işlem görmüş numuneye göre $\sim\!40$ azalma olduğu bulunmuştur. Geçiş sıcaklığı, T_c , 71.16 ± 0.1 K ve sıfır direnç sıcaklığı da, T_0 , 46.25 ± 0.1 K olarak belirlenmiştir, Şekil 5.23.c.

İşıl işlem süreleri ile geçiş sıcaklığı karşılaştırıldığında sürenin artması ile T_c ' de bir artma olduğu görülmektedir. Bununla birlikte, tavlama süresi ile ΔT ' de de azalma olduğu tespit edilmiştir. ΔT aralığının azalması hazırlanan örneklerin işıl işlem süresinin uzatılması ile elektriksel olarak daha kaliteli, kristalografik olarak ta daha iyi kristalleşme olduğunu ortaya koymaktadır. Bu durum, Şekil 5.22 deki XRD sonuçlarında da belirgin bir şekilde görülmektedir. Ancak, sisteme yapılan Er katkılaması ile Bi-2223 süperiletken faz uyumunu bozmaktadır. Özellikle XRD incelemesinde belirlenen $\text{Bi}_6\text{Ca}_7\text{O}_{16}$, Bi_2CaO_4 , $\text{Cu}_2\text{Er}_2\text{O}_5$ ve $\text{Cu}_2\text{Sr}_7\text{O}_2$ safsızlık fazlarının da muhtemelen tanecik ara yüzeylerinde (grain interface) gelişmesi (XRD grafiğinde gözlenen düşük şiddetteki safsızlık pikleri bunu göstermektedir) süperiletken faz koordinasyonunun bozulmasından sorumlu olmaktadır.

5.8.4. Hole Konsantrasyonu

Bi-2223 sistemine yapılan Er katkılaması ile sistemdeki hole konsantrasyonu da artmaktadır ve sistem overdoped bölgesine kaymaktadır ($p > 0.22$), Çizelge 5.19. Genellikle BSCCO sisteminde hole konsantrasyondaki artma T_c ' de azalmaya neden olmaktadır. Er^{+3} , ün katkılaması ile yapıya ekstra yükler girmekte ve Cu-O tabakasındaki hole konsantrasyonu artmaktadır. Böylece, sistemin elektronik düzeni de bozulmaktadır. Bu da geçiş sıcaklığında bir azalmaya neden olabilmektedir. Ayrıca, özellikle BSCCO sisteminde sık görülen bir durumda O_2 atmosferinde yapılan tavlamalarda eğer yapıya ekstra oksijenler dahil olursa elektron-fonon çiftini bir arada tutan kuvvette de bir azalma olacağından T_c ' de bir miktar azalma olabilecektir.

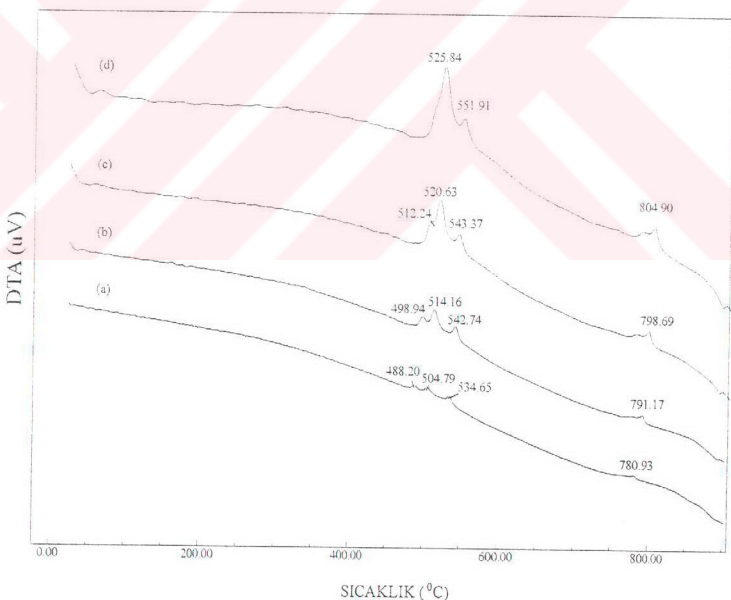
Çizelge 5.19. $\text{Bi}_2\text{Sr}_2\text{Ca}_2\text{Cu}_{2.5}\text{Er}_{0.5}\text{O}_{10+\delta}$ sistemine ait elektriksel ölçüm ve hole konsantrasyonu sonuçları.

İşıl İşlem	T_c (K)	T_o (K)	ΔT (K)	Hole Konst. p
$890^0\text{C}-60$ s	64	29	35	0.231
$890^0\text{C}-120$ s	70	41	29	0.226
$890^0\text{C}-240$ s	71	46	25	0.225

5.9. $\text{Bi}_2\text{Sr}_2\text{Ca}_2\text{Cu}_2\text{ErO}_{10+\delta}$ Sistemi

5.9.1. DTA Sonuçları

5, 10, 20 ve $30^{\circ}\text{C}/\text{dk}$ ısıtma hızlarında alınan $x=1.0$ Er-katkılı sisteme ait DTA grafikleri Şekil 5.24' de verilmiştir. $x=0.5$ Er-katkılı numuneden farklı olarak bu numunede ($30^{\circ}\text{C}/\text{dk}$ ' lik ısıtma hızı hariç) 500°C civarında 3 tane ekzotermik pik elde edilmiştir, Şekil 5.24 ve Çizelge 5.20. 488 ile 512°C ' ler arasında oluşan bu birinci ekzotermik aktiviteleri daha yüksek şiddetteki diğer bir ekzotermik pik, ısıtma hızına bağlı olarak 504-526 $^{\circ}\text{C}$ ' ler arasında takip etmiştir. 3. ekzotermik pik ise 534 ile 552°C ' ler arasında oluşmuştur. Bu piklerden birincisi çekirdeklenmeye karşılık gelmekteden, ikincisi 1. kristalleşme sıcaklığını ve üçüncü aktivite de safsızlık fazlarının oluşmaya başladığı sıcaklık olarak tanımlanmıştır. 780 ile 804°C ' ler arasında oluşan pikler ise $\text{Bi}-2201$ ($n=1$) fazının oluşmaya başladığı sıcaklıklar olarak kabul edilmektedir.



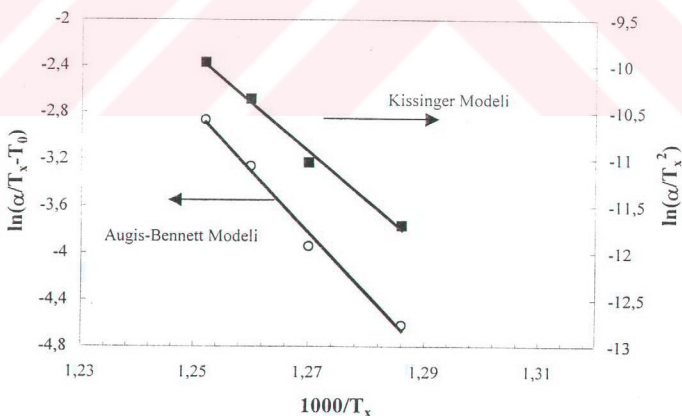
Şekil 5.24. $x=1.0$ Er katkılı Bi-2223 sistemine ait DTA grafikleri. Isıtma hızları: a) $\alpha=5^{\circ}\text{C}/\text{dk}$, b) $\alpha=10^{\circ}\text{C}/\text{dk}$, c) $\alpha=20^{\circ}\text{C}/\text{dk}$ ve d) $\alpha=30^{\circ}\text{C}/\text{dk}$.

Bu katkı seviyesinde de sisteme oluşması beklenen erime sıcaklığının 950°C 'nin üzerinde olduğu görülmektedir. Çünkü, 950°C 'ye kadar alınan DTA verilerinde bu durum tespit edilememiştir.

Çizelge 5.20. $x=1.0$ Er katkılıaması ile elde edilen DTA verileri

Isıtma hızı ($^{\circ}\text{C/dk}$)	T_{x1} ($^{\circ}\text{C}$)	T_{x2} ($^{\circ}\text{C}$)	T_{x3} ($^{\circ}\text{C}$)	T_{x4} ($^{\circ}\text{C}$)
5	488.20	504.79	534.65	780.93
10	498.94	514.16	542.74	791.17
20	512.24	520.63	543.37	798.69
30	-	525.84	551.91	804.90

Er konsantrasyonunun artması ile hesaplanan kristalleşme için aktivasyon enerjilerinde de artma olduğu belirlenmiştir, Şekil 5.25 ve Çizelge 5.21. Bu, Er katkılımasının BSCCO sisteminde yüzey kristalleşmesini artırıcı yönde bir etki sağladığını göstermektedir. Aynı zamanda, sistemdeki kristalleşmenin daha kararlı hale geleceğinin göstergesi de olmaktadır.



Şekil 5.25. $x=1.0$ -Er katkılı numunede kristalleşme aktivasyon enerjisi için Augis-Bennett ve Kissinger Modelleri kullanılarak elde edilen grafikler.

Çizelge 5.21. $x=1.0$ oranında Er-katkılı Bi-2223 sistemi için hesaplanan aktivasyon enerjisi ve diğer katkılama seviyeleri ile karşılaştırılması.

Katkı miktarı	Augis-Bennett Modeli (kJ/mol)	Kissinger Modeli (kJ/mol)
x		
0.0	339.18	336.46
0.5	409.02	406.02
1.0	437.46	434.37

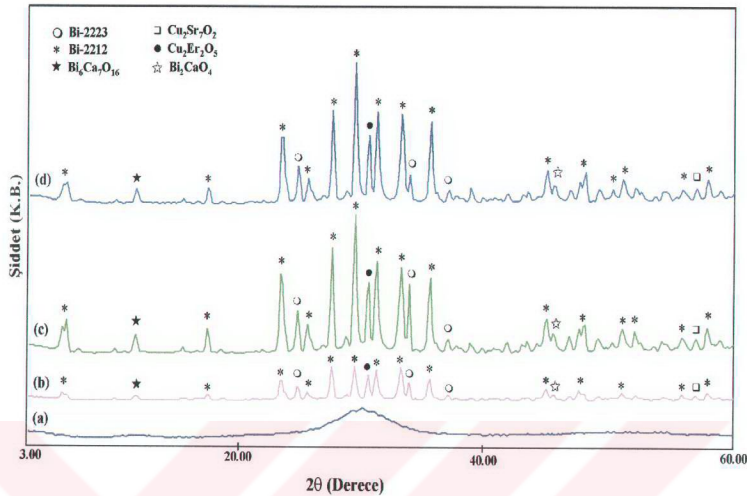
5.9.2. X-İşimi (XRD) Sonuçları

Şekil 5.26' da $x=1.0$ Er katkılı Bi-2223 sistemine ait XRD grafikleri verilmektedir. Sistemde Er konsantrasyonu artırıldığında hazırlanan cam numunede herhangi bir kristalleşme meydana gelmediği görülmüştür. Bir önceki katkılama seviyesinde olduğu gibi $20\approx30^{\circ}$ civarında elde edilen geniş pik hazırlanan numunenin tamamen amorf olduğunu göstermektedir, Şekil 5.26.a. Bu durum Er' un sistemin cam özellikleri üzerine herhangi negatif etki yapmadığını göstermektedir.

900°C de 60 saat ıslı işlem yapıldığında sistemde ana faz olarak Bi-2212 ($n=2$) fazı oluşturmaktadır, Şekil 5.26.b. Ancak, katkısız örnekle karşılaştırıldığında optimum ıslı işlem sıcaklığının $40\text{-}50^{\circ}\text{C}$ arttığı görülmektedir. Bununla birlikte, sistemde Bi-2223 ($n=3$), $\text{Bi}_6\text{Ca}_7\text{O}_{16}$, Bi_2CaO_4 , $\text{Cu}_2\text{Er}_2\text{O}_5$ ve $\text{Cu}_2\text{Sr}_7\text{O}_2$ safsızlık fazları da ortaya çıkmaktadır.

İslı işlem süresi 120 saatte çıkartıldığında ise ana faz olan Bi-2212 ($n=2$)' ye ait piklerin şiddetlerinde ~ 2 kat artma olduğu gözlenmiştir, Şekil 5.26.c. ıslı işlem süresinin artırılması ile süperiletken fazlar (kristalleşme) daha belirgin olarak oluşmaktadır. Bununla birlikte, bir önceki ıslı işlemde elde edilen ikincil (safsızlık) fazları bu numunede de elde edilmektedir. Özellikle, Er ihtiyaca eden safsızlık fazlarının pik şiddetlerinde artma olduğu gözlenmektedir.

240 saat ıslı işlem yapıldığında ise pik şiddetlerinde herhangi bir değişiklik meydana gelmediği görülmektedir, Şekil 5.26.d. Önceki ıslı işlemde elde edilen pikler, ki buna safsızlık pikleri de dahil, bu örnekte de gözlenmektedir. Bu durum, sistemde yapılacak olan 900°C de 120 saatlik ıslı işlemin gerekli süperiletken fazların oluşumu için yeterli olacağını ortaya koymaktadır.



Şekil 5.26. $\text{Bi}_2\text{Sr}_2\text{Ca}_2\text{Cu}_2\text{ErO}_{10+\delta}$ numunesine ait XRD grafikleri; a) Cam, b) 900°C de 60 saat ıslı işlem görmüş, c) 900°C de 120 saat ıslı işlem görmüş ve d) 900°C de 240 saat ıslı işlem görmüş örnekler.

$x=1.0$ Er katkılı numunenin kristal simetrisi tetragonalıdır ve birim hücre parametreleri $a=b=5.8230 \text{ \AA}$ ve $c=31.5132 \text{ \AA}$ olarak hesaplanmıştır. Numunelerin Scherrer metodu ile hesaplanan kristal büyüklükleri Çizelge 5.22' de verilmektedir.

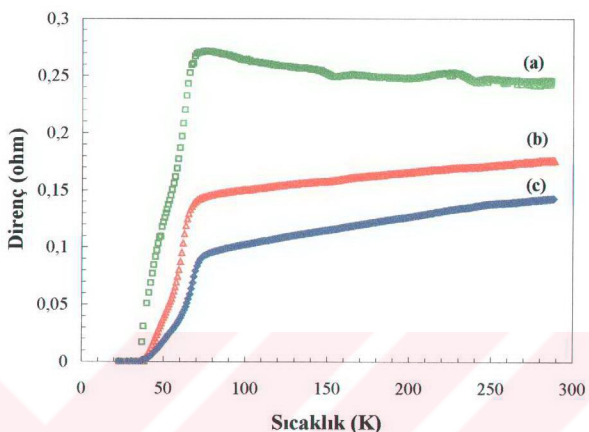
Çizelge 5.22. $x=1.0$ Er katkılı numunenin kristalografik özellikleri.

Isıl İşlem	Atmosfer	Süperiletken	Kristal Büyüklüğü (L)
		Faz	$\approx (\text{\AA})$
900°C de 60 saat	O_2	$n=2$	>1000
900°C de 120 saat	O_2	$n=2$	>1000
900°C de 240 saat	O_2	$n=2$	>1000

5.9.3. Direnç Ölçüm (R-T) Sonuçları

$\text{Bi}_2\text{Sr}_2\text{Ca}_2\text{Cu}_2\text{ErO}_{10+\delta}$ sistemine ait direnç-sıcaklık grafikleri Şekil 5.27' de gösterilmektedir. 900°C de 60 saat ıslı işlem görmüş numunenin normal durum direnci $x=0.5$ Er katkılı örnekten farklı olarak oda sıcaklığından geçiş sıcaklığına kadar

yarıiletken davranış göstermektedir, Şekil 5.27.a. Geçiş sıcaklığı $T_c=69.72\pm0.1$ K' de ve sıfır direnç sıcaklığı $T_0=35.52\pm0.1$ K' de elde edilmiştir.



Şekil 5.27. a) 900°C ' de 60 saat, b) 900°C ' de 120 saat ve c) 900°C ' de 240 saat ıslı işlem görmüş $\text{Bi}_2\text{Sr}_2\text{Ca}_2\text{Cu}_2\text{ErO}_{10+\delta}$ numunesine ait direnç-sıcaklık (R-T) grafikleri.

Aynı katkı seviyesinde 120 saat ıslı işlem yapıldığında 60 saat ıslı işlem gören numunedeği yarıiletken davranış değişmiş ve oda sıcaklığından itibaren geçiş sıcaklığına kadar metalik davranış belirlenmiştir. $T_c=71.64\pm0.1$ K' de elde edildikten sonra direncin 37.02 ± 0.1 K' de sıfıra düşüğü bulunumuştur, Şekil 5.27.b.

Örnek 240 saat ıslı işlem yapıldığında 120 saat ıslı işlem yapılmış örnekle benzer bir trend göstermiştir, Şekil 5.27.c. Ancak, oda sıcaklığı direnci ıslı işlem süresinin artırılması ile belirgin bir düşme göstermiştir. Bu örnekte geçiş sıcaklığı $T_c=75.95\pm0.1$ K ve sıfır direnç sıcaklığı ise $T_0=37.2\pm0.1$ K olarak bulunmuştur.

Er kataklı örneklerin genel olarak elektriksel direnç eğrileri tartışıldığında 60 saat ıslı işlem gören örneğin tanecikler arası bağlantısının (grain connectivity) zayıf olduğu, bununla birlikte ıslı işlem süresinin yetersiz olmasından dolayı safsızlık fazlarının difüzyon sonucunda yapıya (süperiletken fazlara) tam olarak dağılmaması ve bunun sonucu olarak ta elektronik dengenin yeterince kurulamaması oda sıcaklığından daha düşük sıcaklıklarda inildikçe örneğin yarıiletken trende girdiği gözlenmiştir. Bununla birlikte, ıslı işlem süresinin 2 kat artırılması ($60 \rightarrow 120$ saat) yapıdaki iyonik difüzyonun hızlanması dolayısıyla süperiletken faz oluşumuna ve tanecikler arası bağlanmanın

güçlenmesine sebep olmaktadır. Isıl işlem süresinin 240 saatte çıkarılması ise sadece normal durum direncinin düşmesine ve T_c ' de az da olsa bir artışa sebep olmakla birlikte safsızlık fazlarının tam olarak yapıya dağılamamasından T_c ' den sonra T_θ ' a kadar $\Delta T (= T_c - T_\theta)$ aralığının daha da uzamasına neden olmuştur.

5.9.4. Hole Konsantrasyonu

Sistemin hole konsantrasyonunda elde edilen azalma üretilen örneklerin Bi-2201 bölgесinden Bi-2212 bölgesine kaydığını göstermektedir.

Çizelge 5.23. $\text{Bi}_2\text{Sr}_2\text{Ca}_2\text{Cu}_2\text{ErO}_{10+\delta}$ sistemine ait elektriksel ölçüm ve hole konsantrasyonu sonuçları.

Isıl İşlem	T_c (K)	T_θ (K)	ΔT (K)	Hole Konst. p
900°C-60 s	70	36	34	0,228
900°C-120 s	72	37	35	0,226
900°C-240 s	76	37	39	0,221

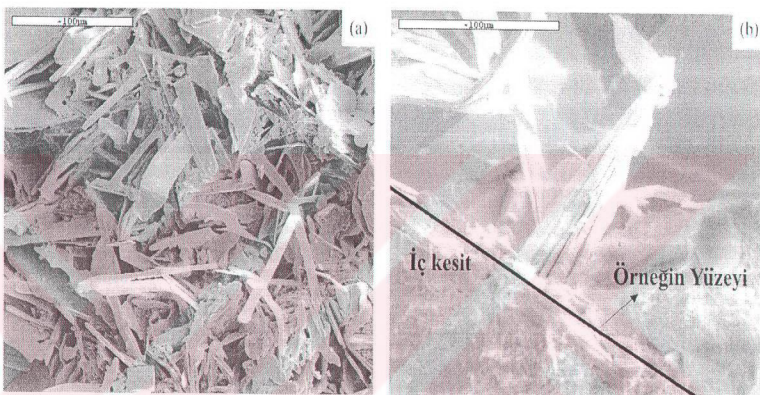
5.10. SEM Sonuçları

Diğer örneklerde olduğu gibi Er katkılı sistem için de optimum sonuçların alındığı örnekler SEM' de incelenmiştir. Er-katkılı Bi-2:2:2.5:0.5 numunesi için alınan SEM fotoğrafı Şekil 5.28.a' da görülmektedir. Sistemde oldukça yoğun rasgele yönelmiş yapraksi bir yapılanma (kristalleşme) olduğu belirlenmiştir. Bu tür bir yapılanma BSCCO-2212 sisteminin genel karakteristiğini yansımaktadır. Sistemde tercihli bir yönelmenin olmadığı XRD sonuçları ile de doğrulanmaktadır. Bu tip kristal büyümesi aslında akım taşıma karakteristiğini düşürdüğü için tercih edilen bir yapılanma türü değildir.

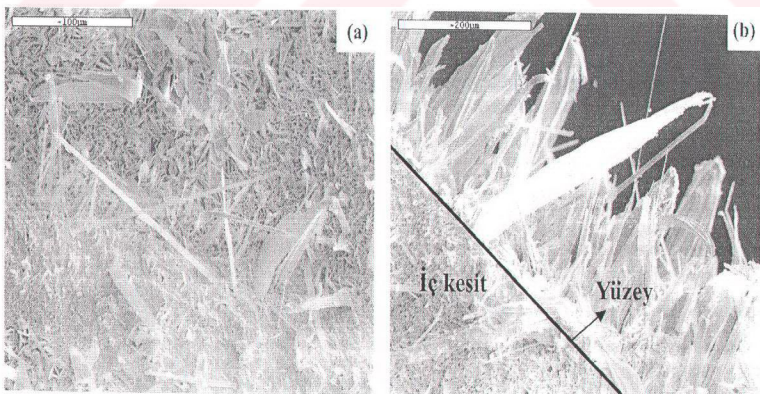
Aynı örneğe kesitten bakıldığından bahsedilen yapraksi kristalleşmenin aslında örnek yüzeyinde $\approx 100-150 \mu\text{m}$ büyüğünde wishker şeklinde olduğu görülmektedir, Şekil 5.28.b. Özellikle, erime sıcaklığına yakın sıcaklıklarda O_2 ortamında yapılan isıl işlemlerde BSCCO sisteminde bu tip kristallerin olduğu sık sık görülmektedir [239].

$x=1.0$ Er-katkılı sisteme ait SEM fotoğrafta yapraksi kristallerin bu numunede de olduğu görülmektedir, Şekil 5.29.a. Bununla birlikte, numunedeki yerde erimelerin

olduğu tespit edilmiştir. Bazı wishkerlerin boyutlarının $\sim 300\mu\text{m}$ ' ye ulaşması sistemde yüzey enerjisinin (surface energy) arttığı anlamına gelmektedir. Örneğe kesitten bakıldığından, Şekil 5.29.b, wishkerlerin çoğunun yüzeye dik olarak ve bir kısmının da farklı açılarda büyülüdüğü görülmektedir. Daha önce belirtildiği gibi BSCCO sistemi eğer O_2 atmosferinde ısıl işlem yapılyorsa bu durum bir genel karakteristik olarak ortaya çıkmaktadır. Ancak, örneklerin genel elektriksel taşıyıcılık (electrical transport) özellikleri üzerinde de oldukça olumsuz bir etki yapmaktadır.



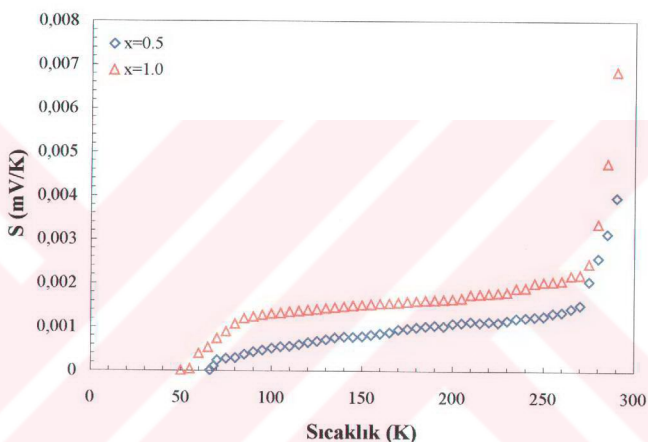
Şekil 5.28. a) $x=0.5$ Er-katkılı numunenin 400 büyütme ile alınmış elektron mikroskopu fotoğrafı, b) numunenin kesitten alınan görüntüsü ve yüzeyinde oluşan wishkerler.



Şekil 5.29. a) $x=1.0$ Er-katkılı numunenin 400 büyütme ile alınmış elektron mikroskopu fotoğrafı, b) numunenin kesitten alınan görüntüsü ve yüzeyinde oluşan wishkerler.

5.11. $\text{Bi}_2\text{Sr}_2\text{Ca}_2\text{Cu}_{3-x}\text{Er}_x\text{O}_{10+\delta}$ ($0.5 \leq x \leq 1.0$) Sistemine Ait Termoelektrik Güç (S(T)) Sonuçları

Mo-katkılı sistemden farklı olarak Er-katkılı numunelerde pozitif termoelektrik güç elde edilmiştir. $x=0.5$ -Er katkılı numunenin termoelektrik güç eğrisinde 300 K civarında gözlenen şiddetli düşmeden sonra 270 ile 80 K arasında S(T) lineer olarak azalmıştır, Şekil 5.30. T_{pik} 80 K' de elde edildikten sonra T_c ($T_c = 71$ K) civarında S(T) sıfıra düşmüştür.



Şekil 5.30. (\diamond) 890°C de 240 saat ısıl işlem görmüş $x=0.5$ -Er katkılı, (Δ) 900°C de 240 saat ısıl işlem görmüş $x=1.0$ -Er katkılı numunelerin (S-T) grafikleri.

$x=1.0$ oranında Er katkılı sistem için de benzer bir trend elde edildi. Ancak, katkılamanın artması ile S(T)'nin büyülüklüğünde artma olmuştur. Yine 300 K civarında S(T)'de şiddetli bir düşme meydana gelmiş ve 270 ile 70 K arasında S(T) hemen hemen lineer olarak azalmıştır. T_{pik} 70 K' de meydana geldikten sonra daha önceki örneklerde olduğu gibi T_c ($T_c = 76$ K) civarında S(T) sıfıra düşmüştür.

Sisteme Er-katkılaması yapıldığında pozitif termoelektrik gücün elde edilmesi sistemde iletkenliğin p-tipi olduğunu yani sistemde baskın yük taşıyıcılarının holler olduğunu ortaya koymaktadır.

T_{pik} ' den hemen sonra S(T)' nin sıfıra düşmesi yani bu lineer davranıştan sapmanın fonon-çekim (fonon-drag) etkisinin artmasından kaynaklandığı

düşünülmektedir. Çünkü, fononik ısı akımında meydana gelecek bir artma elektronlara aktarılan momentumda da artma olmasına neden olacaktır. Bu da artan bir fonon-çekim (fonon-drag) etkisine yol açar.

Çizelge 5.24. Er-katkılı sistemde elde edilen T_{pik} değerleri.

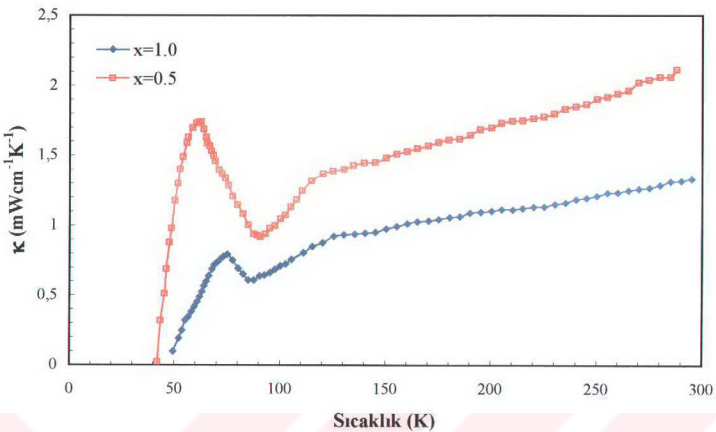
Katkılama (x)	T_{pik} (K)
0.5	80
1.0	70

Çalışmamızda elde edilen S(T) eğrileri literatürde mevcut olan katkısız Bi-2212 tek kristallerin sonuçları ile karşılaştırıldığında oldukça benzer sonuçların elde edildiği görülmektedir [170, 240]. Literatürde elde edilen sonuçların ab düzlemi boyunca yapılan ölçüm sonuçları olması bizim çalışmada da wishkerlerin büyümeye yönünün a-b doğrultusu boyunca olabileceğini ortaya çıkarmaktadır. Ayrıca, XRD sonuçlarında da c-ekseni yönünde belirgin bir yönelmenin olmaması bu durumu güçlendirmektedir.

İki katkılama seviyesinde de benzer S(T) eğrileri elde edilmiştir. Böylece, katkılama ile yapıda oluşan bozulma (disorder) potansiyeli termoelektrik güç üzerinde az bir etkiye sahip olmaktadır. Bununla birlikte, S(T)'nin büyülüğünün katkılama ile artmasının Cu'ın (+2) yerine katılanan Er'ın +3 değerlikte olmasından dolayı bandların dolmasında (band-filling) meydana gelen artmadan kaynaklandığı düşünülmektedir.

5.12. $\text{Bi}_2\text{Sr}_2\text{Ca}_2\text{Cu}_{3-x}\text{Er}_x\text{O}_{10+\delta}$ ($0.5 \leq x \leq 1.0$) Sistemine Ait Termal İletkenlik ($\kappa(T)$) Sonuçları

Er-katkılı sistemin $\kappa(T)$ grafikleri Şekil 5.31' de görülmektedir. Normal durum termal iletkenliği Er konsantrasyonu $x=0.5'$ ten $x=1.0'$ a çıktığında %40 azalmaktadır. Özellikle T_c 'nin hemen altında $\kappa(T)$ 'de ani bir artma olmakta ve sıcaklığın daha da azalması ile $\kappa(T)$ sıfır düşmektedir. Bu ani artma taşıyıcılar tarafından fononların saçılmasındaki azalmanın bir sonucu olarak örgü ısı iletimindeki artmayı göstermektedir. Bu durumda fononlar artık momentumlarını kaybetmeyecekler ve dolayısıyla fonon saçılması meydana gelecek azalma fonon ortalama serbest yolunda ki artmayı gösterecektir.



Şekil 5.31. (□) 890^0C ’de 240 saat ıslık işlem görmüş $x=0.5$ -Er katkılı, (♦) 900^0C ’de 240 saat ıslık işlem görmüş $x=1.0$ -Er katkılı numunelerin (κ -T) grafikleri.

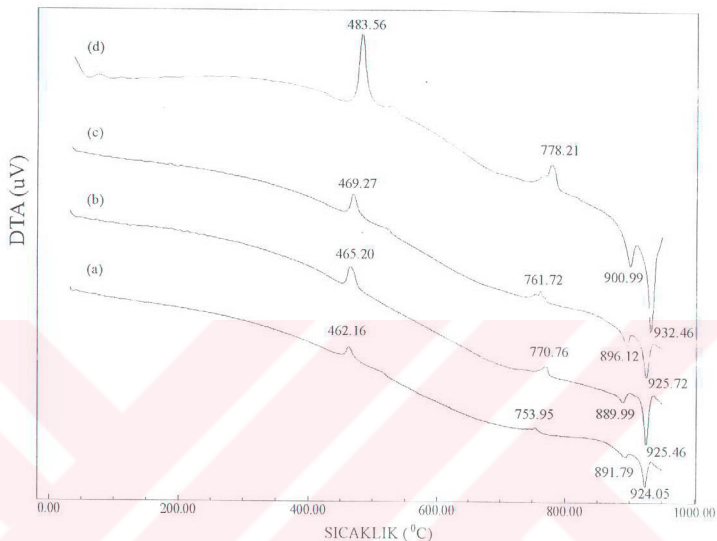
Sistemdeki katkılama konsantrasyonunun artması ile maksimum pik düşük sıcaklıklara doğru kaymakta ve büyüklüğü de azalmaktadır. Katkılama ile pik büyüklüğünün azalması fonon ortalama serbest yolunda ki kusalmayı göstermektedir. Bu da fonon saçılmasındaki artmanın bir sonucudur. Elde edilen maksimumdan sonra κ yavaşça sıfıra doğru azalmaktadır. Bu azalma ise süperiletken çiftlerin artık ısı taşıyamamalarından kaynaklanmaktadır.

5.13. $\text{Bi}_2\text{Sr}_2\text{Ca}_2\text{Cu}_{2.5}\text{Pr}_{0.5}\text{O}_{10+\delta}$ Sistemi

5.13.1. DTA Sonuçları

$\alpha=5, 10, 20$ ve $30^0\text{C}/\text{dk}$ ısıtma hızlarında alınmış $x=0.5$ Pr-katkılı Bi-2223 sisteminin DTA grafikleri Şekil 5.32’de ve sonuçlar Çizelge 5.25’de verilmektedir. 1. kristalleşme sıcaklığı, T_{xI} , ısıtma hızlarına bağlı olarak 462 ile 484^0C ’ler arasında elde edilmiştir. Bu sıcaklıklarda gözlenen ekzotermik aktivite CuPr_2O_4 , CuPr_2O_2 , $\text{Cu}_2\text{Sr}_3\text{O}_7$ ve $\text{Bi}_{0.35}\text{Pr}_{0.65}\text{O}_3$ gibi safsızlık fazlarının oluşmaya başladığı sıcaklıkla karşılık gelmektedir. Er-katkılı sistemde olduğu gibi ısıtma hızlarına bağlı olarak 754 ile 778^0C arasında

ikinci kristalleşme sıcaklığı, T_{x2} , elde edilmiştir. Bu sıcaklıkta ise Bi-2201 ($n=1$) fazı oluşmaya başlamaktadır.



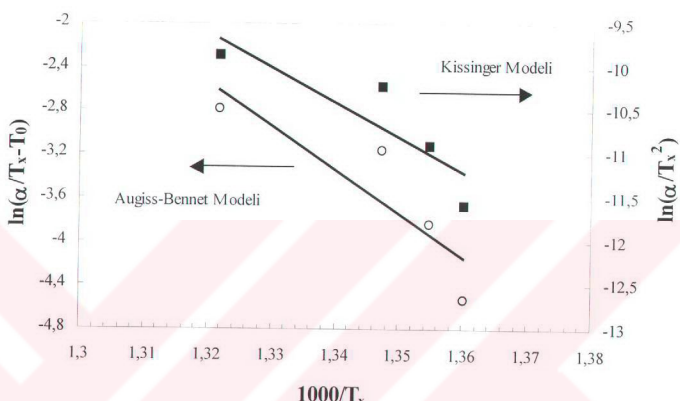
Şekil 5.32. $x=0.5$ -Pr katkılı Bi-2223 sistemine ait DTA grafikleri. Isıtma hızları: a) $\alpha=5$ $^{\circ}\text{C}/\text{dk}$, b) $\alpha=10$ $^{\circ}\text{C}/\text{dk}$, c) $\alpha=20$ $^{\circ}\text{C}/\text{dk}$ ve d) $\alpha=30$ $^{\circ}\text{C}/\text{dk}$.

Bundan sonraki sıcaklıklarda ise art arda iki tane endotermik aktivite elde edildi. Bu aktivitelерden 892 ile 901°C arasında olan birinci aktivite kısmi erime muhtemelen Bi-2212 fazının oluşum sıcaklığını ve 925 ile 932°C arasında olan ikinci aktivite ise yapıda daha geniş çaplı oluşan bir kısmı erime sıcaklığını, T_{KM} , göstermektedir.

Çizelge 5.25. $x=0.5$ Pr katkılama ile elde edilen DTA verileri.

Isıtma hızı ($^{\circ}\text{C}/\text{dk}$)	T_{x1} ($^{\circ}\text{C}$)	T_{x2} ($^{\circ}\text{C}$)	T_{endo} ($^{\circ}\text{C}$)	T_{KM} ($^{\circ}\text{C}$)
5	462.16	753.95	891.79	924.05
10	465.20	770.76	889.99	925.46
20	469.27	761.72	896.12	925.72
30	483.56	778.21	900.99	932.46

T_x , Mo ve Er-katkılı kompozisyonlardan farklı olarak daha düşük sıcaklıklarda meydana gelmektedir. Bu durumda Pr yapıdaki iyonların termal aktivitelerini artırarak kristalleşmenin daha düşük sıcaklıklarda oluşmasına neden olduğu sonucuna gitmektedir. Aynı zamanda, yüzey çekirdeklenmesinde olacak artma da kristalleşmenin daha düşük sıcaklıklarda başlamasının bir sebebi olabilmektedir.



Şekil 5.33. $x=0.5$ -Pr katkılı numunedeki kristalleşme aktivasyon enerjisi için Augis-Bennett ve Kissinger Modelleri kullanılarak elde edilen grafikler.

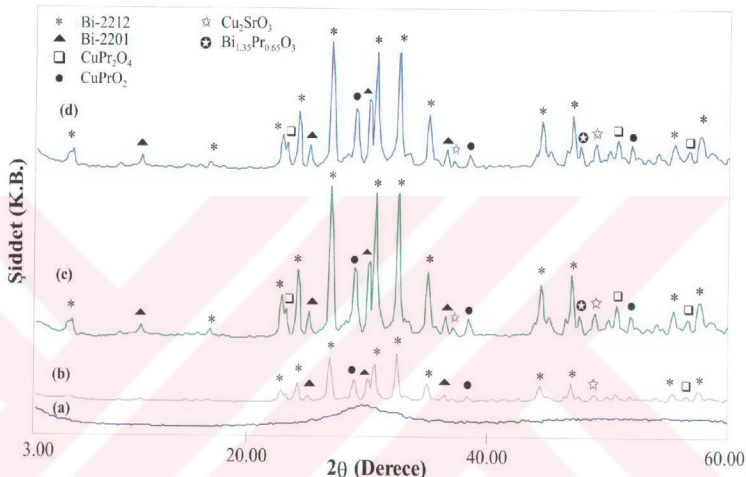
Hesaplanan kristalleşme için aktivasyon enerjisi grafikleri Şekil 5.33'de verilmektedir. Elde edilen sonuçlar ise Çizelge 5.26'da verilmektedir. Hesaplanan aktivasyon enerjilerinde katkısız sisteme göre ~ 38 kJ/mol'luk bir artma olmaktadır. Böylece, Pr katkısı ile aslında termodinamiksel olarak daha kararlı sistem elde edilmektedir. Aktivasyon enerjisindeki artma aynı zamanda numunedeki yüzey çekirdeklenmesinin arttığını ve kristallerin yüksek viskositeli amorf yapı içinde büyüdüğünü de ortaya koymaktadır.

Çizelge 5.26. Katkısız ve $x=0.5$ oranında Pr katkılı Bi-2223 sistemi için hesaplanan aktivasyon enerjileri

Katkı Miktarı	Augis-Bennett Modeli (kJ/mol)	Kissinger Modeli (kJ/mol)
x		
0.0	339,18	336,46
0.5	377,37	374,75

5.13.2. X-Işını (XRD) Sonuçları

Eritilip hızlı soğutulmuş (cam) $x=0.5$ -Pr katkılı numuneye ait XRD grafiği Şekil 5.34.a' da görülmektedir. Pr-katkılaması sonucunda amorf malzemelerin karakteristiği olan $20 \pm 30^\circ$ civarında geniş pik elde edilmiştir. Dolayısıyla, uzun düzende herhangi bir atomik düzenlenme ve 3-boyutta periyodiklik olmadığı bu örnekte de görülmektedir.



Şekil 5.34. $\text{Bi}_2\text{Sr}_2\text{Ca}_2\text{Cu}_{2.5}\text{Pr}_{0.5}\text{O}_{10+\delta}$ numunesine ait XRD grafikleri; a) Cam, b) 850°C de 40 saat ısıl işlem görmüş, c) 850°C de 60 saat ısıl işlem görmüş ve d) 850°C de 120 saat ısıl işlem görmüş örnekler.

850°C de 40 saat ısıl işlem görmüş numuneye ait XRD grafiği Şekil 5.34.b' de verilmektedir. Bu numunedede pik şiddetleri düşük olmakla beraber ana faz olarak Bi-2212 ($n=2$) fazı elde edilmiştir. Ancak, sistemde Bi-2223 ($n=3$) fazına rastlanmamıştır. Bi-2212 ($n=2$) fazına ilaveten sistemde Bi-2201 ($n=1$) düşük sıcaklık fazı, CuPr_2O_4 , CuPrO_2 , Cu_2SrO_3 ve $\text{Bi}_{1.35}\text{Pr}_{0.65}\text{O}_3$ safsızlık fazları da oluşmuştur.

Isıl işlem süresi 60 saatte çıkartıldığında Bi-2212 ($n=2$) fazına ait piklerin şiddetlerinde artma olduğu saptandı, Şekil 5.34.c. Bu da ısıl işlem süresinin uzatılması ile süperiletken fazların kristalleşmesinin daha düzenli hale geldiğini göstermektedir. Bununla birlikte, sistemde 40 saat ısıl işlem görmüş numune ile aynı safsızlık fazları elde edilmiştir. Bu durum safsızlık fazlarının materyal içinde tamamen çözülemediğini ve iyonların yapıya tam olarak difüz olacak aktifliğe ulaşmadığını göstermektedir.

Bu katkılama seviyesinde 120 saat ıslı işlem yapıldığında 60 saat ıslı işlem görmüş numunenin XRD' sine kıyasla herhangi bir değişiklik olmadığı görülmektedir, Şekil 5.34.d. Dolayısıyla, ıslı işlem süresinin artırılması safsızlık iyonları üzerinde herhangi bir termodinamik etki yapmamaktadır. Sistemde yine Bi-2212 (n=2) fazı ana faz olarak elde edilmekte ve aynı safsızlık fazları da oluşmaktadır.

Sisteme $x=0.5$ oranında Pr katkılandığında kristal simetrisi tetragonal olarak elde edilmiştir. Birim hücre parametreleri $a=b=5.3990 \text{ \AA}$ ve $c=31.3011 \text{ \AA}$ olarak hesaplanmıştır. Scherrer Metodu ile hesaplanan kristal büyülüğu ise Çizelge 5.27'de verilmektedir. Bu katkılama seviyesinde kristal büyülüklükleri diğer katkılamlara göre küçülmektedir. Bunun fiziksel etkileri ise sonraki bölümde tartışılacaktır.

Çizelge 5.27. $x=0.5$ Pr katılı numunenin kristalografik özelliklerini.

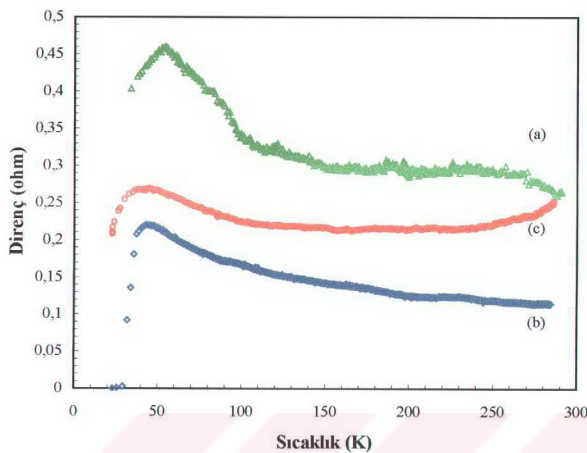
Isıl İşlem	Atmosfer	Süperiletken	Kristal Büyüülüğu (L)
			$\approx (\text{\AA})$
$850^0\text{C}'$ de 40 saat	O ₂	n=2	258
$850^0\text{C}'$ de 60 saat	O ₂	n=2	272
$850^0\text{C}'$ de 120 saat	O ₂	n=2	295

5.13.3. Direnç Ölçüm (R-T) Sonuçları

$x=0.5$ -Pr katılı numunelerin direnç-sıcaklık (R-T) grafikleri Şekil 5.35' de verilmiştir. $850^0\text{C}'$ de 40 saat ıslı işlem görmüş numune oda sıcaklığından T_c' ye kadar oldukça düzensiz ve yarıiletken trend göstermektedir. $T_c'=54 \text{ K}'$ de elde edildikten sonra direnç değerinde bir düşme başladığı halde 20 K' ne kadar sıfır düşmemiştir, Şekil 5.35.a. Cryostat ünitesi 20 K' ne kadar inebildiğinden bu sıcaklığın altında numunenin süperiletken olup olmadığı ise tespit edilememiştir.

$850^0\text{C}'$ de 60 saat ıslı işlem yapıldığında numune yine T_c' ye kadar yarıiletken davranış sergilemiştir, Şekil 5.35.b. Geçiş sıcaklığı, T_c , 46 K' de elde edilmiştir. Isıl işlem süresinin artması ile normal durum direncinde yarı yarıya bir azalma olduğu gözlenmiştir ve numunede sıfır direnç $T_0=29 \text{ K}'$ de elde edilmiştir.

$850^0\text{C}'$ de 120 saat ıslı işlem yapıldığında normal durum direncinde artma olmaktadır, Şekil 5.35.c. Bununla birlikte, örnek geçiş sıcaklığına kadar yine yarıiletken özellik göstermiş ve $T_c=37 \text{ K}'$ de ise düşmeye başlamasına rağmen 20 K' ne kadar sıfır direnç değerine ulaşılamamıştır.



Şekil 5.35. a) 850°C ’de 40 saat, b) 850°C ’de 60 saat ve c) 850°C ’de 120 saat ısıl işlem görmüş $\text{Bi}_2\text{Sr}_2\text{Ca}_2\text{Cu}_{2.5}\text{Pr}_{0.5}\text{O}_{10+\delta}$ numunesine ait direnç-sıcaklık (R-T) grafikleri.

$x=0.5$ -Pr katkılıması metal-yariletken geçiş için ilginç bir örnek olarak ortaya çıkmaktadır. Sistemde görülen yarıletken davranış katkılamanın indüklediği yük taşıyıcılarının safsızlık ile süperiletken fazlar arasında lokalize olduğunu göstermektedir. ısıl işlem süresinin artması ile normal durum direncinde meydana gelen azalma lokalizasyon davranışının zayıfladığı anlamına gelmekte ancak tam olarak bunun ortadan kalktığı kanıtlanamamaktadır. Özellikle küçük kristallerden oluşan bu sistemde kristal ara yüzeylerinde (kontak yüzeylerde) ciddi safsızlık fazlarının oluşmuş olabileceği savı burada güvlenmektedir.

5.13.4. Hole Konsantrasyonu

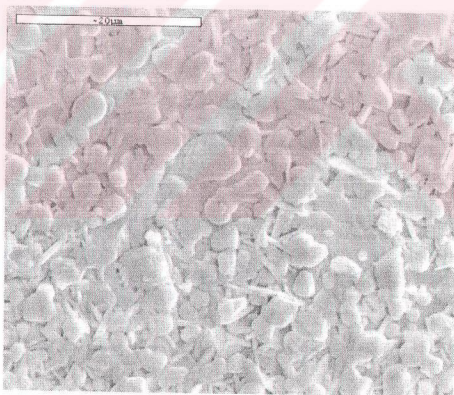
Denklem (3.3)* e göre hesaplanan CuO düzlemi başına hole konsantrasyonu Çizelge 5.28’de verilmektedir. Bi-2212 fazı için olan hole konsantrasyonu üst sınırı 0.22 iken Pr-katkılı sistemde hole konsantrasyonu bu limitin üzerinde bulunmuştur. Böylece, Pr katkılıması ile Bi-2201 fazının hole konsantrasyon bölgесine girilmektedir. Bu durum hem XRD hem de R-T sonuçlarında elde edilen verilerle uyusum içindedir.

Çizelge 5.28. $\text{Bi}_2\text{Sr}_2\text{Ca}_2\text{Cu}_{2.5}\text{Pr}_{0.5}\text{O}_{10+\delta}$ sistemine ait elektriksel ölçüm ve hole konsantrasyonu sonuçları.

Isıl İşlem	T_c (K)	T_o (K)	ΔT (K)	Hole Konst. p
850°C-40 s	54	-	-	0.238
850°C-60 s	46	29	17	0.243
850°C-120 s	37	-	-	0.249

5.14. $\text{Bi}_2\text{Sr}_2\text{Ca}_2(\text{Cu}_{3-x}\text{Pr}_x)\text{O}_{10+\delta}$ ($x=0.5$) Sistemine Ait SEM Sonuçları

$x=0.5$ Pr-katkılı numuneye ait SEM fotoğrafı Şekil 5.36' da verilmektedir. Örnekte farklı büyülüklüklerde (2-10 μm), rasgele yönelmiş ve zayıf bağlı, tanecikli (granular) yapı oluşturmaktadır. Bi-bazlı HT_c sistemlerde bu tür yapışmanın oluşması mikroyapının kötüleştiğinin ve aynı zamanda diğer fiziksel özelliklerin de bozulduğunun bir göstergesidir.

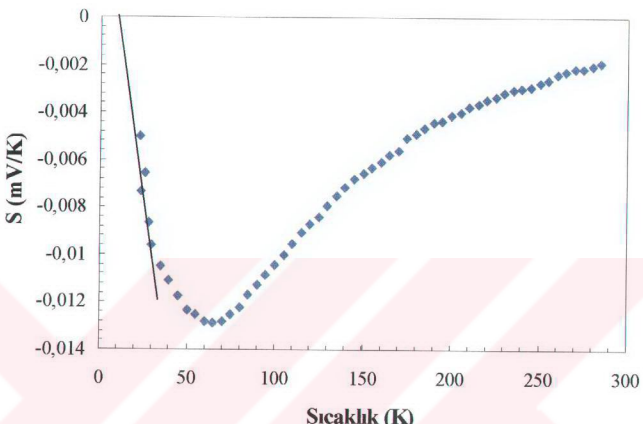


Şekil 5.36. $x=0.5$ Pr-katkılı numunenin 2500 büyütme ile alınmış taramalı elektron mikroskobu fotoğrafı.

5.15. $\text{Bi}_2\text{Sr}_2\text{Ca}_{2.5}\text{Pr}_{0.5}\text{O}_{10+\delta}$ Sistemine Ait Termoelektrik Güç S(T) Sonuçları

850°C de 60 saat isıl işlem görmüş $x=0.5$ Pr katkılı numunenin S(T) eğrisi Şekil 5.37' de verilmiştir. Pr katkılaması ile Bi-2223 sisteminde negatif termoelektrik güç elde edilmiştir. Mo katkılı sistemde olduğu gibi 300 K' den negatif pik sıcaklığı T_{pk}^* e

kadar termoelektrik güç hemen hemen lineer olarak azalmış ve 65 K' de negatif bir pik elde edildikten sonra termoelektrik güç sıfıra yaklaşmıştır. Ancak, S ölçüm ünitesinin limitleri içerisinde (20 K) sıfıra düşmemiştir. Bununla birlikte, noktalar sıfıra extrapolate edildiğinde yaklaşık 10 K civarında S' nın sıfır olduğu ortaya çıkmaktadır.



Şekil 5.37. 850°C' de 60 saat ıslı işlem görmüş x=0.5-Pr katkılı numunenin (S-T) grafiği.

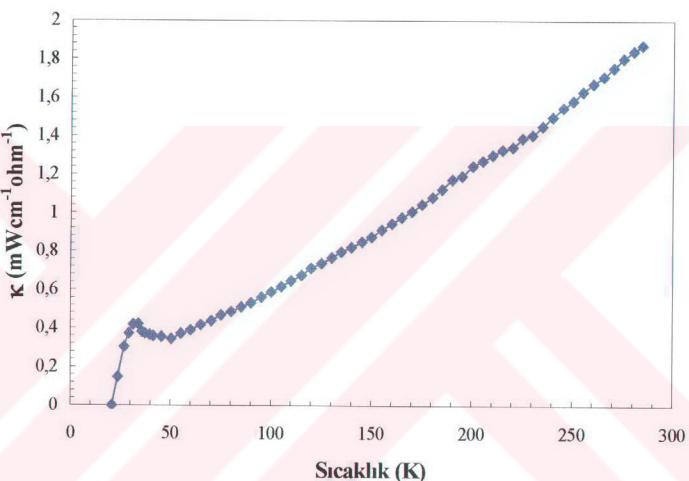
S(T)' nin negatif elde edilmesi gerçeğinden yola çıkararak Pr-katkılı sistemde baskın yük taşıyıcılarının elektronlar olduğu (n-tipi) belirlenmiştir. Ölçümler sonucu elde edilen negatif pik fononik ısı akımında ve bu nedenle de elektronlara aktarılan momentumda artma olması anlamına gelmektedir. Momentumdaki artış ise fonon-çekim (fonon-drag) etkisinin artmasına neden olur. Bu nedenle, hazırlanan Pr-katkılı sistemde elde edilen negatif pikin fonon-çekim etkisinden kaynaklandığı düşünülmektedir.

Çizelge 5.29. Pr-katkılı sistemde elde edilen T_{pik} değeri.

Katkılama (x)	T_{pik} (K)
0.5	65

5.16. $\text{Bi}_2\text{Sr}_2\text{Ca}_2\text{Cu}_{2.5}\text{Pr}_{0.5}\text{O}_{10+\delta}$ Sistemine Ait Termal İletkenlik $\kappa(T)$ Sonuçları

$x=0.5$ -Pr katkılı Bi-2223 sisteminin $\kappa(T)$ eğrisi Şekil 5.38' de verilmektedir. Mo ve Er katkılamalarından farklı olarak sisteme Pr katkılaması yapıldığında biraz daha farklı bir $\kappa(T)$ eğrisi elde edilmiştir. Özellikle, T_c ' nin hemen altında meydana gelen maksimum pik Mo ve Er-katkılamalarından daha düşük şiddette elde edilmekte ancak oda sıcaklığından T_c ' ye kadar olan düşüş diğerlerine göre oldukça hızlı olmaktadır.



Şekil 5.38. 850°C de 240 saat ısıl işlem görmüş $x=0.5$ -Pr katkılı numunenin (κ -T) grafiği.

T_c ' nin hemen altında elde edilen maksimum pik elektron-fonon saçılmasıındaki azalmadan dolayı fonon ortalama serbest yolundaki artmayı göstermektedir. Bununla birlikte, maksimum pik büyüklüğünün Mo ve Er katkılamalarında elde edilen pikkle kıyaslandığında daha küçük olması daha zayıf elektron-fonon çiftlenimi olduğu ve bu nedenle de daha kısa fonon ortalama serbest yolu elde edilmesi anlamına gelmektedir.

Pr' un iyonik yarıçapının Cu' a kıyasla daha büyük olması sonucu sistemde nokta kusurlarının (point defect) da olduğu düşünülmektedir. Bu tip kusurlar birer saçıcı gibi davranışarak ilave bir elektron-fonon saçılması yaratabilmektedir. Bu da T_c civarında $\kappa(T)$ pikinin daha küçük oluşmasının sebeplerinden biridir.

6. TARTIŞMA VE SONUÇ

6.1. Katkılamaların Termal Özelliklere Olan Etkisi

Cu yerine Mo, Er ve Pr-katkılamaları yapılmış Bi-2223 sistemine ait DTA incelemeleri aşağıdaki önemli sonuçları ortaya koymaktadır:

- 1.) Isıtma hızı düşüktür yükseğe doğru artırıldığında ilk kristalleşme sıcaklığı, T_{xI} , yüksek sıcaklık bölgesine doğru kaymaktadır. Bu durum sistemin çekirdeklenme oranı ile ilişkilidir. Isıtma hızı yavaş olduğunda çekirdeklenme için gerekli enerji aralığı daha uzun sürede geçileceğinden çekirdeklenme tesir kesiti de artacaktır. Böylece, kristalleşme için gerekli enerji aralığı daha düşük sıcaklıklarda elde edilecektir. Dolayısıyla bu durum cam-seramik sistemler için beklenen bir etkidir.
- 2.) Mo ve Er-katılım sistemlerde düşük katkılama seviyelerinde 485 ile 540°C arasında çift ekzotermik pik elde edilmektedir. Suzuki vd. bu piklerden birincisinin direk olarak çekirdeklenmeye ve ikinci pikin ise Bi-2201 fazının oluşmaya başladığı sıcaklığa karşılık geldiğini önermektedir [215]. Bununla birlikte, elde edilen bulgular ilk ekzotermik aktivitenin çekirdeklenmenin desteklediği 1. kristalleşme sıcaklığına, T_{xI} , ve ikinci ekzotermik aktivitenin ise muhtemelen katkılama elementinin oluşturduğu safsızlık fazlarının oluşmaya başladığı sıcaklığa karşılık geldiğini ortaya koymaktadır. Bununla birlikte, Pr katkılaması yapıldığında Mo ve Er-katılım kompozisyonlarından farklı olarak sistemde tek ekzotermik aktivite elde edilmiştir ve T_{xI} daha düşük sıcaklıklarda (462 ile 484°C arasında) oluşmuştur.
- 3.) Sistemde katkılama miktarı arttıkça katkı elementi yapı içerisindeki iyonların termal aktivitesini düşürmekte veya artırmaktadır. Kararlı durumdaki cam belli limitler içerisinde katkıyı bünyesine kabul eder. Bu limitin dışında sistemin termodinamik olarak deneye gelmesi daha yüksek/düşük sıcaklıklarda olabilir. Bu durum 1. kristalleşme sıcaklığının, T_{xI} , Mo ve Er-katılıması için daha yüksek sıcaklıklarda ve Pr-katılıması için ise daha düşük sıcaklıklarda meydana geldiğinin bir sebebidir. Ayrıca, T_x ’ lerde görülen artma katkılama miktarı ile numunedeği yüzey çekirdeklenmesinin zayıfladığını göstermektedir.
- 4.) Mo-katılım sistemde 800°C ve Pr-katılım sistemde ise 900°C’ nin üzerinde çift endotermik aktivite elde edildi. Aktivitelерden birincisi, kısmi erimenin olduğu sıcaklığa karşılık gelmektedir, T_{endo} . Bu durum, sistemde yeni bir fazın oluşmaya başladığını ve

bu faz oluşurken de dışarı enerji (isi) verildiğini ortaya koyar. İkinci aktivite ise materyalin kısmı olarak eridiği sıcaklığı, T_{KM} , göstermektedir.

Sistemde Mo konsantrasyonu artıkça sistemin kısmı erime sıcaklığı, T_{KM} , düşük sıcaklık bölgесine doğru kaymıştır. Genel olarak, Bi-2223 fazi 820 ile 880^0C ler arasında dar bir sıcaklık bölgesinde elde edilmektedir. Bununla birlikte, katkı bileşiği MoO_3^- ün erime sıcaklığı 795^0C dir. Mo katkılaması ile Mo kendi termal özelliklerini sisteme adapte etmekte ve sistemin erime sıcaklığı katkı ile sürekli olarak azalmaktadır. $x > 1.5$ olduğunda 810^0C ' ye kadar düşmektedir. Bu nedenle, 810^0C civarında yapılan tavlamalarda numunelerde erime olduğu ve hiçbir süperiletken faz elde edilemeyeceği görülmüştür.

5.) Er' un erime sıcaklığının yüksek oluşu ($T_m=1770^0\text{C}$) Er-katkılı sistemin 900^0C , nin üzerindeki bir sıcaklıkta erimesine neden olmuştur. Er-katkılı sistemde olduğu gibi Pr-katkılmasında da erime sıcaklığı 900^0C ' nin üzerinde elde edilmiştir.

Sonuç olarak Bi-2223 cam-seramik sistemine eğer Er ve Pr katılacaksa;

- Erme sıcaklığı yükselecektir. Buna bağlı olarak ısı işlemi daha yüksek sıcaklıklarda yapılması gerekmektedir.
- Mo-katkılaması yapılması durumunda ise erime sıcaklığı düşmektedir. Buna paralel olarak ısı işlem sıcaklığının $820-840^0\text{C}$ arasında seçilmesi gerekmektedir.

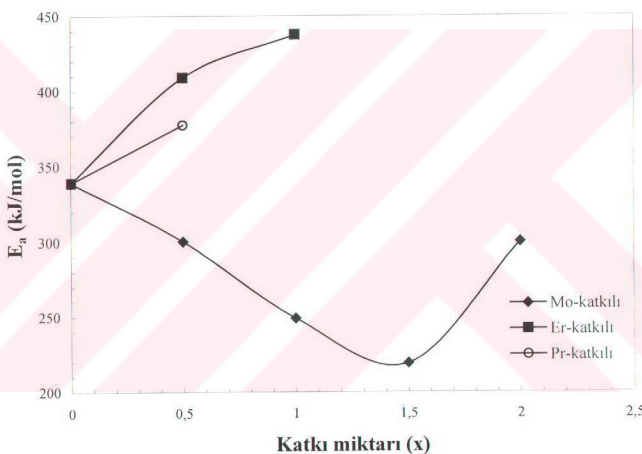
Çizelge 6.1. Mo, Er ve Pr-katkılı Bi-2223 sistemi için hesaplanan aktivasyon enerjileri.

Süperiletken Sistem	Katkı oranı (x)	Augis-Bennett Modeli (kJ/mol)	Kissinger Modeli (kJ/mol)
Bi-2223 katkısız	0.0	339.18	336.46
	0.5	300.34	297.57
	1.0	249.13	245.95
	1.5	219.23	216.04
	2.0	300,10	296,71
	0.5	409.02	406.02
Er-katkılı	1.0	437.46	434.37
Pr-katkılı	0.5	377.37	374.75

Cam-seramik metodu ile hazırlanan kompozisyonların kristalleşme için aktivasyon enerjileri 4 farklı düzgün ısıtma hızı kullanılarak Augis-Bennett ve Kissinger

Metotları ile hesaplandı. Hesaplanan aktivasyon enerjilerinin katkı miktarı ile değişimi Çizelge 6.1 ve Şekil 6.1.'de gösterilmektedir.

Şekil 6.1.' den görülebileceği gibi $x=1.5$ Mo-katkılmasına kadar aktivasyon enerjisi lineer olarak azalmaktadır. Fakat, $x=2.0$ olduğunda aktivasyon enerjisinde ~ 80 kJ/mol' lük bir artma olmuştur. Bilindiği gibi cam-seramik sistemlerde kristalleşme aktivasyon enerjisinin azalan bir trend göstermesi yapının termodynamik olarak daha kararsız bir hale gelmesini sağlar. Bu da kristal fazların farklı formatlarda (yeterince iyonik difüzyonun sağlanamaması durumunda) oluşması anlamına gelmektedir. Dolayısıyla bu bulgular ışığında Mo' in süperiletken faz oluşumuna pozitif yönde bir katkı sağlayamayacağı açıkça ortaya çıkmıştır.



Şekil 6.1. Mo ve Er ve Pr-katkılı sistemlerde E_a' nin katkı miktarına (x) göre değişimi.

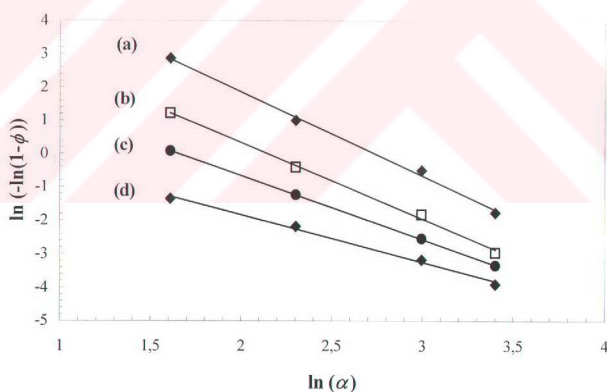
Er-katkılı sistemde ise katkılama ile aktivasyon enerjisinde ~ 98 kJ/mol' lük ve Pr-katkılmasında ise ~ 38 kJ/mol' lük artma olmuştur, Şekil 6.1. Bu durum Er ve Pr' nin yüzey kristalleşmesini artırdığını ve daha kararlı sistemler oluşturduklarını, ayrıca aktivasyon enerjisindeki artma ile de kristallerin yüksek viskositeli süper soğutulmuş sıvı içinde büyüğünü de ortaya koymaktadır. Ancak, düşük sıcaklıklarda oluşan safsızlık fazlarının yapı içerisinde dağılamaması hatta 800°C civarında ara yüzeylerde kendilerinden daha geniş yüzeyle kristaller tarafından izole edilmeleri sonucunda

beklenen süperiletken fazların da tam olarak oluşumlarını tamamlayamamalarına sebep oldukları kabul edilmektedir.

DTA ve DSC ölçümleri kristalleşme için aktivasyon enerjisini hesaplamakta kullanıldığı gibi Avrami parametresini hesaplamak için de kullanılmaktadır. Hesaplanan Avrami parametresinin, n , değeri hazırlanan numunede oluşan kristal geometrisi hakkında önemli bilgiler vermektedir. Avrami parametresi, n , Ozawa denklemi kullanılarak belirlenir [241]:

$$\frac{d[\ln(-\ln(1-\phi))]}{d(\ln \alpha)} = -n \quad (6.1)$$

burada, ϕ değeri; bir T sıcaklığında kristalleşme pikinin kısmi alanının kristalleşme ekzotermının toplam alanına orANI ile hesaplanır ve α ; ısıtma hızıdır. $\ln(-\ln(1-\phi))$ ' nin $\ln \alpha'$ ya göre grafiği lineer bir doğru olur. Bu doğrunun eğimi ise n parametresini verir. Şekil 6.2 Mo-katkılı sistemde $\ln(-\ln(1-\phi))$ ' nin $\ln \alpha'$ ya göre grafiğini göstermektedir.



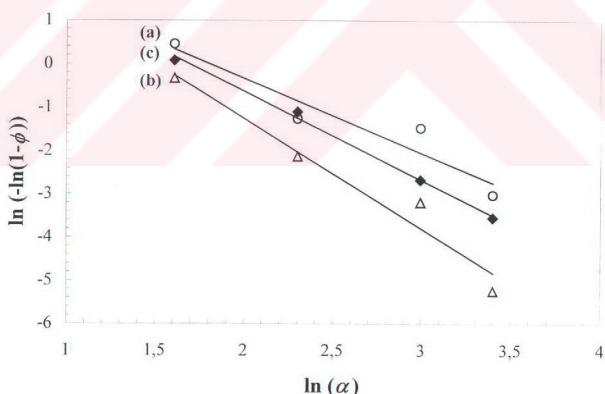
Şekil 6.2. $\text{Bi}_2\text{Sr}_2\text{Ca}_2\text{Cu}_{3-x}\text{Mo}_x\text{O}_{10+\delta}$ sisteminde $\ln \alpha'$ ya karşı $\ln(-\ln(1-\phi))$ grafiği; a) $x=0.5$, b) $x=1.0$, c) $x=1.5$ ve d) $x=2.0$ numuneleri.

Katkılama yapılmış numunelerin DTA verileri kullanılarak hesaplanan Avrami parametresi, n , değerleri Çizelge 6.2.'de verilmektedir. Mo-katkılı sistemde n değeri katkılama seviyesinin artması ile 2.53° den 1.47° ye azalmıştır. Elde edilen n değerine göre düşük katkılama seviyesinde numunede çekirdeklenme ve 3-boyutta parabolik

büyüme eş zamanlı olarak meydana gelmektedir. Buna karşın, katkılama seviyesi arttığında ise konvansiyonel cam sistemlerinde (özellikle silikatlı) olduğu gibi hesaplanan n değeri sayıda çekirdekler üzerinde 3-boyutta parabolik büyümeyemasına karşılık gelir. Hesaplanan Avrami parametreleri bu durumda daha önce XRD ve SEM kesimlerinde bahsedilen kristal büyümelerini tam olarak teyit etmiştir.

Çizelge 6.2. Cu-yerine katkı yapılmış Bi-2223 sistemde Avrami parametresi, n .

Süperiletken Sistem	Katkı oranı (x)	Avrami Parametresi, n
Mo-katkılı	0.5	2.53
	1.0	2.24
	1.5	1.99
	2.0	1.47
Er-katkılı	0.5	2.54
	1.0	1.71
Pr-katkılı	0.5	2,04



Şekil 6.3. $\text{Bi}_2\text{Sr}_2\text{Ca}_2(\text{Cu}_{3-x}\text{Er}_x)\text{O}_{10+\delta}$ ve $\text{Bi}_2\text{Sr}_2\text{Ca}_2(\text{Cu}_{3-x}\text{Pr}_x)\text{O}_{10+\delta}$ sisteminde $\ln\alpha'$ ya karşı $\ln(-\ln(1-\phi))$ grafiği; a) $x=0.5$ -Er, b) $x=1.0$ -Er ve c) $x=0.5$ -Pr numuneleri.

Şekil 6.3 Er ve Pr-katkılı Bi-2223 sisteminde $\ln\alpha'$ ya karşı $\ln(-\ln(1-\phi))$ grafiğini göstermektedir. Er-katkılaması yapıldığında $x=0.5$ için $n=2.54$ bulunmuştur, Çizelge

6.2. Bu katkılama düşük konsantrasyonda Mo içeren sistemde olduğu gibi eş zamanlı çekirdeklenme ve 3-boyutta parabolik büyümeye meydana gelmektedir. Bununla birlikte, $x=1.0$ olduğunda n hızlı şekilde 1.71° e düşmektedir. Bu ise sistemde çekirdeklenme olmadığını veya çekirdek büyüklüklerinin birkaç atomik boyuttan öteye gitmediğini ve sadece 3-boyutta parabolik büyümeye olduğunu göstermektedir.

Aslında Er oksit bileşigi erimesi çok zor olan bir elementtir (infusible). Materyal eritildiğinde Er yapıda erimeyerek kristal halde zaten kalmaktadır (Bakınız XRD sonuçları). Böylece, hazırlanan cam sistem ıslı işleme tabi tutulduğunda zaten var olan çekirdekler yeni çekirdek oluşumuna fırsat vermeden mevcut çekirdekler etrafında kristal büyümesi olmaktadır. Bu durumda safsızlık fazlarının yapıya difüz olması yerine yer yer kümeleşmesi anlamına gelmektedir.

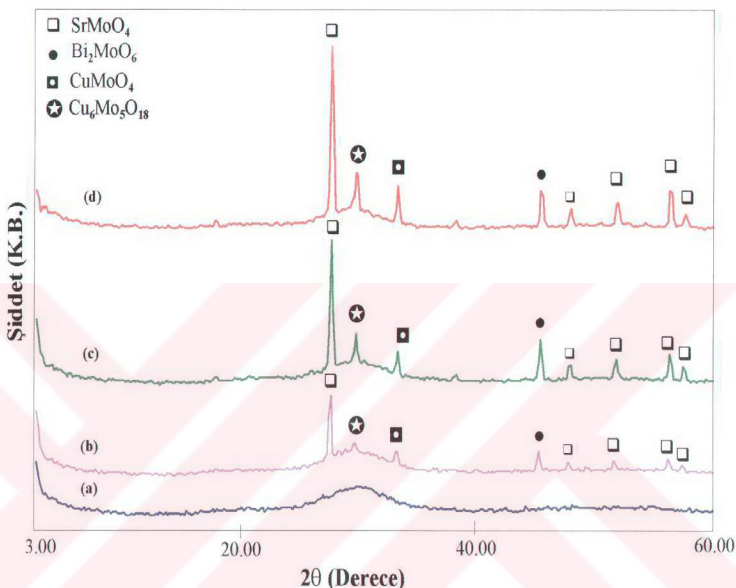
Pr katkılaması durumunda n , 2.04 olarak elde edildi. Avrami parametresinin bu değeri sistemde Er-katılım sistemde olduğu gibi Pr katkılamasında da sadece 3 boyutta parabolik büyümeye sahip olduğunu ortaya koymaktadır. Çekirdeklenme basamağının atlanarak direk kristalleşen bir çok silikatlı cam-seramik sistemler mevcuttur. Ancak, literatürde ilk kez bu çalışmada BSCCO cam-seramik sistemi içerisinde böyle bu durumla karşılaşılmaktadır.

6.2. Katkılamarın Cam Oluşumuna Olan Etkisi

Bi-2223 sisteminde Cu yerine yapılan Mo katkılaması camlaşma üzerinde olumsuz bir etki yaratmaktadır. Her ne kadar $x=0.5$ için tamamen amorf malzeme elde edilse de $x>0.5$ için amorf malzemelerin temel karakteristiği olan $20\approx30^\circ$ civarındaki geniş pikin üzerinde ve özellikle 40° den sonra kristal piklerin olduğu görülmektedir, Şekil 6.4. Özellikle, katkılama seviyesinin artması ile safsızlıklara ait piklerin şiddetlerinde önemli miktarda artış olmuş ve yapıdaki safsızlıklar SrMoO_4 , CuMoO_4 , $\text{Cu}_6\text{Mo}_5\text{O}_{18}$, Bi_2MoO_6 olarak belirlenmiştir.

Bu fazların ortaya çıkması yapı içinde ara yere giren molibden iyonlarının çevredeki oksijen iyonları üzerinde yüksek dereceden düzenleme (ordering) etkisi yaratmaya çalışacagından molibdence zengin fazların amorf yapıdan kolayca ayrılabilir olmaları ile ilişkilendirilebilir. Molibdenin cam içinde çözülebilirliliği çok yüksek değildir ancak %3 veya 4 civarında katkı yapıldığında cam içerisinde çözünürler. Ayrıca, çok yüksek sıcaklıklarda ($1600-1700^\circ\text{C}$) cam eriyiginde çözülebilirler olduklarından belli türdeki cam kompozisyonları için eriyig'in soğutulması

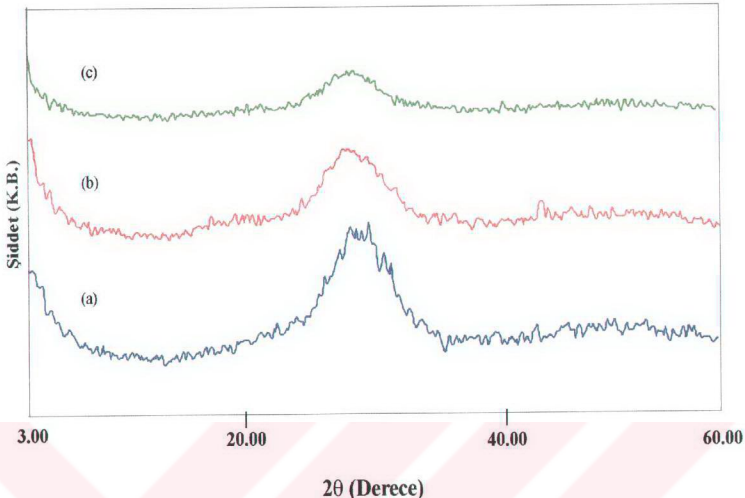
süresince çözünmüş olarak kalabilirler. Bu oksitleri içeren camların yeniden ısıtılması sırasında belli sıcaklıklarda kristal embriyolarının oluşmasına neden olurlar. Ancak, Bi-2223 sistemi için böyle bir durumun olmadığı ortaya çıkarılmıştır.



Şekil 6.4. Mo katkılıması ile elde edilen camların XRD grafikleri; a) $x=0.5$ numunesi, b) $x=1.0$ numunesi, c) $x=1.5$ numunesi ve d) $x=2.0$ numunesi.

Er ve Pr katkılama ile cam numunelerde herhangi bir istenmeyen kristalleşme (solidification) oluşmadı. Her iki sistemde elde edilen cam numunelerde $20 \approx 30^\circ$ civarında geniş bir pik meydana geldi, Şekil 6.5. Bu durum, Er ve Pr katkılama ile cam numunelerde uzun düzende herhangi bir atomik düzenleme ve 3-boyutta periyodiklik olmadığını göstermektedir.

Bununla birlikte, Er katkılı sistemde atomik konsantrasyon bazında limitin $x=1.0$ ve Pr katkılama için ise $x=0.5$ olmaktadır ve buradan sonraki katkılama seviyelerinde cam malzeme elde edilememiştir. Bunun sonucu olarak ta Bi-2223 sistemi için Er' un çözülebilirlik limitinin %30 ve Pr' un çözülebilirlik limitinin de %16 olacağının kesin olarak ortaya çıkarılmıştır.



Şekil 6.5. Er ve Pr-katkılamaları ile elde edilen camların XRD grafikleri; a) $x=0.5$ -Er, b) $x=1.0$ -Er ve c) $x=0.5$ -Pr numunesi.

6.3. Katkılamaların Yapısal Özelliklere Olan Etkisi

Bi-2223 sisteminde Cu yerine yapılan Mo-katkılaması ile çok fazlı bir yapı elde edilmektedir. Bunun sebebi daha önceki bölümlerde de bahsedildiği gibi ilk kristalleşme süresince oluşan safsızlık fazlarının tüm ısıl işlem kombinasyonlarına rağmen (Bi-2223 sistemi için mümkün olan) genel yapı (matrix) içerisinde tam olarak iyonik difüzyonun gerçekleşmemesidir. Bu nedenle, Bi-2223 olarak hazırlanan sistemde ana faz Bi-2212 ($n=2$) süperiletken fazı olmakla birlikte Bi-2223 ($n=3$) süperiletken fazı ile $\text{Cu}_3\text{Mo}_2\text{O}_9$ ve $\text{Bi}_{0.27}\text{Mo}_{0.12}\text{O}_5$ gibi safsızlık fazları da aynı anda bulunmaktadır. Katkılama miktarı arttıkça özellikle safsızlık fazlarının pik şiddetlerinde artma olduğu da görülmektedir. Sonuç olarak Bi-2223 sisteminde Mo katkısının ana matrisi tek faz Bi-2223 olacak şekilde destekleyemeyeceği ortaya çıkmıştır.

Mo-katkılaması ile kristal simetride değişiklik olmamış ve simetri tetragonal olarak elde edilmiştir, Çizelge 6.3. Bununla birlikte, kristal hücre parametreleri $a=b$ -ekseninde açılma ve c -ekseninde daralma olduğu belirlenmiştir. Aslında bu beklenen bir durumdur. Çünkü, Cu^{+2} değerlikte olduğundan $+2^+$ den büyük değerlikteki katkılamalarda ve oksijen ortamında yapılan tavlamlarda yapıya fazladan oksijen

atomları girecektir. Ekstra oksijen atomlarının ise BSCCO sisteminde büyük olasılıkla Bi-O tabakalarına yerleşikleri bilinen bir durumdur. Tabakalarla böyle fazladan oksijen atomlarının yerleşmesi Bi-O tabakasının $a (= b)$ - eksenini açacaktır. Ayrıca, Bi iyonları Cu-O tabakası ile aynı oksijen atomunu paylaşacağından ve Cu-O bandı katı (rigid) yapıda olduğundan Bi-O düzleminde Cu-O uzunluğunun kısalması ile bozulan kristal yapıya uymak için de bir uzamanın olması kaçınılmazdır. Böylece, a - ekseniinde de bir artma meydana gelecektir.

Çizelge 6.3. Cu yerine Mo katkılı Bi-2223 sisteminde kristal hücre parametrelerinin değişimi.

Mo orani (x)	Simetri	Kristal Hücre Parametreleri		
		$a (\text{\AA})$	$b (\text{\AA})$	$c (\text{\AA})$
0.0	Tetragonal	5.4012	5.4012	37.1100
0.5	Tetragonal	5.4030	5.4030	30.9829
1.0	Tetragonal	5.4192	5.4192	30.7671
1.5	Tetragonal	7.3620	7.3620	30.3011

c -eksenindeki azalma birkaç nedenden dolayı kaynaklanabilir. Birincisi, yukarıda da belirtildiği gibi sisteme yüksek değerlikli katyon katkılaması yapıldığında sistemdeki oksijen miktarı doğal olarak artmaktadır. Bu durumda fazla oksijenler Bi-O tabakalarına yerleşirler. Bi-O tabakaları arasındaki fazla oksijen net pozitif yükte ve Bi-O tabakaları arasındaki itmede azalmaya neden olur. Böylece, SrO-BiO-BiO-SrO katmanları arası uzaklık büzülür ve c -ekseninde bir kısalma meydana gelir [190]. İkincisi, Mo⁺⁶ nin iyonik yarıçapı 0.62 Å ve Cu⁺², nin iyonik yarıçapı ise 0.72 Å' dur. Sistemde Mo' nin değerliğinin +6 olarak kaldığı düşünülürse Mo⁺⁶, Cu⁺², den daha küçük iyonik yarıçapı sahip olacaktır. Mo' nin Cu yerine geçtiği düşünülürse bağ koordinasyonunda bir bozulma olacaktır ve bu bozulma da c -eksenindeki kısalma olarak karşımıza çıkacaktır.

Cu yerine Er katkılaması ile $n=3$ fazından $n=2$ fazına bir geçiş meydana gelmektedir. Mo katkılamasında olduğu gibi yine çok fazlı bir sistem elde edilmiştir. Sistemin kristal simetrisi tetragonal olmasına rağmen birim hücre parametreleri olan $a (= b)$ -ekseninde artma, c -ekseninde de bir daralma olduğu bulunmuştur, Çizelge 6.4. Er⁺³⁺ ün Bi-2223 sistemine katılmasının yapıda bir bozulmaya (distortion) neden olduğu açıkça görülmektedir. Bu durumun da Cu-O band uzunluğu üzerinde etkili olduğu ve c -

ekseninde de kısalmanın meydana geldiği kabul edilmiştir. a-eksenindeki açılmanın muhtemel sebebi ise Er' un Bi-O ara düzlemlerde Bi-O-Er-O şeklinde bir düzen meydana getirmesine bağlanmaktadır. Benzer sonuçlar Tl-bazlı sistemde Er katkılaması ile Abou-Aly vd. tarafından da elde edilmiştir [242].

Çizelge 6.4. Cu yerine Er katkılı Bi-2223 sisteminde kristal hücre parametrelerinin değişimi.

Kristal Hücre Parametreleri				
Er oranı (x)	Simetri	a (Å)	b (Å)	c (Å)
0.0	Tetragonal	5.4012	5.4012	37.110
0.5	Tetragonal	5.4304	5.4304	31.8545
1.0	Tetragonal	5.8230	5.8230	31.5132

x=0.5-Pr katkılaması yapıldığında ana faz Bi-2201 olarak elde edilmektedir. Bu durum Bi-2223 kristal yapısının tamamen deforme olduğu ve kompleks bir dokunun meydana geldiğini açıkça ortaya koymaktadır.

Kristal simetri Pr katkılaması ile yine tetragonal olarak elde edildi. Hesaplamalar sonucunda a(=b)- eksenin hemen hemen aynı kalırken c- ekseninde bir kısalmanın meydana geldiği bulunmuştur, Çizelge 6.5. c-eksenindeki azalma Pr' nin iyonik yarıçapının ($r^{Pr+3}=1.013 \text{ \AA}$ ve/veya $r^{Pr+4}=0.90 \text{ \AA}$) Cu' inkinden ($r^{Cu+2}=0.72 \text{ \AA}$) büyük olmasından kaynaklanacağı gibi Bi-O tabakalarına yerleşen fazla oksijenden dolayı da olabilir. Özellikle, yüksek değerlige sahip Pr-katkılaması ile Bi-O tabakalarına yerleşen fazla oksijen c-ekseninde belirgin bir azalmaya rahatlıkla sebep olabilmektedir.

Çizelge 6.5. Cu yerine Pr katkılı Bi-2223 sisteminde kristal hücre parametrelerinin değişimi.

Kristal Hücre Parametreleri				
Pr oranı (x)	Simetri	a (Å)	b (Å)	c (Å)
0.0	Tetragonal	5.4012	5.4012	37.1100
0.5	Tetragonal	5.3990	5.3990	31.3011

6.4. Katkılamaların Mikroyapısal Özelliklere Olan Etkisi

Mo-katkılı sistemde yapıda iğne şeklindeki kristalleşmeninoluştugu görüldü. Mikroyapıda bu tür bir morfolojinin meydana gelmesi çekirdeklenme merkezlerinden düşük boyutlu kristal büyümesi olduğunu göstermektedir. Bölüm 6.1' de Avrami parametresi Mo-katkılaması için $1.5 < n < 2.5$ arasında elde edilmişti. Sistemde bu tip bir yapının oluşması Avrami parametresinin de düşük değerde elde edilmesine sebep olmaktadır.

Er-katkılı sistemde mikroyapıda rasgele yönelik yapraklı Bi-2212 türü bir yapılanma meydana gelmiştir. Bu tip bir yapılanma kristalografik olarak rasgele yönelik tanımladığı için ve akım taşıma karakteristğini negatif yönde etkilediğinden tercih edilen bir yapılanma türü değildir. Bununla birlikte, yüzeye erime sıcaklığına yakın sıcaklıklarda O_2 ortamında yapılan taylamlarda (optimum ısıl işlemler) whiskerlerin olduğu görüldü. $x=1.0$ olduğunda da bu whiskerlerin büyüklüğünde artma olduğu gözlandı. BSCCO sisteminde whiskerlerin tek kristal formatında büyündüğü ancak özel şartlarda ortaya çıktıgı bilinmektedir. Dolayısıyla, bu tip bir yapılanma bizi oldukça şaşırtmıştır. Ancak, bu konu detaylıca irdelediğinde oluşan tek kristal whiskerlerin büyük bir yaklaşıklikla Bi-2212 fazına sahip olduğu ve oluşurken de (büyürken) yapıdan kendisine gerekli olan enerjiyi toplayarak oluşması sonucu yüzeyin hemen altında da normal Bi-2223 stokiyometrisinden farklı (off-stoichiometric) bir faz kümесinin oluşmasına sebep olduğu düşünülmektedir.

Pr-katkılı sistemde farklı büyüklüklerde, rasgele yönelik ve zayıf bağlı tanecikli (granular) yapı oluşmuştur. BSCCO sisteminde bu oluşum tamamen dejener olmuş faz yapılanmasını temsil etmektedir. Dolayısıyla $x=0.5$ kadarlık Pr-katkılamasının BSCCO'yu dejener ettiği bulunmuştur.

6.5. Katkılamaların Elektriksel Özelliklere Olan Etkisi

Mo ve Er katkılı sistemde bütün katkılama seviyelerinde oda sıcaklığından başlayarak geçiş sıcaklığına, T_c , kadar bir metalik davranış olduğu görüldü. Normal durum direncindeki bu lineer değişim sistemde oluşan dirençten elektron-fonon saçılması sorumlu olduğunu göstermektedir.

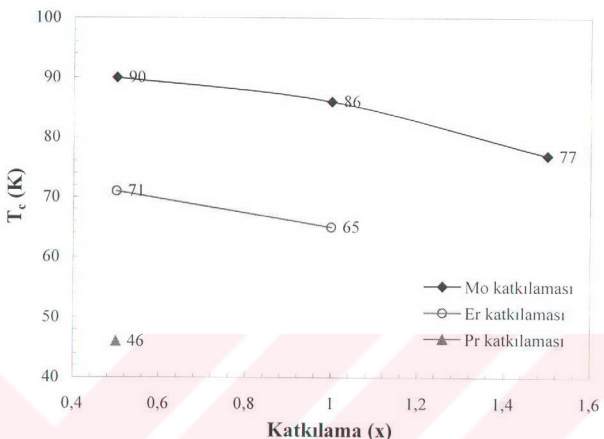
Pr-katkılı sistemde ise T_c geçiş sıcaklığına kadar yarıiletken davranış olduğu gözlandı. Bu yarıiletken davranış sıcaklık azaldıkça katkılama ile yapıda oluşan

bozulma (disorder) ve materyalin tanecikli yapısından dolayı yük taşıyıcılarının lokalize olduğunu göstermektedir. Bununla birlikte, ıslı işlem süresinin uzatılması ile normal durum direncinde düşme olmaktadır. Dirençteki bu azalma lokalize durumların yayılmasını bir işaretidir.

Bu çalışmada sisteme yapılan katkılamlar ile geçiş sıcaklığı T_c ' de gözle görülür bir azalma olmaktadır, Şekil 6.6. T_c ' de görülen bu azalmanın sebepleri şu şekilde sıralanabilir:

- 1.) Farklı oksijen içeriğinden dolayı sistemin örgü yapısında bozulma olabilir ve bu nedenle de Cu-O düzlemlerindeki taşıyıcı dağılımında değişimler olur. Çünkü, oksijen atomları yapıya O⁻² formunda girmektedir. Böylece, Cu-O düzlemlerinin yapısında büyütme olacaktır ve bundan dolayı elektron-fonon çiftini bir arada tutan etkin kuvvette de azalma meydana gelir. Bu da T_c ' de doğal olarak bir azalma ortaya çıkarır.
- 2.) Sistemdeki Cu miktarı azaldığında Cooper çiftlerinin etkin kütleleri de azalır. Bunun sonucu olarak kritik sıcaklıkta azalma meydana gelir.
- 3.) Katkılama ile Cu ve O konumlarında oluşan düzensizlikler de-pairing şartlarını etkiler. Yapısal bozukluklar CuO₂ düzlemlerinde de-pairing merkezleri olarak hareket ederler. Bu da kritik sıcaklığındaki azalmanın nedenlerinden birisidir.
- 4.) Bi-bazlı süperiletken ailesi Cu-O düzlemlerindeki hole konsantrasyonuna son derece bağlıdır. Bi₂Sr₂Ca_{n-1}Cu_nO_{2n+4+δ} n=1 ve n=2 için overdoped bölgesinde bulunanken n=3 için hole konsantrasyonu optimum seviyedendir. Bi-2223 sistemi için sistemdeki CuO düzlemi başına hole konsantrasyonu 0.16 civarında bulunanken Bi-2212 sistemi için 0.18 ile 0.22 arasında bulunmaktadır. Böylece, yapı içerisinde Mo (+6), Er (+3) ve Pr (+3 veya +4) değerlikte kaldıkları kabul edilirse Cu(+2) yerine yapılan katkılama ile yapıya fazladan yükler transfer olmaktadır. Bu da sistemin elektronik konfigürasyonunu bozmaktadır. Elektron sayısında meydana gelen artma paralel olarak sistemdeki hole sayısında artma olur. Hole konsantrasyonundaki bu artma geçiş sıcaklığında azalmaya neden olmaktadır.
- 5.) Hazırlanan bütün sistemlerde katkılama ile normal durum direncinde artma olmaktadır. Bu artma katkı-O-Cu veya katkı-O-katkı gibi yeni safsızlık bantlarının oluşmasından dolayı kaynaklanabilir. Bu türden safsızlık bantlarının oluşması, yapıda bir bozulmaya ve böylece yeni safsızlık saçılımına (impurity scattering) neden olur. Yapıda bu türden saçılım olmasının T_c ' de azalmaya götürür [75].
- 6.) XRD sonuçlarında da belirtildiği gibi kristal yapı çok fazlı olarak elde edildi. Bu durumda Mo, Er ve Pr' ye bağlı safsızlık fazlarının tanecik ara yüzeyinde (grain-

interface) büyümesi tanecikler arası bağlantıları koparmakta ve tanecikler arası yollarda ilerleyen süperakış için bir bariyer oluşturmaktadır. Böylece, T_c ' da azalma olacaktır.



Şekil 6.6. Hazırlanan örneklerde katkılama ile T_c ' nin değişimi.

7.) Sisteme katkılama yapıldığında Sun vd. göre [193] lokal süperiletkenlik bozulur ve iki CuO₂ tabakası arasındaki bağlanma rasgele dağılmış katkı iyonlarından dolayı zarar görür. O zaman katkılamlardan dolayı etkin süperiletken bölge önemli ölçüde küçülür. Bu da T_c ' de azalmaya yol açar.

6.6. Katkılamların Termoelektrik Güce (S(T)) Olan Etkisi

Bi-2223 sisteminde Cu yerine yapılan katkılamlar ilginç termoelektrik güç özellikleri ortaya koydu. Mo ve Pr katkılamları yapıldığında negatif termoelektrik güç elde edildi. Bu da sistemde elektronların baskın olduğu (n-tipi) bir iletkenlik olduğunu gösterir. Elektronların hareketliliğinin (mobilitesinin) enerjiye bağlılığı hollerinkinden daha fazla olduğu için Mo⁺⁶ ve Pr^{+3,+4} katılım sistemde elektronların S(T)' ye katkısı daha fazla olmaktadır. Oda sıcaklığından başlayarak T_{pik} ' e kadar termoelektrik güç negatif bölgede hemen hemen lineer olarak arttı. T_{pik} ' de negatif bir pik oluştuktan sonra sıcaklığın daha da azalması ile S(T) sıfır düzü. Elde edilen negatif pik değerlerinin katkılama ile daha büyük değerlere yaklaşması fononik ısı akımında ve bu nedenle de elektronlara aktarılan momentumda artma olmasına anlamlı gelecektir. Böylece, artan

bir fonon-çekim (fonon-drag) etkisi elde edilir. Özellikle, Mo-katkılı sistemde Mo konsantrasyonunun artması ile negatif pikin daha büyük olması aynı zamanda fonon ortalama serbest yolunda azalma olacağını ortaya çıkarmaktadır. Fonon-çekim etkisi genellikle termoelektrik gücün işaretini değiştirmez. Bununla birlikte, fonon-çekim katkısının Fermi yüzeyinin topolojisine ve farklı işaretli taşıyıcıların iletme olan katkılarına bağlı olarak difüzyon termoelektrik güç ile aynı işaretli olmasının gerekmediği Uher vd. tarafından da açıkça belirtilmiştir [56].

Mo ve Pr-katkılı sistemlerinden farklı olarak Er-katkılı numunelerde pozitif termoelektrik güç elde edilmiştir. Pozitif termoelektrik güç elde edilmesi sistemde hollerin baskın olduğu (p-tipi) bir iletkenlik olduğunu göstermektedir. Cu-O düzlemlerine Er^{+3} , ün katkılaması yük taşıyıcıları tarafından hissedilir bir potansiyel oluşmasına neden olur. Er-konsantrasyonunun artması ile yapıdaki bozulmadan (disorder) dolayı iletim bandından hollerin ayrılması beklenir. Bu da bizi pozitif bir termoelektrik güç'e götürmektedir.

$S(T)$ grafiğinde 300 K civarında gözlenen şiddetli düşmeden sonra ~270 ile 80-70 K arasında $S(T)$ lineer olarak azalmıştır. Oda sıcaklığında $S(T)^*$ nin değeri sistemde saf süperiletken fazların bulunmamasından ve safsızlık fazlarının yoğun olmasından dolayı çok yüksektir. T_{pik} ' den hemen sonra $S(T)$ sıfıra düşmektedir. Lineer davranıştan olan bu sapma fonon-çekim (fonon-drag) etkisinden kaynaklanmaktadır. Bununla birlikte, hazırlanan bütün sistemlerde T_{pik} ' den hemen sonra $S(T)^*$ nin sıfıra düşüğü görülmüştür. Süperiletken durumda oluşan çiftler (hole veya elektron çiftleri) termoelektrik voltajı keserler. Çünkü, oluşan çiftler artık ısı akımı taşımazlar. Bundan dolayı, S aniden sıfıra düşer. Bununla birlikte, $S(T)^*$ de elde edilen bu ani düşme Aliev vd. tarafından sistemde oluşan ilave bir para-iletkenlik olarak yorumlanmıştır [60].

Özellikle aşırı hole konsantrasyonu içeren (overdoped) HT_c süperiletkenlerde termoelektrik güç denklem (2.7) ile verilen Mott formülüne göre sıcaklıkla orantılıdır. Bununla birlikte, T_c civarında S-T grafiğinin eğiminde değişme olur. Bu durum Kaiser' e göre elektron (veya hole)-fonon etkileşmesinin artmasına karşılık gelmektedir [243]. Eğer sistemde olacak bozulma (disorder) termoelektrik güç'e olan fonon-çekim katkısını bastıracak kadar büyük ise elektron-fonon etkileşmesinin etkisi sistemde artar. Bunun sonucunda T_c civarında $S(T)^*$ de bir artma meydana gelir [244].

Er-katkılı sistemde her iki katkılama seviyesinde de benzer $S(T)$ grafiği elde edildi. Bununla birlikte, $S(T)^*$ nin büyülüğünün katkılama ile arttuğu görüldü. Bu artma Cu^+ in (+2) yerine katkılanan Er^+ un +3 değerlikte olmasından dolayı elektronlar

tarafından daha fazla bandın doldurulmasından (band filling) kaynaklanmaktadır. Elde edilen (S-T) eğrileri tek kristallerin S(T) grafiklerine de oldukça benzemektedir [170,240]. Numunelerin yüzeylerinde oluşan wishkerlerin Bi-2212 tek kristal özelliği gösterdiği düşünürse bu bulgunun normal olacagi kanaati ortaya çıkmaktadır.

Fonon-çekim (phonon-drag) termoelektrik gücünün (S_g) hangi sıcaklıktan başladığı (S-T) verilerinden yararlanarak hesaplanabilir. Toplam termoelektrik gücün

$$S = S_d + S_g = a_e C_e + a_g C_g = AT + BT^3 \quad (2.13)$$

ile ifade edildiği 2. bölümde verilmiştir. Bu denklem aynı zamanda

$$\frac{S}{T} = A + BT^2$$

şeklinde de yazılabilir. Bu denklem kullanılarak çizilecek (S/T - T^2) grafğindeki lineer kısım difüzyon termoelektrik güç (S_d) katkısını göstermektedir. Lineerlikten sapma ile fonon çekim (phonon-drag) termoelektrik gücünün hangi sıcaklıkta başladığı bulunabilir.

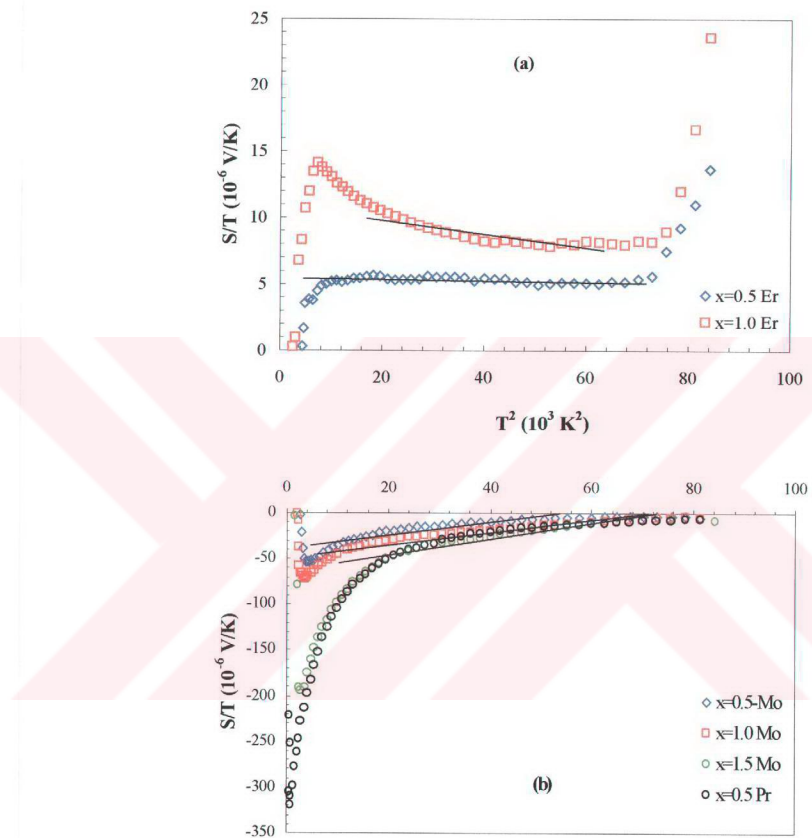
Mo, Er ve Pr-katkılı sistemlerde (S/T , T^2) grafikleri Şekil 6.7. a ve b' de gösterilmektedir. Elde edilen sonuçlar ise Çizelge 6.6' da verilmektedir.

Çizelge 6.6. Katkılama ile fonon-çekim sıcaklığının değişimi.

Süperiletken Sistem	Katkı (x)	T_g (K)
Mo-katkılı	0.5	155
	1.0	150
	1.5	145
Er-katkılı	0.5	105
	1.0	85
Pr-katkılı	0.5	160

Mo katkılı sistemde Mo-konsantrasyonu arttıkça fonon-çekim etkisinin başladığı sıcaklık 155 K' den yaklaşık 10 K' lik bir azalma ile 145 K' ne düşmektedir, Çizelge 6.6. Bununla birlikte, sisteme Er-katkısı yapıldığında fonon-çekim etkisi x=0.5 için 105 K' de başlarken x=1.0 için 20 K' lik azalma ile 85 K' de başlamaktadır. Bu durum Er

katkısı ile fonon-çekim etkisinin daha düşük sıcaklıklarda başladığını göstermektedir. Pr-katkılı sistemde ise lineerlikten ayrılma 160 K' civarlarında başlamıştır.



Şekil 6.7. (a) Er-katkılı ve (b) Mo ve Pr-katkılı sistemlerin ($S/T-T^2$) grafikleri.

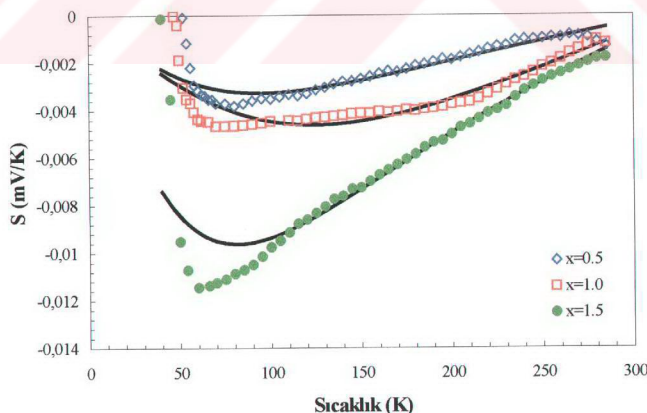
Termoelektrik güç sonuçları Lineer terimli çift band modeli ve Xin' in çift band modelleri kullanılarak analiz edildi. Bölüm 2.5.2.1' de bahsedildiği gibi termoelektrik güç sonuçları üzerine Forro vd. [80] tarafından önerilen Lineer Terimli Çift Band Modeli' ne göre yapılan analizlerde edilen grafikler Şekil 6.8.' de ve eğri uyarlama (curve fitting) parametreleri ise Çizelge 6.7.' de verilmektedir.

Çizelge 6.7. Mo katkılı sistemde Lineer terimli çift band modeli (Bölüm 2.5.2.1) kullanılarak elde edilen katsayılar.

Katkı (x)	A (mV)	B (K)	α (mV/K ²)	E_0-E_f (K)	γ (K)
0.5	-0.93205	113.742	8.05827x10 ⁻⁶	-5.41	206.23
1.0	-2.65136	177.058	1.95608 x10 ⁻⁵	-15.4	320.78
1.5	-2.07614	92.8121	1.80099 x10 ⁻⁵	-12.0	167.91

Bölüm 5.1.4' de denklem 3.3 kullanılarak hesaplanan hole konsantrasyonunun Mo-katkılaması ile arttığı belirlenmiştir. Sistemdeki taşıyıcı (hole) yoğunluğunun artması Fermi seviyesinin bandın altına doğru kaymasına neden olur. Hem Fermi seviyesinin bandın altına kayması hem de A parametresinde azalma olması (E_0-E_f) değerinde azalma olması anlamına gelmektedir.

Sistemde (E_0-E_f) ile birlikte rezonansın genişliği, γ , de değişmektedir. x=0.5 den 1.0' a artırıldığında rezonans genişliği 206 K' den 321 K' e yükseldi daha sonra x=1.5 olduğunda ise 168 K' e düşmüştür. Katkılama ile E_0 ' a göre rezonansın konumunun değiştiği belirlenmiştir. x=0.5 için rezonans E_0 ' dan 62 K uzakta iken x=1.0 olduğunda 58 K ve x=1.5 olduğunda 50 K uzakta yer almaktadır. αT değerinde x=0.5 Mo-katkılı kompozisyon'a nazaran diğer katkılama seviyelerinde artma olması normal band katısının arttığını göstermektedir.



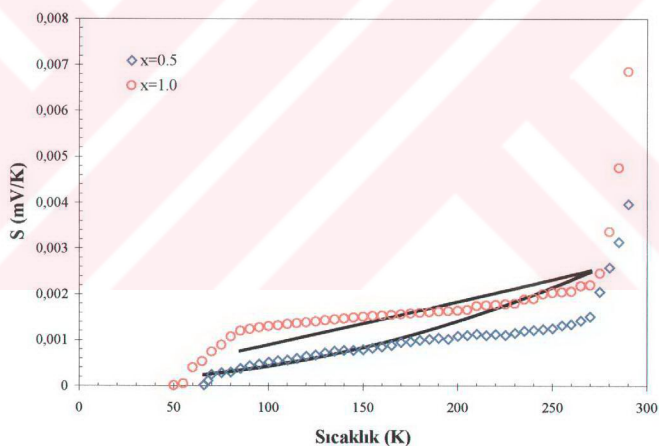
Şekil 6.8. Mo-katkılı sistemde Lineer terimli çift band modeline göre elde edilen grafikler; düz çizgiler modelin sonucunu göstermektedir.

Çizelge 6.8. Er katkılı sistemde Lineer terimli çift band modeli kullanılarak elde edilen katsayılar.

Katkı (x)	A (mV)	B (K)	α (mV/K ²)	E_0-E_f (K)	γ (K)
0.5	-2.85476	390.422	2.1907×10^{-5}	-16.56	707.953
1.0	-0.148073	354.399	1.0091×10^{-5}	-0.859	642.808

Şekil 6.9' da Er-katkılı sistemde Lineer terimli çift band modeline göre yapılmış eğri uyarlama (curve fitting) grafikleri verilmektedir. Er katkılaması $x=0.5$ ' den 1.0' a çkartıldığında A , B ve α parametrelerinde azalma olmaktadır, Çizelge 6.8.

Denklem 3.3' e göre Cu başına hole konsantrasyonunun 0.225° den 0.221° e düşürüldüğü bulunmuştur. Hole konsantrasyonundaki bu azalmaya bağlı olarak (E_0-E_f) ' de artma olmaktadır. α parametrelerindeki azalma ise sistemde katkılama ile normal band katkısının düşüğünü göstermektedir.



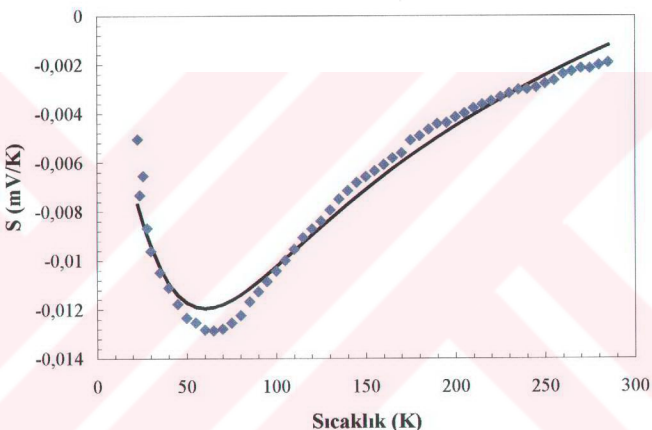
Şekil 6.9. Er-katkılı sistemde Lineer terimli çift band modeline göre elde edilen grafikler; düz çizgiler modelin sonucunu göstermektedir.

Lineer Terimli Çift Band Modeline göre Pr katkılı sistemde eğri uyarlama (curve fitting) grafiği Şekil 6.10' da ve eğri uyarlama (curve fitting) parametrelerinin (A , B ve α) hesaplanan değerleri Çizelge 6.9.' da verilmektedir. Sistemdeki hole konsantrasyonunun 0.243 gibi yüksek olması (Bi-2201 fazının bulunduğu bölge) Fermi

seviyesinin bandın altına doğru kayması anlamına gelir. Bu durumda (E_0-E_f) terimi -9.69 K gibi düşük değerde elde edilmiştir. Buna paralel olarak rezonans genişliği 117 K olarak elde edilmiştir. Rezonans ise E_g 'a göre 30 K kadar uzağa lokalize olmaktadır.

Çizelge 6.9. Pr katkılı sistemde Lineer terimli çift band modeli kullanılarak elde edilen katsayılar.

Katkı (x)	A (mV)	B (K)	α (mV/K ²)	E_0-E_f (K)	γ (K)
0.5	1.6712	64.7828	1.52987×10^{-5}	-9.69	117.103



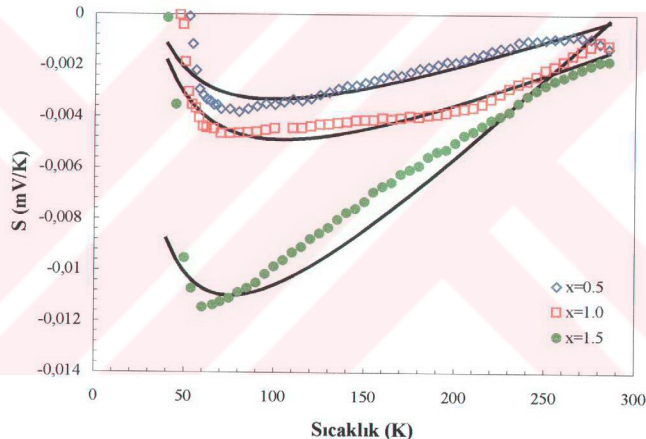
Şekil 6.10. Pr-katkılı sistemde Lineer terimli çift band modeline göre elde edilen grafikler; düz çizgiler modelin sonucunu göstermektedir.

Lineer Terimli Çift Band Modelinin yanı sıra sonuçların uyumunu kontrol için Xin' in Çift Band Modeli de (Bölüm 2.5.2.4) kullanıldı. Mo-katkılı sistemin termoelektrik güç verilerinin Xin' in Çift Band Modeline göre analiz sonuçları Şekil 6.11' de verilmektedir. Elde edilen uyarlama (fitting) parametreleri Çizelge 6.10' da verilmiştir. Mo katkılaması ile A parametresinde artma olmaktadır. Bu parametrenin artması Cu-O düzlemlerindeki hareketli hole yoğunluğunda azalma olduğunu işaret eder. λ parametresi yarıiletken Bi-O bandı ile iletim bandı arasındaki enerji aralığına bağlıdır. Yarıiletken enerji aralığı $E_g=2E_c$ ile ifade edilmektedir. Mo-konsantrasyonunun artması ile λ' da azalma olmuştur. λ' nin azalması bu band

aralığının azaldığını gösterir. Band aralığındaki azalmanın olası bir nedeni ise safsızlık konsantrasyonundaki artmadır. Sistemdeki katkılmanın artması ile Bi-O tabakalarına fazla oksijenin yerleşmesi bu enerji aralığının azalmasına neden olmaktadır.

Çizelge 6.10. Mo katkılı sistemde Xin' in çift band modeli kullanılarak elde edilen katsayılar.

Katkı (x)	A (mV/K ²)	B (mV/K ²)	λ (K)	C (mV/K ²)	E _g (eV)
0.5	0.927611	-0.939055	0.720633	-0.927586	62.10x10 ⁻⁶
1.0	1.26237	-1.27798	0.71336	-1.26234	61.53 x10 ⁻⁶
1.5	4.41715	-4.4682	0.422376	-4.41708	36.43 x10 ⁻⁶



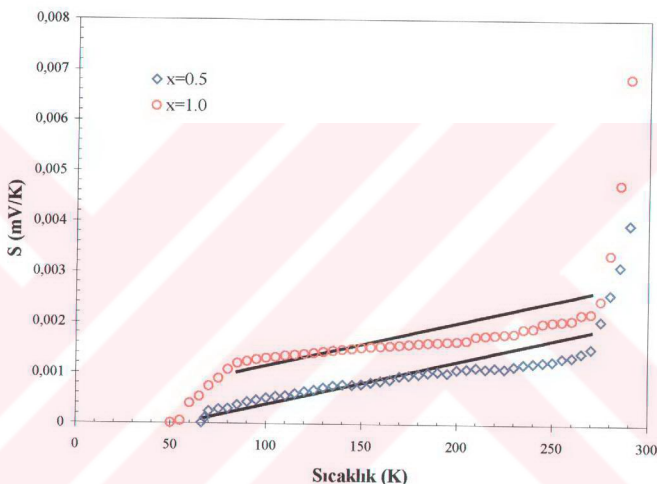
Şekil 6.11. Mo-katkılı sistemde Xin' in çift band modeline göre elde edilen grafikler; düz çizgiler modelin sonucunu göstermektedir.

Çizelge 6.11. Er katkılı sistemde Xin' in çift band modeli kullanılarak elde edilen katsayılar.

Katkı (x)	A (mV/K ²)	B (mV/K ²)	λ (K)	C (mV/K ²)	E _g (eV)
0.5	-0.0310754	0.0466877	-0.0302934	0.031084	-1.306x10 ⁻⁶
1.0	-0.0610754	0.0506877	-0.0282934	0.061084	-1.220 x10 ⁻⁶

Şekil 6.12 Er-katkılaması yapılmış Bi-2223 sistemi için Xin' in çift band modeli kullanılarak yapılmış eğri uyarlama (curve fitting) grafiklerini göstermektedir. Er-katkılaması ile A parametresinde azalma olmaktadır, Çizelge 6.11. Bu azalma Cu-O düzlemlerindeki hareketli hole yoğunluğunda artma olduğunu gösterir.

λ parametresinde ise bir artma olduğu belirlenmiştir. λ^* nin artması yarıiletken Bi-O bandı ile iletken band arasındaki enerji aralığının genişlediği anlamına gelmektedir. Bu açılma band aralığında yerleşecek safsızlık fazlarından kaynaklanmaktadır.



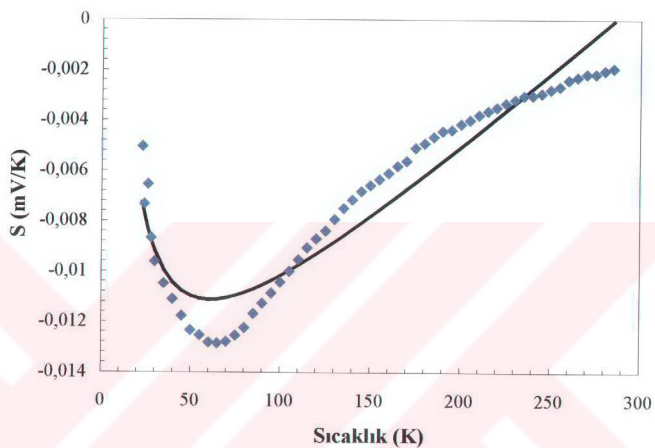
Şekil 6.12. Er-katkılı sistemde Xin' in çift band modeline göre elde edilen grafikler; düz çizgiler modelin sonucunu göstermektedir.

Çizelge 6.12. Pr katkılı sistemde Xin' in çift band modeli kullanılarak elde edilen katsayılar.

Katkı (x)	A (mV/K ²)	B (mV/K ²)	λ (K)	C (mV/K ²)	E_g (eV)
0.5	0.156894	-0.168327	1.64027	-0.156831	141.47×10^{-6}

Pr-katkılı sistem için Xin' in çift band modeline göre yapılan eğri uyarlama (curve fitting) grafiği Şekil 6.13 te verilmektedir. Sisteme Pr-katkılaması yapıldığında A , B ve C değerleri Mo-katkılı sisteme göre küçük değerli elde edildi, Çizelge 6.12.

Özellikle Mo-katkılı sisteme kıyasla A parametresinde elde edilen bu azalma Cu-O düzlemlerindeki hareketli hole yoğunluğunda artma olması anlamına gelmektedir. Bununla birlikte, Mo-katkılı sisteme göre λ da artma elde edilmektedir. Daha önceden bahsedildiği gibi λ parametresindeki artma Bi-O düzlemlerine yerleşen fazla oksijen ile ilişkilidir.



Şekil 6.13. Pr-katkılı sistemde Xin' in çift band modeline göre elde edilen grafikler; düz çizgiler modelin sonucunu göstermektedir.

Diğer yandan, hazırlanan sistemlerin termoelektrik güç verilerini analiz etmekte Bölüm 2.5.2.2 ve 3' de anlatılan Nagosa-Lee Modeli ve Phenomenological Dar Band Modeli' de denenmiş ancak her iki modelin hazırlanan sistemlere uygulanamayacağı görülmüştür.

6.7. Katkılamaların Termal İletkenlik $\kappa(T)$ Özelliklerine Olan Etkisi

$H T_c$ süperiletkenlerde termal iletkenlik çalışmaları hem normal hem de süperiletken durumda termal taşıyıcıların saçılma mekanizmaları hakkında önemli bilgiler vermektedir. Özellikle, seramik süperiletkenlerde termal iletkenlik, κ , normal durumda sıcaklığa zayıf şekilde bağlı iken süperiletken durumun hemen başlangıcında

κ' da ani bir artma gözlenmekte ve T_c' nin altında ise bir maksimuma ulaştıktan sonra sıcaklığın düşmesi ile yavaşça sıfır düşmektedir.

Mo, Er ve Pr-katılılı Bi-2223 sisteminin κ -T sonuçları değişik araştırma grupları tarafından değişik katkılar için ölçülen κ -T sonuçlarına [68, 96, 108, 114-116, 245,246] benzerlik göstermektedir. T_c' nin hemen altında κ' nin büyülüğünde ani bir artma meydana geldikten ve bir maksimuma ulaştıktan sonra sıfır düşmektedir. T_c' nin altında fonon-taşıyıcı ve fonon-fonon saçılmaları hızlı bir şekilde azalır. Böylece, fononlar çarpışmalar sonucu artık momentumlarını kaybetmezler. Fonon saçılmasındaki bu azalma fonon ortalama serbest yolunda artmaya neden olmaktadır. Bu durum, T_c civarında örgü ısı iletiminde artış olmasına neden olur. κ' da gözlenen bu hızlı artma fonon-taşıyıcı etkisi için en önemli kanıtlardan birisini teşkil eder.

T_c civarında elde edilen maksimum pik çalıştığımızda katkı konsantrasyonunun artması ile düşük sıcaklıklara doğru kaymış ve pikin şiddetinde katkılama ile azalma olmuştur. Maksimum pik şiddetlerindeki bu azalma fonon ortalama serbest yolunda azalma olması anlamına gelmektedir. Ayrıca, bu etkinin zayıflamasına tanecik sınırları ve yapıdaki homojen olmayan oksijen konsantrasyonu da neden olabilmektedir [116].

Sisteme yapılan Mo^{+6} , Er^{+3} ve $\text{Pr}^{+3,+4}$ katkılamaları sonucu bu katkı elementlerinin iyonik yarıçapları ($r_{\text{Mo}}= 0.62 \text{ \AA}$, $r_{\text{Er}}= 0.88 \text{ \AA}$ ve $r_{\text{Pr}+3}= 1.013 \text{ \AA}$ ve $r_{\text{Pr}+4}= 0.90 \text{ \AA}$) Cu' in iyonik yarıçapından ($r_{\text{Cu}}= 0.72 \text{ \AA}$) farklı olduğundan kristal yapıda lokal bozulmalar olabilir ve ortaya çıkan örgü deformasyonları (nokta kusurları (point defect)) fonon saçma merkezleri gibi hareket edebilir. Termal iletkenliğinde önemli ölçüde etki etmemekle birlikte yapıda olacak oksijen eksikliğinden kaynaklanan boşluklar da küçük kütlesel kusurlar olarak davranır. Bu tip kusurlar üzerinde fonon-saćılmasının etkinliği termal iletkenlik pikinde bir düşmeye yol açar ve olacak bu kusurlar fonon ortalama serbest yolunda kısalma olmasına neden olur.

Gerek Mo gerekse Er konsantrasyonunun artması ile oda sıcaklığı termal iletkenliğinin büyülüğünde azalma olduğu görüldü. Bu azalma özellikle Mo-katılıması için $x=0.5$ ' den $x=1.5$ ' e artırıldığında %91.30' a ulaşmaktadır. Termal iletkenlik için optimum ısıl işlem görmüş numuncelerin elektriksel dirençleri karşılaştırıldığında yapılan katkılama ile dirençte artma meydana geldiği görülmektedir. Elektronik termal iletkenlik hesaplamasında denklem (2.36) ile verilen Widemann-Franz yasası (WFL) kullanıldığından sistemde direncin yükselmesi ile termal iletkenlige

katkıda bulunan taşıyıcıların sayısında azalma olmaktadır. Bu nedenle, termal iletkenlikte meydana gelecek düşme esasında ilave bir fonon saçılma mekanizmasından kaynaklanabilir [68]. Ayrıca, direnç artışı ile taşıyıcı konsantrasyonunda meydana gelen azalma elektron-fonon etkileşmesindeki azalmayı da beraberinde getirmektedir. Şunu da belirtmekte yarar vardır; W-F yasasından faydalananarak bulunan elektronik termal iletkenlik bir üst limit olarak alınır. Çünkü W-F yasası iletim elektronlarının elastik saçılma bölgesinde geçerlidir.

6.8. Genel Sonuç

Bu çalışmada $\text{Bi}_2\text{Sr}_2\text{Ca}_2\text{Cu}_{3-x}\text{L}_x\text{O}_{10+8}$ ($L=\text{Mo}$ ($0.5 \leq x \leq 2.0$), Er ($x=0.5 \leq x \leq 1.0$) ve Pr ($x=0.5$)) nominal kompozisyonlu sistemler cam-seramik yöntemiyle hazırlanmıştır. Mo-katkılaması yapıldığında $x=2.0'$ dan sonra malzeme tam olarak erimemiş ve kısmi olarak eriyen materyal ise tamamen potanın kenarlarına yaptığından cam örnek elde edilememiştir. Bu nedenle de bu katkı seviyesinden sonra Mo-katkılı kompozisyon hazırlanamamıştır. Er-katkılamasında $x=1.0'$ dan ve Pr-katkılamasında ise $x=0.5'$ den sonra 1250°C ' de yapılan eritme işlemi sırasında yeterince erimenin sağlanmadığı ve bu nedenle de parça halinde cam örnekler elde edilemediği görülmüştür. Bununla birlikte, eritme sıcaklığı yükseltildiğinde ise BSCOO sisteminde bulunan ve kolay buharlaşabilen elementlerden (Bi, Sr ve Ca) dolayı istenilen kompozisyonдан uzaklaşacağı için bu katkı seviyelerinden sonra kompozisyon hazırlanmamıştır.

DTA ölçümleri Mo ve Er-katkılamalarında sistemdeki katkılama seviyesi arttıkça birinci kristalleşme sıcaklığının yüksek sıcaklıklara doğru kaydığını göstermiştir. Bu durum katkılama ile yapıdaki iyonların termal aktivitesinin düşmesine bağlanmaktadır. Hazırlanan Mo-katkılı örneklerde 800 ile $850^{\circ}\text{C}'$ ler arasında ve Pr-katkılı örnekte de $900^{\circ}\text{C}'$ nin üzerinde çift endotermik aktivite elde edilmiştir. Bununla birlikte, Er-katkılı sistemde $950^{\circ}\text{C}'$ ye kadar sisteme herhangi bir kısmi erime yada tamamen erime gibi termal aktivitelere rastlanmamıştır. Mo-katkılaması ile endotermik aktivitelerin düşük sıcaklık bölgésine doğru kaydığı gözlenmiştir. Bu da örneklerin ıslı işlem sıcaklığını etkilemiş ve özellikle $x=1.5$ Mo-katkılaması için $830^{\circ}\text{C}'$ ye kadar düşük sıcaklıklarda ıslı işlemler yapılmıştır.

Örneklerin kristalleşme için aktivasyon enerjileri Augis-Bennett ve Kissinger Metotları kullanılarak hesaplanmıştır. Aktivasyon enerjisi Mo-katkılaması için $x=1.5'$ e kadar lineer olarak azalmış ve $x=2.0$ olduğunda tekrar bir artma olmuştur. Bu da Mo-

katkılaması yapıldığında termodinamik olarak kararsız örnekler elde edildiğini göstermektedir. Er ve Pr-katkılı sistemlerde ise kristalleşme için aktivasyon enerjisinde artma olduğu görülmüştür. Böylece, hazırlanan örneklerde yüzey kristalleşmesi artmış ve daha kararlı sistemler elde edilmiştir.

Çizelge 6.13. Cu yerine yapılan katkılamalar ile bu çalışmada hazırlanan sistemlerin T_c sıcaklıklarının karşılaştırılması.

Sistem	Katkılama (x)	T_c (K)	Referans
$\text{Bi}_3\text{PbSr}_3\text{Ca}_3\text{Cu}_{4-x}\text{Fe}_x\text{O}_y$	0.000	88	[76]
	0.020	80	
	0.040	65	
	0.050	55	
	0.060	-	
$\text{Bi}_2\text{Sr}_2\text{Ca}(\text{Cu}_{1-x}\text{Fe}_x)_2\text{O}_{8+\delta}$	0.000	87.5	[197]
	0.005	82.5	
	0.013	72.5	
	0.022	62.5	
$\text{Bi}_{1.7}\text{Pb}_{0.3}\text{Sr}_2\text{Ca}_2(\text{Cu}_{1-x}\text{Fe}_x)_3\text{O}_{10}$	0.000	110	[198]
	0.020	80	
$\text{Bi}_2\text{Sr}_2\text{CaCu}_{2-x}\text{Ni}_x\text{O}_y$	0.000	86	[199]
	0.020	82	
	0.040	80	
$\text{Bi}_2\text{Sr}_2\text{Ca}(\text{Cu}_{1-x}\text{Ni}_x)_2\text{O}_{8+\delta}$	0.0215	70	[200]
$\text{Bi}_{1.6}\text{Pb}_{0.4}\text{Sr}_{1.8}\text{Ba}_{0.2}\text{Ca}_2(\text{Cu}_{1-x}\text{Fe}_x)_3\text{O}_y$	0.000	109	[204]
	0.200	100	
$\text{Bi}_2(\text{SrCa})_{n+1}(\text{Cu}_{1-x}\text{Co}_x)_n\text{O}_{8-\delta}$	0.005	108	[205]
	0.010	106	
$n=2$	0.015	100	
	0.050	95	
	0.0375	87	
	0.050	82	
	0.0625	80	
	0.075	75	
$\text{Bi}_3\text{PbSr}_3\text{Ca}_3\text{Cu}_{4-x}\text{Mn}_x\text{O}_y$	0.080	65	[206]
	0.020	78	
	0.030	66	
	0.040	53	
$\text{Bi}_{1.84}\text{Pb}_{0.34}\text{Sr}_{1.91}\text{Ca}_{2.03}(\text{Cu}_{1-x}\text{V}_x)_{3.06}\text{O}_y$	0.060	46.5	[207]
	0.000	110.5	
	0.020	108	
	0.040	106	
	0.080	103	
	0.100	100	

$\text{Bi}_2\text{Sr}_2\text{Ca}\text{Cu}_{2-x}\text{Sn}_x\text{O}_{8+\delta}$	0.00 0.10 0.20 0.30 0.40 0.50 0.70 1.00	85.05 84.82 84.50 83.76 82.34 80.31 <77 <77	[208]
$\text{Bi}_{1.7}\text{Pb}_{0.3}\text{Sr}_2\text{Ca}_2\text{Cu}_{3-x}\text{Sb}_x\text{O}_y$	0.00 0.05 0.10 0.15 0.20	103.5 96.5 87 101 102	[209]
$\text{Bi}_{1.6}\text{Pb}_{0.4}\text{Sr}_2\text{Ca}_2(\text{Cu}_{0.9}\text{Ti}_{0.1})_3\text{O}_y$	0.1	112.3	[210]
$\text{Bi}_2\text{Sr}_2\text{Ca}_2\text{Cu}_{3-x}\text{Mo}_x\text{O}_{10+\delta}$	0.5 1.0 1.5	90 86 77	
$\text{Bi}_2\text{Sr}_2\text{Ca}_2\text{Cu}_{3-x}\text{Er}_x\text{O}_{10+\delta}$	0.5 1.0	71 65	
$\text{Bi}_2\text{Sr}_2\text{Ca}_2\text{Cu}_{3-x}\text{Pr}_x\text{O}_{10+\delta}$	0.5	46	

Ozawa denklemi kullanılarak hesaplanan Avrami parametresi, n , değerleri Mo ve Er-katkılamaları için düşük katkılama seviyeierinde çekirdeklenmenin ve 3-boyutta parabolik büyümeyenin aynı anda meydana geldiğini ve düşük katkılama seviyelerinde ise daha önceden oluşmuş sabit çekirdekler üzerinde 3-boyutta parabolik büyümeye olduğunu göstermektedir. Pr-katkılaması yapıldığında ise Avrami parametresi, n , örneklerde sabit çekirdekler üzerinde 3-boyutta parabolik kristalleşme olduğunu ortaya koymuştur.

XRD grafiklerinde Mo-katkılı sistemde her ne kadar $x=0.5$ için amorf yapı elde edilse de katkılama seviyesi arttıkça hazırlanan cam örneklerde kristalleşmenin meydana geldiği gözlemlenmiştir. Er ve Pr-katkılaması yapıldığında ise hazırlanan örneklerde herhangi bir kristalleşme olmamıştır. Bu durum 3 boyutta herhangi bir atomik düzenleme olmadığını göstermektedir. Daha önceden belirlenen zaman aralıklarında ve sıcaklıklarda ıslı işlemler yapıldıktan sonra alınan XRD grafikleri Mo-katkılı örneklerin hepsinde ana fazın Bi-2212 ($n=2$) olduğunu göstermiştir. Bununla birlikte, yapıda safsızlık fazları daoluğu görülmüştür. Er-katkılaması ile sistemde ana faz Bi-2212 ($n=2$) fazı olmasına rağmen tipki Mo-katkılı sistemde olduğu gibi çok fazlı kristal yapınınoluğu görülmüştür. Pr-katkılaması yapıldığında ise ana faz Bi-2201 ($n=1$) fazına doğru bir kayma elde edilmiştir. Kristal yapının tamamen deformeli olduğu ve kompleks bir kristal yapının meydana geldiği belirlenmiştir. Hazırlanan

sistemlerin kristal simetrisinin tetragonal olduğu belirlenmiş ve yapılan katkılama ile simetri değişmemiştir. Yapılan hesaplamalar sonucu Mo ve Er-katkılı sistemlerde birim hücre parametreleri $a (= b)$ -ekseninde bir açılma ve c -ekseninde ise bir kısalma olduğu bulunmuştur. Bununla birlikte, Pr-katkılaması ile $a (= b)$ -ekseni değiştirmek c -ekseninde bir kısalmanın olduğu görülmüştür. Genel olarak $a (= b)$ -eksenindeki açılma ve c -eksenindeki kısalma katkılamlar ile yapıya giren fazla oksijenden kaynaklanmaktadır. Ayrıca, Mo'ın yapı içerisinde +6, Er'ın +3 ve Pr'ın +3 veya +4 değerlikte kaldığı kabul edilirse bu çalışmada kullanılan katkı elementlerinin iyonik yarıçapının Cu^{+2} den büyük olması da birim hücre parametrelerinin değişmesini önemli ölçüde etkilemektedir.

SEM fotoğraflarından Mo-katkılı sistemde yapıda iğne şeklinde bir kristalleşmeninoluştuğu gözlenmiştir. Bi elementinin yapı içerisinde +5° e yakın değerlikteyim gibi davranışları bu tür bir kristalleşmeye neden olabilmektedir. Ayrıca, bu tür bir yapılanma Avrami katsayısının 1.5 ile 2.5 arasında elde edilmesine de yol açmaktadır. Er-katkılı sistemde ise rasgele yönelmiş Bi-2212 tipinde yapraklı bir kristalleşme olmuştur. Yüzeyde ise whiskerlerin oluştuğu gözlenmiş ve katkılama miktarı arttıkça whiskerlerin boyları da artmıştır. Pr-katkılı sistemde ise zayıf bağlı, rasgele yönelmiş tanecikli bir yapı oluşmuştur. Bu türden bir oluşum hazırlanan BSCCO sisteminde mikroyapının dejenereli olduğunu göstermektedir.

$R(T)$ ölçümleri Mo ve Er-katkılı sistemlerde hemen bütün katkılama seviyelerinde oda sıcaklığından süperiletken geçiş sıcaklığına kadar metalik bir davranış olduğunu göstermiştir. Bununla birlikte, normal durum direncinin katkılama ile arttığı belirlenmiştir. Mo-katkılı örneklerde 105 K civarında dirençte ani bir düşme olmuştur. Bu da sistemde az da olsa Bi-2223 ve Bi-2212 fazlarının aynı anda oluştuğunu göstermektedir. T_c değeri Mo ve Er-katkılaması arttıkça azalmıştır. Özellikle Er-katkılı örneklerde direnç keskin bir azalmaya sifira düşmemiş geniş bir ΔT verdikten sonra sifira düşmüştür. Pr-katkılı sistemde ise bir yaniletken trend belirlenmiştir. Mo ve Er-katkılı sistemlere kıyasla oldukça düşük T_c (46 K) ve T_g (29 K) elde edilmiştir.

Hazırlanın örneklerin CuO düzlemi başına hole konsantrasyonu denklem (3.3) kullanılarak hesaplanmıştır. Mo ve Er-katkılanması ile sistemdeki hole konsantrasyonunun artışı ve sistemin overdoped bölgesine (Bi-2212 bölgesine), Pr-katkılaması yapıldığında ise Bi-2201 fazının hole konsantrasyon bölgesine kaydığını belirlenmiştir. Hole yoğunluğunundaki artış T_c 'de de bir azalmaya neden olmaktadır. Katkılama ile yapıya fazladan yüklerin transfer olması Bi-2223 sisteminin elektronik

konfigurasyonunu bozmuş ve dolayısıyla sistemin hole sayısında bir artış meydana gelmiştir.

Mo ve Pr-katkılı örneklerde termoelektrik güç, $S(T)$, sonuçları oda sıcaklığından başlayarak negatif bölgede $S(T)$ 'nin lineer olarak arttığını ve bir T_{pik} sıcaklığında bir pik verdikten sonra $S(T)$ 'nin sıfıra düşüğünü ortaya koymuştur. Elde edilen bu negatif $S(T)$ pikleri fononik ısı akımında ve bu nedenle de elektronlara aktarılan momentumda artma olmasından dolayı ortaya çıkan fonon-çekim etkisinden kaynaklanmaktadır. Katkılama seviyesinin artması ile negatif $S(T)$ değerinde artma olmaktadır. Bu durum yapıda oluşan safsızlık fazlarından kaynaklanmaktadır. $S(T)$ 'nin işaretinin negatif olması örneklerde n-tipi iletkenliğin olduğunu yani sistemdeki baskın taşıyıcılarının elektronlar olduğunu göstermektedir. Er-katkılı örneklerde ise pozitif $S(T)$ elde edilmiştir. Bu durum sistemdeki baskın yük taşıyıcılarının holler olduğunu (p-tipi iletkenlik) göstermektedir. Sistemde 300 K civarında gözlenen hızlı azalmadan sonra 270 ile 80 K arasında $S(T)$ lineer olarak azalmış ve 70 K'dan sonra da sıfıra düşmüştür. Elde edilen $S(T)$ sonuçları Mandurus vd. [240] tarafından a-b düzleminde Bi-2212 tek kristalinin $S(T)$ sonuçları ile uyusum göstermektedir.

$\kappa(T)$ grafikleri optimum ısıl işlemler ile hazırlanan örneklerde T_c 'nin hemen altında κ' nin hızlı bir şekilde arttığını ve sıcaklığın daha da azalması ile yavaşça sıfıra düşüğünü göstermektedir. κ' da elde edilen bu maksimum fonon-taşıyıcı saçılması ile ilişkilidir. T_c 'nin hemen altında güçlü fonon-taşıyıcı çiftlenmesi olur. Bu durumda, saçılma azalar ve serbest fonon akışı meydana gelir. Böylece, fonon ortalama serbest yolu artar. Mo-katkılı örnekte katkılama seviyesi $x=1.5$ olduğunda oda sıcaklığından başlayarak T_c 'ye kadar κ hemen hemen sabit bir davranış göstermiştir. Bu durumda, fononlar oldukça kısa ve sıcaklıktan bağımsız ortalama serbest yollara sahip olmaktadır. Ayrıca, farklı kütelerde iyonlar içeren ve çok fazla bir kristal yapıdan dolayı fonon saçılma prosesindeki anharmoniklik te ortalama serbest yolu kısalması üzerinde etkilidir. Katkılama konsantrasyonunun artması ile pikin düşük sıcaklıklara doğru kayması ve büyülüğünün de azalması elektron-fonon çiftlerinin saçılmasının arttığını ve fonon ortalama serbest yoluun azaldığını göstermektedir. Pr-katkılı sistemde T_c 'nin hemen altında oluşan pik Mo ve Er-katkılı örneklerle kıyasla daha düşük şiddette meydana gelmiştir. Ancak, T_c 'ye kadar $\kappa(T)$ 'de olan azalma Mo ve Er-katkılı örneklerin $\kappa(T)$ 'sindeki azalmaya kıyaslandığında daha hızlı olmaktadır. Pikin

daha küçük elde edilmesi daha zayıf elektron-fonon çiftlenimi ve daha kısa fonon ortalama serbest yolu olduğunu göstermektedir.

6.9. İleri Çalışmalar

- 1.) Özellikle BSCCO sistemine yapılan katkılamlar fiziksel özelliklerini etkilediği gibi manyetik özellikler üzerinde de ciddi etkiler yapmaktadır. Buna göre her bir katkı seviyesinin sistemler üzerinde oluşturacağı etki öncelikli olarak incelenenecektir.
- 2.) Katkılamlar sonucu oluşacak safsızlık fazlarının sistemde birer tuzaklama merkezi (pinning center) gibi davranışları bununda çoğu kez kritik akım yoğunluğunu pozitif yönde desteklediği bilinmektedir. Dolayısıyla ürettiğimiz örneklerde bunlarında manyetik alana göre değişimlerinin incelenmesi ilginç olacaktır.
- 3.) Üretilen her bir parça malzemenin teknolojik olarak kullanılabilir olması bu malzemelerin ince/kalın film, şerit/kablo veya değişik geometrik şekillerde hazırlanmasına bağlıdır. Bundan sonraki aşamada özellikle kalın film ve şerit üretimlerinin incelenmesi düşünülmektedir.

7. KAYNAKLAR

- [1] D. Goodstein ve J. Goodstein, *Michael Faraday and History of Superconductivity* **Phys. Perspect.** 2 (2000) 30
- [2] H. Kamerling Onnes, *Sur les resistances électriques Communications from the physical laboratory of the University of Lieden*, Supplement 29 (1911) 1
- [3] J. C. Phillips *Physics of High T_c superconductors* Academic Press Boston. USA (1989)
- [4] A. A. Abrikosov *Fundamentals of the theory of metals* Oxford North Holland (1988)
- [5] A. S. Alexandrov *High temperature superconductors and other superfluids* Taylor & Francis London (1994)
- [6] M. Crisan, *Theory of superconductivity* World Scientific Singapore (1989)
- [7] H. London ve F. London, *Prog. Roy. Soc.* A149 (1935) 71
- [8] A. J. Dolgert, *Superheated and dissipative Landau-Ginzburg systems A dissertation for the degree of doctor of philosophy* University of Virginia (1999)
- [9] H. Jagger, *Superconductivity-Then and Now* **Adv. Matter.** 2,1 (1990)16
- [10] J. Bardeen, L. N. Cooper ve J. R. Schrieffer, *Microscopic theory of superconductivity* **Phys. Rev.** 106 (1957) 162
- [11] C. Kittel *Introduction to Solid State Physics* Wiley New York (1976)
- [12] J. G. Bednorz ve K. A. Müller, *Possible high- T_c superconductivity in the Ba-La-Cu-O system* **Z. Phys.** B64 (1986) 189
- [13] C. W. Michel, M. Hervieu, M. M. Borel, A. Grandin, F. Deslandes, J. Provost ve B. Raveau, **Z. Phys.** B68 (1987) 421
- [14] M. K. Wu, J. R. Ashborn, C. J. Tormg, L. R. Meng, L. Gao, Z. J. Huang, Y. Q. Wang ve C. W. Chu, *Superconductivity at 95 K in a new mixed phase $YBaCuO$ compounds at ambient pressure* **Phys. Rev. Lett.** 58 (1987) 908
- [15] H. Maeda, Y. Tanaka, M. Fukutumi ve T. Asano, *A new high- T_c oxide superconductor without a rare-earth element* **Jpn. J. Appl. Phys.** 27 (1988) L209
- [16] L. Gao, Z. J. Huang, R. L. Meng, P. H. Hor, J. Bechtold, Y. Y. Sun, C. W. Chu, Z. Z. Sheng ve A. M. Hermann, *Bulk Superconductivity in $Tl_2CaBa_2Cu_3O_8$ up to 120K* **Nature** 332 (1988) 334
- [17] J. L. Tallon, R. G. Buckley, P. W. Gilberd, M. R. Presland, I. W. M. Brown, M. E. Bowden, L. A. Christian ve R. Goguel, *High- T_c superconducting phases in the series Bi(Ca,Sr)CuO* **Nature** 333 (1988) 153
- [18] M. R. Hazen, T. C. Prewith, R. J. Angel, R. L. Ross, L. W. Finger, C. G. Nadidiacos, D. R. Weblen, P. J. Heaneg, P. H. Hor, R. L. Meng, Y. Y. Sun, Y. Q. Wang, Y. Y. Xue, Z. L. Huang, L. Gao, J. Bechtold ve C. W. Chu, *Superconductivity in the very high BiSrCaCuO system and phase idendification* **Phys. Rev. Lett.** 60 (1988) 1174
- [19] Z. Z. Sheng, A. M. Hermann, A. El Ali, L. Almasan, J. Estrada, T. Datta ve R. J. Matson, *Superconductivity at 90 K in the Tl-Ba-Cu-O System* **Phys. Rev. Lett.** 60 (1988) 937
- [20] S. N. Putilin, E. V. Antipov, O. Chmaissen ve M. Marezio, *Superconductivity at 94 K in $HgBa_2CuO_{4-\delta}$* **Nature** 362 (1993) 226
- [21] C. W. Chu, L. Gao, F. Chen, Z. J. Huang, R. L. Meng ve Y. Y. Xue,

- Superconductivity Above 150 K in $HgBa_2Ca_2Cu_3O_{8+\delta}$ at High Pressures* **Nature** 365 (1993) 323
- [22] J. Nagamatsu, N. Nakagawa, T. Muranaka, Y. Zenitani ve J. Akimitsu, *Superconductivity at 39 K in magnesium diboride* **Nature** 410 (2001) 63
- [23] C. P. Poole, T. Datta ve H. Farach, *Cooper Oxide Superconductors*, Wiley, New York (1989)
- [24] O. Madelung, *Introduction to Solid-State Theory*, Springer-Verlag, (1981) 228
- [25] P. W. Anderson, *Absence of diffusion in certain random lattices* **Phys. Rev.** 109 (1958) 1492
- [26] M. Tinkham, *Introduction to Superconductivity* Kriger, Florida (1985)
- [27] M. V. Sadovskii, *Superconductivity and Localisation* World Scientific (2000); <http://arxiv.org/abs/cond-mat/9308018>
- [28] <http://physicsweb.org/article/world/12/12/3>
- [29] <http://elifritz.members.athlantic.net/super.htm>
- [30] H. A. Blackstead ve J. D. Dow, *Role of Ba-site Pr in quenching superconductivity of $Y_{1-y}Pr_yBa_2Cu_3O_x$ and related materials* **Phys. Rev. B** 51 (1995) 11830
- [31] M. E. Yakinci, *Thick Film Glass-Ceramic Superconductor Fabrication*" PhD Thesis, University of Warwick (1992)
- [32] C. P. Bean, *Magnetization of hard superconductors* **Phys. Rev. Lett.** 8 (1962) 250
- [33] Mehmet Ali Aksan, *BiSrCaCuO* (2223) Cam-Seramik Süperiletken Sistemine Küçük Yarıçaplı İyonların Katılması ve Sistemin Fiziksel ve Elektriksel Özelliklerinin İncelenmesi Yüksek Lisans Tezi, İnönü Üniversitesi, Fen-Bilimleri Enstitüsü (1998)
- [34] D. J. C. Jackson ve M. P. Das, *Melting of the flux line lattice* **Supercond. Sci. Technol.** 9 (1996) 713
- [35] Z. D. Wang, Q. Wang ve P. C. W. Fung, *Electromagnetic and thermomagnetic properties of high- T_c superconductor in its mixed state: The single-vortex-motion model* **Supercond. Sci. Technol.** 9 (1996) 333
- [36] U. Essmann ve H. Trauble, *Direct observation of a triangular flux-line lattice in type II superconductors by a Bitter method* **Phys. Rev. A** 24 (1967) 526
- [37] A. C. Rose Innes ve E. H. Rhoderik, *Introduction to Superconductivity* Pergamon Press, Oxford (1978)
- [38] N. W. Ashcroft ve N. D. Mermin, *Solid State Physics*, Holt, Rinehart and Winston USA (1976)
- [39] J. A. Parrel, *The Materials Processing, Connectivity, Flux Pinning and Critical Current Density of Ag-Clad $(Bi,Pb)_2Sr_2Ca_2Cu_3O_x$ Superconducting Tapes* PhD Thesis, University of Wisconsin-Madison (1996)
- [40] D. D. Pollock, *Thermoelectricity ASTM Special Technical Publication* 852, Philadelphia (1985)
- [41] F. J. Blatt, P. A. Schroeder, C. L. Foiles ve D. Greig, *Thermoelectric Power of Metals* Plenum Press New York (1976)
- [42] R. D. Barnard, *Thermoelectricity in Metals and Alloys* Taylor and Francis Ltd. London (1972)
- [43] D. K. C. MacDonald, *Thermoelectricity* John Wiley and Sons New York (1962)
- [44] X-Q Xu, S. J. Hagen, W. Jiang, J. L. Peng, Z. Y. Li ve R. L. Greene, *Thermoelectric power of $Nd_{2-x}Ce_xCuO_4$ crystals* **Physical Rev. B** 45, 13 (1992)

- [45] M. Ausloos, *Electrical and thermal transport properties in high- T_c superconductors: effects of a magnetic field* **Physica C** 354 (2001) 160
- [46] T. Plackowski, A. Jezowski, C. Sulkowski, D. Włosewicz ve H. Misiorek, *Thermal transport in $Sm_{1-x}Ba_{2-x}Cu_3O_y$ solid solution* **Physica C** 306 (1998) 58
- [47] H. Fritzsche, *A general expression for the thermoelectric power* **Solid State Commun.** 9 (1971) 1813
- [48] R. Rajput, D. Kumar, R. G. Sharma ve Y. S. Reddy, *Thermoelectric power of doped BSCCO superconductors and marginal Fermi liquid theory* **J. Phys.: Condens. Matter**, 5 (1993) 669
- [49] Q. M. Zhang, X. S. Xu, X. N. Ying, A. Li, Q. Qiu, Y. N. Wang, G. J. Xu ve Y. H. Zhang, *Study on the anomalies of thermoelectric power due to the normal-state pseudogap in underdoped cuprates* **Physica C** 337 (2000) 277
- [50] J. A. Wilson ve M. Farbod, *A view of pseudogap formation and the HTSC mechanism from the perspective of Seebeck results on $HgBa_2CuO_{4+\delta}$* **Supercond. Sci. Technol.** 13 (2000) 307
- [51] C. P. Moca ve E. Mocacian, *Transport properties calculation for a quasi-bidimensional system using T-matrix approximation* **Physica C** 351 (2001) 438
- [52] K. Q. Ruan, Q. Cao, S. Y. Li, G. G. Qian, C. Y. Wang, X. H. Chen ve L. Z. Cao, *The detailed transport property of the underdoped Bi-2212 system in the pseudogap state* **Physica C** 351 (2001) 402
- [53] C. C. Tsuei ve T. Doderer, *Charge confinement effect in cuprate superconductors: an explanation for the normal-state resistivity and pseudogap* **Eur. Phys. J. B** 10 (1999) 257
- [54] D. R. Sita ve R. Singh, *Thermo-electric power studies on $Bi_2Sr_xCa_{1-x}Pr_3Cu_2O_3$ system* **Physica C** 296 (1998) 21
- [55] J. G. Lin, C. W. Chang, C. Y. Huang, C. Y. Chang ve R. S. Liu, *Strain effect on the thermoelectric power of $YBa_{2-x}Sr_xCu_3O_7$* **Physica C** 336 (2000) 249
- [56] C. Uher, A. B. Kaiser, E. Gmelin ve L. Walz, *Electronic transport in highly doped $La_{2-x}Sr_xCuO_4$ superconductors* **Phys. Rev. B** 36 (1987) 5676
- [57] M. E. Lopez-Morales, R. J. Savoy ve P. M. Grant, *Compositional properties and thermoelectric power of the superconducting ceramic $Nd_{2-x}Ce_xCuO_{4+y}$* **Solid State Commun.** 71 (1989) 1079
- [58] L. Forro, M. Rakai, J. Y. Hery ve C. Ayache, *Hall effect and thermoelectric power of an $YBa_2Cu_3O_{7-\delta}$ single crystal* **Solid State Commun.** 69 (1989) 1097
- [59] S. S. Yan, P. X. Lu ve Li Qi *Thermoelectric Power of Single Phase $YBa_2Cu_3O_{7-x}$* **Solid State Commun.** 65 (1988) 355
- [60] S. A. Aliev, S. S. Ragimov ve V. M. Aliev, *Thermal power and magnetothermal power in Bi-Sr-Ca-Cu-O* **Low Temp. Phys.** 22 (1996) 522
- [61] C. Uher ve A. B. Kaiser, *Thermal transport properties of $YBa_2Cu_3O_7$ superconductors* **Physical Rev. B** 36 (1987) 5680
- [62] V. Radhakrishnan, C. K. Subramaniam, V. Sankaranarayanan, G. V. S. Rao ve R. Srinivasan, *Thermopower of zinc-doped Y-Ba-Cu-O* **Physical Rev. B** 40 (1989) 6850
- [63] A. B. Kaiser, *Electron-phonon interaction and thermopower nonlinearities in Chevrel-phase compounds* **Physical Rev. B** 35 (1987) 4677
- [64] J. L. Chon, S. A. Wolf, V. Selvamanickam ve K. Salama, *Thermoelectric power of $YBa_2Cu_3O_{7-\delta}$: Phonon drag and multiband conduction* **Phys. Rev. Lett.** 66 (1991) 1098
- [65] J. R. Cooper, S. D. Obertelli, A. Carrington ve J. W. Loram, *Effect of oxygen*

- depletion on the transport properties of $YBa_2Cu_3O_{7-\delta}$ *Physical Rev. B* 44 (1991) 12086
- [66] S. Chatterjee, S. S. Weng, I. P. Hong, C. F. Chang, H. D. Yang ve J. -Y. Lin, *Contributions of Cu_2O_7 planes and CuO chains on the transport properties of $YBa_2Cu_3O_8$* *Physica C* 312 (1999) 55
- [67] G. V. M. Williams, M. Staines, J. L. Tallon ve R. Meinholt, *NMR and transport studies of $Y_2Ba_4Cu_7O_{13-\delta}$ having different T_c values from different synthesis conditions* *Physica C* 258 (1996) 273
- [68] C. Uher ve W. -N. Huang, *Thermoelectric power and thermal conductivity of neutron-irradiated $YBa_2Cu_3O_{7-\delta}$* *Physical Rev. B* 40 (1989) 2694
- [69] A. Das, I. Zelenay ve R. Suryanarayanan, *Normal state transport properties of $Y_{1-x}Pr_xSrBaCu_3O_7$ and $Y_{1-x}Pr_xSr_2Cu_{2.8}Re_{0.2}O_7$* *Physica C* 295 (1998) 47
- [70] M. Matsukawa, R. Sato, H. Ogasawara, Y. Yamada ve S. Horii, *Thermal transport of Pr substituted $YBa_2Cu_3O_8$ compounds with CuO double chains* *Physica C* 351 (2001) 245
- [71] K. Isawa, A. Tokiwa-Yamamoto, M. Itoh, S. Adachi ve H. Yamauchi, *Studies of the effects of Pb doping on the irreversibility fields of $HgBa_2Ca_2Cu_3O_{8-\delta}$ superconductors* *Appl. Phys. Lett.* 65 (1994) 2105
- [72] Y. T. Ren, J. Clayhold, F. Chen, Z. J. Huang, X. D. Qiu, Y. Y. Sun, R. L. Meng, Y. Y. Xue ve C. W. Chu, *Thermopower and Resistivity Measurements on O_2 -annealed $HgBa_2Ca_2Cu_3O_{6-\delta}$* *Physica C* 217 (1993) 6
- [73] C. K. Subramanian, M. Paranthaman ve A. B. Kaiser, *Thermoelectric power and resistivity of bulk $HgBa_2CuO_{4-y}$ superconductors and the effect of annealing* *Physica C* 222 (1994) 47
- [74] T. E. Jones, W. C. McGinnis, R. D. Boss, W. Jacobs, J. W. Schindler ve C. D. Ress, *Chemistry of High Temperature Superconductors II, Chap 13.* (1988) 155
- [75] S. Bhattacharya, S. Chatterjee, K. Goswami ve B. K. Chaudhuri, *Thermoelectric power of $Bi_2Sr_3Ca_2Cu_3O_x$ glass-ceramic superconductor* *Journal of Matt. Sci. Lett.* 17 (1998) 1575
- [76] S. Chatterjee, P. K. Pal, S. Bhattacharya ve B. K. Chaudhuri, *Depression of superconductivity and the phonon-drag effect in glass-ceramic superconductors by annealing the Fe-doped $(Bi,Pb)_4Sr_3Ca_2Cu_{4-m}Fe_mO_x$ glassy precursor* *Physical Rev. B* 58, 18 (1998) 12427
- [77] S. Chatterjee, S. Banerjee, S. Mollah ve B. K. Chaudhuri, *Transport properties of Pb-doped $Bi_2Sr_3Ca_2Cu_3O_x$ semiconducting glasses and glass-ceramic superconductors* *Physical Rev. B* 53, 9 (1996) 5942
- [78] S. Dorbolo, M. Ausloos, H. Bougrine, B. Robertz, R. Cloots, J. Mucha ve K. Durczewski, *Effect of synthesis process and substrate on electrical and thermal transport properties of Bi-2212* *J. of Superconductivity* 12 (1999) 623
- [79] V. Gotwick, K. Glass, F. Horn, F. Staglich ve N. Grewe, *Transport coefficients of intermediate valent $CeNi_x$ intermetallic compounds* *J. Mag. Magn. Mat.* 47-48 (1985) 536
- [80] L. Forro, J. Lukatela ve B. Keszei, *Thermoelectric power of $Bi_2Sr_3CaCu_2O_8$ single crystals with varying oxygen stoichiometry* *Solid-State Commun.* 73 (1990) 501
- [81] N. Nagosa ve P. A. Lee, *Normal-state properties of the uniform resonating-valence-bond state* *Phys. Rev. Lett.* 64 (1990) 2450
- [82] S. Ikegawa, T. Wada, T. Yamashita, A. Ichinose, K. Matsuura, K. Kubo, H. Yamauchi ve S. Tanaka, *Thermoelectric power of the $(Eu,Ce)_4Ba_2Eu_4Cu_6O_y$*

- phase and the T^* phase: Comparison between superconducting and nonsuperconducting compounds* **Phys. Rev. B** 43 (1991) 11508
- [83] V. E. Gasumyants, V. I. Kaidanov ve E. V. Vladimirskaia, *The electron-transport phenomena in Y-based HTSCS and their analysis on the basis of phenomenological narrow-band theory the band structure transformation with oxygen content and substitution for Cu* **Physica C** 248 (1995) 255
- [84] V. E. Gasumyants, M. V. Elizarova ve I. B. Patrina, *Thermoelectric power and band spectrum transformation in $Y_{1-x}Ca_xBa_2\text{-}La_3Cu_3O_y$ Supercond. Sci. Technol.* 13 (2000) 1600
- [85] Y. Xin, K. W. Wong, C. X. Fan, Z. Z. Sheng ve F. T. Chan, *Thermoelectric power of the thallium-based superconductor $Tl_2Ba_2Ca_2Cu_3O_{10-\delta}$* **Physical Rev. B** 48, 1 (1993) 557
- [86] V. P. S. Awana, S. B. Samanta, P. K. Dutta, E. Gmelin ve A. N. Narlikar, *High-resolution STM/STS studies of the role of oxygen in superconductivity of Bi-2122 and optimization of T_c* **J. Phys.:Condens. Matter** 3,45 (1991) 8893
- [87] S. B. Samanta, P. K. Dutta, V. P. S. Awana ve A. N. Narlikar, *High-resolution STM/STS studies of doping effects on Bi-O layers in Bi-2122 high-T_c cuprate* **Europhys. Lett.** 16 (1991) 391
- [88] L. -Y. Zhang, C. Liu, X. -Q. Yang ve Q. Han, *Thermoelectric power and Hall effect of high- T_c superconductors in a two-component model* **Physica B** 279 (2000) 230
- [89] A. K. Dhami, S. Basak, S. K. Ghatale ve T. K. Dey, *Thermoelectric power of samarium substituted $Y_{1-x}Sm_xBa_2Cu_3O_{7-\delta}$ superconducting pellets* **Materials Research Bulletin** 36 (2001) 971
- [90] C. Kittel, *Thermal Physics* John Wiley&Sons Inc. USA (1969)
- [91] C. Kittel, *Katılım Fizигine Giriş Çeviri*: Bekir Karaoğlu Bilgi Tek Yayıncılık İstanbul (1996)
- [92] J. R. Hook ve H. E. Hall, *Katılım Fizigi Literatüri* Yayıncılık İstanbul (1999)
- [93] M. A. Omar, *Elementary Solid State Physics: Principles and Applications* Addison-Wesley Publishing Company Inc. USA (1975)
- [94] J. E. Parrot, *Thermal Conductivity of Solids* Academic Press New York (1975)
- [95] A. C. Anderson, *Fast Ion Transport in Solids* P. Vashista, J. N. Mundy ve G. K. Shenoy (editor), North-Holland, Amsterdam (1979)
- [96] G. A. Shams, J. W. Cochrane ve G. J. Russell, *Thermal transport in polycrystalline $YBa_2Cu_3O_{7-\delta}Y_2BaCuO_5$ and melt-processed $YBa_2Cu_3O_{7-\delta}$ materials* **Physica C** 351 (2001) 449
- [97] B. Chanda ve T. K. Dey, *Thermal conductivity of Bismuth-Lead (2223) superconducting cuprates with Vanadium/Nickel substitutions and evidence for strong electron-phonon coupling* **Solid-State Commun.** 89, 4 (1994) 353
- [98] H. Bougrine, J. F. Geys, S. Dorbolo, R. Cloots, J. Mucha, I. Nedkov ve M. Ausloos, *Simultaneous measurements of thermal diffusivity, thermal conductivity and thermoelectric power with application to copper and ceramic superconductors* **Eur. Phys. J. B** 13 (2000) 437
- [99] H. Bougrine, M. Houssa, R. Cloots, M. Pekala, I. Sargankova ve M. Ausloos, *Transport properties of $HgBaCaCuO$ (1223) polycrystalline superconductors* **Superconduc. Sci. Technol.** 11 (1998) 128
- [100] G. A. Shams, J. W. Cochrane ve G. J. Russell, *Thermal conductivity and thermoelectric power of melt processed (Nd/Y)BCO intergrowth crystals* **Physica C** 336 (2000) 205
- [101] S. D. Peacor ve C. Uher, *Thermal conductivity of $Bi\text{-}Sr\text{-}Ca\text{-}Cu\text{-}O$*

- superconductors: Correlation with the low-temperature specific-heat behavior* **Phys. Rev. B** 39 (1989) 11559
- [102] T. K. Dey, H. K. Barik ve K. L. Chopra, *Effect of antimony addition on the temperature dependence of thermal conductivity of $(Bi_{0.8}Pb_{0.2})_xSb_ySr_2Ca_2Cu_3O_x$ superconductors* **Solid State Commun.** 80 (1991) 185
- [103] A. Jezowski, J. Mucha, K. Rogacki, R. Horn, Z. Bukowski, M. Horobiowski, J. Rafalowicz, J. Stepien-Damm, S. Sulkowski, E. Trojnar, A. J. Zaleski ve J. Klamut, *Thermal conductivity and electrical resistivity of the high- T_c superconductor $YBa_2Cu_3O_{9-\delta}$* **Phys. Lett. A** 122 (1987) 431
- [104] D. T. Morelli, J. Haremans ve D. E. Swets, *Thermal conductivity of superconductive $Y\text{-Ba}\text{-Cu}\text{-O}$* **Phys. Rev. B** 36 (1987) 3617
- [105] J. L. Cohn, S. D. Peacor ve C. Uher, *Thermal conductivity of $YBa_2Cu_3O_{7-\delta}$ below 1 K: Evidence for normal-carrier transport well below T_c* **Physical Rev. B** 38 (1988) 2892
- [106] M. Ausloos ve M. Houssa, *Thermal conductivity of unconventional superconductors: a probe of the order parameter symmetry* **Supercondue. Sci. Technol.** 12 (1999) R103
- [107] K. Koehlein ve B. Bonin, *Parametrization of the niobium thermal conductivity in the superconducting state* **Supercondue. Sci. Technol.** 9 (1996) 453
- [108] N. K. Federov, *Electronic thermal conductivity in superconductors with nontrivial density of states* **Solid State Commun.** 106,4 (1998) 177
- [109] B. Zeini, A. Freimuth, B. Büchner, M. Galfy, R. Gross, A. P. Kampf, M. Klaser, G. M. Vogt ve L. Winkler, *Thermal conductivity and thermal Hall effect in Bi- and Y-based high- T_c superconductors* **Eur. Phys. J. B** 20 (2001) 189
- [110] J. L. Cohn, E. F. Skelton, S. A. Wolf, J. Z. Liu ve R. N. Shelton, *Thermal conductivity in the ab plane of untwinned $YBa_2Cu_3O_{7-\delta}$* **Physical Rev. B** 45, 22 (1992) 13144
- [111] M. J. Graf, S. -K. Yip, J. A. Sauls ve D. Rainer, *Electronic thermal conductivity and the Wiedemann-Franz law for unconventional superconductors* **Physical Rev. B** 53 (1996) 15147
- [112] M. B. Salamon, F. Yu ve V. N. Kopylov, **J. Superconduct.** 8 (1995) 1976
- [113] H. Aubin, K. Behnia, M. Ribault, L. Taillefer ve R. Gagnon, *Thermal conductivity as a probe of unconventional superconducting gap* **Z. Phys. B** 103 (1997) 149
- [114] B. Zeini, A. Freimuth, B. Büchner, R. Gross, A. P. Kampf ve M. Klaser, G. Muller-Vogt, *Righi-Leduc effect in Y- and Bi-based high- T_c superconductors* **Physica C** 317-318 (1999) 325
- [115] Y. Zhang, N. P. Ong, Z. A. Xu, K. Krishana, R. Gannon ve L. Taillefer, *Determining the Wiedemann-Franz Ratio from the Thermal Hall Conductivity: Application to Cu and $YBa_2Cu_3O_{6.95}$* **Phys. Rev. Lett.** 84 (2000) 2219
- [116] C. Hess, B. Büchner, M. Hücker, R. Gross, S-W. Cheong, *Phonon thermal conductivity and stripe correlation in $La_{2-x}Sr_xNiO_4$ and $Sr_{1.5}La_{0.5}MnO_4$* **Physical Rev. B** 59, 16 (1999) 10397
- [117] D. Cassel, C. Hess, B. Büchner, M. Hücker, R. Gross, O. Friedt ve S-W. Cheong, *Phonon thermal conductivity of stripe ordering $La_{2-x}Sr_xNiO_4$* **J. of Low. Temp. Physics** 117 (1999) 1083
- [118] K. Knizek, M. Vevearka, H. Hadova, J. Hejtmanek, D. Sedmidubsky ve E. Pollert, *Synthesis of $HgBa_2CuO_{4+\delta}$ by sol-gel method under controlled oxygen pressure; electron and thermal transport properties* **Physica C** 302 (1998) 290
- [119] X. Du, L. L. Cheng, L. Zhang ve H. Zhang, *Calculation of modulus of*

- elasticity between two blocks in $YBa_2Cu_3O_{7-\delta}$* , **Physica C**, 337 (2000) 204
- [120] M. -J. Tsai, S. F. Wu, Y. T. Huang ve S. W. Lu, *Rapid processing of Tl - Ba - Ca - Cu - O 2233 phase with $T_c=127\text{ K}$* , **Physica C** 198 (1992) 125
- [121] P. L. Gai, M. A. Subramanian, J. Gopalakrishnan ve E. D. Boyes, *Microstructure and microchemistry of defects and interfaces in $Tl_2Ba_2Ca_3Cu_4O_{12}$, $TlBa_2Ca_4Cu_3O_{13}$ and $(Tl,Pb)Sr_2Ca_{n-1}Cu_nO_{2n+3}$ ($n=2,3$) oxide superconductors*, **Physica C** 159 (1989) 801
- [122] E. V. Antipov, A. M. Abakumov ve S. N. Putilin, *Chemistry and structure of Hg -based superconducting Cu mixed oxides* **Supercond. Sci. Technol.** 15 (2002) R31
- [123] J. M. Tarascon, W. R. McKinnon, P. Barboux, D. M. Hwang, B. G. Bagley, L. H. Greene, G. W. Hull, Y. LePage, N. Staffel ve M. Giroud, *Preparation, structure, and properties of the superconducting compound series $Bi_2Sr_2Ca_{n-1}Cu_nO_y$ with $n=1,2$, and 3* **Phys. Rev. B** 38 (1988) 8885
- [124] F. Herman, R. V. Kasowski ve W. Y. Hsu, *Electronic structure of $Bi_2Sr_2CaCu_2O_8$ high- T_c superconductors* **Phys. Rev. B** 38 (1988) 204
- [125] <http://www.univ-lemans.fr/enseignements/chimie/01/maitrise/weber/HTC/HighTc.html>
- [126] J. M. Tarascon, Y. Le Page, L. H. Greene, B. G. Bagley, D. M. Barboux, G. W. Hull, W. R. McKinnon ve M. Giroud, *Origin of the 110-K superconducting transition in the Bi - Sr - Ca - Cu - O system* **Phys. Rev. B** 38 (1988) 2504
- [127] S. Koyama, U. Endo ve T. Kawai, *Preparation of single 110 K phase of the Bi - Pb - Sr - Ca - Cu - O superconductor* **Jpn. J. Appl. Phys.** 27 (1988) L1861
- [128] J. M. Tarascon, Y. Le Page, B. G. Bagley, L. H. Greene, W. R. McKinnon, M. Giroud ve D. M. Hwang, *Crystal structure and physical properties of the superconducting phase $Bi_2(SrCa)_6Cu_2O_{16-x}$* **Phys. Rev. B** 37, 16 (1988) 9352
- [129] L. Zhou, C. Mao, X. Wu ve X. Sun, *Manufacture of ultrafine $BiPbSrCaCuO$ powder by an in situ nanometre reaction process* **Superconduc. Sci. Technol.** 10 (1997) 47
- [130] P. Majewski, *$BiSrCaCuO$ High- T_c superconductors* **Adv. Matter** 6 (1994) 460
- [131] S. A. Sunshine, T. Siegrist, L. F. Schneemeyer, D. W. Murphy, R. J. Cava, B. Batlogg, R. B. Van Dover, R. M. Fleming, S. H. Glarum, S. Nakahara, R. Farrow, J. J. Krajewski, S. M. Zahurak, J. V. Waszczak, J. H. Marshall, P. Marsh, L. W. Rupp Jr ve W. F. Peck, *Structure and physical properties of single crystals of the 84-K superconductor $Bi_{2.2}Sr_2Ca_{0.8}Cu_2O_{8+\delta}$* **Phys. Rev. B** 38 (1988) 893
- [132] M. M. Ibrahim, S. M. Khalil ve A. M. Ahmed, *Effect of Pb addition on thermoelectric power and microhardness of Bi - Pb - Sr - Ca - Cu - O superconductors* **Jornal of Physics and Chemistry of Solids** 61 (2000) 1553
- [133] M. Takano, J. Takada, K. Oda, H. Kitaguchi, Y. Miura, Y. Ikeda, Y. Tomii ve H. Mazaki, *High- T_c phase promoted and stabilized in the Bi - Pb - Sr - Ca - Cu - O system* **Jpn. J. Appl. Phys.** 27 (1988) L1041
- [134] N. Takahashi, A. Koukitu, H. Seki ve Y. Kamioka, *Preparation of (Bi,Pb) - Sr - Ca - Cu - O superconducting the films by the mist microwave-plasma chemical vapor deposition method* **Jpn. J. Appl. Phys.** 32 (1994) L1648
- [135] W. D. Kingery, H. K. Bowen ve D. R. Uhlmann, *Introduction to Ceramics*, Second Edition, John Wiley and Sons New York (1976)
- [136] M. Avrami, *Kinetics of phase changes I. General theory* **J. Chem. Phys.** 7 (1939) 1103

- [137] N. P. Bansal, R. H. Doremus, A. J. Bruce ve C. T. Moynihan, *Kinetics of Crystallisation of ZrF₄-BaF₂-LaF₃ glass by differential scanning calorimetry* **J. of American Cer. Soc.** 66 (1983) 233
- [138] J. S. Luo, N. Merchant, V. A. Maroni, D. M. Gruen, B. S. Tani, W. L. Carter, G. N. Riley Jr. ve K. H. Sandhage, *Thermostability and decomposition of the (Bi,Pb)₂Sr₂Ca₂Cu₃O₁₀ phase in silver-clad tapes* **J. Appl. Phys.** 72 (1992) 2385
- [139] X. -H. Gao, J. Li, S. -F. Jiang, D. Gao, G. -D. Zheng ve S. Gao, *The kinetics of the formation of the Bi-based superconducting phase* **Physica C** 244 (1995) 321
- [140] C. -H. Shan ve S. H. Risbud, *Effect of supercooling on the growth kinetics of the 2223 phase in Bi-Pb-Sr-Ca-Cu-O superconducting glass-ceramics* **Superconduc. Sci. Technol.** 6 (1993) 736
- [141] Q. Y. Hu, H. K. Liu ve S. X. Dou, *Formation mechanism of High-T_c phase and critical current in (BiPb)₂Sr₂Ca₂Cu₃O₁₀/Ag tape* **Physica C** 250 (1995) 7
- [142] Y. D. Chiu, C. H. Kao, T. S. Lei ve M. K. Wu, *Effect of Ag₂O on the formation of High-T_c phase in the BPSCCO/Ag₂O composites* **Physica C** 235-240 (1994) 485
- [143] T. Hatano, K. Aota, S. Ikeda, K. Nakamura ve K. Ogawa, *Growth of the 2223 phase in leaded Bi-Sr-Ca-Cu-O system* **Jpn. J. Appl. Phys.** 27 (1988) L2055
- [144] P. E. D. Morgan, R. M. Housley, J. R. Porter ve J. J. Ratto, *Low level mobile liquid droplet mechanism allowing development of large platelets of high-T_c "Bi-2223" phase within a ceramic* **Physica C** 176 (1991) 279
- [145] J. -C. Grivel ve R. Flükiger, *Visualization of the formation of the (Bi,Pb)₂Sr₂Ca₂Cu₃O_{10-δ} phase* **Superconduc. Sci. Technol.** 9 (1996) 555
- [146] S. C. Kwon, H. G. Lee, B. T. Ahn ve S. W. Nam, *A formation mechanism of Bi-2223 by mixing intermediate compounds in the Bi(Pb)SrCaCuO system* **Superconduc. Sci. Technol.** 8(7) (1995) 552
- [147] J. -C. Grivel, D. P. Grindatto, G. Grassò ve R. Flükiger, *Studies of the formation mechanism of (BiPb)₂Sr₂Ca₂Cu₃O_{10-δ} phase* **Superconduc. Sci. Technol.** 11 (1998) 110
- [148] K. Navakova, O. Smrkova, D. Sykorova ve P. Vasek, *Preparation and properties of Pb- and V-doped Bi-based superconductors* **Superconduc. Sci. Technol.** 9 (1996) 761
- [149] F. M. Costa, R. F. Silva ve J. M. Vieira, *Influence of epitaxial growth on superconducting properties of LFZ Bi-Sr-Ca-Cu-O fibres. Part I. Crystal nucleation and growth* **Physica C** 289 (1997) 161
- [150] J. -C. Grivel ve R. Flükiger, *Formation mechanism of the Pb-free Bi₂Sr₂Ca₂Cu₃O₁₀ phase* **Superconduc. Sci. Technol.** 11 (1998) 288
- [151] S. Ikeda, H. Ichinose, T. Kimura, T. Matsumoto, H. Maeda, Y. Ishida ve K. Ogawa, *Transmission electron microscope studies of intergrowth in BiSrCaCu₂O_x and high-T_c superconducting phase* **Jpn. J. Appl. Phys.** 27 (1988) L999
- [152] V. Garnier, I. Monot ve G. Desgardin, *Optimization of calcination conditions on the Bi-2223 kinetic formation and grain size* **Superconduc. Sci. Technol.** 13 (2000) 602-611
- [153] W. Bian, Y. Zhu, Y. -L. Wang ve M. Suenaga, *The intermediate phase during (Bi,Pb)₂Sr₂CaCu₂O_{8-δ} to (Bi,Pb)₂Sr₂Ca₂Cu₃O_{10-δ} phase transformation* **Physica C** 248 (1995) 119
- [154] Y. -L. Wang, W. Bian, Y. Zhu, Z. X. Cai, D. O. Welch, R. L. Sabatini, M. Suenaga ve T. R. Thurston, *A kinetic mechanism for the formation of aligned*

- (*Bi,Pb*)₂Sr₂Ca₂Cu₃O₁₀ in a powder-in-tube processed tape *Appl. Phys. Lett.* 69 (1996) 580
- [155] W. Zhu ve P. S. Nicholson, *Atmosphere-temperature-time relationships for the formation of 110 K phase in the Bi-(Pb)-Sr-Ca-Cu-O high T_c superconductor system* *Appl. Phys. Lett.* 61 (1992) 717
- [156] R. Masini, L. Dimesso, A. Migliori, M. G. Francesconi ve G. Calestani, *Effects of nitrogen annealing on structural, microstructural and superconducting properties of 2223-BPSCCO ceramics* *Physica C* 223 (1994) 189
- [157] J. C. Jao, L. J. Chang, H. E. Horng ve H. C. Yang, *Superconductivity in Bi-Pb-Ca-Sr-Cu-O system* *Physica C* 162-164 (1989) 915
- [158] U. Endo, S. Koyama ve T. Kawai, *Preparation of the high-T_c phase of Bi-Sr-Ca-Cu-O superconductor* *Jpn. J. Appl. Phys.* 27 (1988) L1479
- [159] L. M. Rubin, T. P. Orlando, J. B. Vander Sande, G. Gorman, R. Savoy, R. Swope ve R. Beyers, *Phase stability limits of Bi₂Sr₂Ca₁Cu₂O_{8-δ} and Bi₂Sr₂Ca₂Cu₃O_{10+δ}* *Appl. Phys. Lett.* 61 (1992) 1977
- [160] H. Zhang, Y. Zhao ve C. H. Chang, *Correlation of low-temperature thermal expansion with oxygen nonstoichiometry in Bi_{1.7}Pb_{0.3}Sr₂Ca₂Cu₃O_{10-y} Superconduc. Sci. Technol.* 12 (1999) 1163
- [161] V. P. S. Awana, R. Lal ve A. V. Narlikar, *The thermoelectric power of pure and oxygenated Bi₂Sr₂CaCu₂O_{8+y} systems-The role of BiO layers* *J. Phys.:Condens. Matter* 7 (1995) L171
- [162] A. Fujiwara, Y. Koike, K. Sasaki, M. Mochida, T. Noji ve Y. Saito, *Two effects of iodine intercalation on T_c in Bi₂Sr₂Ca_{1-x}Y_xCu₂O₈* *Physica C* 208 (1993) 29
- [163] P. H. Duvigneaud, C. De Boeck ve Y. F. Guo, *Bi and Cu valance characterization and charge transfer in single-phase Bi-2212 ceramics* *Supercond. Sci. Technol.* 11 (1998) 116
- [164] Y. Idemoto, T. Toda ve K. Fueki, *Comparison of Bi-rich and Cu-rich oxides of the Bi-2212 phase* *Physica C* 249 (1995) 123
- [165] R. Sekine, M. Kawai, Y. Murakoshi ve S. Teratani, *Synthesis and Characterization of Bi₂(Sr,Ca)₃Cu₂O_{8+δ} with different Sr/Ca ratio* *Physica C* 246 (1995) 385
- [166] A. P. Baker ve B. A. Glowczek, *The effect of Bi content on the phase purity and the superconducting critical temperature of a Sr and Ca deficient Bi-2212 stoichiometry* *Physica C* 227 (1994) 31
- [167] H. Tagaki, T. Ido, S. Ishibashi, M. Uota, S. Uchida ve Y. Tokura, *Superconductor-to-nonsuperconductor transition in (La_{1-x}Sr_x)₂CuO₄ as investigated by transport and magnetic measurements* *Physical Rev. B* 40 (1989) 2254
- [168] J. B. Torrance, A. Bezingé, A. I. Nazzal, T. C. Huang, S. S. P. Parkin, D. T. Keane, S. J. LaPlaca ve A. Fontaine, *Physica C* 159 (1989) 346
- [169] M. R. Presland, J. L. Tallon, R. G. Buckley, R. S. Liu ve N. E. Floer, *General trends in oxygen stoichiometry effects on T_c in Bi and Tl superconductors* *Physica C* 176(1990) 95
- [170] S. D. Obertelli, J. R. Cooper ve J. L. Tallon, *Systematics in the thermoelectric power of high-T_c oxides* *Physical Rev. B* 46, 22 (1992) 14928
- [171] M. A. Aksan, M. E. Yakinci ve Y. Balci, *Synthesis and characterization of glass-ceramic Bi_{2-x}Ga_xSr₂Ca₂Cu₃O_{10+y} superconductors* *Supercond. Sci. Technol.* 13 (2000) 955
- [172] M. E. Yakinci, I. Aksoy ve M. Ceylan, *Synthesis of melt-quenched Bi_{1.7}V_{0.3}Sr₂Ca₂Cu₃O_{10+y} superconducting glass-ceramics* *Journal of Materials*

- Science** 31 (1996) 2865
- [173] M. E. Yakinci, I. Aksoy ve A. Özdeş, *Crystallization kinetics for melt quenched $Bi_{1.4}Tl_{0.6}Sr_2Ca_2Cu_3O_{10+y}$ superconducting glass-ceramic* **Physica C** 235-240 (1994) 959
- [174] M. E. Yakinci ve I. Aksoy, *Activation energy for crystallisation of melt-quenched $(Bi_{1.0}Tl_{0.5}Ga_{0.5})Sr_2Ca_2Cu_3O_{10+y}$ superconducting glass-ceramics* **Superlattices and Microstructure** 21 (1997) 183
- [175] H. Zhang, Y. Zhao ve C. H. Cheng, *Correlation of low-temperature thermal expansion with oxygen nonstoichiometry in $Bi_{1-x}Pb_{0.5}Sr_xCa_2Cu_3O_{10-y}$* **Superconduc. Sci. Technol.** 12 (1999) 1163
- [176] E. A. Eremina, A. V. Kravchenko, P. E. Kazin, Y. D. Tretyakov ve M. Jonsen, *Influence of boron-containing dopants on the formation of superconducting phase in the system Bi(Pb)-Sr-Ca-Cu-O* **Superconduc. Sci. Technol.** 11 (1998) 223
- [177] M. A. Aksan, M. E. Yakinci ve Y. Balci, *Study on the physical and electrical properties of $Bi_{2-\delta}Zn_\delta Sr_2Ca_2Cu_3O_{10-y}$ glass-ceramic superconductors* **Journal of Superconductivity: Incorporating Novel Magnetism** 15 (2002) 553
- [178] A. Matsumoto, H. Kumakura ve K. Togano, *Hg doping effects on synthesis, microstructure and superconducting properties of the Bi-2212 phase* **Physica C** 319 (1993) 34
- [179] D. M. Spiller, Y. Yang, C. Beduz, K. Pham, D. Sparrowe ve R. Riddle, *The effect of excess (Pb,Bi)2212 stoichiometry on the transport J_c of (Pb,Bi)-2223 superconducting tapes* **Physica C** 319 (1993) 50
- [180] J. P. Srivastava, A. Sattar, S. V. Sharma ve T. K. Nath, *Effect of Er-substitution on superconducting and metal insulator transitions in 2212 bismuth cuprate* **Physica C** 266 (1996) 335
- [181] S. A. Agnihotry, S. Chandra, P. P. Bakare ve S. K. Date, *Superconductivity in an Sb-incorporated Bi-Sr-Ca-Cu-O (BSCCO) system* **Physica C** 212 (1993) 381
- [182] V. Lovchinov, D. Dimitrov, P. Simeonova, G. Kallias ve E. Moraitakis, *Phase formation and microstructure of silver sheathed Bi(Pb)SCCO tapes influenced by Te additive* **Superconduc. Sci. Technol.** 13 (2000) 1042
- [183] A. Marino, T. Yasuda, E. Holquin ve L. Rinderer, *Preparation and electrical properties of Bi(Pb)-Sr-Ca-Cu-O single-phase high T_c films* **Physica C** 210 (1993) 16
- [184] G. C. Qian, K. Q. Ruan, X. H. Chen, C. Y. Wang, L. Z. Cao ve M. R. Ji, *The electronic structure and transport properties of $Bi_2Sr_{2-x}La_xCaCu_2O_y$ ($x=0.0-0.8$)* **Physica C** 313 (1999) 58
- [185] Z. Özhaneli, M. E. Yakinci, Y. Balci ve M. A. Aksan, *Crystallization activation energy and hole concentration properties of the $Bi_2Sr_2Ca_{1-x}Cd_xCu_2O_{8-y}$ glass-ceramic superconductor rods* **Journal of Superconductivity: Incorporating Novel Magnetism** 15 (2002) 543
- [186] H. Jin ve J. Kötzler, *Effect of La-doping on growth and superconductivity of Bi-2212 crystals* **Physica C** 325 (1999) 153
- [187] P. Murugakoothan, R. Jayavel, C. R. V. Rao, C. Subramanian ve P. Ramasamy, *Growth and characterization of bulk-textured $Bi_2Sr_2Ca_{1-x}Y_xCu_2O_8$ float zone technique* **Superconduc. Sci. Technol.** 7 (1994) 367
- [188] A.S. Ilyushin, L. Shi, L. I. Leonyuk, B. M. Mustafa, I. A. Nikonorova, S. V. Red'ko, Y. Jia, A. G. Yetkin, G. Zhou ve I. V. Zubov, *Composition and crystal structure parameters of single crystals $(Bi,Pb)_2Sr_{1.9}(Ca_{1-x}R_x)Cu_2O_{8-\delta}$*

- ($R=Y$, Er , Ho , Tm and Yb) **J. Mater. Res.** 8 (1993) 1791
- [189] D. Prabhakaran ve C. Subramanian, *Texturing studies on $Bi_{2.2}Sr_{1.9}Ca_{1-x}Y_xCu_2O_{8+\delta}$ bulk crystals* **Superconduc. Sci. Technol.** 11 (1998) 788
- [190] Q. Li, H. B. Pan, C. G. Zhu, P. S. Xu ve X. Y. Zhang *XRD and PES studies of $Bi_2Sr_2Ca_{1-x}Pr_xCu_2O_{8+\delta}$ system* **Journal of Superconductivity: Incorporating Novel Magnetism** 13 (2000) 565
- [191] X. Chen, J. Liang, J. Min, J. Li ve G. Rao, *Phase separation and oxygen variation in Pr-doped $Bi_2Sr_2CaCu_2O_{8-\delta}$* **Phys. Rev. B** 50 (1994) 3431
- [192] R. Singh, A. Gupta, S. K. Agarwal, D. P. Singh ve A. V. Narlikar, *Superconductivity in Pr-doped $Bi_2Ca_2Sr_2Cu_3O_y$* **Superconduc. Sci. Technol.** 11 (1998) 311
- [193] X. Sun, X. Zhao, W. Wu, X. Fan, X. -G. Li ve H. C. Li, *Pr doping effect on the structure and superconductivity of $Bi_2Sr_2Ca_{1-x}Pr_xCu_2O_y$ single crystals* **Physica C** 307 (1998) 67
- [194] B. Vom Hadt, W. Lisseck, K. Westerhold ve H. Bach, *Superconductivity in $Bi_2Sr_2CaCu_2O_{8+\delta}$ single crystals doped with Fe, Ni and Zn* **Physical Rev. B** 49 (1994) 9898
- [195] S. Doniach ve M. Iniu, *Long-range Coulomb interactions and the onset of superconductivity in the high- T_c materials* **Physical Rev. B** 41 (1990) 6668
- [196] A. E. Koshelev ve V. M. Vinokur, *Pinning-induced transition to disordered vortex phase in layered superconductors* **Physical Rev. B** 57 (1998) 8026
- [197] X. L. Wang, J. Horvat, G. D. Gu, K. K. Uprety, H. K. Liu ve S. X. Dou, *Enhanced flux pinning by Fe point defects in $Bi_2Sr_2Ca(Cu_{1-x}Fe_x)_2O_{8-\delta}$ single crystals* **Physica C** 337 (2000) 221
- [198] G. Marest, B. Hannoyer, F. Petit, D. D. Chaugule, S. B. Ogale and S. I. Patil, *A Mössbauer study of $(Bi,Pb)_2Sr_2Ca_2(Cu,Fe)_3O_{10}$ around the superconducting transition temperature* **Physica C** 308 (1998) 85
- [199] H. Matsuhata, D. H. Ha, K. Oka, F. Iga ve Y. Nishihara, *Microstructural study of the Ni-doped 2212 phase of Bi-Sr-Ca-Cu-O superconductor single crystals* **Physica C** 290 (1997) 122
- [200] H. L. Liu, D. B. Tanner, H. Berger ve G. Margaritondo, *ab-plane optical properties of Ni-doped $Bi_2Sr_2CaCu_2O_{8+\delta}$* **Physica C** 311 (1999) 197
- [201] J. T. Markert, Y. Dalichaouch ve M. P. Maple, *Physical Properties of High Temperature Superconductors* World Scientific Singapore (1989) s. 265
- [202] I. Watanabe, M. Akoshima, Y. Koike, S. Ohira ve K. Nagamine, μ^+SR stuy on $Bi_2Sr_2Ca_{1-x}Y_x(Cu_{1-y}Zn_y)_2O_{8-\delta}$ around the hole concentration of 1/8 per Cu **Journal of Low Temperature Physics** 117 (1999) 503
- [203] S. Uchida, *Zn-impurity effects on high-temperature superconductivity* **Physica C** 357-360 (2001) 25
- [204] A. V. Pop, R. Deltour, A. Harabor, D. Ciurchea, Gh Ilonca, V. Pop ve M. Todica, *Effect of Fe substitution for Cu in the mixed state of $(Bi,Pb):2223$ superconductor* **Superconduc. Sci. Technol.** 10 (1997) 843
- [205] Y. -K. Kuo, C. W. Schneider, D. T. Verebelyi, M. V. Nevitt, M. J. Skove, G. X. Tessema, H. Li ve J. M. Pond, *The effect of Co substitution for Cu in $Bi_2Sr_2Ca_2Cu_3O_{8-\delta}$* **Physica C** 319 (1999) 1
- [206] S. Bhattacharya, D. K. Modak, P. K. Pal ve B. K. Chaudhuri, *Electrical transport and small polaron hopping conduction in Mn-doped $Bi_3PbSr_3Ca_3Cu_{4.4m}Mn_mO_x$ glasses: precursors for high temperature superconductors* **Materials Chemistry and Physics** 68 (2001) 239
- [207] R. K. Nkum, *Superconductivity in $(Bi,Pb)_2Ca_2Sr_2Cu_{3-x}V_xO_y$* **Journal of**

Materials Science 33 (1998) 207

- [208] Q. Li, H. B. Pan, C. G. Zhu, P. S. Xu ve X. Y. Zhang, *Substitution effect of Sn for Cu in the $Bi_2Sr_2CaCu_{2-x}Sn_xO_{8+\delta}$ system* **Journal of Superconductivity: Incorporating Novel Magnetism** 13 (2000) 137
- [209] K. Kocabas ve M. Çiftçioğlu, *The effect of Sb substitution of Cu in $Bi_{1.7}Pb_{0.3}Sr_2Ca_2Cu_{3-x}Sb_xO_y$ superconductors* **Phys. Stat. Sol. (a)** 177 (2001) 539
- [210] Y. Nishi, K. Nozaki, T. Kurataki ve T. Aida, *Formation of high- T_c $Bi_{1.6}Pb_{0.4}Sr_2Ca_2(Cu_{0.9}Ti_{0.1})_3O_x$* **Journal of Materials Science** 28 (1993) 5262
- [211] P. W. McMillan, *Glass-Ceramics* Academic Press London (1979) s. 1
- [212] T. Komatsu, R. Sato, K. Imai, K. Matusita ve T. Yamashita, *High- T_c superconducting glass-ceramics based on $BiSrCaCuO$ system* **Jpn. J. Appl. Phys.** 27, 4 (1988) 550
- [213] M. R. Deguire, N. P. Bansal ve C. J. Kim, *Superconducting glass-ceramics in the Bi-Sr-Ca-Cu-O system* **J. Am. Ceram. Soc.** 75 (5) (1990) 1165
- [214] Y. Hu, N. -H. Liu ve U. -L. Lin, *Glass formation and glass structure of the $BiO_{1.5}-PbO-CuO$ system* **Journal of Materials Science** 33 (1998) 229
- [215] T. Suzuki, K. Yumoto, M. Hasegawa ve H. Takei, *Kinetic analysis on crystallization of $Bi_2Sr_2CaCu_2O_8$ from its glassy state* **Jpn. J. Appl. Phys.** 38 (1999) 2072
- [216] D. Shi, M. Tang, M. S. Boley, M. Hash, K. Vandervoort, H. Claus ve Y. N. Lwin, *Crystallization of metal-oxide glasses in Bi-Sr-Ca-Cu-O systems* **Physical Rev. B** 40 (1989) 2247
- [217] T. Komatsu, R. Sato, K. Matusita ve T. Yamashita, *Superconducting glass ceramics with $T_c=100$ K based on the Bi-Pb-Sr-Ca-Cu-O system* **Appl. Phys. Lett.** 54 (12) (1989) 1169
- [218] R. Sato, T. Komatsu ve K. Matusita, *Glass formation and superconductivity in the $Bi_{1-x}Pb_xSr_2CaCu_2O_y$ system* **Journal of Materials Science Letter** 10 (1991) 355
- [219] T. Kasuga, K. Osamura, M. Hirata, W. H. Lee ve Y. Abe, *Superconducting glass-ceramics in $Bi_{0.7}Pb_{0.3}Sr_2CaCu_{1.8}O_x$: effect of reheating time on T_c* **Supercond. Sci. Technol.** 6 (1993) 59
- [220] M. Kakina, L. Borjesson, S. Erikson, P. Svedlindh ve P. Norlig, *Synthesis of highly pure $YBa_2Cu_3O_{7-\delta}$ superconductors using a colloidal processing technique* **Physica C** 162 (1989) 931
- [221] H. Zheng, Y. Hu ve J. D. Mackenzie, *$Bi_4Ca_3Sr_3Cu_4O_y$ ceramic fibers from crystallization of glasses* **Appl. Phys. Lett.** 55 (1989) 1255
- [222] Y. Balci, "Cam Seramik Süperiletkenlerin Kristalleşme Kinetikleri ve Elektriksel Özelliklerinin İncelenmesi" **Doktora Tezi**, Firat Üniversitesi (1997)
- [223] D. P. Mattheis, S. T. Misture ve R. L. Snyder, *Phase formation and growth mechanisms in $Bi_2Sr_2CaCu_2O_8$ glass ceramics* **Physica C** 207 (1993) 134
- [224] Y. Balci, M. Ceylan ve M. E. Yakinci, *An investigation on the activation energy and the enthalpy of the primary crystallization of glass-ceramic Bi-rich BSCCO HT_c superconductors* **Materials Science and Engineering B** 86 (2001) 83
- [225] C. H. Hwang ve G. Kim, *Crystallization of a Bi-Pb-Sr-Ca-Cu-O system prepared by a melt process* **Supercond. Sci. Technol.** 5 (1992) 586
- [226] S. Mollah, K. K. Som, K. Bose, A. K. Chakravorty ve B. K. Chaudhuri, *nonadiabatic small-polaron hopping conduction in Li-doped and undoped $Bi_2Sr_3Ca_3Cu_2O_x$ ($0 \leq x \leq 5$)* **Physical Rev. B** 46 (1992) 11075

- [227] M. Pop, B. Borodi, A. Zolde, C. Macuta ve S. Simon, *The initial crystallites growth at the surface of bismuth glass-ceramics* **Materials Letters** 42 (2000) 71
- [228] P. Somasundaram ve A. M. Umarji, *Structural and physical characterization of $Bi_2Ca_{1-x}Ln_xSr_2Cu_2O_{8+\delta}$ ($Ln=Dy$ and Y) glasses* **Physica C** 209 (1993) 393
- [229] T. Komatsu, R. Sato, H. Meguro, K. Matsusita ve T. Yamashita, *Effect of copper content on glass formation and superconductivity in the $Bi-Pb-Sr-Ca-Cu-O$ system* **Jounal of Materials Science** 26 (1991) 683
- [230] T. Kasuga ve Y. Abe, *Superconducting Glass-Ceramics in $Bi-Sr-Ca-Cu-O$: Fabrication and Its Application* **World Scientific** Singapore (1997) s.193
- [231] T. Kasuga ve Y. Abe, *Formation of Bi- 2212 Superconducting Whiskers from Melt-Quenched BSCCO Containing Alumina* **J. Am. Ceram. Soc.** 76 (1993) 1885
- [232] P. E. Kazin, V. V. Poltavets, Y. D. Tretyakov, M. Jansen, B. Freitag ve W. Mader, *Phase and microstructural evolution in the process of the composite $Bi-2212-(Sr,Ca)_3Al_2O_6$ glass-ceramics formation* **Superconduc. Sci. Technol.** 12 (1999) 475
- [233] M. E. Yakinci, *A structural transformation and its effect on the physical properties of the V -substituted $Bi_2Sr_2Ca_2Cu_3O_{10-y}$ system* **J. Phys: Condens. Matter** 9 (1997)1105
- [234] B. Koscielska, B. Andrzejewski, W. Sadowski ve L. Murawski, *The effects of crystallization on the magnetic properties and critical current in $Bi-Sr-Ca-Cu-O$ glass-ceramics* **Superconduc. Sci. Technol.** 15 (2002) 1017
- [235] J. A. Augis and J. D. Bennett, *Calculation of the Avrami Parameters for heterogenous solid-state reactions using a modification of the Kissinger Method* **J. Thermal Anal.** 13 (1978) 283
- [236] H. E. Kissinger, *Variation of peak temperature with heating rate in differential thermal analysis* **J. Res. Natl. Bur. Stand.** 57 (1956) 217
- [237] B. D.Cullity, *Elements of X-Ray Diffraction*, Addison-Wesley Publishing Company, INC. USA (1978) p.102
- [238] H. Y. Chen, L. Wu, C. Ren, Q. Z. Luo, Z. H. Xie, X. Jiang, S. P. Zhu, Y. K. Xia, Y. R. Luo, *The effect and mechanism of bismuth doped lead oxid on the performance of the lead acid batteries* **Journal of Power Sources** 95 (2001) 108
- [239] I. Matsubara, H. Yamashita and T. Kawai, *Growth of superconducting whiskers in the Bi systems*, **Journal of Crystal Growth** 128 (1993) 719
- [240] D. Mandrus, L. Forro, C. Kendziora, L. Mihaly, *Two-dimensional electron localization in bulk single crystals of $Bi_2Sr_2Y_xCa_{1-x}Cu_2O_8$* **Phys. Rev. B** 46 (1992) 14928
- [241] T. Ozawa, *Kinetics of non-isothermal crystallisation*, **Polymer** 12 (1971) 150
- [242] A. I. Abou-Aly, N. H. Mohammed, R. Awad ve I. H. Ibrahim, *Study of the localization and Cooper pair breaking in $Tl_{1-x}Er_xBa_2Ca_2Cu_3O_{9-\delta}$* **Supercond. Sci. Technol.** 13 (2000) 1107
- [243] A. B. Kaiser, *Comparison of thermopower behaviour in different superconductors* **Physica C** 282-287 (1997) 1251
- [244] J. E. Rodriguez, A. Marino ve J. Giraldo, *Electron-phonon enhancement of thermopower in silver-doped superconducting Bi-compounds* **Physica C** 282-287 (1997) 1253
- [245] A. K. Dhami and T. K. Dey, *Thermal transport in BPSCCO system between 20 and 170 K* **Journal of Superconductivity: Incorporating Novel Magnetism**

13 (2000) 617

- [246] A. K. Dhami, M. K. Chattopadhyay and T. K. Dey, *Thermal conductivity of 2223 BSCCO superconductor-polyethylene glycol composites between 20 and 300 K* **Journal of Superconductivity: Incorporating Novel Magnetism** 13 (2000) 417

ÖZGEÇMİŞ

1974 yılında Erzurum' da doğdu. İlk öğrenimini Kayseri' nin Pınarbaşı ilçesinde, Orta ve Lise öğrenimimi Uşak ilinde tamamladı. 1991 yılında yapılan Öğrenci Yerleştirme Sınavı (ÖYS) sonucu İnönü Üniversitesi, Fen-Edebiyat Fakültesi, Fizik Bölümüne girmeye hak kazandı. 1995 yılında aynı bölümden dönem birincisi olarak mezun oldu. 1995 yılı Eylül ayında İnönü Üniversitesi, Fen Bilimleri Enstitüsü'nün Fizik Anabilim Dalında açmış olduğu Yüksek Lisans Sınavını kazandı. 1996 yılında İnönü Üniversitesi, Fen-Edebiyat Fakültesi, Fizik Bölümünün açmış olduğu Araştırma Görevliliği sınavını kazandı. 1998 yılında Doç. Dr. M. Eyyüphan Yakıcı' nın danışmanlığında "*BiSrCaCuO (2223) Cam-Seramik Süperiletken Sistemine Küçük Yarıçaplı İyonların Katılması ve Sistemin Fiziksel ve Elektriksel Özelliklerine Etkilerinin İncelenmesi*" isimli Yüksek Lisansını bitirdi. 1998 yılı Şubat ayında İnönü Üniversitesi, Fen Bilimleri Enstitüsü'nün Fizik Anabilim Dalında açmış olduğu Doktora Sınavını kazandı. 1999 yılı Mayıs ayında yapılan Kamu Personeli Dil Sınavını (KPDS) ve 2000 yılında yapılan Üniversiteler Arası Dil Sınavını (ÜDS) başarıyla geçti. 1999-2000 öğretim yılı yaz döneminde doktora ders aşamasını bitirdi ve 1999-2000 öğretim yılı bahar döneminde ise yeterlilik sınavını tamamladı.

Katıldığı Bilimsel Kongreler, Konferanslar

1. 16. Türk Fizik Derneği Kongresi, Ayvalık/Balıkesir 1996
2. 2. Uluslararası Kızılırmak Fen Bilimleri Kongresi KIRIKKALE 1998
3. I. Ulusal Yüksek Sıcaklık Süperiletkenler Sempozyumu TRABZON 1999
4. 19. Türk Fizik Derneği Kongresi, ELAZIĞ 2000
5. II. Ulusal Yüksek Sıcaklık Süperiletkenler Sempozyumu MALATYA 2001
6. International Conference on Physics and Chemistry of Molecular and Oxide Superconductors MOS' 99 Stockholm/SWEDEN 1999
7. International Conference on Superconductivity, CMR&Related Materials, SCRM, 1-8 June 2002 Giens, FRANCE

Uluslararası Yayınlar (SCI)

1. Thermal Conductivity Properties of $\text{Bi}_{2-\alpha}\text{Tl}_\alpha\text{Sr}_2\text{Ca}_2\text{Cu}_3\text{O}_{10+\delta}$ Glass-ceramic HT_c Superconductor Rods

M. A. Aksan, M. E. Yakıncı, Y. Balci and H. Ateş

Jour. of Low. Temp. Phys. Vol. 117 (1999) 957-961

2. In-Situ Single Chamber Arc Sputtering Process for $\text{YCd}_{0.3}\text{Ba}_2\text{Cu}_3\text{O}_{7-\delta}$ Superconducting Thin Films

M. E. Yakıncı, Y. Balci, M. A. Aksan, Y. Aydoğdu and H. Ateş

Jour. of Low. Temp. Phys. Vol. 117 (1999) 645-649

3. Thermal Conductivity Properties of Glass-ceramic $(\text{Bi}_{2-\delta-\gamma}\text{Ga}_\delta\text{Tl}_\gamma)\text{Sr}_2\text{Ca}_2\text{Cu}_3\text{O}_{10+\delta}$ High- T_c Superconductors

Y. Balci, M. E. Yakıncı, M. A. Aksan, A. Özdeş and H. Ateş

Jour. of Low. Temp. Phys. Vol. 117 (1999) 663-667

4. Synthesis and Characterisation of Glass-ceramic $\text{Bi}_{2-x}\text{Ga}_x\text{Sr}_2\text{Ca}_2\text{Cu}_3\text{O}_{10+y}$ Superconductor

M. Ali Aksan, M. Eyyüphan Yakıncı and Y. Balci

Superconductor Science and Technology, 13 (2000) 955-963

5. Study on the Physical and Electrical Properties of $\text{Bi}_{2-x}\text{Zn}_x\text{Sr}_2\text{Ca}_2\text{Cu}_3\text{O}_{10+y}$ Glass-ceramic Superconductors

M. Ali Aksan, M. Eyyüphan Yakıncı and Y. Balci

Journal of Superconductivity: Incorporating Novel Magnetism, 15 (2002) 553-558

6. Degradation of superconducting properties in MgB₂ by formation of the MgB₄ phase

M. E. Yakıncı, Y. Balci, M. A. Aksan, H. I. Adıgüzel and A. Gencer

Journal of Superconductivity: Incorporating Novel Magnetism, 15 (2002) 607-611

7. Crystallisation Activation Energy and Hole Concentration Properties of the $\text{Bi}_2\text{Sr}_2\text{Ca}_{1-x}\text{Cd}_x\text{Cu}_2\text{O}_{8+y}$ Glass-Ceramic Superconductor Rods

Z. Özhanlı, M. E. Yakıncı, Y. Balci and M. A. Aksan

Journal of Superconductivity: Incorporating Novel Magnetism, 15 (2002) 543-547

Bildiriler

1. Yeni Grafit Yüksek Sıcaklık Fırınları ile BiSrCaCuO Bazlı Süperiletkenlerin Cam-Seramik Olarak Elde Edilmesi

M. Ali AKSAN, M. Eyyüphan YAKINCI

16. TFD Kongresi-1996 Ayvalık/TÜRKİYE

2. Kuvvetli Elektrik Alanlarında Polietilen Tereftalat Polimer Dielektriğinin Elektrik Geçirgenliği

H. Zülfikaroglu ALİYEV, O. Adem KAYA, M. Ali AKSAN, Haluk ATEŞ

16. TFD Kongresi-1996 Ayvalık/TÜRKİYE

3. Bi-2223 Sistemine Galyum Katkılanmasının Sistemin Elektriksel ve Kritik Akım Yoğunluğu Özelliklerine Etkisi

M. Ali AKSAN, M. Eyyüphan YAKINCI

2. Uluslararası Kızılırmak Fen-Bilimleri Kongresi-1998 Kirikkale/TÜRKİYE

4. "In-Situ DC Arc Sputtering" Yöntemi ile Üretilen $Y_{0.8}Cd_{0.2}$ $Ba_2Cu_3O_{7-\delta}$ Süperiletken İnce Filmlerin Elektriksel ve Mikroyapısal Özellikleri

M. E. Yakinci, Y. Balci, M. A. Aksan, H. Ateş ve M. Doğan

1. Ulusal Yüksek Sıcaklık Süperiletkenler Kongresi 1999- Trabzon/TÜRKİYE

5. Daldırma Yöntemi ile Hazırlanmış Bi-Sr-Ca-Cu-O Süperiletken Kalın Filmlerde Manyetik Yönlendirme

M. A. Aksan, M. E. Yakinci, Y. Balci, H. Ateş ve M. Doğan

1. Ulusal Yüksek Sıcaklık Süperiletkenler Kongresi 1999- Trabzon/TÜRKİYE

6. Cam-Seramik $Bi_2Sr_2Ca_2Cu_3O_{10+x}$ HT_c Süperiletken Çubukların Termal İletkenlik Özellikleri

M. E. Yakinci, Y. Balci, M. A. Aksan, H. Ateş ve M. Doğan

1. Ulusal Yüksek Sıcaklık Süperiletkenler Kongresi 1999- Trabzon/TÜRKİYE

7. BSCCO ($n=3$) Sistemine Titanyum Katkılanmasının Etkisi

Y. Balci, M. E. Yakinci, M. A. Aksan, H. Ateş ve M. Doğan

1. Ulusal Yüksek Sıcaklık Süperiletkenler Kongresi 1999- Trabzon/TÜRKİYE
8. Yüksek Sıcaklık Süperiletkenlerde Termal İletkenlik

M. A. Aksan, M. E. Yakıncı ve Y. Balçıcı

19. TFD Kongresi 26-29 Eylül 2000 Elazığ

9. Yüksek Sıcaklık Süperiletkenlerde Termoelektrik Güç

M. A. Aksan, Y. Balçıcı ve M. E. Yakıncı

19. TFD Kongresi 26-29 Eylül 2000 Elazığ

10. Preparation of $(Bi_{1.8}Tl_{0.2})Sr_2Ca_2Cu_3O_{10+y}/Ag$ Sheathed Tapes with a Isothermal Partial Melting Process

M. E. Yakıncı, Y. Balçıcı, M. A. Aksan and D. Holland

2. Ulusal Yüksek Sıcaklık Süperiletkenler Sempozyumu 11-13 Temmuz 2001- Malatya/TÜRKİYE

11. Bi-2212 Sisteminde Ca yerine Cd Katkılanmasının Sistemin Fiziksel, Termal ve Elektriksel Özelliklerine Etkisi

M. A. Aksan, M. E. Yakıncı, Y. Balçıcı, Z. Özhanlı ve Y. Önal

2. Ulusal Yüksek Sıcaklık Süperiletkenler Sempozyumu 11-13 Temmuz 2001- Malatya/TÜRKİYE

12. $(Bi_{1.8}V_{0.2})Sr_2Ca_2Cu_3O_{10+y}$ Cam-Seramik Yüksek Sıcaklık Süperiletken Çubuklarının Karakterizasyonu

M. A. Aksan, M. E. Yakıncı, Y. Balçıcı ve D. Holland

2. Ulusal Yüksek Sıcaklık Süperiletkenler Sempozyumu 11-13 Temmuz 2001- Malatya/TÜRKİYE

13. Physical, electrical, thermal and magnetic properties of glass-ceramic Bi(Zn)-2223 superconducting system

M. A. Aksan, M. E. Yakıncı and Y. Balçıcı

SCRM 2002 June 1-8 2002-Giens, FRANCE

14. Effect of Cr doping in MgB₂ metallic superconductors

Y. Balçıcı, M. E. Yakıncı and M. A. Aksan

SCRM 2002 June 1-8 2002-Giens, FRANCE

15. Crystallisation activation energy and hole concentration properties of the $\text{Bi}_2\text{Sr}_2\text{Ca}_{1-x}\text{Cd}_x\text{Cu}_2\text{O}_{8+y}$ glass-ceramic superconductor rods

Z. Özhanlı, M. E. Yakıncı, Y. Balçıcı and M. A. Aksan

SCRM 2002 June 1-8 2002-Giens, FRANCE

16. Degradation of superconducting properties in MgB_2 by formation of the MgB_4 phase

M. E. Yakıncı, Y. Balçıcı, M. A. Aksan, H. İ. Adığüzel and A. Gencer

SCRM 2002 June 1-8 2002-Giens, FRANCE